

COMMITTENTE:



DIREZIONE LAVORI:



APPALTATORE:



PROGETTAZIONE:	PROGETTISTA:	DIRETTORE DELLA PROGETTAZIONE
RAGGRUPPAMENTO TEMPORANEO PROGETTISTI	Prof. Ing. Marco PETRANGELI	Ing. Piergiorgio GRASSO
		Responsabile integrazione fra le varie prestazioni specialistiche

PROGETTO ESECUTIVO

ITINERARIO NAPOLI – BARI RADDOPPIO TRATTA CANCELLO-BENEVENTO II LOTTO FUNZIONALE FRASSO TELESINO – VITULANO 1° LOTTO FUNZIONALE FRASSO TELESINO – TELESE

Viadotti ferroviari - Impalcato a struttura mista acc.-cls L=65m (Lc=63.00m)
doppio binario: Relazione di calcolo

APPALTATORE		SCALA:
IMPRESA PIZZAROTTI & C. s.p.a. Dott. Ing. Sabino Del Balzo L. COORDINATORE TECNICO 24/02/2020		-

COMMESSA LOTTO FASE ENTE TIPO DOC. OPERA/DISCIPLINA PROGR. REV.

I	F	2	6	1	2	E	Z	Z	C	L	V	I	0	0	0	7	0	0	3	A
---	---	---	---	---	---	---	---	---	---	---	---	---	---	---	---	---	---	---	---	---

Rev.	Descrizione	Redatto	Data	Verificato	Data	Approvato	Data	Autorizzato Data
A	Emissione	F. Del Drago 	24/02/2020	G. Usai 	24/02/2020	P. Grasso 	24/02/2020	M. Petrangeli 24/02/2020

File: IF26.1.2.E.ZZ.CL.VI.05.0.7.003.A.docx

n. Elab.:

INDICE

1	PREMESSA	5
1.1	DESCRIZIONE DELL'OPERA.....	5
2	SCOPO DEL DOCUMENTO	9
3	NORMATIVA DI RIFERIMENTO	9
4	CARATTERISTICHE DEI MATERIALI	10
4.1	CALCESTRUZZO	10
4.2	ACCIAIO DA CARPENTERIA METALLICA	10
5	ANALISI DEI CARICHI	11
5.1	PESI PROPRI	11
5.2	PERMANENTI PORTATI	11
5.3	EFFETTI DINAMICI	11
5.4	CARICHI VIAGGIANTI	12
5.5	CARICHI SUI MARCIAPIEDI	14
5.6	FRENATURA E AVVIAMENTO DEI TRENI.....	14
5.7	AZIONE CENTRIFUGA	15
5.8	SERPEGGIO	18
5.9	RITIRO CALCESTRUZZO	19
5.10	VARIAZIONI TERMICHE	22
5.11	TERMICA UNIFORME (E3)	22
5.12	VENTO	22
5.13	AZIONI SISMICHE	26
5.14	RESISTENZE PARASSITE NEI VINCOLI.....	27
5.15	DERAGLIAMENTO	28
6	COMBINAZIONI	29
7	IMPALCATO: EFFETTI GLOBALI	35
7.1	MODELLI DI CALCOLO	35
7.2	DETERMINAZIONE DELLA PRIMA FREQUENZA PROPRIA.....	40
7.3	ASSEGNAZIONE CARICHI	42
7.3.1	Pesi propri (g1)	42
7.3.2	Permanenti portati (g2)	42
7.3.3	Carichi viaggianti: treni (q1, q2)	46
7.3.4	Carichi viaggianti: frenatura ed avviamento (q3, q4).....	48
7.3.5	Carichi viaggianti: azione centrifuga (q5, q6)	49
7.3.6	Carichi viaggianti: serpeggio (q7, q8).....	50
7.3.7	Variazioni termiche (q9, q10, q11, q12).....	51

7.3.8 Ritiro calcestruzzo (q13)	52
7.3.9 Vento (q14, q15, q16).....	52
7.4 VERIFICHE DI RESISTENZA.....	56
7.4.1 Geometria impalcato	60
7.4.2 Calcolo delle tensioni.....	62
7.4.3 Verifica sezione non composta - flessione	66
7.4.4 Verifica sezione non composta – taglio.....	72
7.4.5 Verifica sezione composta SLU – flessione	75
7.4.6 Verifica sezione composta SLU – taglio	80
7.5 VERIFICHE ASTE ACCIAIO	85
7.5.1 Traversi a “X” – 2L 120x120x10.....	85
7.5.2 Briglie orizzontali tipo 1 – 2L 120x120x10	87
7.5.3 Briglie orizzontali tipo 2 – 2L 150x150x15	90
7.5.4 Controventi superiori – 2L 120x120x10	92
7.5.5 Controventi inferiori – 2L 150x150x15	95
7.6 VERIFICA DIAFRAMMI DI TESTATA.....	97
7.6.1 Diaframma testata – Sezione PIENA	99
7.6.1 Diaframma testata – Sezione PASSO D’UOMO	104
7.7 VERIFICHE A FATICA	108
7.7.1 Sezione di mezzeria.....	111
7.7.2 Sezione di giunto conci 2-3	112
7.7.3 Sezione di giunto conci 1-2	114
7.7.4 Sezione di appoggio.....	116
7.8 VERIFICA SISTEMA DI CONNESSIONE	116
7.8.1 Resistenza a taglio del singolo connettore	116
7.8.2 Calcolo numero totale pioli.....	117
7.9 SCARICHI APPARECCHI D’APPOGGIO	119
7.10 VERIFICA DI DEFORMABILITÀ DELL’IMPALCATO	121
7.10.1 Stati limite di esercizio per la sicurezza del traffico ferroviario	121
7.10.2 Stati limite per il comfort dei passeggeri	121
7.11 CONTROFRECCIA DI MONTAGGIO	122
8 IMPALCATO: EFFETTI LOCALI	123
8.1 MODELLO DI CALCOLO.....	123
8.2 DESCRIZIONE CONDIZIONI DI CARICO	125

8.2.1	Carichi permanenti strutturali (DEAD)	125
8.2.2	Carichi permanenti non strutturali	125
8.2.3	Carichi viaggianti	126
8.2.4	Forza centrifuga	128
8.2.5	Carico variabile sui marciapiedi (q_folla)	129
8.2.6	Serpeggio (q5)	129
8.2.7	Vento (q6)	130
8.2.8	Deragliamenti (deragliamenti)	131
8.3	COMBINAZIONE AZIONI	133
8.4	VERIFICHE	136
8.4.1	Verifiche a flessione (SLU - SLE)	137
8.4.2	Verifica a taglio (SLU)	157
8.5	VERIFICA DALLE IN FASE DI GETTO	160
8.5.1	Modalità di esecuzione del getto	160
8.5.2	Carichi considerati	160
8.5.3	Verifiche	160

	ITINERARIO NAPOLI – BARI RADDOPPIO TRATTA CANCELLO-BENEVENTO II LOTTO FUNZIONALE FRASSO TELESINO – VITULANO 1° LOTTO FUNZIONALE FRASSO TELESINO – TELESE PROGETTO ESECUTIVO												
<i>Relazione di Calcolo impalcato a struttura mista Viadotto ferroviario – L=65 m</i>	<table border="1"> <thead> <tr> <th>COMMESSA</th> <th>LOTTO</th> <th>CODIFICA</th> <th>DOCUMENTO</th> <th>REV.</th> <th>FOGLIO</th> </tr> </thead> <tbody> <tr> <td>IF26</td> <td>12</td> <td>E ZZ CL</td> <td>VI 05 07 003</td> <td>A</td> <td>5 di 162</td> </tr> </tbody> </table>	COMMESSA	LOTTO	CODIFICA	DOCUMENTO	REV.	FOGLIO	IF26	12	E ZZ CL	VI 05 07 003	A	5 di 162
COMMESSA	LOTTO	CODIFICA	DOCUMENTO	REV.	FOGLIO								
IF26	12	E ZZ CL	VI 05 07 003	A	5 di 162								

1 PREMESSA

La presente relazione ha per oggetto il dimensionamento e le verifiche secondo il metodo semiprobabilistico agli Stati Limite (S.L.) delle sovrastrutture di un impalcato tipologico da ponte ferroviario.

Le analisi strutturali e le verifiche di sicurezza sono state effettuate in accordo con le disposizioni vigenti in Italia e con riferimento alla nuova classificazione sismica del territorio nazionale, secondo il DM 14 gennaio 2008.

In particolare l'opera in oggetto è relativa al viadotto ferroviario VI05 per cui sono stati assunti i parametri di sito relativi.

La presente relazione del progetto esecutivo conferma le analisi e le verifiche eseguite in fase di Progetto Definitivo. Si inseriscono inoltre delle verifiche integrative al §7.12.

1.1 Descrizione dell'opera

Il ponte in oggetto è realizzato in sistema misto acciaio-calcestruzzo con schema statico di trave appoggiata a singola campata di luce in asse appoggi 63.00 m e lunghezza complessiva 65.00 m.

La travata è simmetrica rispetto alla mezzeria ed è costituita da 5 conci di 3 tipologie: C1, C2, C3, di lunghezza rispettivamente pari a 11.10 m, 12.60 m, 15.60 m. La successione dei conci è la seguente: C1, C2, C3, C2, C1.

La struttura è costituita da due travi a U disposte a interasse di 5.60 m e una soletta in calcestruzzo armato di larghezza complessiva pari a 13.70 m che sarà gettata in opera.

La soletta presenta un'altezza variabile da un minimo di 38 cm circa ad un massimo di 47 cm circa, incluso lo spessore delle lastre predalle. È resa collaborante con la sottostante porzione in acciaio mediante pioli Nelson.

Le travi in acciaio hanno un'altezza costante pari a 4.15 m.

Tra le anime di una stessa trave sono presenti superiormente controventi orizzontali a "X".

Oltre a questi, sono presenti controventi orizzontali superiori e inferiori che collegano tra di loro le due travi nei tratti in prossimità degli appoggi.

Sono presenti diaframmi di testata e traversi costituiti da diagonali a "X" e briglie orizzontali posizionati a passo costante pari a 4.20.

Per quanto riguarda i dispositivi di vincolo dell'impalcato alle sottostrutture, a un estremo si prevede il blocco di tutte le componenti di traslazione in corrispondenza dei due appoggi centrali e la possibilità di traslazioni trasversali e longitudinali per i due appoggi esterni (multidirezionali). All'altro estremo, invece, i dispositivi sono tali da consentire il libero scorrimento longitudinale in corrispondenza dei quattro appoggi, mentre un unico appoggio interno impedisce le traslazioni in direzione trasversale.

L'andamento planimetrico dell'asse di progetto dei due binari si trova su tratti a curvatura variabile; si è pertanto assunto come valore del raggio di curvatura quello minimo corrispondente al tratto di tracciato a curvatura costante e pari a 1550 m.

Relazione di Calcolo impalcato a struttura mista
Viadotto ferroviario – L=65 m

COMMESSA	LOTTO	CODIFICA	DOCUMENTO	REV.	FOGLIO
IF26	12	E ZZ CL	VI 05 07 003	A	6 di 162

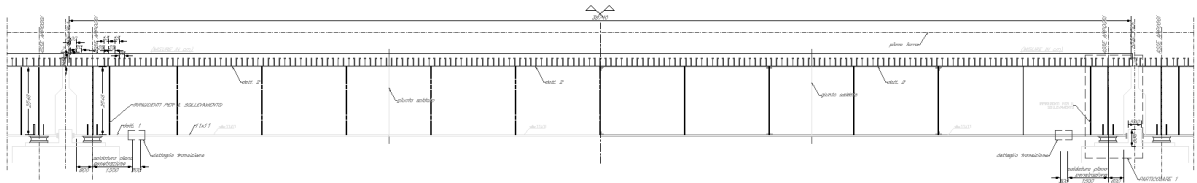


Figura 1: Prospetto longitudinale impalcato tipo

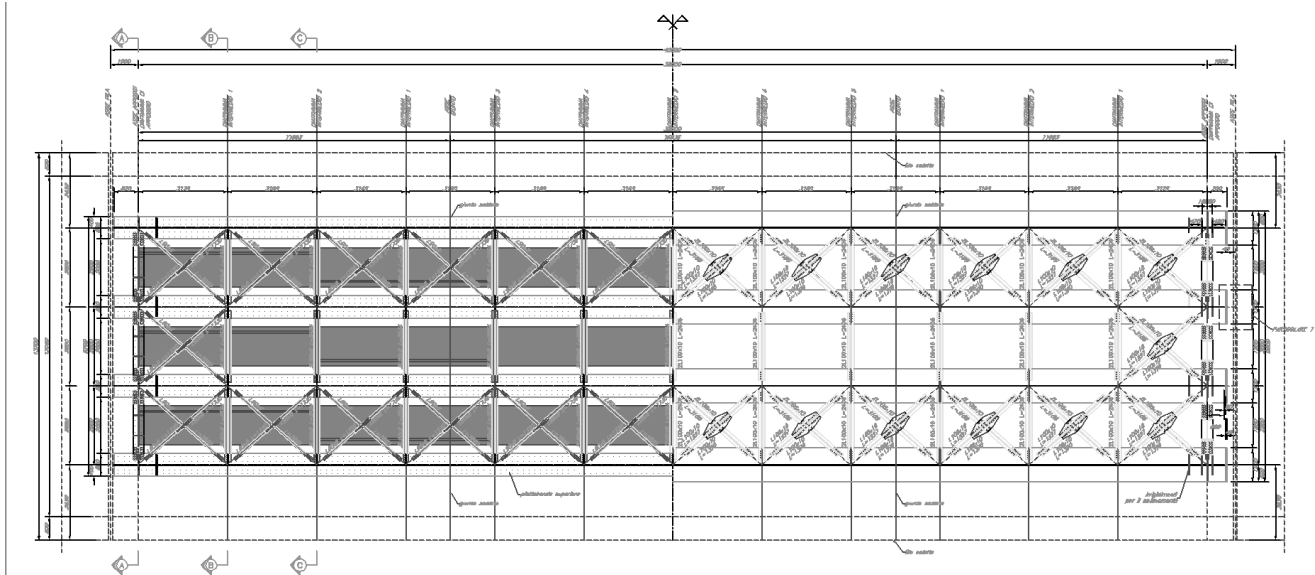


Figura 2: Pianta impalcato tipo

Relazione di Calcolo impalcato a struttura mista
Viadotto ferroviario – L=65 m

COMMESSA	LOTTO	CODIFICA	DOCUMENTO	REV.	FOGLIO
IF26	12	E ZZ CL	VI 05 07 003	A	7 di 162

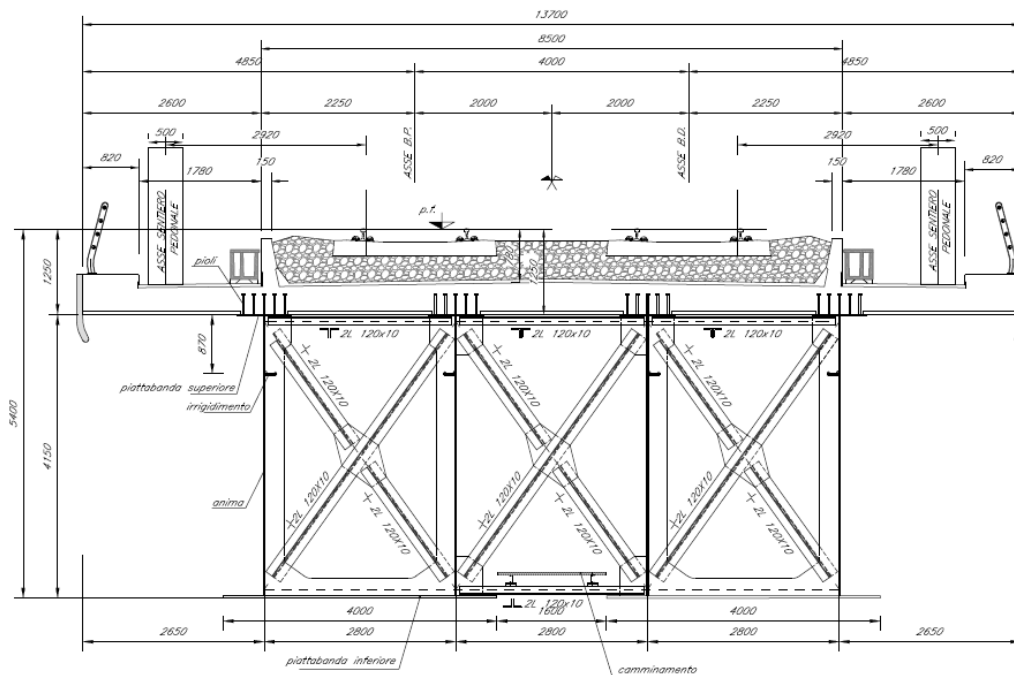


Figura 3: Sezione trasversale tipo (H travi = 4.15 m)

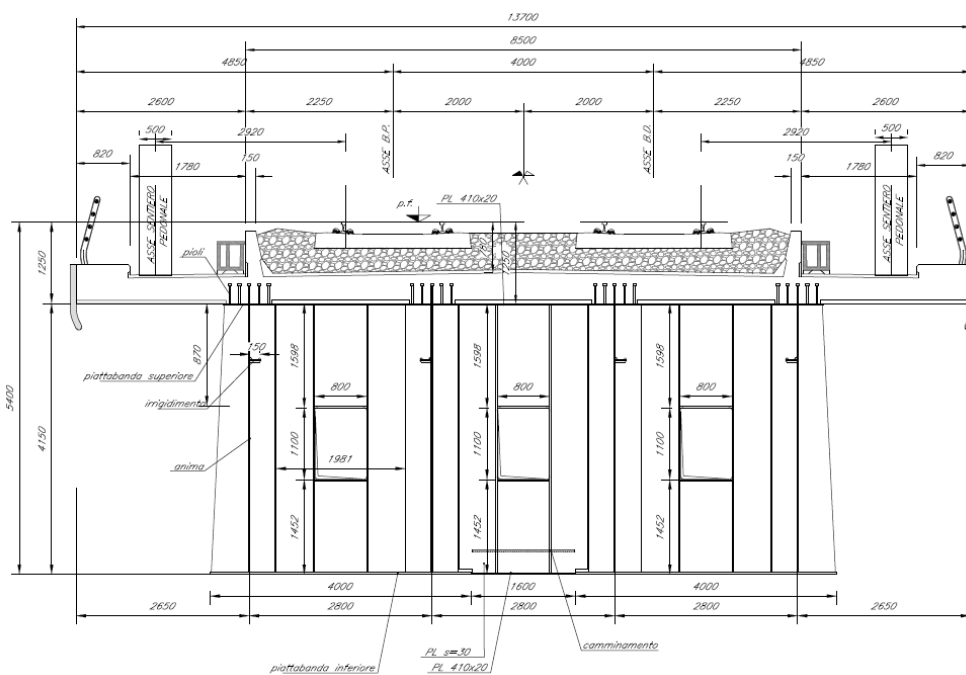


Figura 4: Diaframma di testata

*Relazione di Calcolo impalcato a struttura mista
Viadotto ferroviario – L=65 m*

COMMESSA	LOTTO	CODIFICA	DOCUMENTO	REV.	FOGLIO
IF26	12	E ZZ CL	VI 05 07 003	A	8 di 162

Come detto sopra lo schema dei vincoli prevede per ogni campata:

- due appoggi fissi e due mobili su un lato;
- un appoggio unidirezionale (scorrevole in senso longitudinale) e tre multidirezionali sul lato opposto.

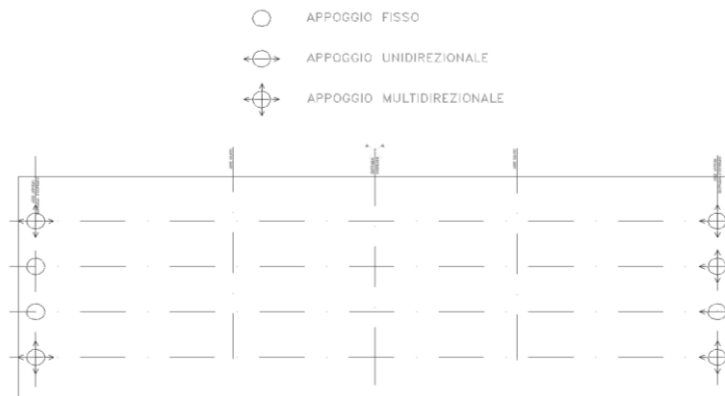


Figura 5: Schema appoggi

	ITINERARIO NAPOLI – BARI RADDOPPIO TRATTA CANCELLO-BENEVENTO II LOTTO FUNZIONALE FRASSO TELESINO – VITULANO 1° LOTTO FUNZIONALE FRASSO TELESINO – TELESE PROGETTO ESECUTIVO												
<i>Relazione di Calcolo impalcato a struttura mista Viadotto ferroviario – L=65 m</i>	<table border="1"> <thead> <tr> <th>COMMESSA</th> <th>LOTTO</th> <th>CODIFICA</th> <th>DOCUMENTO</th> <th>REV.</th> <th>FOGLIO</th> </tr> </thead> <tbody> <tr> <td>IF26</td> <td>12</td> <td>E ZZ CL</td> <td>VI 05 07 003</td> <td>A</td> <td>9 di 162</td> </tr> </tbody> </table>	COMMESSA	LOTTO	CODIFICA	DOCUMENTO	REV.	FOGLIO	IF26	12	E ZZ CL	VI 05 07 003	A	9 di 162
COMMESSA	LOTTO	CODIFICA	DOCUMENTO	REV.	FOGLIO								
IF26	12	E ZZ CL	VI 05 07 003	A	9 di 162								

2 SCOPO DEL DOCUMENTO

Il presente documento tratta le verifiche strutturali dell'Impalcato per l'opera di cui alla premessa.

3 NORMATIVA DI RIFERIMENTO

Il progetto è redatto secondo i metodi classici della scienza delle costruzioni e nel rispetto della seguente normativa:

- [N1] Legge 05/01/1971 n°1086: Norme per la disciplina delle opere di conglomerato cementizio armato, normale e precompresso, ed a struttura metallica;
- [N2] Legge 02/02/1974 n°64: Provvedimenti per le costruzioni con particolari prescrizioni per le zone sismiche;
- [N3] D.M. del 14 Gennaio 2008: Nuove norme tecniche per le costruzioni;
- [N4] C.M. 02/02/2009 n.617: Istruzioni per l'applicazione delle "Norme tecniche per le costruzioni";
- [N5] RFI DTC SI PS MA IFS 001 A del 30/12/2016: Manuale di progettazione delle opere civili – Parte II – Sezione 2 – Ponti e Strutture;
- [N6] RFI DTC SI PS SP IFS 001 A del 30/12/2016: Capitolato generale tecnico di appalto delle opere civili – Parte II – Sezione 6 – Opere in conglomerato cementizio e in acciaio;
- [N7] UNI EN 1991-1-4:2005: Eurocodice 1 – Azioni sulle strutture – Parte 1-4: Azioni in generale – Azioni del vento;
- [N8] UNI EN 1992-1-1:2005: Eurocodice 2 – Progettazione delle strutture di calcestruzzo – Parte 1-1: Regole generali e regole per gli edifici;
- [N9] UNI EN 1992-2:2006: Eurocodice 2 – Progettazione delle strutture di calcestruzzo – Parte 2: Ponti;
- [N10] UNI EN 1993-1-1:2005: Eurocodice 3 – Progettazione delle strutture di acciaio – Parte 1-1: Regole generali e regole per gli edifici;
- [N11] UNI EN 1993-2:2007: Eurocodice 3 – Progettazione delle strutture di acciaio – Parte 2: Ponti;
- [N12] UNI EN 1998-1:2005: Eurocodice 8 – Progettazione delle struttura per la resistenza sismica – Parte 1: Regole generali, azioni sismiche e regole per gli edifici;
- [N13] UNI EN 1998-2:2006: Eurocodice 8 – Progettazione delle struttura per la resistenza sismica – Parte 2: Ponti;
- [N14] STI 2014 – REGOLAMENTO UE N.1299/2014 DELLA COMMISSIONE del 18 Novembre 2014 relativo alle specifiche tecniche di interoperabilità per il sistema "infrastruttura" del sistema ferroviario dell'Unione Europea.
- [N15] Tutti gli elementi lavorati dovranno essere controllati ed accettati in accordo al [N6] ed alla UNI EN 1090-2 (classe di esecuzione exc4 eccetto camminamenti e grigliati per i quali, come previsto sull'appendice b, si può utilizzare la classe di esecuzione exc2).

4 CARATTERISTICHE DEI MATERIALI

4.1 Calcestruzzo

CALCESTRUZZO PER SOLETTA

Classe	C32/40		
$R_{ck} =$	40.00	N/mm ²	resistenza caratteristica cubica
$f_{ck} =$	33.2	N/mm ²	resistenza caratteristica cilindrica
$E_c =$	33346.0	N/mm ²	modulo elastico
$\gamma_M =$	1.5	-	coefficiente parziale di sicurezza SLU
$f_{cd} =$	18.81	N/mm ²	resistenza di progetto
$c =$	35	mm	copriferro minimo
	XF3	-	Classe di esposizione

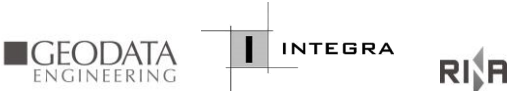
4.2 Acciaio da Carpenteria Metallica

ACCIAIO PER CARPENTERIA METALLICA

	S355J2		controllato in stabilimento
$f_{yk} =$	355.0	N/mm ²	Resistenza di calcolo ($t \leq 40$ mm)
$f_{yk} =$	335.0	N/mm ²	Resistenza di calcolo ($t > 40$ mm)
$E_s =$	210000	N/mm ²	modulo elastico

ACCIAIO PIOLI NELSON

	St 37-3K DIN 17100		
$f_y \geq$	355.00	N/mm ²	tensione caratteristica di snervamento
$f_t \geq$	450	N/mm ²	tensione di rottura
$E_s =$	210000	N/mm ²	modulo elastico

	ITINERARIO NAPOLI – BARI RADDOPPIO TRATTA CANCELLO-BENEVENTO II LOTTO FUNZIONALE FRASSO TELESINO – VITULANO 1° LOTTO FUNZIONALE FRASSO TELESINO – TELESE PROGETTO ESECUTIVO												
<i>Relazione di Calcolo impalcato a struttura mista Viadotto ferroviario – L=65 m</i>	<table border="1"> <thead> <tr> <th>COMMESSA</th> <th>LOTTO</th> <th>CODIFICA</th> <th>DOCUMENTO</th> <th>REV.</th> <th>FOGLIO</th> </tr> </thead> <tbody> <tr> <td>IF26</td> <td>12</td> <td>E ZZ CL</td> <td>VI 05 07 003</td> <td>A</td> <td>11 di 162</td> </tr> </tbody> </table>	COMMESSA	LOTTO	CODIFICA	DOCUMENTO	REV.	FOGLIO	IF26	12	E ZZ CL	VI 05 07 003	A	11 di 162
COMMESSA	LOTTO	CODIFICA	DOCUMENTO	REV.	FOGLIO								
IF26	12	E ZZ CL	VI 05 07 003	A	11 di 162								

5 ANALISI DEI CARICHI

5.1 Pesi propri

Si considerano i seguenti pesi per unità di volume:

- calcestruzzo $\gamma_{cls}=25$ kN/mc;
- acciaio per carpenteria metallica $\gamma_s=78.5$ kN/mc.

Il peso proprio dell'impalcato è costituito da:

- il peso proprio delle 2 travi;
- il peso della soletta.

5.2 Permanenti portati

Si considera per il ballast un peso specifico $\gamma = 18$ kN/m³ e un'altezza convenzionale pari a 0.80 m, da cui $0.80\text{m} \cdot 18$ kN/m³ = 14.4 KN/m², agenti sulla larghezza della vasca portaballast.

Altri permanenti portati:

$$\text{Massetto sp.} = 5 \text{ cm} \qquad 25 \text{ kN/m}^3 \cdot 0.05\text{m} \qquad = \qquad 1.25 \text{ kN/m}^2$$

$$\text{Lastre predalle sp} = 5 \text{ cm} \qquad 25 \text{ kN/m}^3 \cdot 0.05\text{m} \qquad = \qquad 1.25 \text{ kN/m}^2$$

(agente sulla larghezza di piattaforma di 13.70 m)

$$\text{Cavidotti e impianti FFP}^1 \qquad = \qquad 2 \cdot 11.20 \text{ kN/m}$$

$$\text{Cordoli laterali } 20 \times 82 \text{ cm} \qquad [(0.20\text{m} \cdot 0.82\text{m}) \cdot 25 \text{ kN/m}^3] \cdot 2 = \qquad 2 \cdot 4.10 \text{ kN/m}$$

$$\text{Velette} \qquad = \qquad 2 \cdot 1.50 \text{ kN/m}$$

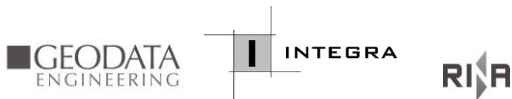
$$\text{Barriere antirumore (*)} \qquad = \qquad 2 \cdot 16.0 \text{ kN/m}$$

(*) si considera un carico per ciascuna barriera di 16KN/ml, con altezza di 4,00 m rispetto al piano del ferro.

5.3 Effetti dinamici

Il coefficiente dinamico adottato è:

¹ Ai fini del dimensionamento strutturale viene comunque previsto il carico corrispondente alla presenza dei marciapiedi per *Fire Fighting Point (FFP)* anche se non presenti in corrispondenza del VI05 – *Viadotto Calore Torallo* unicamente nell'ambito del quale è previsto, per il II° Lotto Funzionale Frasso Telesino-Vitulano, l'impiego della tipologia di impalcato oggetto del presente documento.

	ITINERARIO NAPOLI – BARI RADDOPPIO TRATTA CANCELLO-BENEVENTO II LOTTO FUNZIONALE FRASSO TELESINO – VITULANO 1° LOTTO FUNZIONALE FRASSO TELESINO – TELESE PROGETTO ESECUTIVO												
<i>Relazione di Calcolo impalcato a struttura mista Viadotto ferroviario – L=65 m</i>	<table border="1" style="width: 100%; border-collapse: collapse;"> <thead> <tr> <th style="text-align: center;">COMMESSA</th> <th style="text-align: center;">LOTTO</th> <th style="text-align: center;">CODIFICA</th> <th style="text-align: center;">DOCUMENTO</th> <th style="text-align: center;">REV.</th> <th style="text-align: center;">FOGLIO</th> </tr> </thead> <tbody> <tr> <td style="text-align: center;">IF26</td> <td style="text-align: center;">12</td> <td style="text-align: center;">E ZZ CL</td> <td style="text-align: center;">VI 05 07 003</td> <td style="text-align: center;">A</td> <td style="text-align: center;">12 di 162</td> </tr> </tbody> </table>	COMMESSA	LOTTO	CODIFICA	DOCUMENTO	REV.	FOGLIO	IF26	12	E ZZ CL	VI 05 07 003	A	12 di 162
COMMESSA	LOTTO	CODIFICA	DOCUMENTO	REV.	FOGLIO								
IF26	12	E ZZ CL	VI 05 07 003	A	12 di 162								

analisi globale

$$F_3 = \frac{2.16}{\sqrt{L_F - 0.2}} + 0.73 = 1.01$$

essendo $L_\phi = 63$ m, come indicato nella tabella 1.4.2.5.3-1 per il caso 5.1:

Travi e solette semplicemente appoggiate $\rightarrow L_\phi =$ luce nella direzione delle travi principali.

analisi locale

$$F_3 = \frac{2.16}{\sqrt{L_F - 0.2}} + 0.73 = 1.912$$

essendo $L_\phi = 4.11$ m, come indicato nella tabella 1.4.2.5.3-1 per il caso 5.2:

travi e solette continue su n luci $\rightarrow L_\phi = k \cdot L_m$, con $L_m = 1/n \cdot (L_1 + L_2 + \dots + L_n)$; $n = 5$; $k = 1.5$.

5.4 Carichi viaggianti

Le azioni variabili verticali sono state definite in accordo con il Manuale di progettazione RFI.

Treno LM71

- Distribuzione longitudinale dei carichi assiali Q_{vk}

$$q_{vk} = 80 \text{ kN/m}$$

$$Q_{vk} = 250 \text{ kN}$$

$$\alpha = 1.1 \text{ (coefficiente di adattamento)}$$

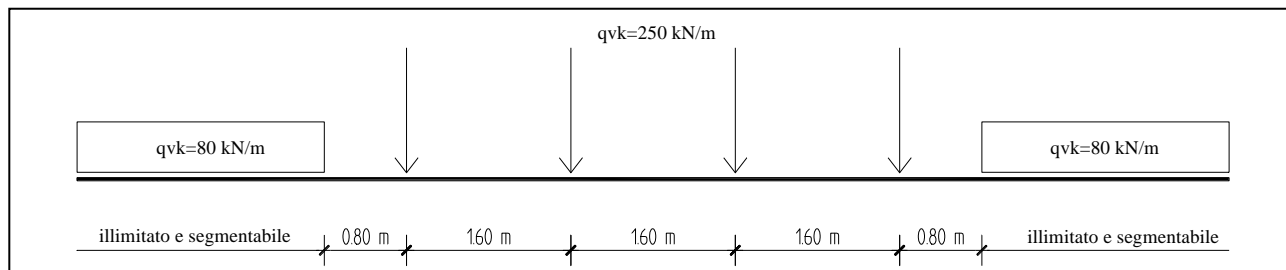


Figura 6 – Treno di carico LM71

- Distribuzione trasversale dei carichi

Relazione di Calcolo impalcato a struttura mista
Viadotto ferroviario – L=65 m

COMMESSA	LOTTO	CODIFICA	DOCUMENTO	REV.	FOGLIO
IF26	12	E ZZ CL	VI 05 07 003	A	13 di 162

Eseguendo a partire dalla traversina di larghezza 2.40 m una diffusione del carico 1/4 attraverso la massicciata ed 1/1 fino al piano medio di soletta, si ottiene una dimensione b su cui ripartire il carico pari a 3.10 m, da cui:

$$\alpha \cdot q_{vk} = 1.1 \cdot 80 \text{ kN/m} / 3.10 \text{ m} = 28.4 \text{ kN/m}^2$$

$$\alpha \cdot Q_{vk} = 1.1 \cdot 250 \text{ kN} / 3.10 \text{ m} = 88.7 \text{ kN/m}$$

Considerando l'incremento di tali carichi per tener conto dell'effetto dinamico si ha:

analisi globale

$$q_{vk} = \Phi_3 \times 28.4 \text{ kN/m}^2 = 1.01 \times 28.4 \text{ kN/m}^2 = 28.7 \text{ kN/m}^2$$

$$Q_{vk} = \Phi_3 \times 88.7 \text{ kN/m}^2 = 1.01 \times 88.7 \text{ kN/m}^2 = 89.6 \text{ kN/m}^2$$

Treno SW/ 2

- Distribuzione longitudinale dei carichi

$$q_{vk} = 150 \text{ kN/m}$$

$$\alpha = 1.0 \text{ (coefficiente di adattamento)}$$

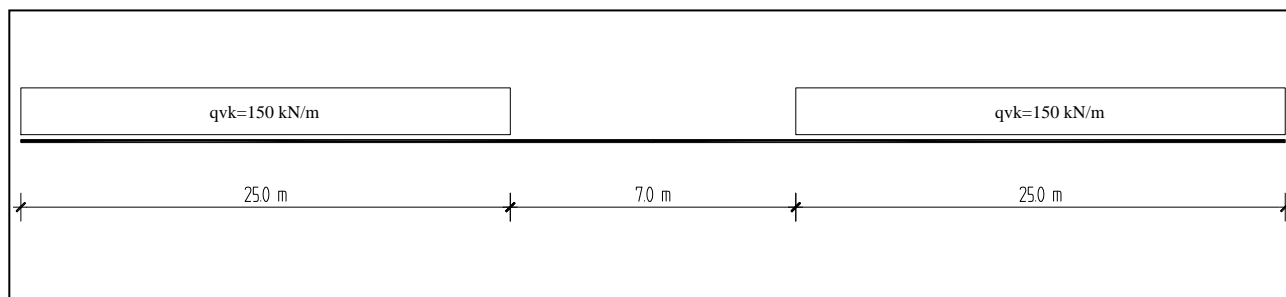


Figura 7 – Treno di carico SW/2

- Distribuzione trasversale dei carichi

Per $b = 3.10 \text{ m}$ (come da precedente paragrafo "Treno LM71") si ha:

$$\alpha \cdot q_{vk} = 1 \cdot q_{vk} = 150 \text{ kN/m} / 3.10 \text{ m} = 48.4 \text{ kN/m}^2$$

Considerando l'incremento di tali carichi per tener conto dell'effetto dinamico si ha:

analisi globale

$$q_{vk} = \Phi_3 \times 48.4 \text{ kN/m}^2 = 1.01 \times 48.4 \text{ kN/m}^2 = 48.9 \text{ kN/m}^2$$

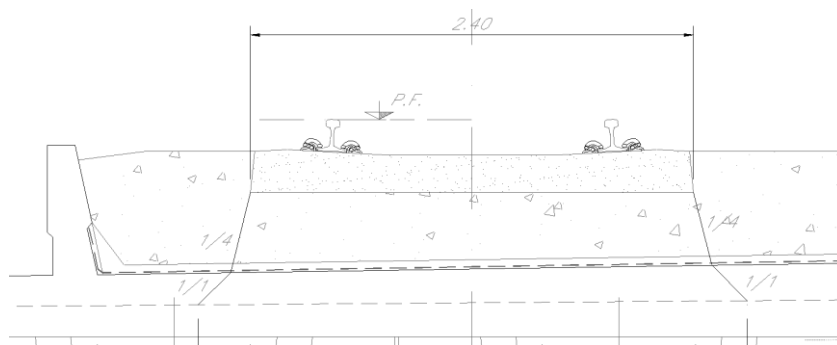


Figura 8 – Distribuzione trasversale dei carichi

Nell'applicazione dei vari modelli di carico dei treni, sia per la determinazione degli effetti globali che degli effetti locali, si terrà conto dell'eccentricità geometrica, determinata dalla non coincidenza dell'asse rettilineo dell'impalcato metallico e di quello curvilineo del tracciato ferroviario, e quella accidentale, per i treni di carico LM71, prescritta dalla normativa e pari ad un diciottesimo dello scartamento. Tali valori delle eccentricità sono riportati di seguito:

e_g = eccentricità geometrica

L = luce dell'impalcato = 63 m

R = raggio di curvatura in pianta = 1550 m

$$e_g = R - \sqrt{R^2 - \left(\frac{L}{2}\right)^2} = 0.34 \text{ m}$$

e_a = eccentricità accidentale

$$e_a = s/18 = \pm 0.078 \text{ m}$$

5.5 Carichi sui marciapiedi

Il carico sui marciapiedi è definito:

$$q_{vk} = 10.0 \text{ kN/m}^2$$

Per questo tipo di carico, che non deve considerarsi contemporaneo al transito dei convogli ferroviari, non deve applicarsi l'incremento dinamico.

5.6 Frenatura e avviamento dei treni

Tali forze agiscono sulla sommità del binario, nella direzione longitudinale dello stesso. Sono da considerarsi uniformemente distribuite su una lunghezza di binario L determinata per ottenere l'effetto più gravoso. La normativa italiana [5.2.2.4.3 – D.M. 14.01.2008] indica quali sono i valori caratteristici da considerare:

Avviamento:

$$Q_{la,k} = 33 \text{ KN/m} \cdot L \text{ [m]} \leq 1000 \text{ KN} \quad \text{per LM71, SW/0, SW/2}$$

Frenatura:

$$Q_{lb,k} = 20 \text{ KN/m} \cdot L \text{ [m]} \leq 6000 \text{ KN} \quad \text{per LM71, SW/0}$$

$$Q_{lb,k} = 35 \text{ KN/m} \cdot L \text{ [m]} \quad \text{per SW/2}$$

I valori caratteristici devono essere moltiplicati per α e non per Φ .

Le azioni di avviamento e frenatura saranno combinate con i relativi carichi verticali. Nel caso di ponti a doppio binario si devono considerare due treni in transito in versi opposti, uno in fase di avviamento, l'altro in fase di frenatura. Nel caso in esame si considera in fase un LM71 in fase di avviamento e un SW/2 in fase di frenatura:

$$q_{AVV,LM71} = 33 \text{ KN/m, applicato su una lunghezza di 30.3 m}$$

$$q_{FREN,SW/2} = 35 \text{ KN/m.}$$

5.7 Azione centrifuga

L'azione centrifuga è definita in funzione del raggio di curvatura, assunto pari a 1550m.

Il valore caratteristico della forza centrifuga si determinerà in accordo con la seguente espressione:

$$Q_{ak} = \frac{v^2}{g \cdot r} (f \cdot Q_{vk}) = \frac{V^2}{127 \cdot r} (f \cdot Q_{vk})$$

$$q_{ak} = \frac{v^2}{g \cdot r} (f \cdot q_{vk}) = \frac{V^2}{127 \cdot r} (f \cdot q_{vk})$$

dove:

Q_{tk}- q_{tk} = valore caratteristico della forza centrifuga [kN - kN/m];

Q_{vk}- q_{vk} = valore caratteristico dei carichi verticali [kN - kN/m];

v = velocità di progetto espressa in m/s;

V = velocità di progetto espressa in km/h;

f = fattore di riduzione (definito in seguito);

g = accelerazione di gravità in m/s²;

r = è il raggio di curvatura in m.

Nel caso di curva policentrica come valore del raggio r dovrà essere assunto un valore pari al più piccolo raggio di curvatura reale che interessa la campata in esame.

La forza centrifuga sarà sempre combinata con i carichi verticali supposti agenti nella generica configurazione di carico, e non sarà incrementata dai coefficienti dinamici.

$$f = \left[1 - \frac{V-120}{1000} \left(\frac{814}{V} + 1,75 \right) \right] \cdot \left(1 - \sqrt{\frac{2,88}{L_f}} \right)$$

f è un fattore di riduzione dato in funzione della velocità *V* e della lunghezza *L_f* di binario carico.

dove:

L_f = lunghezza di influenza, in metri, della parte curva di binario carico sul ponte, che è la più sfavorevole per il progetto del generico elemento strutturale;

f = 1 per *V* ≤ 120 km/h o *L_f* ≤ 2,88 m;

f < 1 per 120 ≤ *V* ≤ 300 km/h e *L_f* > 2,88 m;

f(*V*) = *f*(300) per *V* > 300 km/h.

Per il modello di carico LM71 e per velocità di progetto superiori ai 120 km/h, saranno considerati due casi:

(a) Modello di carico LM71 e forza centrifuga per *V*= 120 km/h in accordo con le formule precedenti dove *f* = 1;

(b) Modello di carico LM71 e forza centrifuga calcolata secondo le precedenti espressioni per la massima velocità di progetto.

Per i modelli di carico LM71 e SW/0 l'azione centrifuga si dovrà determinare partendo dall'espressione generale $Q_{\text{ctk}} = V^2 (f \times \alpha Q_{\text{vkt}}) / (127 \times R)$ associando i valori di *V*, *α*, e *f* in base al contenuto della tabella 1.4.3.1-1 seguente.

Valore di α	Massima velocità della linea [Km/h]	Azione centrifuga basata su:				traffico verticale associato
		V	α	f		
SW/2	≥ 100	100	1	1	1 x 1 x SW/2	Φ x 1 x SW/2
	< 100	V	1	1	1 x 1 x SW/2	
LM71 e SW/0	> 120	V	1	f	1 x f x (LM71" + "SW/0)	Φ x 1 x 1 x (LM71" + "SW/0)
		120	α	1	α x 1 x (LM71" + "SW/0)	Φ x α x 1 x (LM71" + "SW/0)
	≤ 120	V	α	1	α x 1 x (LM71" + "SW/0)	

Tab. 1.4.3.1-1 - Parametri per determinazione della forza centrifuga

Per il treno di carico tipo SW/2 si considerano i seguenti parametri e valori:

$$V = 100 \text{ km/h (la velocità di progetto della linea è di 200 km/h);}$$

$$\alpha = 1$$

$$f = 1$$

$$Q_{tk} = 0 \text{ perché } Q_{vk} = 0$$

$$q_{tk} = V^2 / (127 \times r) \times f \times q_{vk} = 7.6 \text{ kN/m}$$

Il traffico verticale associato è pari a Φ x 1 x SW/2

Per il treno di carico tipo LM/71 occorre considerare due casi:

(a) $V=120 \text{ km/h}$

$$\alpha = 1.1$$

$$f = 1$$

$$Q_{tk} = V^2 / (127 \times r) \times f \times Q_{vk} = 20.1 \text{ kN}$$

$$q_{tk} = V^2 / (127 \times r) \times f \times q_{vk} = 6.4 \text{ kN/m}$$

(b) $V = 200 \text{ km/h}$

$$\alpha = 1$$

Relazione di Calcolo impalcato a struttura mista
Viadotto ferroviario – L=65 m

COMMESSA	LOTTO	CODIFICA	DOCUMENTO	REV.	FOGLIO
IF26	12	E ZZ CL	VI 05 07 003	A	18 di 162

$$f = 0.63 \text{ (considerando } L_f = 65 \text{ m)}$$

$$Q_{tk} = V^2 / (127 \times r) \times f \times Q_{vk} = 32.1 \text{ kN}$$

$$q_{tk} = V^2 / (127 \times r) \times f \times q_{vk} = 10.3 \text{ kN/m}$$

Il caso (b) è più gravoso del caso (a), pertanto è l'unico caso che verrà considerato nel modello di calcolo.

I valori di carico ottenuti devono essere moltiplicati per il coefficiente di adattamento dell'LM71 $\alpha = 1.1$.

Il traffico verticale associato è pari a $\Phi \times LM/71$.

5.8 Serpeggio

L'azione laterale associata al serpeggio è definita al par. 1.4.3.2 delle *Istruzioni per la progettazione e l'esecuzione dei ponti ferroviari*, che riprende il par. 5.2.2.4.2 del DM 14.1.2008, ed equivale ad una forza concentrata agente orizzontalmente, applicata alla sommità della rotaia più alta, perpendicolarmente all'asse del binario, del valore di 100 kN.

Tale valore deve essere moltiplicato per il coefficiente di adattamento α ed è considerato distribuito su una lunghezza di 2 m in direzione longitudinale.

$$q_{SERP} = 100 \text{ KN} / 2 \text{ m} = 50 \text{ KN/m}$$

Il carico deve essere moltiplicato per il coefficiente di adattamento α .

*Relazione di Calcolo impalcato a struttura mista
Viadotto ferroviario – L=65 m*

COMMESSA	LOTTO	CODIFICA	DOCUMENTO	REV.	FOGLIO
IF26	12	E ZZ CL	VI 05 07 003	A	19 di 162

5.9 Ritiro calcestruzzo

Si calcola una variazione di temperatura equivalente alla deformazione da ritiro della soletta in c.a., tenendo conto dell'influenza del fenomeno della viscosità.

Cls a t=0

$f_{ck} =$	32 Mpa
$f_{cm} =$	40 MPa
$\alpha =$	0.00001
$E_{cm} =$	33345764 kN/m ²
cls tipo =	N
k =	1 coef. di correzione di E_{cm}

$E_{cm} = 33345764 \text{ kN/m}^2$

Tempo e ambiente

$t_s =$	2 gg	età del calcestruzzo in giorni, all'inizio del ritiro per essiccamento
$t_o =$	28 gg	età del calcestruzzo in giorni al momento del carico
$t =$	25550 gg	età del calcestruzzo in giorni
$h_o = 2A_c/u =$	460 mm	dimensione fittizia dell'elemento di cls
$A_c =$	5734000 mm ²	sezione dell'elemento
$u =$	24940 mm	perimetro a contatto con l'atmosfera
$RH =$	75 %	umidità relativa percentuale

Relazione di Calcolo impalcato a struttura mista
Viadotto ferroviario – L=65 m

COMMESSA	LOTTO	CODIFICA	DOCUMENTO	REV.	FOGLIO
IF26	12	E ZZ CL	VI 05 07 003	A	20 di 162

Coefficiente di viscosità $\phi(t, t_0)$ e modulo elastico ECt a tempo "t"

$$\phi(t, t_0) = \phi_0 \beta_c(t, t_0) = 1.650$$

$$\phi_0 = \phi_{RH} \beta_{\chi}(f_{cm}) \beta_{\chi}(t_0) = 1.670 \text{ coefficiente nominale di viscosità}$$

$$\phi_{RH} = 1 + \left[\frac{1 - RH/100}{0.1 \cdot \sqrt[3]{h_0}} \right] \alpha_1 \alpha_2 = 1.29 \text{ coefficiente che tiene conto dell'umidità}$$

$$\alpha_1 = \begin{cases} (35/f_{cm})^{0.7} & \text{per } f_{cm} > 35 \text{ MPa} \\ 1 & \text{per } f_{cm} \leq 35 \text{ MPa} \end{cases} = 0.911 \text{ coeff. per la resistenza del cls}$$

$$\alpha_2 = \begin{cases} (35/f_{cm})^{0.2} & \text{per } f_{cm} > 35 \text{ MPa} \\ 1 & \text{per } f_{cm} \leq 35 \text{ MPa} \end{cases} = 0.974 \text{ coeff. per la resistenza del cls}$$

$$\beta_c(f_{cm}) = \frac{16.8}{\sqrt{f_{cm}}} = 2.656313 \text{ coefficiente che tiene conto della resistenza del cls}$$

$$\beta_c(t_0) = \frac{1}{(0.1 + t_0^{0.20})} = 0.488 \text{ coefficiente per l'evoluzione della viscosità nel tempo}$$

$$t_0 = t_0 \left(\frac{9}{2 + t_0^{1.2}} + 1 \right)^{\alpha} \geq 0.5 = 28.00 \text{ tempo } t_0 \text{ corretto in funzione della tipologia di cemento}$$

$$\alpha = 0 \text{ coefficiente per il tipo di cemento (-1 per Classe S, 0 per Classe N, 1 per Classe R)}$$

$$\beta_c(t, t_0) = \left[\frac{(t - t_0)}{(\beta_H + t - t_0)} \right]^{0.3} = 0.988 \text{ coeff. per la variabilità della viscosità nel tempo}$$

$$\beta_H = 1.5 \left[1 + (0.012 \cdot RH)^{18} \right] h_0 + 250 \cdot \alpha_3 \leq 1500 \cdot \alpha_3 = 1027.1 \text{ coefficiente che tiene conto dell'umidità relativa}$$

$$\alpha_3 = \begin{cases} (35/f_{cm})^{0.5} & \text{per } f_{cm} > 35 \text{ MPa} \\ 1 & \text{per } f_{cm} \leq 35 \text{ MPa} \end{cases} = 0.935 \text{ coeff. per la resistenza del calcestruzzo}$$

Relazione di Calcolo impalcato a struttura mista
Viadotto ferroviario – L=65 m

COMMESSA	LOTTO	CODIFICA	DOCUMENTO	REV.	FOGLIO
IF26	12	E ZZ CL	VI 05 07 003	A	21 di 162

Il modulo elastico al tempo "t" è pari a:

$$E_{cm}(t, t_0) = \frac{E_{cm}}{1 + \varphi(t, t_0)} = 12581003 \text{ kN/m}^2$$

Deformazione di Ritiro

$$\varepsilon_s(t, t_0) = \varepsilon_{ca}(t) + \varepsilon_{ca}(t) = 0.000273 \text{ deformazione di ritiro } \varepsilon(t, t_0)$$

$$\varepsilon_{ca}(t) = \beta_{ds}(t, t_s) K_b \varepsilon_{ca,0} = 0.000218 \text{ deformazione dovuta al ritiro per essiccazione}$$

$$\beta_{ds}(t, t_s) = \left[\frac{(t - t_s)}{(t - t_s) + 0.04 \sqrt{h_0^3}} \right] = 0.984797$$

Kh = 0.71 parametro che dipende da ho secondo il prospetto seguente

Valori di kh

h ₀ (mm)	kh
100	1,0
200	0,85
300	0,75
≥500	0,70

Valori di Kh intermedi a quelli del prospetto vengono calcolati tramite interpolazione lineare.

$$\varepsilon_{ca,0} = 0.85 \left[(220 + 110 \alpha_{ds1}) \cdot \exp(-\alpha_{ds2} \frac{f_{cm}}{f_{cm0}}) \right] 10^{-6} \beta_{RH} = 0.000311 \text{ deformazione di base}$$

$$\beta_{RH} = 1.55 \left[1 - \left(\frac{RH}{RH0} \right)^3 \right] = 0.896094$$

$$f_{cm0} = 10 \text{ MPa}$$

$$RH0 = 100 \%$$

$$\alpha_{ds1} = 4 \text{ coefficiente per il tipo di cemento (3 per Classe S, 4 per Classe N, 6 per Classe R)}$$

$$\alpha_{ds2} = 0.12 \text{ coefficiente per il tipo di cemento (0.13 per Classe S, 0.12 per Classe N, 0.11 per Classe R)}$$

$$\varepsilon_{ca}(t) = \beta_{ds}(t) \varepsilon_{ca,0} = 0.000055 \text{ deformazione dovuta al ritiro autogeno}$$

Relazione di Calcolo impalcato a struttura mista
Viadotto ferroviario – L=65 m

COMMESSA	LOTTO	CODIFICA	DOCUMENTO	REV.	FOGLIO
IF26	12	E ZZ CL	VI 05 07 003	A	22 di 162

$$\beta_{az}(t) = 1 - \exp(-0.2t^{0.5}) = 1$$

$$\varepsilon_{caoo} = 2.5 (f_{ck} - 10) 10^{-6} = 0.000055$$

Variazione termica uniforme equivalente agli effetti del ritiro:

$$\Delta T_{ritiro} = - \frac{\varepsilon_s(t, t_0) \cdot E_{cm}}{(1 + \varphi(t, t_0)) \cdot E_{cm} \cdot \alpha} = -10.28 \text{ } ^\circ\text{C}$$

5.10 Variazioni termiche

In accordo con le normative sui ponti e sulle strutture d'acciaio, si applica un carico termico differenziale pari a $\pm 5^\circ$ fra soletta e travi in acciaio. Si è inoltre considerata un gradiente termico di $\pm 5^\circ$ tra estradosso ed intradosso impalcato.

5.11 Termica uniforme (ε_3)

Viene considerata una variazione termica uniforme pari a $\pm 15 \text{ } ^\circ\text{C}$ applicata agli elementi trave e trasversi dell'impalcato.

5.12 Vento

Il calcolo dell'azione del vento è stato condotto secondo quanto riportato al par. 3.3 del DM 2008 e si riportano di seguito i principali parametri di calcolo:

Relazione di Calcolo impalcato a struttura mista
Viadotto ferroviario – L=65 m

COMMESSA	LOTTO	CODIFICA	DOCUMENTO	REV.	FOGLIO
IF26	12	E ZZ CL	VI 05 07 003	A	23 di 162

3) Toscana, Marche, Umbria, Lazio, Abruzzo, Molise, Puglia, Campania, Basilicata, Calabria (esclusa la provincia di Reggio Calabria)

Zona	$v_{b,0}$ [m/s]	a_0 [m]	k_s [1/s]
3	27	500	0.02
a_s (altitudine sul livello del mare [m])	50		
T_R (Tempo di ritorno)	100		
$v_b = v_{b,0}$ per $a_s \leq a_0$ $v_b = v_{b,0} + k_s (a_s - a_0)$ per $a_0 < a_s \leq 1500$ m			
v_b ($T_R = 50$ [m/s])	27.000		
α_R (T_R)	1.03924		
v_b (T_R) = $v_b \times \alpha_R$ [m/s]	28.059		

p (pressione del vento [N/mq]) = $q_b \cdot c_e \cdot c_p \cdot c_d$
 q_b (pressione cinetica di riferimento [N/mq])
 c_e (coefficiente di esposizione)
 c_p (coefficiente di forma)
 c_d (coefficiente dinamico)



Pressione cinetica di riferimento

$$q_b = 1/2 \cdot \rho \cdot v_b^2 \quad (\rho = 1,25 \text{ kg/mc})$$

q_b [N/mq]	492.08
--------------	--------

Coefficiente di forma

E' il coefficiente di forma (o coefficiente aerodinamico), funzione della tipologia e della geometria della costruzione e del suo orientamento rispetto alla direzione del vento. Il suo valore può essere ricavato da dati suffragati da opportuna documentazione o da prove sperimentali in galleria del vento.

Coefficiente dinamico

Esso può essere assunto autelativamente pari ad 1 nelle costruzioni di tipologia ricorrente, quali gli edifici di forma regolare non eccedenti 80 m di altezza ed i capannoni industriali, oppure può essere determinato mediante analisi specifiche o facendo riferimento a dati di comprovata affidabilità.

Relazione di Calcolo impalcato a struttura mista
Viadotto ferroviario – L=65 m

COMMESSA	LOTTO	CODIFICA	DOCUMENTO	REV.	FOGLIO
IF26	12	E ZZ CL	VI 05 07 003	A	24 di 162

Coefficiente di esposizione

Classe di rugosità del terreno

D) Aree prive di ostacoli (aperta campagna, aeroporti, aree agricole, pascoli, zone paludose o sabbiose, superfici innevate o ghiacciate, mare, laghi,....)

Categoria di esposizione

ZONE 1,2,3,4,5						
	costa		500m		750m	
	mare					
	2 km	10 km	30 km			
A	--	IV	IV	V	V	V
B	--	III	III	IV	IV	IV
C	--	*	III	III	IV	IV
D	I	II	II	II	III	**
* Categoria II in zona 1,2,3,4 Categoria III in zona 5						
** Categoria III in zona 2,3,4,5 Categoria IV in zona 1						

ZONA 6					
	costa		500m		
	mare				
	2 km	10 km	30 km		
A	--	III	IV	V	V
B	--	II	III	IV	IV
C	--	II	III	III	IV
D	I	I	II	II	III

ZONE 7,8		
	mare	costa
	1,5 km	0,5 km
A	--	IV
B	--	IV
C	--	III
D	I	*
* Categoria II in zona 8 Categoria III in zona 7		

ZONA 9		
	mare	costa
A	--	I
B	--	I
C	--	I
D	I	I

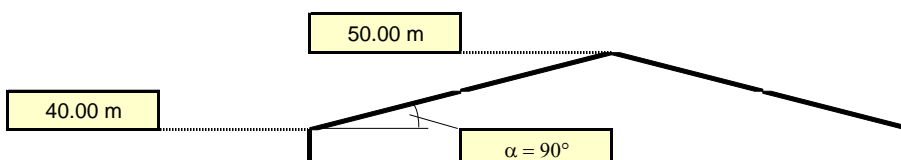
Zona	Classe di rugosità	a _s [m]
3	D	50

$$c_e(z) = k_r^2 \cdot c_t \cdot \ln(z/z_0) [7 + c_t \cdot \ln(z/z_0)] \quad \text{per } z \geq z_{\min}$$

$$c_e(z) = c_e(z_{\min}) \quad \text{per } z < z_{\min}$$

Cat. Esposiz.	k _r	z ₀ [m]	z _{min} [m]	c _t
II	0.19	0.05	4	1

z [m]	c _e
z ≤ 4	1.801
z = 40	3.302
z = 50	3.468



Calcolo del coefficiente di forma:

- Vento su prima trave

Indicate con

S = superficie delimitata dal contorno della trave;

S_p = superficie della parte piena della trave;

$$\phi = S_p / S = 1$$

La pressione si valuta utilizzando c_p = 2.4 - φ = 1.4

$$q_{v,1} = q_b \cdot c_e \cdot c_p \cdot c_d = 492.1 \text{ N/m}^2 \cdot 3.468 \cdot 1.4 \cdot 1 = 2389 \text{ N/m}^2$$

- Vento su seconda trave

Nel caso di più travi disposte parallelamente a distanza d non maggiore del doppio dell'altezza h , il valore della pressione sull'elemento successivo sarà pari a quello sull'elemento precedente moltiplicato per un coefficiente di riduzione dato da $\mu = 0.2$.

$$q_{v,1} = 2389 \text{ N/m}^2 \cdot 0.2 = 478 \text{ N/m}^2$$

- Vento su spessore soletta + barriera antirumore

L'altezza investita dal vento è data dalla somma dell'altezza della soletta all'estremità pari a 0.40 m, l'altezza del cordolo pari a 0.20 m e l'altezza delle barriere antirumore pari a 4 m, per un totale di 4.60 m.

Si determinano le forze complessive agenti sul piano medio della soletta:

$$Q_y = 2.39 \text{ KN/m}^2 \cdot 4.60 \text{ m} = 10.99 \text{ KN/m} \quad \text{forza distribuita trasversale all'impalcato}$$

$$M_x = 2.39 \text{ KN/m}^2 \cdot 4.20 \text{ m} \cdot (4.20\text{m}/2 + 0.20 \text{ m}) = 23.09 \text{ KNm/m} \quad \text{momento distribuito intorno all'asse longitudinale dell'impalcato}$$

- Vento su convoglio ferroviario

Il treno viene individuato come una superficie piana continua convenzionalmente alta 4 m dal piano del ferro, che a sua volta è alto 1.03 m rispetto al piano medio della soletta.

Si determinano le forze complessive agenti sul piano medio della soletta:

$$Q_y = 2.39 \text{ KN/m}^2 \cdot 4.00 \text{ m} = 9.56 \text{ KN/m} \quad \text{forza distribuita trasversale all'impalcato}$$

$$M_x = 9.56 \text{ KN/m} \cdot 5.03 \text{ m} = 48.09 \text{ KNm/m} \quad \text{momento distribuito intorno all'asse longitudinale dell'impalcato}$$

	ITINERARIO NAPOLI – BARI RADDOPPIO TRATTA CANCELLO-BENEVENTO II LOTTO FUNZIONALE FRASSO TELESINO – VITULANO 1° LOTTO FUNZIONALE FRASSO TELESINO – TELESE PROGETTO ESECUTIVO												
<i>Relazione di Calcolo impalcato a struttura mista Viadotto ferroviario – L=65 m</i>	<table border="1"> <thead> <tr> <th>COMMESSA</th> <th>LOTTO</th> <th>CODIFICA</th> <th>DOCUMENTO</th> <th>REV.</th> <th>FOGLIO</th> </tr> </thead> <tbody> <tr> <td>IF26</td> <td>12</td> <td>E ZZ CL</td> <td>VI 05 07 003</td> <td>A</td> <td>26 di 162</td> </tr> </tbody> </table>	COMMESSA	LOTTO	CODIFICA	DOCUMENTO	REV.	FOGLIO	IF26	12	E ZZ CL	VI 05 07 003	A	26 di 162
COMMESSA	LOTTO	CODIFICA	DOCUMENTO	REV.	FOGLIO								
IF26	12	E ZZ CL	VI 05 07 003	A	26 di 162								

5.13 Azioni sismiche

L'azione sismica risulta non essere dimensionante per l'impalcato; pertanto è stata considerata solo al fine di determinare le azioni sugli apparecchi d'appoggio con fattore di struttura assunto $q = 1$.

Gli spettri di progetto definiti sono stati determinati a partire dalle coordinate, la vita nominale, la classe d'uso, le categorie topografiche e di sottosuolo e in base allo stato limite da considerare. In particolare:

Long = 14.474; Lat = 41.184238

$V_n = 75$ anni

$C_u = 1.5$

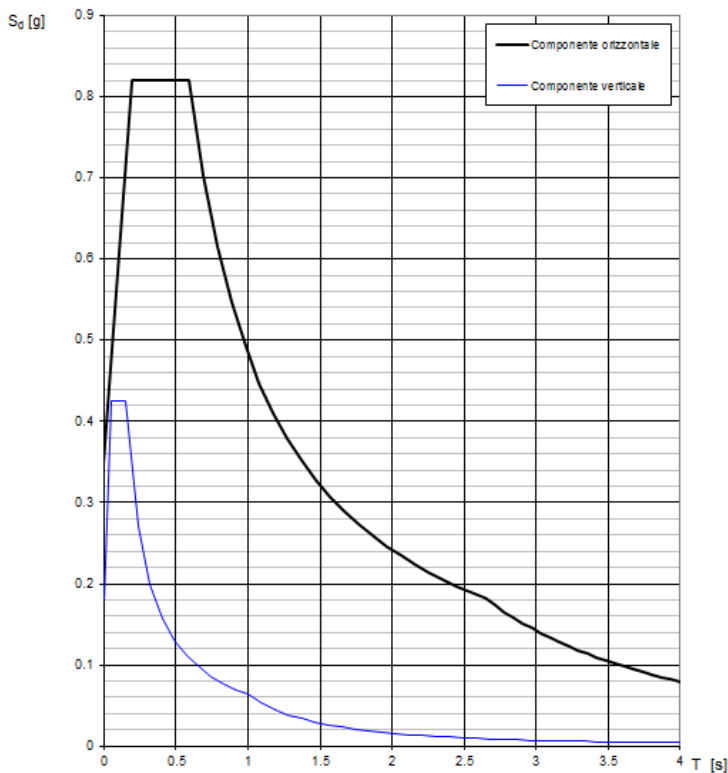
$T_R = 1068$ anni

Categoria di sottosuolo C

Categoria topografica T1

Stato limite considerato SLV

Spettri di risposta (componenti orizz. e vert.) per lo stato li SLV



Parametri spettro orizzontale

Parametri indipendenti

STATO LIMITE	SLV
a_a	0.262 g
F_a	2.356
T_C	0.421 s
S_S	1.330
C_C	1.396
S_T	1.000
q	1.000

Parametri dipendenti

S	1.330
η	1.000
T_B	0.196 s
T_C	0.588 s
T_D	2.647 s

Parametri spettro verticale

Parametri indipendenti

STATO LIMITE	SLV
a_{qv}	0.181 g
S_S	1.000
S_T	1.000
q	1.000
T_B	0.050 s
T_C	0.150 s
T_D	1.000 s

Parametri dipendenti

F_v	1.627
S	1.000
η	1.000

Figura 9: Grafici e parametri spettri di progetto

5.14 Resistenze parassite nei vincoli

Si considerano le resistenze parassite nei vincoli in condizioni di spostamento relativo incipiente prodotto dalle variazioni di temperatura.

$$F_o \text{ (fisso)} = F_o \text{ (mobile)} = f \cdot (V_g + V_q) \quad \text{con } f = 0.03$$

L'azione in esame è stata considerata ai soli fini del calcolo delle azioni sugli apparecchi di appoggio.

	ITINERARIO NAPOLI – BARI RADDOPPIO TRATTA CANCELLO-BENEVENTO II LOTTO FUNZIONALE FRASSO TELESINO – VITULANO 1° LOTTO FUNZIONALE FRASSO TELESINO – TELESE PROGETTO ESECUTIVO												
<i>Relazione di Calcolo impalcato a struttura mista Viadotto ferroviario – L=65 m</i>	<table border="1"> <thead> <tr> <th>COMMESSA</th> <th>LOTTO</th> <th>CODIFICA</th> <th>DOCUMENTO</th> <th>REV.</th> <th>FOGLIO</th> </tr> </thead> <tbody> <tr> <td>IF26</td> <td>12</td> <td>E ZZ CL</td> <td>VI 05 07 003</td> <td>A</td> <td>28 di 162</td> </tr> </tbody> </table>	COMMESSA	LOTTO	CODIFICA	DOCUMENTO	REV.	FOGLIO	IF26	12	E ZZ CL	VI 05 07 003	A	28 di 162
COMMESSA	LOTTO	CODIFICA	DOCUMENTO	REV.	FOGLIO								
IF26	12	E ZZ CL	VI 05 07 003	A	28 di 162								

5.15 Deragliamento

Il deragliamento è un'azione derivante dall'esercizio ferroviario che deve essere considerata quale azione eccezionale.

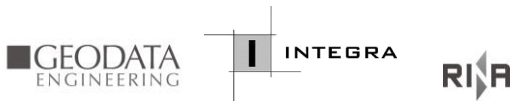
- Caso 1

Si devono considerare due carichi verticali lineari $q_{A1d} = 60$ kN/m ciascuno, posizionati longitudinalmente su una lunghezza di 6,40 m, ad una distanza trasversale pari allo scartamento S. Il carico più eccentrico tra i due deve essere posto ad una distanza massima di $1,5*s$ dall'asse dei binari.

- Caso 2

Si deve considerare un unico carico lineare $q_{A2d} = 80 \times 1.4$ kN/m esteso per 20 m e disposto con una eccentricità massima, lato esterno, di $1,5*s$ rispetto all'asse del binario.

Nel caso in esame la forza del deragliamento non è stata considerata ai fini del dimensionamento in quanto con la geometria in esame non può pregiudicare la stabilità globale dell'opera.

	ITINERARIO NAPOLI – BARI RADDOPPIO TRATTA CANCELLO-BENEVENTO II LOTTO FUNZIONALE FRASSO TELESINO – VITULANO 1° LOTTO FUNZIONALE FRASSO TELESINO – TELESE PROGETTO ESECUTIVO												
<i>Relazione di Calcolo impalcato a struttura mista Viadotto ferroviario – L=65 m</i>	<table border="1" style="width: 100%; border-collapse: collapse;"> <tr> <td style="text-align: center;">COMMESSA</td> <td style="text-align: center;">LOTTO</td> <td style="text-align: center;">CODIFICA</td> <td style="text-align: center;">DOCUMENTO</td> <td style="text-align: center;">REV.</td> <td style="text-align: center;">FOGLIO</td> </tr> <tr> <td style="text-align: center;">IF26</td> <td style="text-align: center;">12</td> <td style="text-align: center;">E ZZ CL</td> <td style="text-align: center;">VI 05 07 003</td> <td style="text-align: center;">A</td> <td style="text-align: center;">29 di 162</td> </tr> </table>	COMMESSA	LOTTO	CODIFICA	DOCUMENTO	REV.	FOGLIO	IF26	12	E ZZ CL	VI 05 07 003	A	29 di 162
COMMESSA	LOTTO	CODIFICA	DOCUMENTO	REV.	FOGLIO								
IF26	12	E ZZ CL	VI 05 07 003	A	29 di 162								

6 COMBINAZIONI

Si riportano le tabelle delle varie combinazioni di carico indicate dalla normativa in merito ai sovraccarichi per il calcolo dei ponti ferroviari.

Gli effetti dei carichi verticali dovuti alla presenza dei convogli vanno sempre combinati con le altre azioni derivanti dal traffico ferroviario, adottando i coefficienti indicati nella seguente tabella:

Tabella 5.2.IV - Valutazione dei carichi da traffico

TIPO DI CARICO	Azioni verticali		Azioni orizzontali			Commenti
	Carico verticale (1)	Treno scarico	Frenatura e avviamento	Centrifuga	Serpeggio	
Gruppo 1 (2)	1,00	-	0,5 (0,0)	1,0 (0,0)	1,0 (0,0)	massima azione verticale e laterale
Gruppo 2 (2)	-	1,00	0,00	1,0 (0,0)	1,0(0,0)	stabilità laterale
Gruppo 3 (2)	1,0 (0,5)	-	1,00	0,5 (0,0)	0,5 (0,0)	massima azione longitudinale
Gruppo 4	0,8 (0,6; 0,4)	-	0,8 (0,6; 0,4)	0,8 (0,6; 0,4)	0,8 (0,6; 0,4)	fessurazione

Azione dominante
 (1) Includendo tutti i fattori ad essi relativi (Φ, α , ecc.)
 (2) La simultaneità di due o tre valori caratteristici interi (assunzione di diversi coefficienti pari ad 1), sebbene improbabile, è stata considerata come semplificazione per i gruppi di carico 1, 2, 3 senza che ciò abbia significative conseguenze progettuali.

Tabella 1 - Valutazione dei carichi da traffico (da "Istruzioni per la progettazione e l'esecuzione dei ponti ferroviari")

Gli effetti dei carichi verticali dovuti alla presenza dei convogli combinati con le altre azioni derivanti dal traffico ferroviario vanno poi combinati con le altre azioni secondo quanto indicato di seguito:

Ai fini delle verifiche degli stati limite si definiscono le seguenti combinazioni delle azioni.

- Combinazione fondamentale, generalmente impiegata per gli stati limite ultimi (SLU):

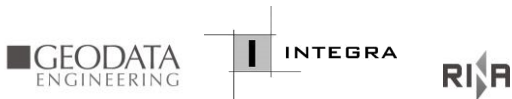
$$\gamma_{G1} \cdot G_1 + \gamma_{G2} \cdot G_2 + \gamma_P \cdot P + \gamma_{Q1} \cdot Q_{k1} + \gamma_{Q2} \cdot \psi_{02} \cdot Q_{k2} + \gamma_{Q3} \cdot \psi_{03} \cdot Q_{k3} + \dots \quad (2.5.1)$$

- Combinazione caratteristica (rara), generalmente impiegata per gli stati limite di esercizio (SLE) irreversibili, da utilizzarsi nelle verifiche alle tensioni ammissibili di cui al § 2.7:

$$G_1 + G_2 + P + Q_{k1} + \psi_{02} \cdot Q_{k2} + \psi_{03} \cdot Q_{k3} + \dots \quad (2.5.2)$$

- Combinazione frequente, generalmente impiegata per gli stati limite di esercizio (SLE) reversibili:

$$G_1 + G_2 + P + \psi_{11} \cdot Q_{k1} + \psi_{22} \cdot Q_{k2} + \psi_{23} \cdot Q_{k3} + \dots \quad (2.5.3)$$

	ITINERARIO NAPOLI – BARI RADDOPPIO TRATTA CANCELLO-BENEVENTO II LOTTO FUNZIONALE FRASSO TELESINO – VITULANO 1° LOTTO FUNZIONALE FRASSO TELESINO – TELESE PROGETTO ESECUTIVO												
<i>Relazione di Calcolo impalcato a struttura mista Viadotto ferroviario – L=65 m</i>	<table border="1" style="width: 100%; border-collapse: collapse;"> <tr> <td style="text-align: center;">COMMESSA</td> <td style="text-align: center;">LOTTO</td> <td style="text-align: center;">CODIFICA</td> <td style="text-align: center;">DOCUMENTO</td> <td style="text-align: center;">REV.</td> <td style="text-align: center;">FOGLIO</td> </tr> <tr> <td style="text-align: center;">IF26</td> <td style="text-align: center;">12</td> <td style="text-align: center;">E ZZ CL</td> <td style="text-align: center;">VI 05 07 003</td> <td style="text-align: center;">A</td> <td style="text-align: center;">30 di 162</td> </tr> </table>	COMMESSA	LOTTO	CODIFICA	DOCUMENTO	REV.	FOGLIO	IF26	12	E ZZ CL	VI 05 07 003	A	30 di 162
COMMESSA	LOTTO	CODIFICA	DOCUMENTO	REV.	FOGLIO								
IF26	12	E ZZ CL	VI 05 07 003	A	30 di 162								

- Combinazione quasi permanente (SLE), generalmente impiegata per gli effetti a lungo termine:

$$G_1 + G_2 + P + \psi_{21} \cdot Q_{k1} + \psi_{22} \cdot Q_{k2} + \psi_{23} \cdot Q_{k3} + \dots \quad (2.5.4)$$

- Combinazione sismica, impiegata per gli stati limite ultimi e di esercizio connessi all'azione sismica E (v. § 3.2):

$$E + G_1 + G_2 + P + \psi_{21} \cdot Q_{k1} + \psi_{22} \cdot Q_{k2} + \dots \quad (2.5.5)$$

- Combinazione eccezionale, impiegata per gli stati limite ultimi connessi alle azioni eccezionali di progetto A_d (v. § 3.6):

$$G_1 + G_2 + P + A_d + \psi_{21} \cdot Q_{k1} + \psi_{22} \cdot Q_{k2} + \dots \quad (2.5.6)$$

I cui coefficienti di combinazione γ e ψ sono riportati nelle tabelle seguenti:

Tabella 2.6.I – Coefficienti parziali per le azioni o per l'effetto delle azioni nelle verifiche SLU

		Coefficiente γ_F	EQU	A1 STR	A2 GEO
Carichi permanenti	favorevoli	γ_{G1}	0,9	1,0	1,0
	sfavorevoli		1,1	1,3	1,0
Carichi permanenti non strutturali ⁽¹⁾	favorevoli	γ_{G2}	0,0	0,0	0,0
	sfavorevoli		1,5	1,5	1,3
Carichi variabili	favorevoli	γ_{Qi}	0,0	0,0	0,0
	sfavorevoli		1,5	1,5	1,3

⁽¹⁾Nel caso in cui i carichi permanenti non strutturali (ad es. carichi permanenti portati) siano compiutamente definiti si potranno adottare per essi gli stessi coefficienti validi per le azioni permanenti.

Tabella 2.5.I – Valori dei coefficienti di combinazione

Categoria/Azione variabile	ψ_{0j}	ψ_{1j}	ψ_{2j}
Categoria A Ambienti ad uso residenziale	0,7	0,5	0,3
Categoria B Uffici	0,7	0,5	0,3
Categoria C Ambienti suscettibili di affollamento	0,7	0,7	0,6
Categoria D Ambienti ad uso commerciale	0,7	0,7	0,6
Categoria E Biblioteche, archivi, magazzini e ambienti ad uso industriale	1,0	0,9	0,8
Categoria F Rimesse e parcheggi (per autoveicoli di peso ≤ 30 kN)	0,7	0,7	0,6
Categoria G Rimesse e parcheggi (per autoveicoli di peso > 30 kN)	0,7	0,5	0,3
Categoria H Coperture	0,0	0,0	0,0
Vento	0,6	0,2	0,0
Neve (a quota ≤ 1000 m s.l.m.)	0,5	0,2	0,0
Neve (a quota > 1000 m s.l.m.)	0,7	0,5	0,2
Variazioni termiche	0,6	0,5	0,0

Gli effetti dell'azione sismica sono valutati tenendo in conto le masse associate ai seguenti carichi gravitazionali:

	ITINERARIO NAPOLI – BARI RADDOPPIO TRATTA CANCELLO-BENEVENTO II LOTTO FUNZIONALE FRASSO TELESINO – VITULANO 1° LOTTO FUNZIONALE FRASSO TELESINO – TELESE PROGETTO ESECUTIVO												
<i>Relazione di Calcolo impalcato a struttura mista Viadotto ferroviario – L=65 m</i>	<table border="1"> <thead> <tr> <th>COMMESSA</th> <th>LOTTO</th> <th>CODIFICA</th> <th>DOCUMENTO</th> <th>REV.</th> <th>FOGLIO</th> </tr> </thead> <tbody> <tr> <td>IF26</td> <td>12</td> <td>E ZZ CL</td> <td>VI 05 07 003</td> <td>A</td> <td>31 di 162</td> </tr> </tbody> </table>	COMMESSA	LOTTO	CODIFICA	DOCUMENTO	REV.	FOGLIO	IF26	12	E ZZ CL	VI 05 07 003	A	31 di 162
COMMESSA	LOTTO	CODIFICA	DOCUMENTO	REV.	FOGLIO								
IF26	12	E ZZ CL	VI 05 07 003	A	31 di 162								

$$G_1 + G_2 + \sum_j \psi_{2j} Q_{kj}$$

assumendo $\psi_{2j} = 0,2$ per i carichi dovuti al transito dei mezzi.

Pertanto, sulla base di quanto sopra esposto, si ottengono le seguenti combinazioni ai diversi stati limite (si riportano i coefficienti moltiplicativi del valore caratteristico dell'azione, pari in generale a $\gamma \cdot \psi_{ij}$).

Azioni permanenti

g1 = peso proprio delle strutture

g2 = carichi permanenti portati

Azioni variabili

q1 = treno LM71

q2 = treno SW/2

q3 = avviamento/frenatura LM71

q4 = avviamento/frenatura SW/2

q5 = centrifuga LM71

q6 = centrifuga SW/2

q7 = serpeggio LM71

q8 = serpeggio SW/2

q9 = DT unif +

q10 = DT grad +

q11 = DT unif -

q12 = DT grad -

q13 = ritiro cls

q14 = vento con 2 binari carichi

q15 = vento con 1 binario carico

q16 = vento con binari scarichi

q17 = folla sui marciapiedi

q18 = sisma direzione x (longitudinale)

q19 = sisma direzione y (trasversale)

q20 = sisma direzione z (verticale)

q21 = resistenze parassite dei vincoli

q22 = deragliamenti

Si è tenuto conto di una prima fase in cui sono reagenti le sole travi di acciaio, mentre la soletta in c.a. costituisce solo un carico. Questa fase e la conseguente combinazione di carico saranno chiamate nel seguito come "FASE 0".

	FASE 0
g1 =	1.35
g2 =	
q1 =	
q2 =	
q3 =	
q4 =	
q5 =	
q6 =	
q7 =	
q8 =	
q9 =	
q10 =	
q11 =	
q12 =	
q13 =	
q14 =	
q15 =	
q16 =	0.9
q17 =	
q18 =	
q19 =	
q20 =	

E' stata considerata poi la fase in cui la sezione reagente è una sezione composta, costituita dalle travi di acciaio e dalla soletta e i carichi agenti sono quelli di esercizio del viadotto.

Relazione di Calcolo impalcato a struttura mista
Viadotto ferroviario – L=65 m

COMMESSA	LOTTO	CODIFICA	DOCUMENTO	REV.	FOGLIO
IF26	12	E ZZ CL	VI 05 07 003	A	33 di 162

	2 binari carichi							1 binario carico				0 binari carichi	
	SLU 01	SLU 02	SLU 03	SLU 04	SLU 05	SLU 06	SLU 07	SLU 08	SLU 09	SLU 10	SLU 11	SLU 12	SLU 13
g1	1.35	1.35	1.35	1.35	1.35	1.35	1.35	1.35	1.35	1.35	1.35	1.35	1.35
g2	1.5	1.5	1.5	1.5	1.5	1.5	1.5	1.5	1.5	1.5	1.5	1.5	1.5
q1		1.595	1.595	1.276	1.276								
q2		1.45	1.45	1.16	1.16			1.45	1.45				
q3		0.7975	0.7975	0.638	0.638								
q4		0.725	0.725	0.58	0.58			0.725	0.725				
q5		1.595	1.595	1.276	1.276								
q6		1.595	1.595	1.276	1.276			1.595	1.595				
q7		1.595	1.595	1.276	1.276								
q8		1.595	1.595	1.32	1.32			1.595	1.595				
q9		0.9		1.5		0.9		0.9		0.9		0.9	
q10		0.9		1.5		0.9		0.9		0.9		0.9	
q11			0.9		1.5		0.9		0.9		0.9		0.9
q12			0.9		1.5		0.9		0.9		0.9		0.9
q13		1.2	1.2	1.2	1.2			1.2	1.2	1.2	1.2	1.2	1.2
q14		0.9	0.9	0.9	0.9	1.5	1.5						
q15								0.9	0.9	1.5	1.5		
q16	0.9											1.5	1.5
q17	1.5											1.5	1.5

	SISMA X_01	SISMA X_02	SISMA Y_01	SISMA Y_02	SISMA Z_01	SISMA Z_02
g1	1	1	1	1	1	1
g2	1	1	1	1	1	1
q1	0.2	0.2	0.2	0.2	0.2	0.2
q2	0.2	0.2	0.2	0.2	0.2	0.2
q3	0.2	0.2	0.2	0.2	0.2	0.2
q4	0.2	0.2	0.2	0.2	0.2	0.2
q5	0.2	0.2	0.2	0.2	0.2	0.2
q6	0.2	0.2	0.2	0.2	0.2	0.2
q7	0.2	0.2	0.2	0.2	0.2	0.2
q8	0.2	0.2	0.2	0.2	0.2	0.2
q9	0.5		0.5		0.5	
q10	0.5		0.5		0.5	
q11		0.5		0.5		0.5
q12		0.5		0.5		0.5
q13						
q14						
q15						
q16						
q17						
q18	1	1	0.3	0.3	0.3	0.3
q19	0.3	0.3	1	1	0.3	0.3
q20	0.3	0.3	0.3	0.3	1	1

Relazione di Calcolo impalcato a struttura mista
Viadotto ferroviario – L=65 m

COMMESSA	LOTTO	CODIFICA	DOCUMENTO	REV.	FOGLIO
IF26	12	E ZZ CL	VI 05 07 003	A	34 di 162

	RARA 01	RARA 02	RARA 03	RARA 04	RARA 05	RARA 06
g1 =	1	1	1	1	1	1
g2 =	1	1	1	1	1	1
q1 =	1.00	1.00	0.80	0.30		
q2 =	1.00	1.00	0.80	0.30		
q3 =	0.5	0.50	0.40	0.80		
q4 =	0.50	0.50	0.40	0.60		
q5 =	1.0	1.0	0.80	0.80		
q6 =	1.0	1.0	0.80	0.88		
q7 =	1.0	1.0	0.80	0.64		
q8 =	1.1	1.1	0.88	0.00		
q9 =	0.6		1	1	0.6	
q10 =	0.6		1	1	0.6	
q11 =		0.6				0.6
q12 =		0.6				0.6
q13 =	1	1	1	1	1	1
q14 =	0.6	0.6	0.6	0.5	1	1
q15 =						
q16 =						
q17 =						

	FREQ 01	FREQ 02	FREQ 03	FREQ 04	FREQ 05	FREQ 06
g1 =	1	1	1	1	1	1
g2 =	1	1	1	1	1	1
q1 =	0.60	0.60				
q2 =	0.60	0.60				
q3 =	0.3	0.30				
q4 =	0.30	0.30				
q5 =	0.6	0.6				
q6 =	0.6	0.6				
q7 =	0.6	0.6				
q8 =	0.7	0.7				
q9 =	0.5		0.6		0.5	
q10 =	0.5		0.6		0.5	
q11 =		0.5		0.6		0.5
q12 =		0.5		0.6		0.5
q13 =	1	1	1	1	1	1
q14 =					0.5	0.5
q15 =						
q16 =						
q17 =						

	Q.PERM 01	Q.PERM 02
g1 =	1	1
g2 =	1	1
q1 =		
q2 =		
q3 =		
q4 =		
q5 =		
q6 =		
q7 =		
q8 =		
q9 =	0.5	
q10 =	0.5	
q11 =		0.5
q12 =		0.5
q13 =	1	1
q14 =	0	0
q15 =		
q16 =		
q17 =		

	ECCEZ 01	ECCEZ 02
g1 =	1	1
g2 =	1	1
q1 =		
q2 =		
q3 =		
q4 =		
q5 =		
q6 =		
q7 =		
q8 =		
q9 =	0.5	
q10 =	0.5	
q11 =		0.5
q12 =		0.5
q13 =		
q14 =		
q15 =		
q16 =		
q17 =		
q18 =		
q19 =		
q20 =		
q21 =		
q22 =	1	1

7 IMPALCATO: EFFETTI GLOBALI

7.1 Modelli di calcolo

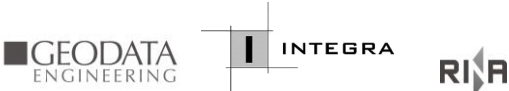
Per il calcolo delle sollecitazioni, si è ricorsi all'impiego di modelli agli elementi finiti, messi a punto e risolti con il software CsiBridge della Computers and Structures.

Gli assi globali x, y e z del modello indicano rispettivamente la direzione longitudinale, trasversale e verticale dell'impalcato.

Nel software si è optato per una modellazione "mista", per cui alcuni elementi strutturali sono stati modellati mediante "frame" e altri mediante "shell".

In particolare, con gli shell sono stati modellati i seguenti elementi strutturali:

- Anime delle travi principali
- Piattabanda inferiore delle travi principali
- Soletta

	ITINERARIO NAPOLI – BARI RADDOPPIO TRATTA CANCELLO-BENEVENTO II LOTTO FUNZIONALE FRASSO TELESINO – VITULANO 1° LOTTO FUNZIONALE FRASSO TELESINO – TELESE PROGETTO ESECUTIVO												
<i>Relazione di Calcolo impalcato a struttura mista Viadotto ferroviario – L=65 m</i>	<table border="1"> <thead> <tr> <th>COMMESSA</th> <th>LOTTO</th> <th>CODIFICA</th> <th>DOCUMENTO</th> <th>REV.</th> <th>FOGLIO</th> </tr> </thead> <tbody> <tr> <td>IF26</td> <td>12</td> <td>E ZZ CL</td> <td>VI 05 07 003</td> <td>A</td> <td>36 di 162</td> </tr> </tbody> </table>	COMMESSA	LOTTO	CODIFICA	DOCUMENTO	REV.	FOGLIO	IF26	12	E ZZ CL	VI 05 07 003	A	36 di 162
COMMESSA	LOTTO	CODIFICA	DOCUMENTO	REV.	FOGLIO								
IF26	12	E ZZ CL	VI 05 07 003	A	36 di 162								

- Anima dei diaframmi di testata

Con i frame, invece, sono stati modellati i seguenti elementi strutturali:

- Piattabande superiori delle travi principali
- Piattabanda superiore dei diaframmi di testata
- Controventi superiori e inferiori
- Traversi a "X"
- Briglie superiori e inferiori
- Irrigidimenti verticali in corrispondenza dei traversi

Tutti gli elementi tipo "frame" sono modellati nei rispettivi assi baricentrici.

I vincoli esterni disposti all'altezza degli apparecchi d'appoggio della struttura sono stati modellati in maniera tale da riprodurre lo schema di vincolo riportato negli elaborati grafici.

Di seguito si riportano alcune immagini dei modelli e delle sezioni definite per gli elementi frame di cui sopra:

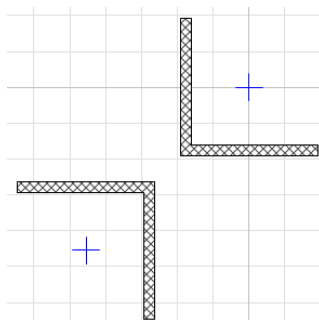


Figura 10: Sezione tipo traverso a X

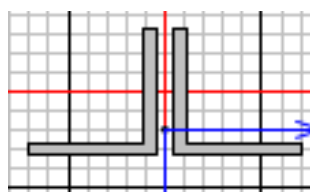


Figura 11: Sezione tipo controventi inferiori

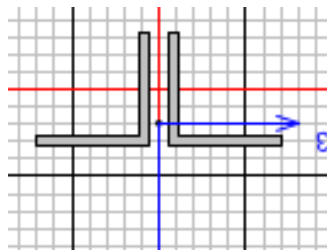


Figura 12: Sezione tipo controventi superiori e briglie superiori e inferiori

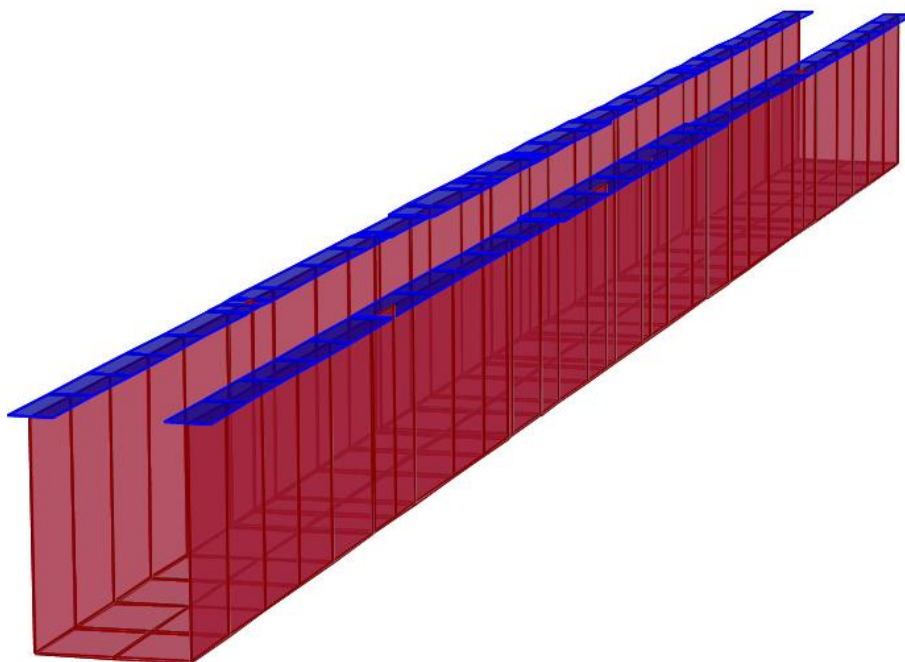


Figura 13: Vista assonometrica trave a U

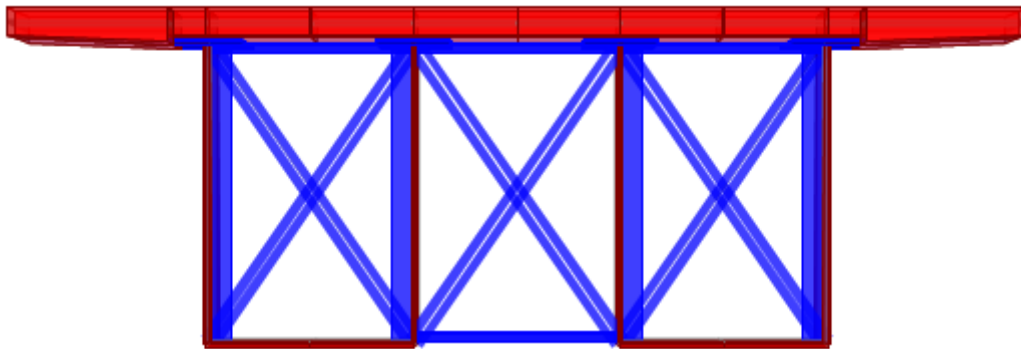


Figura 14: Sezione tipo impalcato

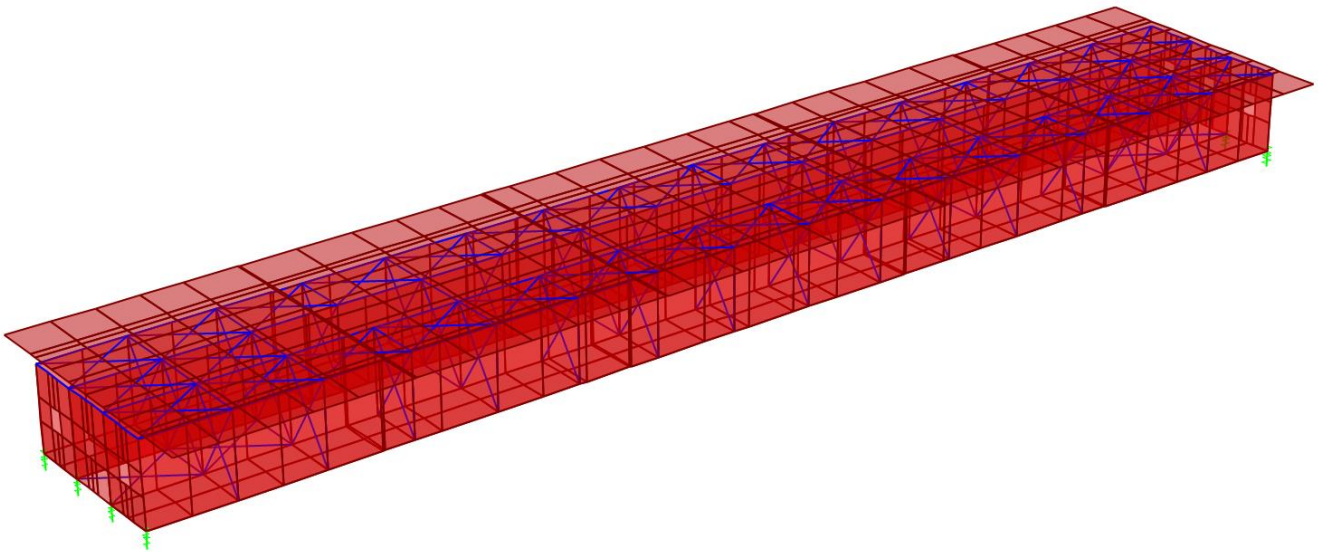


Figura 15: Vista assonometrica modello

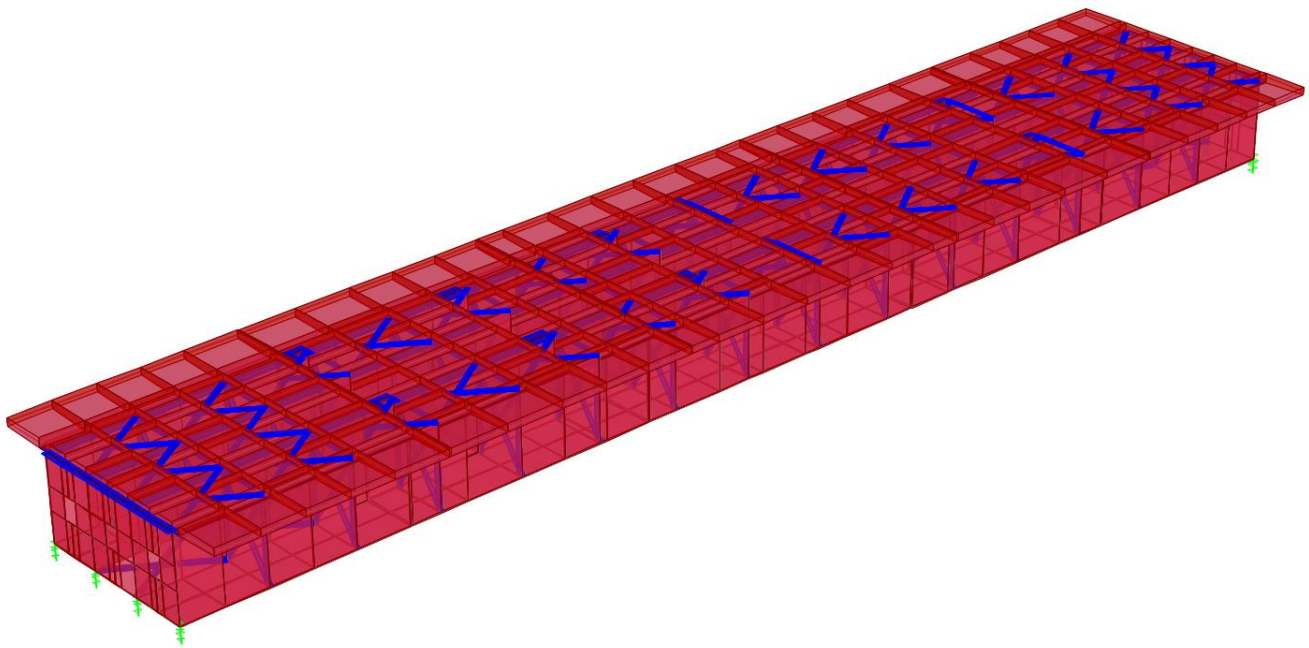


Figura 16: Vista assonometrica estrusa

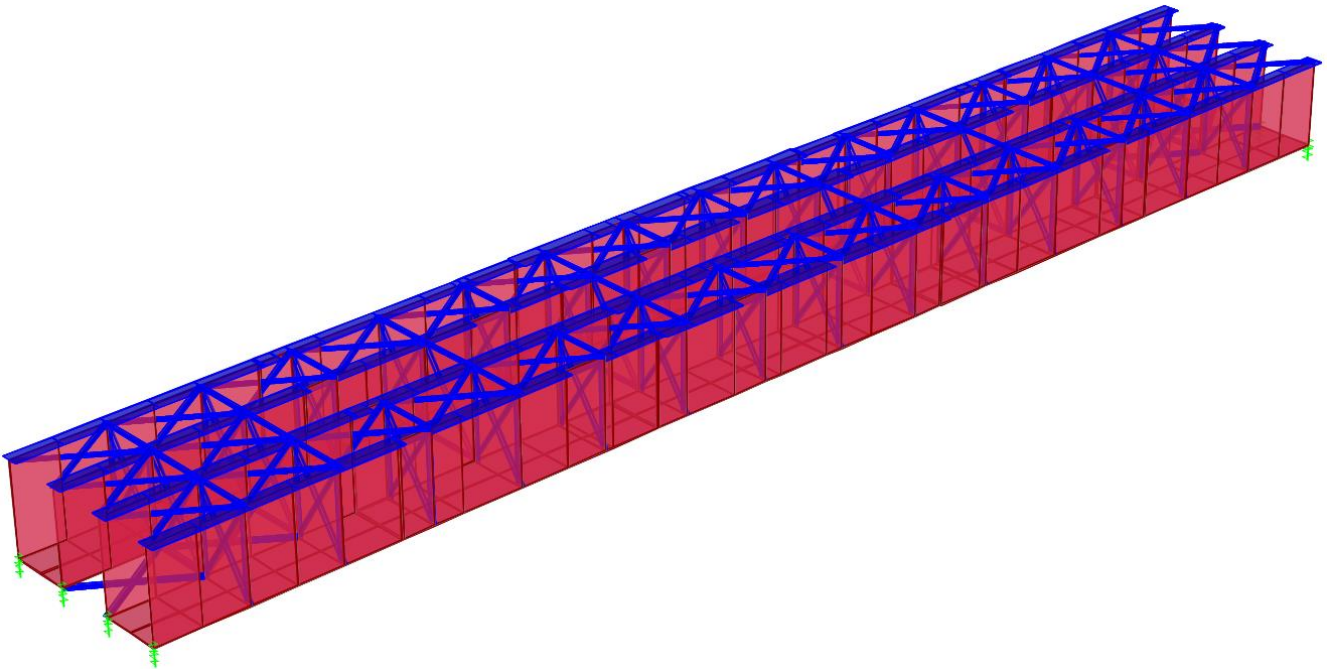


Figura 17: Vista assonometrica estrusa senza soletta e senza diaframmi di testata

7.2 Determinazione della prima frequenza propria

La frequenza propria è data dalla formula:

$$f_1 = 17.75/(\sqrt{\delta_0})$$

ove δ_0 è la freccia (in mm) dovuta ai carichi permanenti $g + p$

g = peso proprio della struttura

p = carichi permanenti

Essendo:

$\delta_g = 37$ mm; peso proprio

$\delta_p = 39$ mm; carichi permanenti aggiunti,

risulta:

$\delta_0 = 76$ mm

$f_1 = 17.75/(\sqrt{\delta_0}) = 2.04 \text{ sec}^{-1}$

Le Nuove Norme F.S. ammettono un range di valori ammissibili compresi fra 2,02÷4,27 per cui questa verifica risulta soddisfatta.

7.3 Assegnazione carichi

7.3.1 Pesi propri (g1)

Il peso proprio degli elementi strutturali (impalcato metallico e soletta in c.a. gettata in opera) è stato fatto assumere direttamente dal programma di calcolo.

7.3.2 Permanenti portati (g2)

I carichi permanenti portati, computati come riportato al par.5.2, sono stati applicati al modello in parte come carichi di superficie, in parte come carichi lineari. In entrambi i casi i carichi sono applicati direttamente sulla soletta.

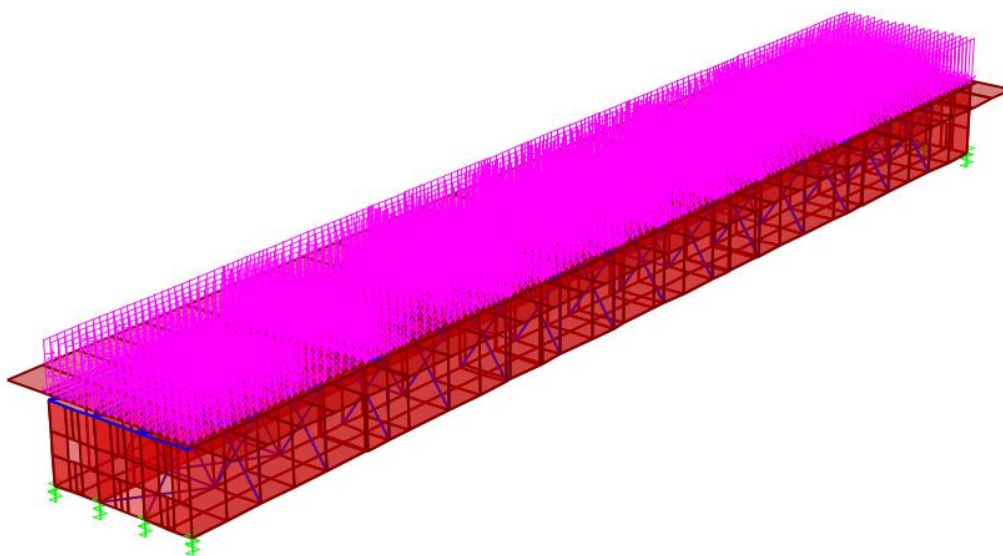


Figura 18: Carico ballast + massetto (g2)

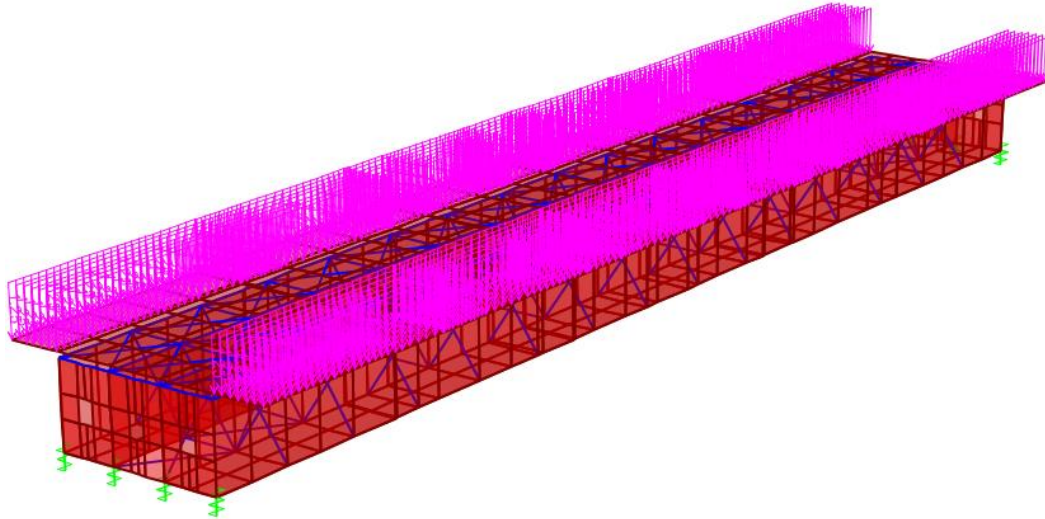


Figura 19: Carico massetto (g2)

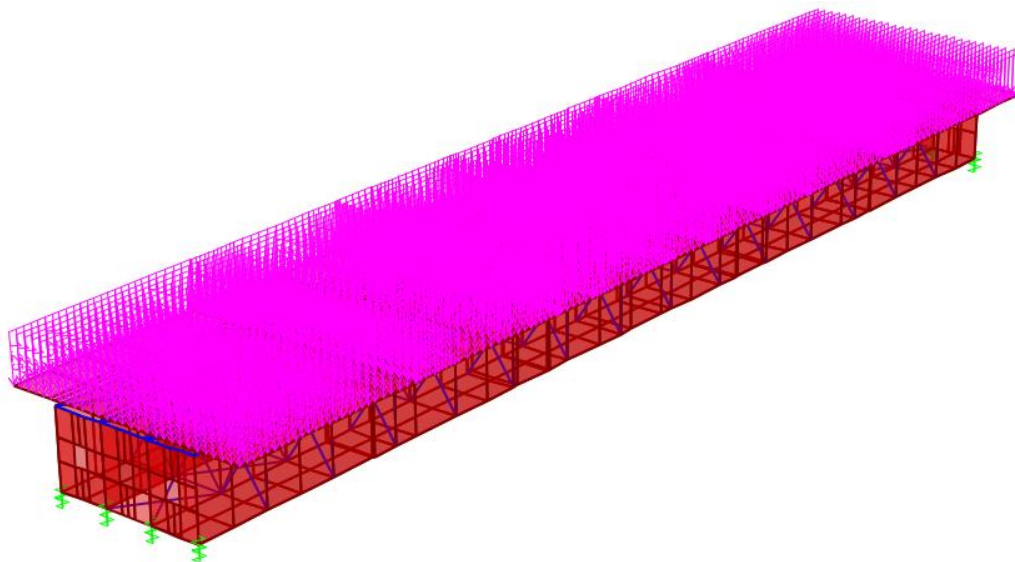


Figura 20: Carico lastre predalle (g2)

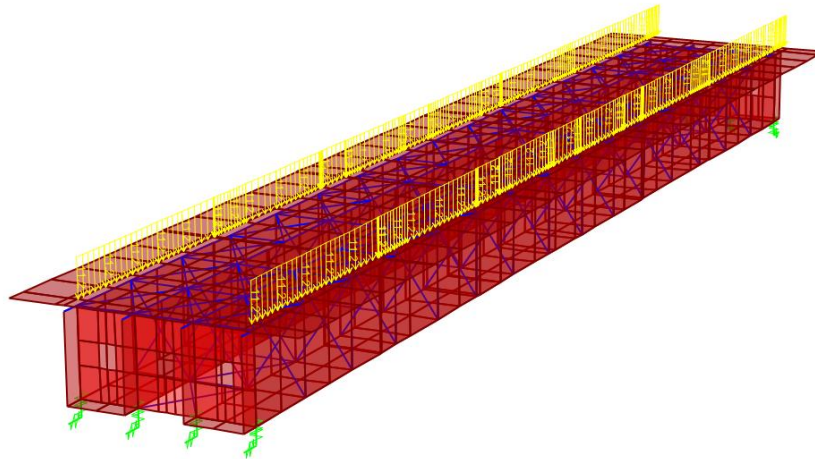


Figura 21: cavidotti e marciapiedi FFP (g2)

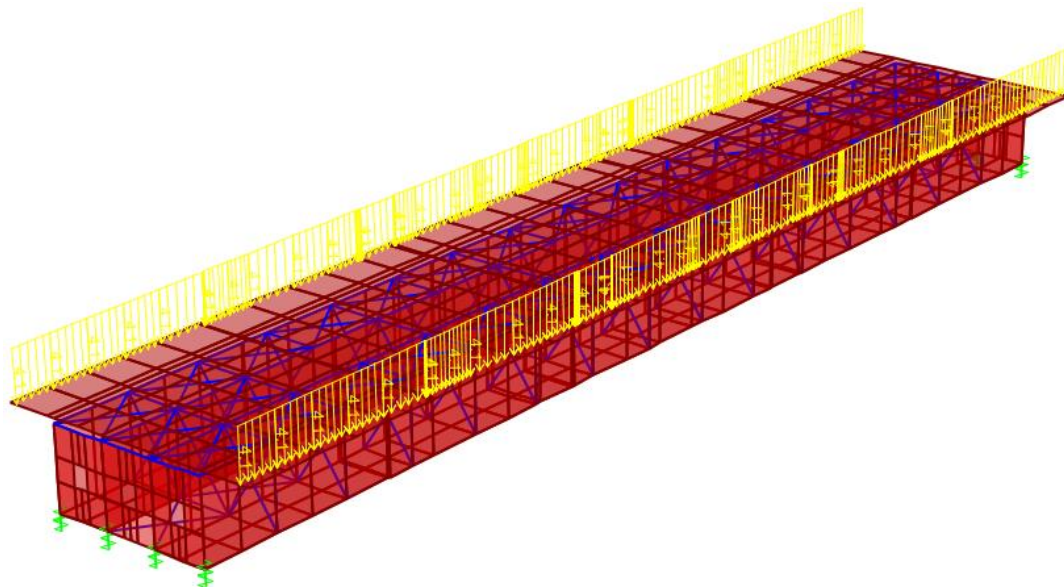


Figura 22: Carico cordoli

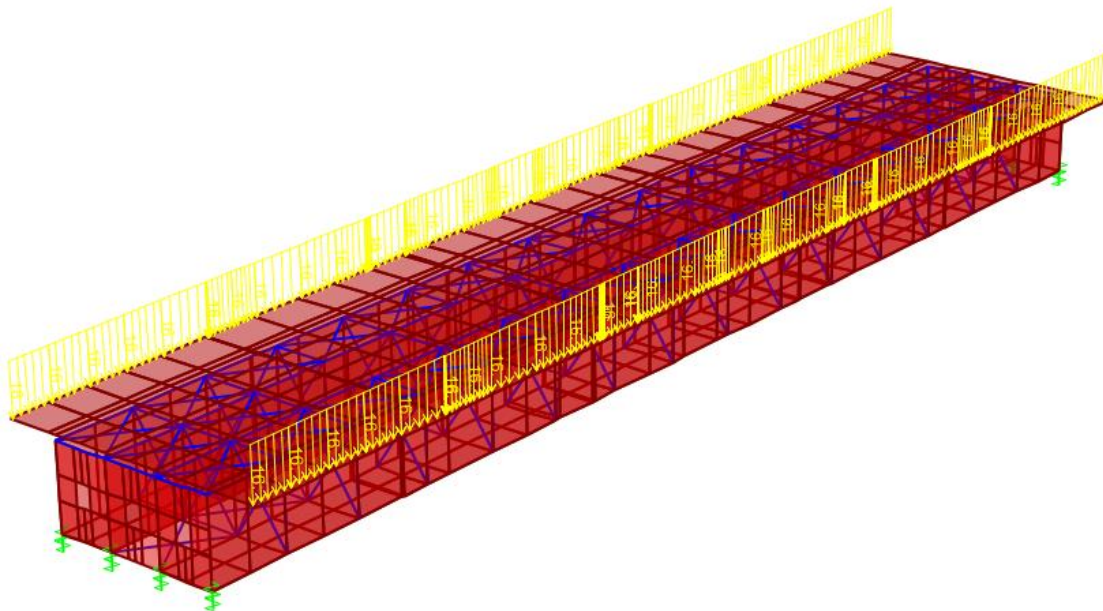


Figura 23: Carico barriere antirumore (g2)

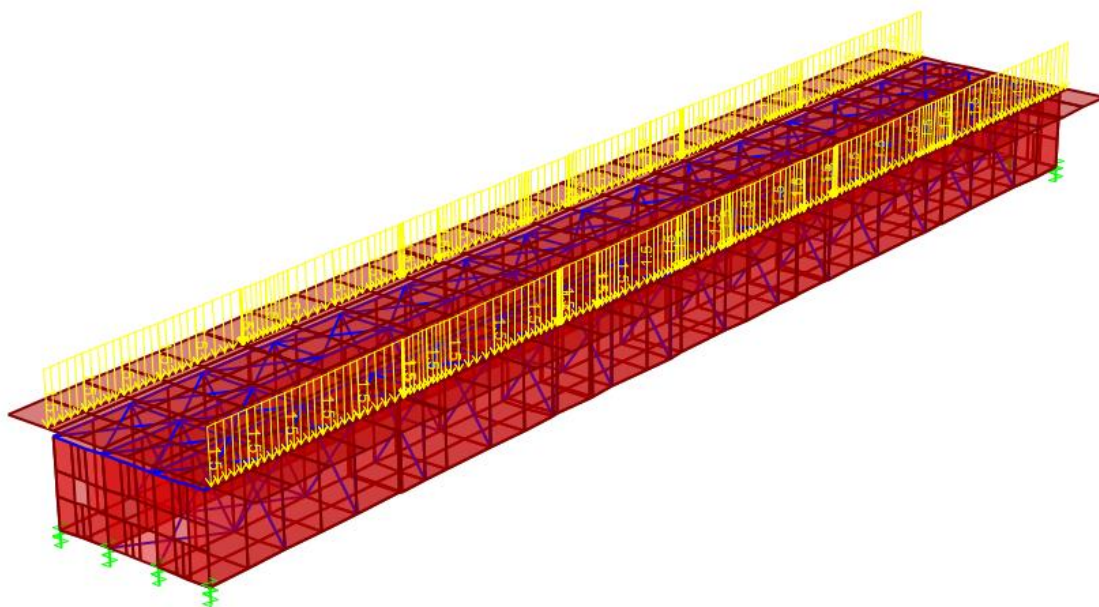
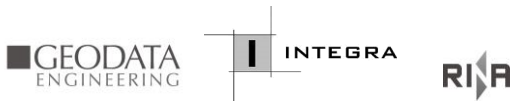


Figura 24: Carico velette (g2)

	ITINERARIO NAPOLI – BARI RADDOPPIO TRATTA CANCELLO-BENEVENTO II LOTTO FUNZIONALE FRASSO TELESINO – VITULANO 1° LOTTO FUNZIONALE FRASSO TELESINO – TELESE PROGETTO ESECUTIVO												
<i>Relazione di Calcolo impalcato a struttura mista Viadotto ferroviario – L=65 m</i>	<table border="1"> <tr> <td>COMMESSA</td> <td>LOTTO</td> <td>CODIFICA</td> <td>DOCUMENTO</td> <td>REV.</td> <td>FOGLIO</td> </tr> <tr> <td>IF26</td> <td>12</td> <td>E ZZ CL</td> <td>VI 05 07 003</td> <td>A</td> <td>46 di 162</td> </tr> </table>	COMMESSA	LOTTO	CODIFICA	DOCUMENTO	REV.	FOGLIO	IF26	12	E ZZ CL	VI 05 07 003	A	46 di 162
COMMESSA	LOTTO	CODIFICA	DOCUMENTO	REV.	FOGLIO								
IF26	12	E ZZ CL	VI 05 07 003	A	46 di 162								

7.3.3 Carichi viaggianti: treni (q1, q2)

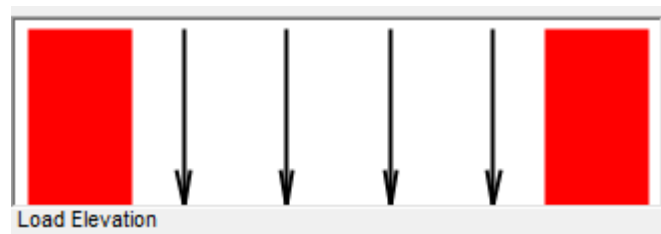
I sovraccarichi mobili sono considerati nelle diverse disposizioni longitudinali e trasversali (eccentricità geometrica ed accidentale come definita al paragrafo 5.4) atte a generare le massime sollecitazioni nelle sezioni di verifica.

Il software di analisi strutturale agli elementi finiti CsiBridge utilizzato, tramite l'utility Moving Load Case, permette di costruire le superfici di influenza relative alle distinte sollecitazioni per ciascun punto della struttura, procedendo automaticamente nell'individuazione delle disposizioni longitudinali del carico mobile che massimizzano le suddette sollecitazioni.

I modelli di carico da traffico sono stati introdotti considerando il treno di carico LM71 su di un binario, il treno di carico SW/2 sull'altro e la condizione che prevede la contemporaneità di entrambe i treni.

Si riportano di seguito la definizione e l'applicazione nel modello di calcolo dei carichi viaggianti e delle corsie di carico:

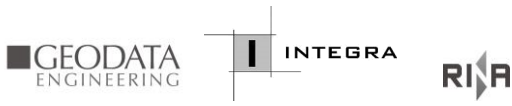
Carichi viaggianti: LM71 (q1)



Load Length Type	Minimum Distance	Maximum Distance	Uniform Load	Uniform Width Type	Uniform Width	Axle Load	Axle Width Type	Axle Width
Trailing Load	Infinite		80.	Lane Width				
Leading Load	Infinite		80.	Lane Width		0.	Lane Width Line	
Fixed Length	0.8		0.	Lane Width		250.	Lane Width Line	
Fixed Length	1.6		0.	Lane Width		250.	Lane Width Line	
Fixed Length	1.6		0.	Lane Width		250.	Lane Width Line	
Fixed Length	1.6		0.	Lane Width		250.	Lane Width Line	
Fixed Length	0.8		0.	Lane Width		0.	Lane Width Line	
Trailing Load	Infinite		80.	Lane Width				

Figura 25: Definizione carico treno LM71 (q1)

Carichi viaggianti: SW/2 (q2)

	ITINERARIO NAPOLI – BARI RADDOPPIO TRATTA CANCELLO-BENEVENTO II LOTTO FUNZIONALE FRASSO TELESINO – VITULANO 1° LOTTO FUNZIONALE FRASSO TELESINO – TELESE PROGETTO ESECUTIVO												
<i>Relazione di Calcolo impalcato a struttura mista</i> <i>Viadotto ferroviario – L=65 m</i>	<table border="1"> <tr> <td>COMMESSA</td> <td>LOTTO</td> <td>CODIFICA</td> <td>DOCUMENTO</td> <td>REV.</td> <td>FOGLIO</td> </tr> <tr> <td>IF26</td> <td>12</td> <td>E ZZ CL</td> <td>VI 05 07 003</td> <td>A</td> <td>47 di 162</td> </tr> </table>	COMMESSA	LOTTO	CODIFICA	DOCUMENTO	REV.	FOGLIO	IF26	12	E ZZ CL	VI 05 07 003	A	47 di 162
COMMESSA	LOTTO	CODIFICA	DOCUMENTO	REV.	FOGLIO								
IF26	12	E ZZ CL	VI 05 07 003	A	47 di 162								



Load Length Type		Minimum Distance	Maximum Distance	Uniform Load	Uniform Width Type	Uniform Width	Axle Load	Axle Width Type	Axle Width
Fixed Length		25.		150.	Lane Width		0.	One Point	
Fixed Length		25.		150.	Lane Width		0.	One Point	
Fixed Length		7.		0.	Lane Width		0.	One Point	
Fixed Length		25.		150.	Lane Width		0.	One Point	

Uniform Load Scale Factor: Axle Load Scale Factor:

Figura 26: Definizione carico treno SW/2 (q2)

Le corsie di carico su cui vengono fatti viaggiare i carichi mobili dei treni sono state definite in vista dell'applicazione della forza centrifuga, come verrà spiegato più avanti. Per questo motivo, tali corsie di carico si trovano a un'altezza di 1.80 m dal piano del ferro e hanno un raggio di curvatura pari a 1550 m.

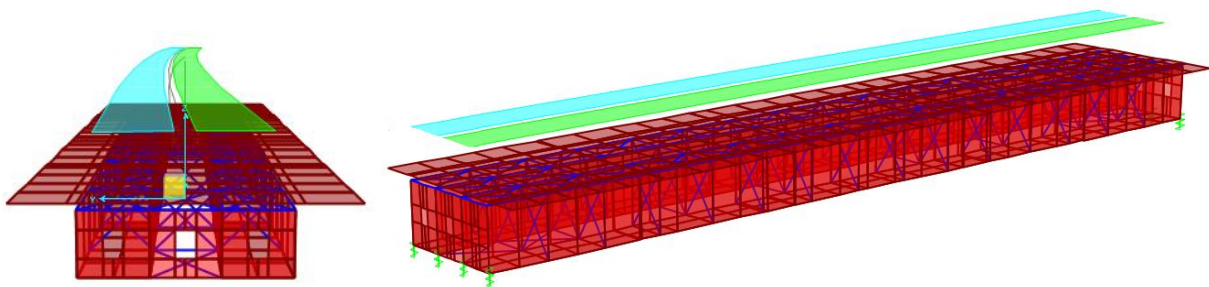
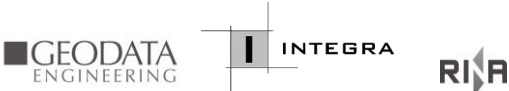


Figura 27: Corsie di carico treni LM71 e SW/2 (q1 e q2)

I casi di carico relativi ai treni sono stati moltiplicati per i relativi coefficienti di adattamento α e per il coefficiente dinamico Φ .

	ITINERARIO NAPOLI – BARI RADDOPPIO TRATTA CANCELLO-BENEVENTO II LOTTO FUNZIONALE FRASSO TELESINO – VITULANO 1° LOTTO FUNZIONALE FRASSO TELESINO – TELESE PROGETTO ESECUTIVO												
<i>Relazione di Calcolo impalcato a struttura mista Viadotto ferroviario – L=65 m</i>	<table border="1"> <tr> <td>COMMESSA</td> <td>LOTTO</td> <td>CODIFICA</td> <td>DOCUMENTO</td> <td>REV.</td> <td>FOGLIO</td> </tr> <tr> <td>IF26</td> <td>12</td> <td>E ZZ CL</td> <td>VI 05 07 003</td> <td>A</td> <td>48 di 162</td> </tr> </table>	COMMESSA	LOTTO	CODIFICA	DOCUMENTO	REV.	FOGLIO	IF26	12	E ZZ CL	VI 05 07 003	A	48 di 162
COMMESSA	LOTTO	CODIFICA	DOCUMENTO	REV.	FOGLIO								
IF26	12	E ZZ CL	VI 05 07 003	A	48 di 162								

7.3.4 Carichi viaggianti: frenatura ed avviamento (q3, q4)

Le azioni dovute a frenatura ed avviamento dei treni, computate come riportato al par. 5.6, sono state applicate al modello dell'impalcato come riportato di seguito:

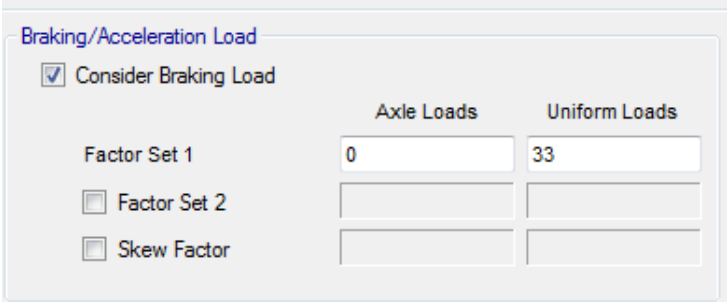


Figura 28: Definizione carico avviamento treno LM71 (q3)

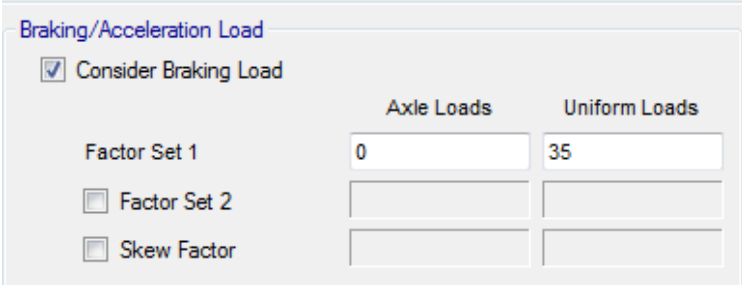


Figura 29: Definizione carico frenatura treno SW/2 (q4)

Le corsie di carico su cui vengono fatti viaggiare i carichi di avviamento e frenatura sono definite a una quota pari a quella del piano del ferro e hanno un raggio di curvatura pari a 1550 m.

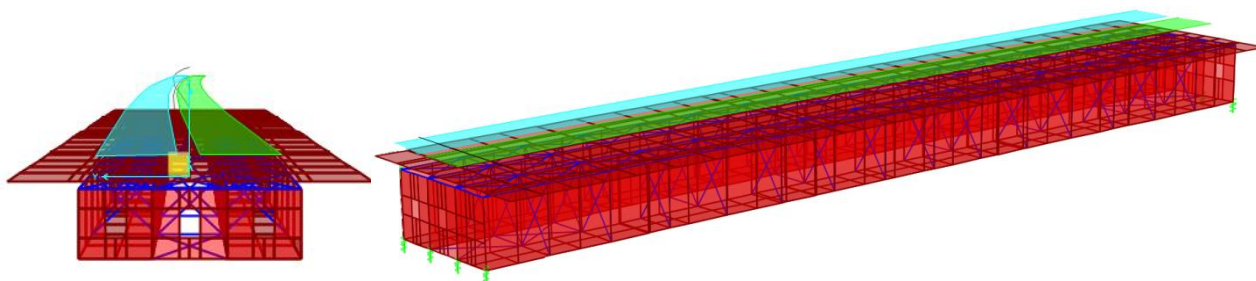


Figura 30: Corsie di carico avviamento LM71 (q3) e frenatura SW/2 (q4)

I casi di carico relativi all'avviamento e alla frenatura dei treni sono stati moltiplicati per i relativi coefficienti di adattamento α .

	ITINERARIO NAPOLI – BARI RADDOPPIO TRATTA CANCELLO-BENEVENTO II LOTTO FUNZIONALE FRASSO TELESINO – VITULANO 1° LOTTO FUNZIONALE FRASSO TELESINO – TELESE PROGETTO ESECUTIVO												
<i>Relazione di Calcolo impalcato a struttura mista Viadotto ferroviario – L=65 m</i>	<table border="1"> <thead> <tr> <th>COMMESSA</th> <th>LOTTO</th> <th>CODIFICA</th> <th>DOCUMENTO</th> <th>REV.</th> <th>FOGLIO</th> </tr> </thead> <tbody> <tr> <td>IF26</td> <td>12</td> <td>E ZZ CL</td> <td>VI 05 07 003</td> <td>A</td> <td>49 di 162</td> </tr> </tbody> </table>	COMMESSA	LOTTO	CODIFICA	DOCUMENTO	REV.	FOGLIO	IF26	12	E ZZ CL	VI 05 07 003	A	49 di 162
COMMESSA	LOTTO	CODIFICA	DOCUMENTO	REV.	FOGLIO								
IF26	12	E ZZ CL	VI 05 07 003	A	49 di 162								

7.3.5 Carichi viaggianti: azione centrifuga (q5, q6)

Le azioni dovute alla forza centrifuga agente sui treni, computate come riportato al par. 5.7, sono state applicate al modello dell'impalcato come riportato di seguito. Il software CsiBridge considera, associata al passaggio di un carico verticale, una forza centrifuga pari a:

$$F_{C,BRIDGE} = - (c \cdot v^2/g) \cdot (Q_v/R)$$

dove c = coefficiente moltiplicativo dei carichi verticali

v = velocità del carico verticale espressa in m/s

g = accelerazione di gravità

Q_v = carico verticale

R = raggio di curvatura della corsia di carico

Per tornare alla formula della normativa ferroviaria definita al par. 5.7, cioè

$$Q_{tk} = (\alpha \cdot f \cdot V^2/127) \cdot (Q_{vk}/R) = (\alpha \cdot f \cdot v^2/g) \cdot (Q_{vk}/R),$$

nel software CsiBridge si pone $c = 1$ e si pone v uguale al risultato di $\sqrt{\alpha \cdot f} \cdot V$

$$\text{LM71} \quad v_{BRIDGE} \equiv V \sqrt{\alpha \cdot f} = 44.2 \text{ m/s}$$

$$\text{SW/2} \quad v_{BRIDGE} \equiv V \sqrt{\alpha \cdot f} = 27.8 \text{ m/s}$$

Le corsie di carico su cui viene fatto viaggiare il carico dell'azione centrifuga sono definite con un raggio di curvatura pari a 1550 m e a una quota di 1.80 m dal piano del ferro.

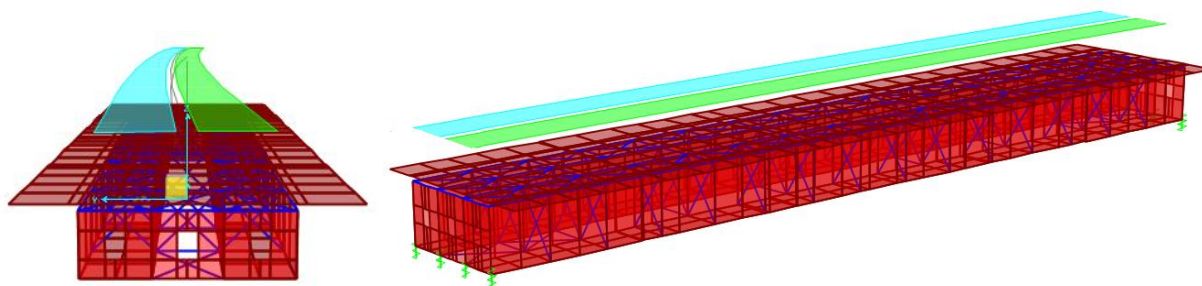


Figura 31: Corsie di carico forze centrifughe (q5 e q6)

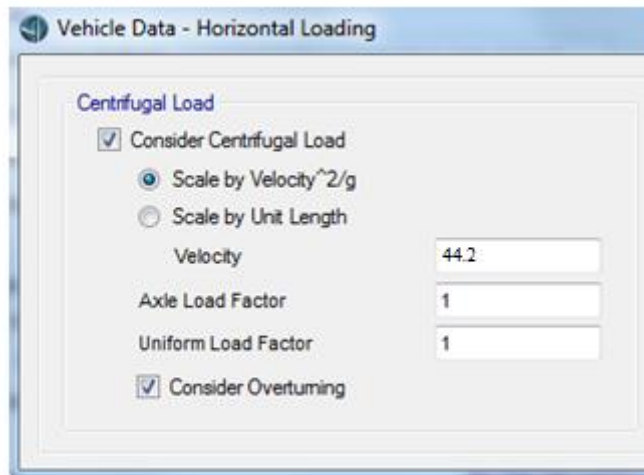


Figura 32: Definizione forza centrifuga LM71 (q5)

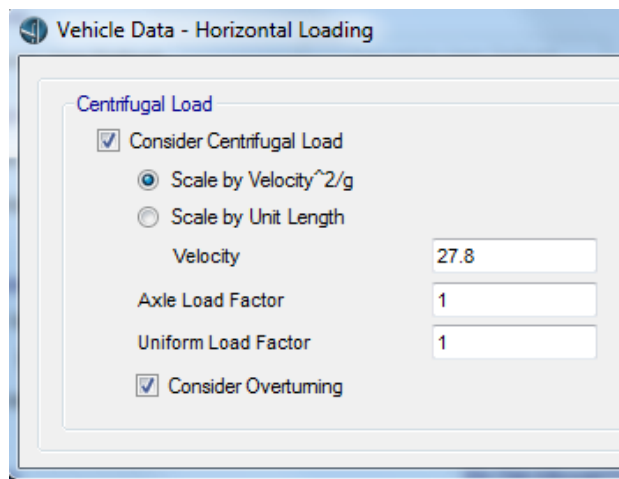


Figura 33: Definizione forza centrifuga SW/2 (q6)

I casi di carico relativi alla forza centrifuga dei treni sono stati moltiplicati per i relativi coefficienti di adattamento α .

7.3.6 Carichi viaggianti: serpeggio (q7, q8)

Le azioni dovute al serpeggio computate come riportato al par. 5.8 sono state definite nel modello dell'impalcato come forza centrifuga associata a un carico verticale unitario fittizio distribuito su una lunghezza di 2 m e raggio di curvatura pari a ± 1 :

	ITINERARIO NAPOLI – BARI RADDOPPIO TRATTA CANCELLO-BENEVENTO II LOTTO FUNZIONALE FRASSO TELESINO – VITULANO 1° LOTTO FUNZIONALE FRASSO TELESINO – TELESE PROGETTO ESECUTIVO												
<i>Relazione di Calcolo impalcato a struttura mista Viadotto ferroviario – L=65 m</i>	<table border="1"> <thead> <tr> <th>COMMESSA</th> <th>LOTTO</th> <th>CODIFICA</th> <th>DOCUMENTO</th> <th>REV.</th> <th>FOGLIO</th> </tr> </thead> <tbody> <tr> <td>IF26</td> <td>12</td> <td>E ZZ CL</td> <td>VI 05 07 003</td> <td>A</td> <td>51 di 162</td> </tr> </tbody> </table>	COMMESSA	LOTTO	CODIFICA	DOCUMENTO	REV.	FOGLIO	IF26	12	E ZZ CL	VI 05 07 003	A	51 di 162
COMMESSA	LOTTO	CODIFICA	DOCUMENTO	REV.	FOGLIO								
IF26	12	E ZZ CL	VI 05 07 003	A	51 di 162								

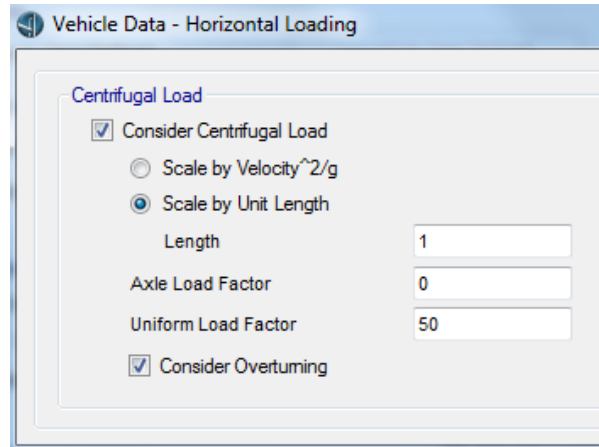


Figura 34: Definizione serpeggio LM71 e SW/2 (q7, q8)

I casi di carico relativi alla forza centrifuga dei treni sono stati moltiplicati per i relativi coefficienti di adattamento α .

7.3.7 Variazioni termiche (q9, q10, q11, q12)

Le azioni dovute alla variazione termica differenziale di $\pm 5^\circ$ tra trave in acciaio e soletta in calcestruzzo computate come riportato al paragrafo 5.10, sono state applicate alla sezione dell'impalcato secondo gli andamenti di seguito illustrati.

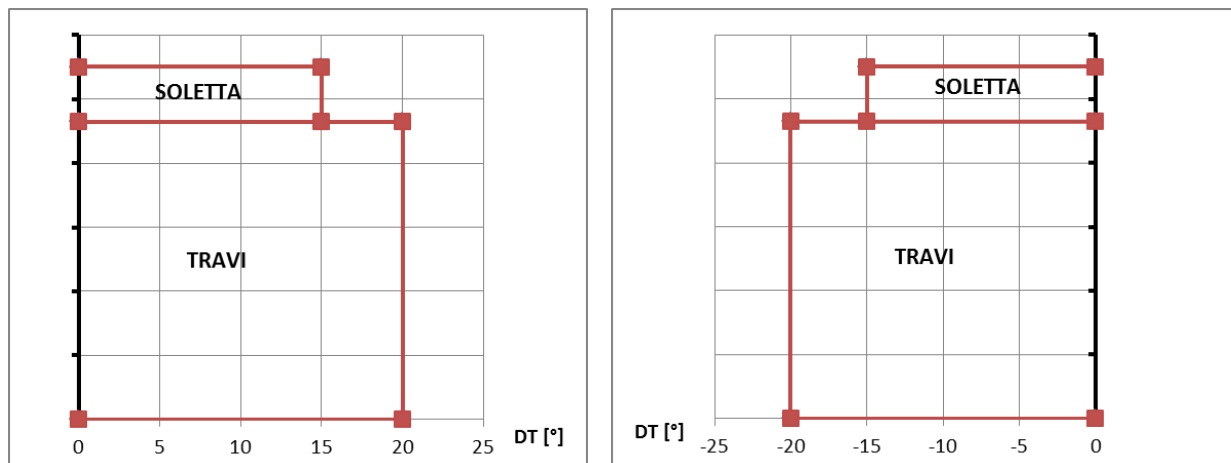


Figura 35: Variazione termica uniforme + differenziale fra soletta e travi (q9, q11)

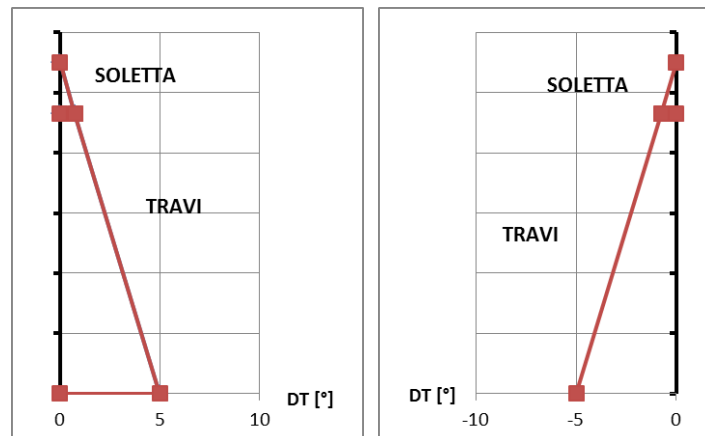


Figura 36: Gradiente termico (q10, q12)

7.3.8 Ritiro calcestruzzo (q13)

Le azioni dovute al ritiro computate come riportato al par. 0, sono state assegnate nel modello come deformazione imposta alle shell che compongono la soletta.

$$\varepsilon_{\text{rit}} = \alpha_{\text{cls}} \text{DT} = 0.00001 \cdot (-10.28^\circ) = -0.00010$$

7.3.9 Vento (q14, q15, q16)

Le azioni del vento, determinate secondo quanto riportato al paragrafo 5.12, sono state applicate al modello dell'impalcato considerando tre casi.

7.3.9.1 Impalcato con due binari carichi (q14):

Si considera la compresenza delle seguenti azioni:

- vento che colpisce le travi in acciaio, generando un carico di superficie in direzione trasversale;

Relazione di Calcolo impalcato a struttura mista
Viadotto ferroviario – L=65 m

COMMESSA	LOTTO	CODIFICA	DOCUMENTO	REV.	FOGLIO
IF26	12	E ZZ CL	VI 05 07 003	A	53 di 162

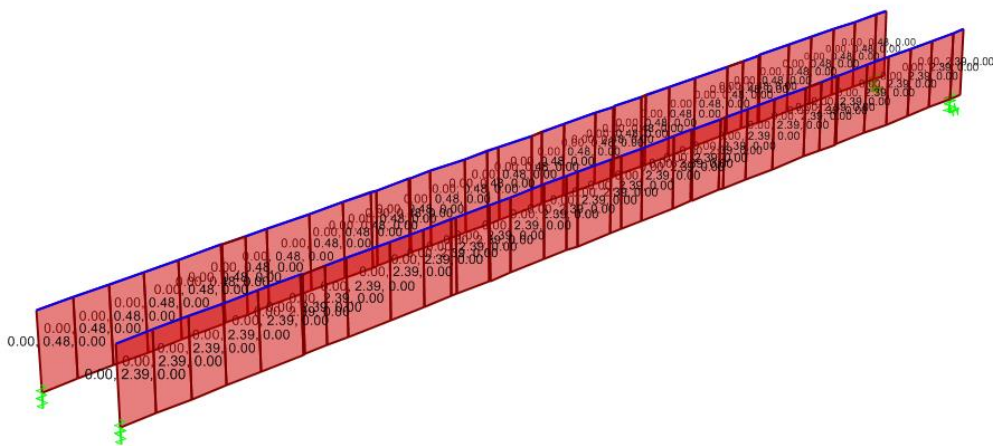


Figura 37: Carico di superficie dir y dovuto a vento su travi

- vento che colpisce la prima barriera antirumore, generando sul piano medio della soletta un carico in direzione trasversale e un momento intorno all'asse longitudinale, entrambi ripartiti longitudinalmente.

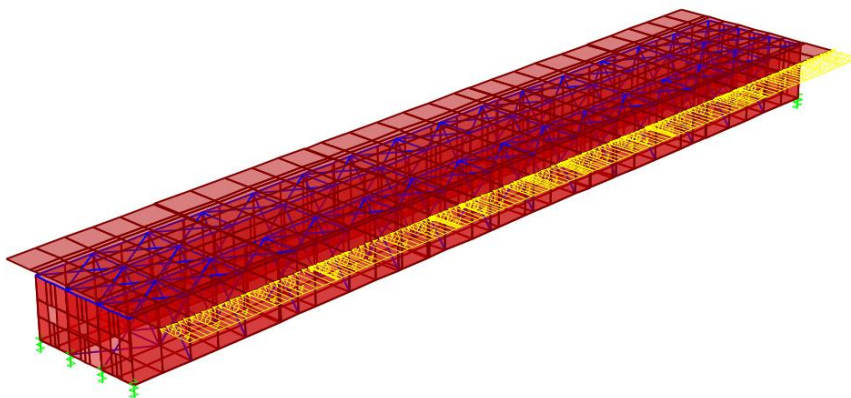


Figura 38: Carico lineare dir y dovuto a vento su barriera

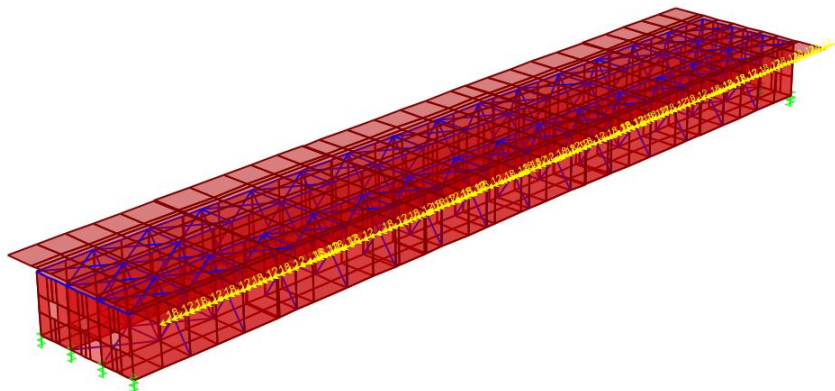


Figura 39: Momento lineare intorno a x dovuto a vento su barriera

7.3.9.2 Impalcato con un binario carico (q15):

Si considera la compresenza delle seguenti azioni:

- vento che colpisce le travi in acciaio, generando un carico di superficie in direzione trasversale;
- vento che colpisce la prima barriera antirumore, generando sul piano medio della soletta un carico in direzione trasversale e un momento intorno all'asse longitudinale, entrambi ripartiti longitudinalmente;
- vento che colpisce il convoglio ferroviario: per tenere conto di questo si applica un carico di superficie in direzione trasversale e un momento di superficie intorno all'asse longitudinale.

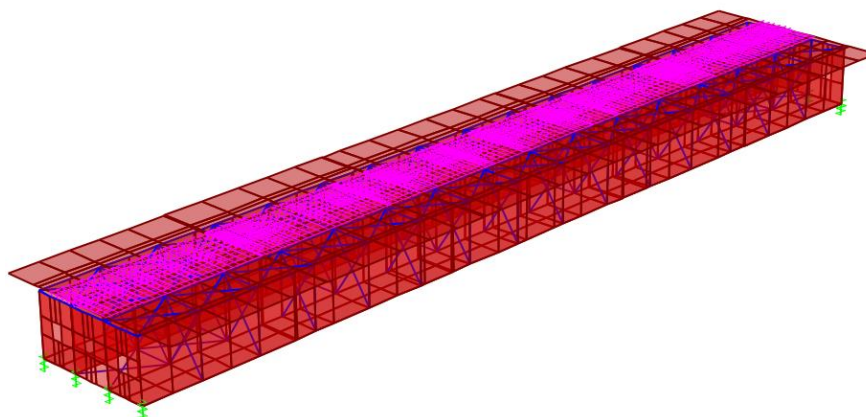


Figura 40: Carico dir y ripartito su superficie, dovuto a vento su treno

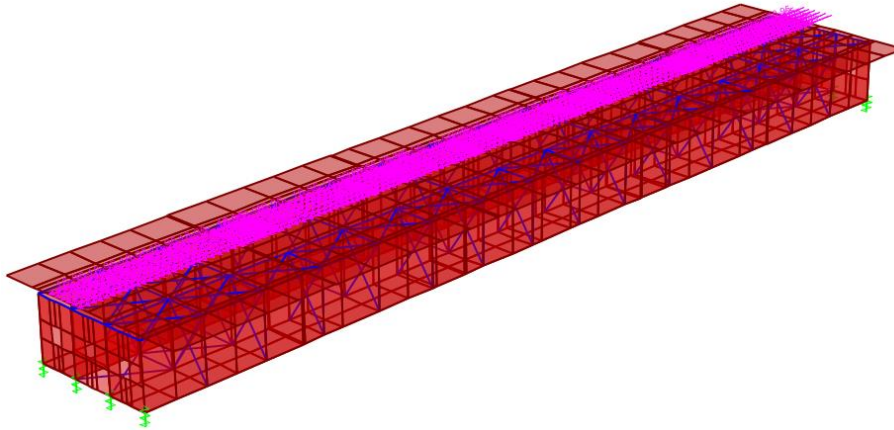


Figura 41: Momento intorno a x ripartito su superficie, dovuto a vento su treno

7.3.9.3 Impalcato scarico (q16)

Si considera la compresenza delle seguenti azioni:

- vento che colpisce le travi in acciaio, generando un carico di superficie in direzione trasversale;
- vento che colpisce entrambe le barriere antirumore, generando sul piano medio della soletta carichi in direzione trasversale e momenti intorno all'asse longitudinale, entrambi ripartiti longitudinalmente.

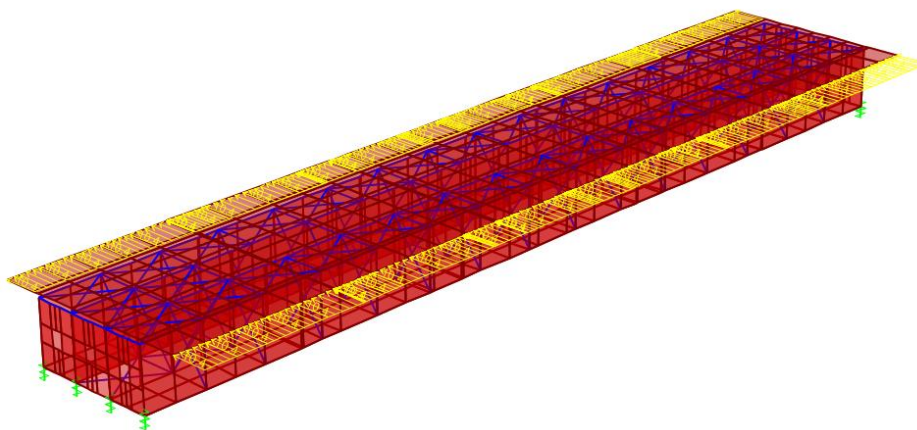


Figura 42: Carichi lineari dir y dovuti a vento su entrambe le barriere

	ITINERARIO NAPOLI – BARI RADDOPPIO TRATTA CANCELLO-BENEVENTO II LOTTO FUNZIONALE FRASSO TELESINO – VITULANO 1° LOTTO FUNZIONALE FRASSO TELESINO – TELESE PROGETTO ESECUTIVO												
<i>Relazione di Calcolo impalcato a struttura mista Viadotto ferroviario – L=65 m</i>	<table border="1"> <thead> <tr> <th>COMMESSA</th> <th>LOTTO</th> <th>CODIFICA</th> <th>DOCUMENTO</th> <th>REV.</th> <th>FOGLIO</th> </tr> </thead> <tbody> <tr> <td>IF26</td> <td>12</td> <td>E ZZ CL</td> <td>VI 05 07 003</td> <td>A</td> <td>56 di 162</td> </tr> </tbody> </table>	COMMESSA	LOTTO	CODIFICA	DOCUMENTO	REV.	FOGLIO	IF26	12	E ZZ CL	VI 05 07 003	A	56 di 162
COMMESSA	LOTTO	CODIFICA	DOCUMENTO	REV.	FOGLIO								
IF26	12	E ZZ CL	VI 05 07 003	A	56 di 162								

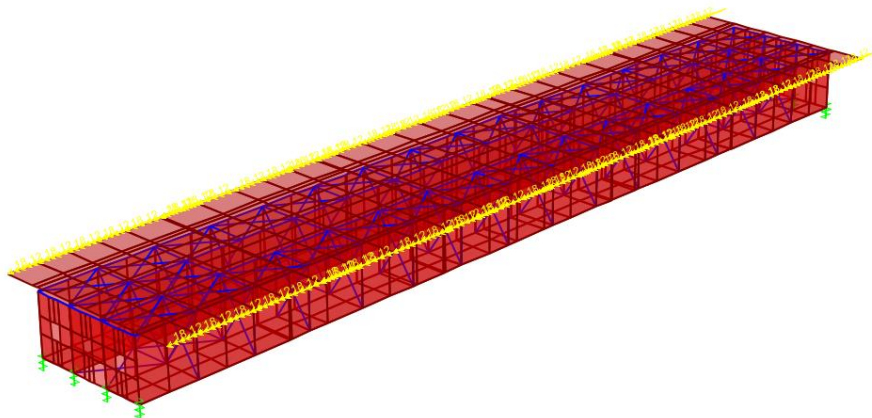


Figura 43: Momenti lineari intorno a x dovuti a vento su entrambe le barriere

7.4 Verifiche di resistenza

Conformemente alle prescrizioni normative in materia di costruzioni in acciaio – calcestruzzo, le verifiche di resistenza delle sezioni in esame sono condotte sia nella fase di costruzione in cui la sezione resistente è costituita dalle sole travi in acciaio e la soletta costituisce solo un carico, sia nella fase in cui la sezione resistente è composta dalle travi e dalla soletta in c.a.

Le verifiche allo stato limite ultimo e allo stato limite di esercizio sono state condotte in automatico dal software di calcolo CsiBridge secondo l'Eurocodice.

Ad ogni section cut il programma effettua la classificazione della sezione, separatamente per flessione positiva e negativa, sia per la sezione composta che per la sezione non composta. La classificazione di una sezione trasversale dipende dal rapporto larghezza/spessore delle parti soggette a compressione. Una sezione trasversale viene classificata secondo la classe più alta delle sue parti compresse.

Nel calcolo della resistenza della sezione viene tenuto conto anche dell'instabilità locale delle piattabande compresse:

- per flessione positiva nella sezione composta, le piattabande superiori sono compresse ma collegate alla soletta in c.a. tramite i connettori a taglio e le piattabande inferiori sono tese, per cui le loro resistenze non sono limitate dall'instabilità;
- per flessione positiva sulla sezione non composta, le piattabande superiori sono compresse e non vincolate dalla soletta in c.a., per cui la loro resistenza potrebbe essere limitata dalla verifica locale all'instabilità;
- per flessione negativa sulla sezione composta, le piattabande superiori sono sempre tese, mentre le piattabande inferiori sono compresse. Quindi la resistenza delle piattabande inferiori potrebbe essere limitata dalla resistenza locale all'instabilità;
- per flessione negativa nella sezione non composta, valgono le stesse considerazioni del punto precedente.

	ITINERARIO NAPOLI – BARI RADDOPPIO TRATTA CANCELLO-BENEVENTO II LOTTO FUNZIONALE FRASSO TELESINO – VITULANO 1° LOTTO FUNZIONALE FRASSO TELESINO – TELESE PROGETTO ESECUTIVO												
<i>Relazione di Calcolo impalcato a struttura mista Viadotto ferroviario – L=65 m</i>	<table border="1"> <tr> <td>COMMESSA</td> <td>LOTTO</td> <td>CODIFICA</td> <td>DOCUMENTO</td> <td>REV.</td> <td>FOGLIO</td> </tr> <tr> <td>IF26</td> <td>12</td> <td>E ZZ CL</td> <td>VI 05 07 003</td> <td>A</td> <td>57 di 162</td> </tr> </table>	COMMESSA	LOTTO	CODIFICA	DOCUMENTO	REV.	FOGLIO	IF26	12	E ZZ CL	VI 05 07 003	A	57 di 162
COMMESSA	LOTTO	CODIFICA	DOCUMENTO	REV.	FOGLIO								
IF26	12	E ZZ CL	VI 05 07 003	A	57 di 162								

Il programma esegue la verifica di instabilità flessio-torsionale ad ogni section cut.

All'interno del software, il calcolo della tensione nelle piattabande delle travi in acciaio viene effettuato secondo la formula seguente:

$$f_{bu} = \frac{P}{A_{comp}} + \frac{M_{NC}}{S_{steel}} + \frac{M_{LTC}}{S_{LTC}} + \frac{M_{STC}}{S_{STC}}$$

in cui:

P = sforzo normale di calcolo

M_{NC} = momento flettente di calcolo agente sulla sezione non composta

M_{LTC} = momento flettente di calcolo agente sulla sezione composta a lungo termine

M_{STC} = momento flettente di calcolo agente sulla sezione composta a breve termine

A_{comp} = area della sezione composta

S_{n steel} = modulo di resistenza a flessione della sezione non composta

S_{LTC} = modulo di resistenza a flessione della sezione composta a lungo termine

S_{STC} = modulo di resistenza a flessione della sezione composta a breve termine

Ad ogni caso di carico, infatti, è stata assegnata una categoria di progetto: sezione non composta, sezione composta lungo termine, sezione composta breve termine. Di conseguenza le sollecitazioni che ne derivano verranno automaticamente computate all'interno di M_{NC}, M_{LTC} o di M_{STC}.

Azioni permanenti

g1 = peso proprio delle strutture

g2 = carichi permanenti portati

Azioni variabili

q1 = treno LM71

q2 = treno SW/2

q3 = avviamento/frenatura LM71

q4 = avviamento/frenatura SW/2

q5 = centrifuga LM71

q6 = centrifuga SW/2

q7 = serpeggio LM71

q8 = serpeggio SW/2

q9 = DT unif +

q10 = DT grad +

q11 = DT unif -

Categoria di progetto

sezione non composta

sezione composta lungo termine

sezione composta breve termine

q12 =	DT grad -	sezione composta breve termine
q13 =	ritiro cls	sezione composta lungo termine
q14 =	vento con 2 binari carichi	sezione composta breve termine
q15 =	vento con 1 binario carico	sezione composta breve termine
q16 =	vento con binari scarichi	sezione composta breve termine
q17 =	folla sui marciapiedi	sezione composta breve termine
q18 =	sisma direzione x (longitudinale)	sezione composta breve termine
q19 =	sisma direzione y (trasversale)	sezione composta breve termine
q20 =	sisma direzione z (verticale)	sezione composta breve termine
q21 =	resistenze parassite dei vincoli	sezione composta breve termine
q22 =	deragliamenti	sezione composta breve termine

Il modulo di resistenza a flessione positiva della sezione composta a breve termine è calcolato omogeneizzando la trave a calcestruzzo tramite il rapporto tra i moduli elastici dell'acciaio e del calcestruzzo.

Il modulo di resistenza a flessione positiva della sezione composta a lungo termine usa un rapporto tra i moduli elastici fattorizzato con n , dove n tiene conto degli effetti viscosi ed è pari a $1 + \Phi = 3.89$. Gli effetti dell'armatura di compressione vengono ignorati.

Per momento negativo, la soletta in calcestruzzo è considerata fessurata e non è quindi inclusa nel calcolo del modulo di resistenza a flessione, mentre l'armatura di trazione è considerata.

Per le sezioni di classe 4, nel calcolo delle tensioni vengono utilizzate le proprietà effettive della sezione.

• Verifiche SLU - FASE DI ESERCIZIO

Il programma verifica ad ogni section cut la resistenza della sezione a flessione positiva, a flessione negativa e a taglio. Considera anche l'interazione taglio - flessione positiva e taglio - flessione negativa.

La verifica viene restituita sotto forma di rapporto D/C (Demand/Capacity), che nell'esempio di flessione positiva in sezioni di classe 4 è pari a:

$$DoverC = \max \left(\frac{f_{buTop}}{f_{ydTop}}, \frac{f_{buBot}}{f_{ydBot}}, \frac{f_{deck}}{f_{cddeck}} \right)$$

dove:

f_{buTop} = tensione di calcolo nella piattabanda superiore

f_{buBot} = tensione di calcolo nella piattabanda inferiore

f_{deck} = tensione di calcolo all'estradosso della soletta in c.a.

f_{ydTop} = tensione di snervamento dell'acciaio della piattabanda superiore

	ITINERARIO NAPOLI – BARI RADDOPPIO TRATTA CANCELLO-BENEVENTO II LOTTO FUNZIONALE FRASSO TELESINO – VITULANO 1° LOTTO FUNZIONALE FRASSO TELESINO – TELESE PROGETTO ESECUTIVO												
<i>Relazione di Calcolo impalcato a struttura mista Viadotto ferroviario – L=65 m</i>	<table border="1"> <thead> <tr> <th>COMMESSA</th> <th>LOTTO</th> <th>CODIFICA</th> <th>DOCUMENTO</th> <th>REV.</th> <th>FOGLIO</th> </tr> </thead> <tbody> <tr> <td>IF26</td> <td>12</td> <td>E ZZ CL</td> <td>VI 05 07 003</td> <td>A</td> <td>59 di 162</td> </tr> </tbody> </table>	COMMESSA	LOTTO	CODIFICA	DOCUMENTO	REV.	FOGLIO	IF26	12	E ZZ CL	VI 05 07 003	A	59 di 162
COMMESSA	LOTTO	CODIFICA	DOCUMENTO	REV.	FOGLIO								
IF26	12	E ZZ CL	VI 05 07 003	A	59 di 162								

f_{ydBot} = tensione di snervamento dell'acciaio della piattabanda inferiore

f_{cddeck} = resistenza di calcolo del calcestruzzo della soletta

Nel caso di verifica a taglio, il software calcola la forza di taglio che agisce sulle anime delle travi come effetto della somma delle tensioni dovute al taglio e alla torsione agenti sulla sezione complessiva. Il rapporto D/C che restituisce è pari a:

$$DoverC = \frac{V_{ed} + V_{tor}}{V_{bw,Rd}}$$

dove

V_{ed} = forza di taglio agente sull'anima derivante dalle tensioni tangenziali dovute al taglio sulla sezione

V_{tor} = forza di taglio agente sull'anima derivante dalle tensioni tangenziali dovute alla torsione sulla sezione

- **Verifiche SLU - FASE DI COSTRUZIONE**

Per ogni section cut, per delle combinazioni di carico create ad hoc (in questo caso la combinazione "FASE 0"), il programma assume la soletta in c.a. non collaborante.

Nei paragrafi successivi è stata adottata la seguente convenzione sui segni delle sollecitazioni e delle tensioni:

$N > 0$ sforzo normale di trazione;

$M > 0$ momento flettente che tende le fibre inferiori;

$\sigma > 0$ tensioni normali di trazione.

7.4.1 Geometria impalcato

Nel seguito si sintetizzano le caratteristiche delle sezioni resistenti della trave oggetto di verifica:

- Concio 1 (Concio di estremità, L = 12.10 m)

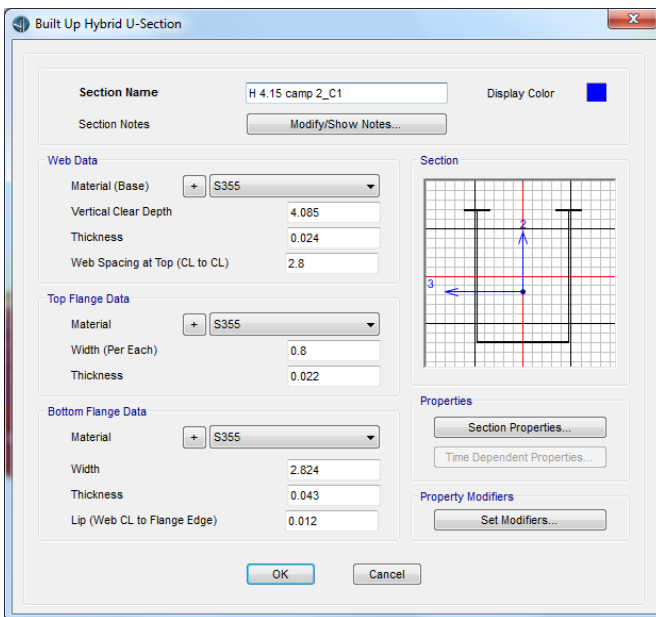


Figura 44: Caratteristiche geometriche della trave in acciaio

A	9.8632
J	15.6961
I33	29.9151
I22	127.7336
I23	0.
AS2	2.7837
AS3	5.4813
S33(+face)	20.4807
S33(-face)	9.5902
S22(+face)	18.6472
S22(-face)	18.6472
Z33	21.1633
Z22	40.7205
r33	1.7415
r22	3.5987
Xcg	6.85
Ycg	3.1194
Xpna	6.85
Ypna	3.7322

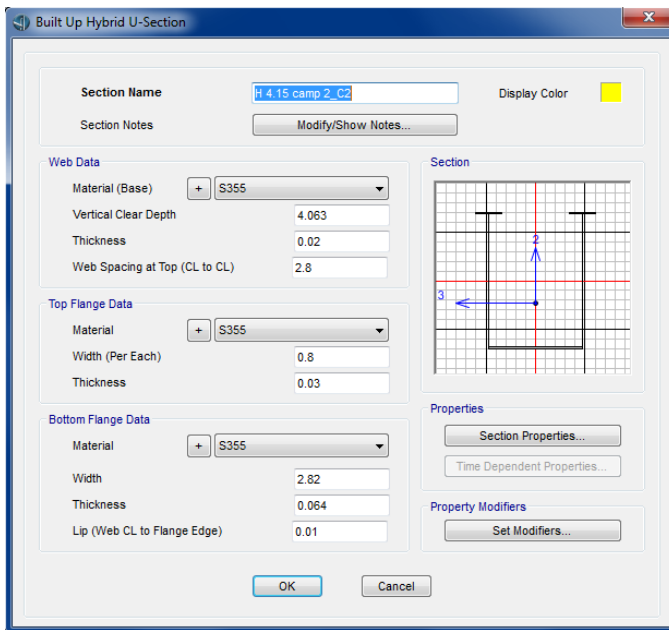
OK

Figura 45: Caratteristiche della sezione di impalcato omogeneizzato a cls

- Concio 2 (L = 12.60 m)

Relazione di Calcolo impalcato a struttura mista
Viadotto ferroviario – L=65 m

COMMESSA	LOTTO	CODIFICA	DOCUMENTO	REV.	FOGLIO
IF26	12	E ZZ CL	VI 05 07 003	A	61 di 162

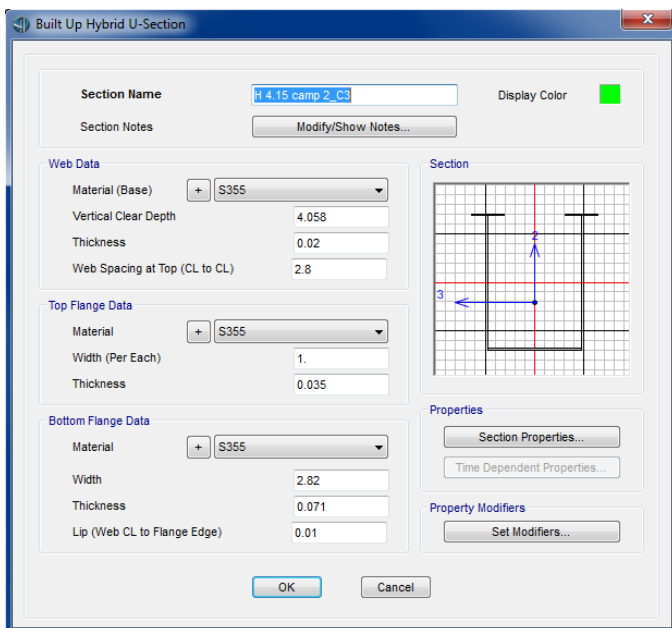


Property	Value
A	10.3199
J	14.2409
I33	35.6471
I22	131.2482
I23	0.
AS2	2.3268
AS3	5.8575
S33(+face)	21.9604
S33(-face)	12.0602
S22(+face)	19.1603
S22(-face)	19.1603
Z33	24.7377
Z22	43.0274
r33	1.8586
r22	3.5662
Xcg	6.85
Ycg	2.9558
Xpna	6.85
Ypna	3.479

Figura 46: Caratteristiche geometriche della trave in acciaio

Figura 47: Caratteristiche della sezione di impalcato omogeneizzato a cls

- Concio 3 (Concio di mezzeria, L = 15.60 m)



Property	Value
Base	C32/40
A	10.8586
J	14.4016
I33	38.1372
I22	136.2178
I23	0.
AS2	2.3198
AS3	6.1357
S33(+face)	23.0172
S33(-face)	13.0423
S22(+face)	19.8858
S22(-face)	19.8858
Z33	26.5632
Z22	45.642
r33	1.8741
r22	3.5419
Xcg	6.85
Ycg	2.9241
Xpna	6.85
Ypna	3.5205

Figura 48: Caratteristiche geometriche della trave in acciaio

Figura 49: Caratteristiche della sezione di impalcato omogeneizzato a cls

7.4.2 Calcolo delle tensioni

Considerando quanto indicato nel paragrafo 7.4 si riportano nel seguito i diagrammi relativi all'andamento delle sollecitazioni che agiscono sulla sezione dell'impalcato e delle tensioni che si generano nelle sezioni delle travi. In particolare si riportano i valori relativi alla combinazione SLU più gravosa, in termini di:

- momento flettente agente sulla sezione non composta nella fase 0;
- taglio agente sulla sezione non composta nella fase 0;
- momento flettente agente sulla sezione composta;
- taglio agente sulla sezione composta;
- tensioni sulle piattabande superiori e inferiori della trave;
- tensioni tangenziali nell'anima della trave.

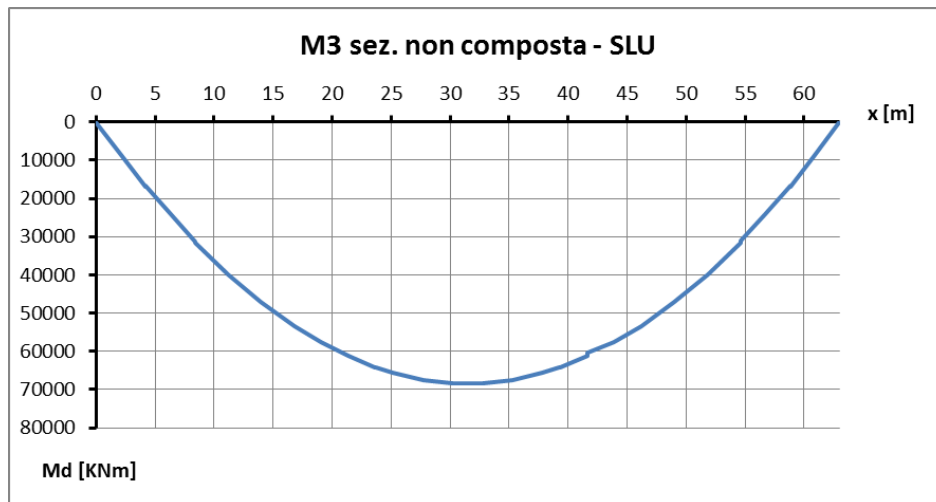


Figura 50: Momento flettente SLU agente sulla sezione non composta nella fase 0

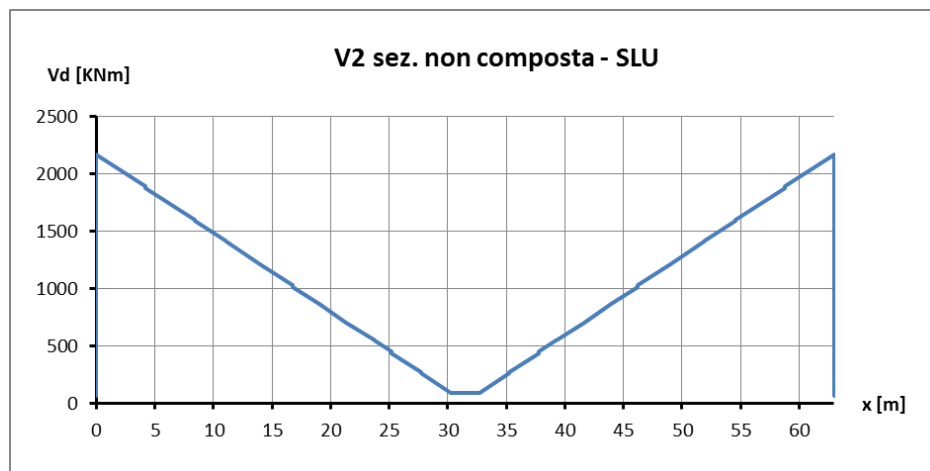


Figura 51: Taglio SLU agente sulla sezione non composta nella fase 0

Relazione di Calcolo impalcato a struttura mista
Viadotto ferroviario – L=65 m

COMMESSA	LOTTO	CODIFICA	DOCUMENTO	REV.	FOGLIO
IF26	12	E ZZ CL	VI 05 07 003	A	64 di 162

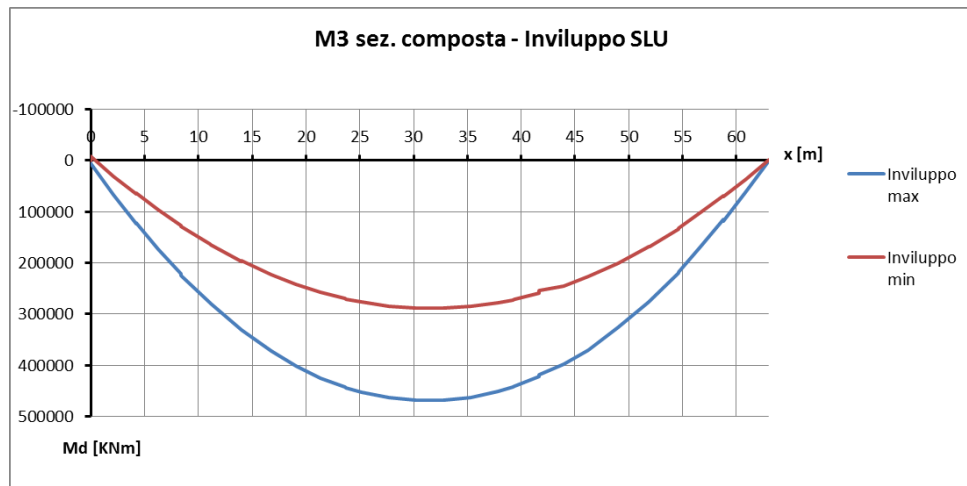


Figura 52: Momento flettente SLU agente sulla sezione composta

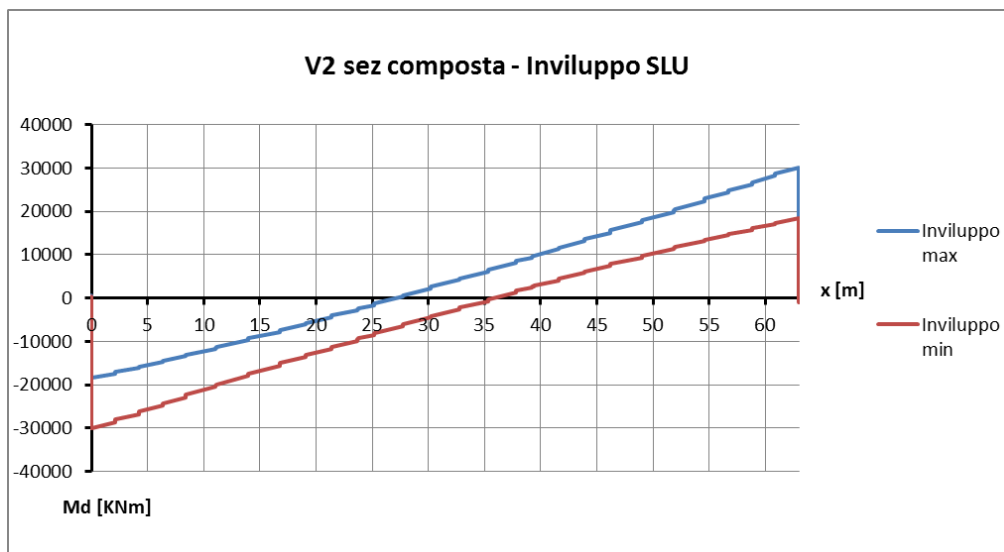


Figura 53: Taglio SLU agente sulla sezione composta

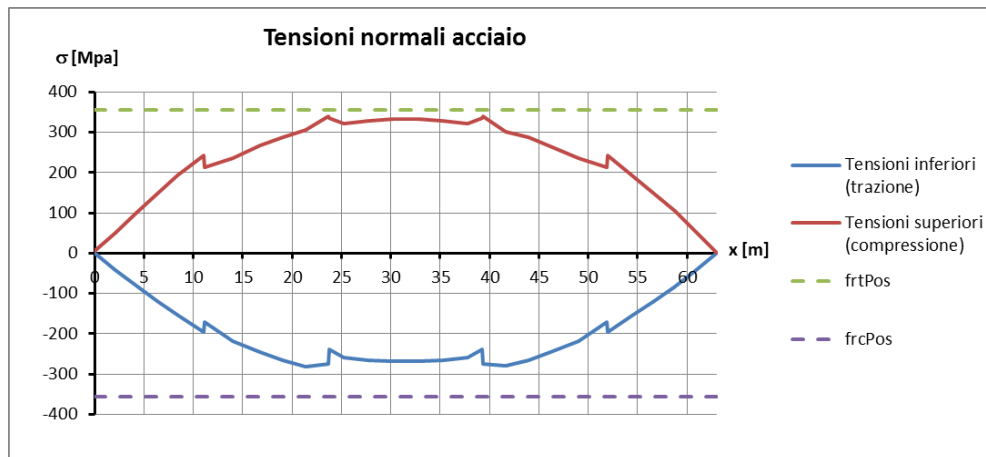


Figura 54: Tensioni normali SLU agenti sulle piattabande superiori e inferiori della trave

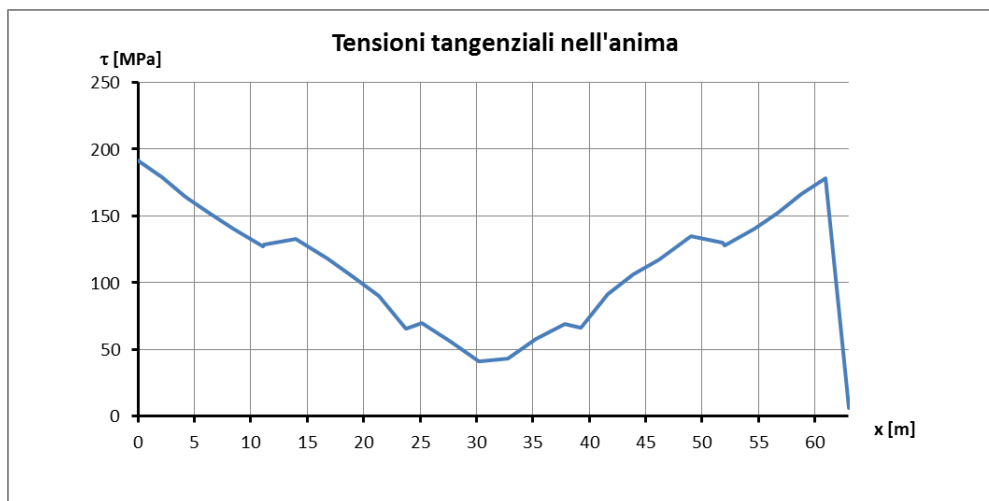


Figura 55: Tensioni tangenziali SLU agenti sull'anima della trave

7.4.3 Verifica sezione non composta - flessione

Legenda – Verifica flessione positiva SLU sezioni a U non composte	
DesReqName	Nome della verifica
Station	Progressiva della section cut
Location	Specifica se gli output della section cut sono calcolati prima o dopo la progressiva.
Girder	Nome della trave
Combo	Nome della combinazione di carico
CodeEqn	Equazione dell'Eurocodice utilizzata per calcolare la resistenza
SlabStatus	Condizione della soletta in c.a.: sezione composta /sezione non composta
MuPos	Momento di calcolo. Se negativo è posto uguale a zero. Riportato solo per sezioni di classe 1 e 2, altrimenti è posto uguale a zero.
Pu	Sforzo normale di calcolo nella trave. Considerato solo quando si usa la Stage Analysis, altrimenti è posto uguale a 0.
MuNonComp	Momento di calcolo sulla sezione non composta. Riportato solo quando non si usa la Stage Analysis, altrimenti è posto uguale a zero.
MuLTerm	Momento di calcolo sulla sezione composta a lungo termine. Riportato solo quando non si usa la Stage Analysis, altrimenti è posto uguale a 0.
MuSTerm	Momento di progetto sulla sezione composta a breve termine. Riportato solo quando non si usa la Stage Analysis, altrimenti è posto uguale a 0.

fbuComp	Tensione di compressione sulla piattabanda superiore dovuta alle azioni di calcolo in corrispondenza della section cut. Riportata solo per sezioni di classe 3e 4, altrimenti è posta uguale a 0.
fbuTens	Tensione di trazione sulla piattabanda inferiore dovuta alle azioni di calcolo in corrispondenza della section cut. Riportata solo per sezioni di classe 3e 4, altrimenti è posta uguale a 0.
MDiaphDown	Momento di progetto in corrispondenza del più vicino diaframma precedente o supporto rigido.
MDiaphUp	Momento di progetto in corrispondenza del più vicino diaframma successivo o supporto rigido. Posto uguale a 0 se il segno è differente dal momento di progetto su diaframma precedente.
VDiaphDown	Taglio di progetto in corrispondenza del più vicino diaframma precedente o supporto rigido.
VDiaphUp	Taglio di progetto in corrispondenza del più vicino diaframma successivo o supporto rigido.
RatioMiu	Rapporto μ tra i tagli di calcolo alle estremità di un segmento di trave tra supporti laterali rigidi secondo EN 1993-2 6.3.4.2 (7).
FactPhi	Fattore Φ per segmenti di trave tra supporti laterali rigidi secondo EN 1993-2 6.3.4.2 (7).
FactM	Fattore m per segmenti di trave tra supporti laterali rigidi secondo EN 1993-2 6.3.4.2 (7). (assumendo $\gamma=0$).
LambdaLT	Snellezza per instabilità flesso torsionale secondo EN 1993-2 eq 6.10 and eq. 6.12.
FactPhiLT	Fattore Φ_{LT} per instabilità flesso torsionale secondo 1993-1-1 eq 6.56.
FactChiLT	Fattore di riduzione χ_{LT} per instabilità flesso torsionale secondo 1993-1-1 eq 6.56.
MrPos	Momento resistente di progetto per flessione positiva. Riportato solo per sezioni di classe 1 e 2, altrimenti posto uguale a 0.
frcPos	Tensione di resistenza a flessione della piattabanda compressa per momento positivo. Riportata solo per sezioni di classe 3e 4, altrimenti è posta uguale a 0.
frtPos	Tensione di resistenza a flessione della piattabanda tesa per momento positivo. Riportata solo per sezioni di classe 3e 4, altrimenti è posta uguale a 0.
DCRatio	Rapporto domanda/capacità

Slab Status: sezione non composta

frcPos = 355000 KN/m²

frtPos = 355000 KN/m²

DesReqName = FASE 0

Combo = FASE 0

CodeEqn = EN 1993-1-1, clause 6.3.2.1 (eq 6.55), $\gamma_M=1.1$

GEODATA
ENGINEERING



**ITINERARIO NAPOLI – BARI
RADDOPPIO TRATTA CANCELLO-BENEVENTO
II LOTTO FUNZIONALE FRASSO TELESINO – VITULANO
1° LOTTO FUNZIONALE FRASSO TELESINO – TELESE
PROGETTO ESECUTIVO**

*Relazione di Calcolo impalcato a struttura mista
Viadotto ferroviario – L=65 m*

COMMESSA	LOTTO	CODIFICA	DOCUMENTO	REV.	FOGLIO
IF26	12	E ZZ CL	VI 05 07 003	A	68 di 162

MDiaphDown = -105.7 KNm

MDiaphUp = -105.7 KNm

RatioMiu = 1

FactPhi = 1

FactM = 1.88

MrPos = 0

MuLTerm = 0

MuSTerm = 0

ITINERARIO NAPOLI – BARI
RADDOPPIO TRATTA CANCELLO-BENEVENTO
II LOTTO FUNZIONALE FRASSO TELESINO – VITULANO
1° LOTTO FUNZIONALE FRASSO TELESINO – TELESE
PROGETTO ESECUTIVO

Relazione di Calcolo impalcato a struttura mista
Viadotto ferroviario – L=65 m

COMMESSA LOTTO CODIFICA DOCUMENTO REV. FOGLIO
IF26 12 E ZZ CL VI 05 07 003 A 69 di 162

TABLE: Bridge Super Design EUROCODE 56 - SteelUCompCstrNStg-FixPs

Station	Location	Girder	MuPos	Pu	MuNonComp	fbuComp	fbuTens	VDiaphDown	VDiaphUp	LambdaLT	FactPhiLT	FactChiLT	DCRatio
m	Text	Text	KN-m	KN	KN-m	KN/m2	KN/m2	KN	KN	Unitless	Unitless	Unitless	Unitless
0.00	After	Left Exterior Girder	0.00	0.00	0.00	0.00	0.00	-2795.31	-2795.31	0.31	0.59	0.91	0.00
0.00	After	Right Exterior Girder	0.00	0.00	0.00	0.00	0.00	-2795.31	-2795.31	0.31	0.59	0.91	0.00
1.00	Before	Left Exterior Girder	0.00	0.00	0.00	0.00	0.00	-2795.31	-2795.31	0.31	0.59	0.91	0.00
1.00	Before	Right Exterior Girder	0.00	0.00	0.00	0.00	0.00	-2795.31	-2795.31	0.31	0.59	0.91	0.00
1.00	After	Left Exterior Girder	0.00	-73.06	0.00	0.00	0.00	-2795.31	-2795.31	0.31	0.59	0.91	0.00
1.00	After	Right Exterior Girder	0.00	-73.06	0.00	0.00	0.00	-2795.31	-2795.31	0.31	0.59	0.91	0.00
3.10	Before	Left Exterior Girder	8889.05	-73.06	8889.05	-33435.22	20528.97	-2795.31	-2795.31	0.31	0.59	0.91	0.11
3.10	Before	Right Exterior Girder	8889.05	-73.06	8889.05	-33435.22	20528.97	-2795.31	-2795.31	0.31	0.59	0.91	0.11
3.10	After	Left Exterior Girder	8889.05	-73.06	8889.05	-33435.22	20528.97	-2795.31	-2795.31	0.31	0.59	0.91	0.11
3.10	After	Right Exterior Girder	8889.05	-73.06	8889.05	-33435.22	20528.97	-2795.31	-2795.31	0.31	0.59	0.91	0.11
5.20	Before	Left Exterior Girder	17399.72	-73.06	17399.72	-65447.22	40184.09	-2795.31	-2795.31	0.31	0.59	0.91	0.22
5.20	Before	Right Exterior Girder	17399.72	-73.06	17399.72	-65447.22	40184.09	-2795.31	-2795.31	0.31	0.59	0.91	0.22
5.20	After	Left Exterior Girder	17086.84	-49.70	17086.84	-64270.36	39461.50	-2795.31	-2795.31	0.25	0.55	0.96	0.21
5.20	After	Right Exterior Girder	17086.84	-49.70	17086.84	-64270.36	39461.50	-2795.31	-2795.31	0.25	0.55	0.96	0.21
7.30	Before	Left Exterior Girder	24963.15	-49.70	24963.15	-93896.31	57651.60	-2795.31	-2795.31	0.25	0.55	0.96	0.30
7.30	Before	Right Exterior Girder	24963.15	-49.70	24963.15	-93896.31	57651.60	-2795.31	-2795.31	0.25	0.55	0.96	0.30
7.30	After	Left Exterior Girder	24963.15	-49.70	24963.15	-93896.31	57651.60	-2795.31	-2795.31	0.25	0.55	0.96	0.30
7.30	After	Right Exterior Girder	24963.15	-49.70	24963.15	-93896.31	57651.60	-2795.31	-2795.31	0.25	0.55	0.96	0.30
9.40	Before	Left Exterior Girder	32258.25	-49.70	32258.25	-121336.06	74499.40	-2795.31	-2795.31	0.25	0.55	0.96	0.39
9.40	Before	Right Exterior Girder	32258.25	-49.70	32258.25	-121336.06	74499.40	-2795.31	-2795.31	0.25	0.55	0.96	0.39
9.40	After	Left Exterior Girder	32628.47	163.20	32628.47	-122728.61	75354.41	-2795.31	-2795.31	0.51	0.75	0.77	0.49
9.40	After	Right Exterior Girder	32628.47	163.20	32628.47	-122728.61	75354.41	-2795.31	-2795.31	0.51	0.75	0.77	0.49
12.05	Before	Left Exterior Girder	40940.43	163.20	40940.43	-153994.05	94555.46	-2795.31	-2795.31	0.51	0.75	0.77	0.62
12.05	Before	Right Exterior Girder	40940.43	163.20	40940.43	-153994.05	94555.46	-2795.31	-2795.31	0.51	0.75	0.77	0.62
12.05	After	Left Exterior Girder	40940.43	163.20	40940.43	-153994.05	94555.46	-2795.31	-2795.31	0.51	0.75	0.77	0.62
12.05	After	Right Exterior Girder	40940.43	163.20	40940.43	-153994.05	94555.46	-2795.31	-2795.31	0.51	0.75	0.77	0.62
12.15	Before	Left Exterior Girder	41228.65	163.20	41228.65	-124833.05	73252.30	-2795.31	-2795.31	0.48	0.72	0.80	0.49
12.15	Before	Right Exterior Girder	41228.65	163.20	41228.65	-124833.05	73252.30	-2795.31	-2795.31	0.48	0.72	0.80	0.49
12.15	After	Left Exterior Girder	41228.65	163.20	41228.65	-124833.05	73252.30	-2795.31	-2795.31	0.48	0.72	0.80	0.49
12.15	After	Right Exterior Girder	41228.65	163.20	41228.65	-124833.05	73252.30	-2795.31	-2795.31	0.48	0.72	0.80	0.49
14.98	Before	Left Exterior Girder	48963.72	235.88	48963.72	-173603.81	85599.48	-2795.31	-2795.31	0.46	0.70	0.81	0.67
14.98	Before	Right Exterior Girder	48963.72	235.88	48963.72	-173603.81	85599.48	-2795.31	-2795.31	0.46	0.70	0.81	0.67
14.98	After	Left Exterior Girder	48963.72	235.88	48963.72	-173603.81	85599.48	-2795.31	-2795.31	0.46	0.70	0.81	0.67
14.98	After	Right Exterior Girder	48963.72	235.88	48963.72	-173603.81	85599.48	-2795.31	-2795.31	0.46	0.70	0.81	0.67
17.80	Before	Left Exterior Girder	55646.44	235.88	55646.44	-197297.80	97282.36	-2795.31	-2795.31	0.46	0.70	0.81	0.76
17.80	Before	Right Exterior Girder	55646.44	235.88	55646.44	-197297.80	97282.36	-2795.31	-2795.31	0.46	0.70	0.81	0.76
17.80	After	Left Exterior Girder	55628.56	269.44	55628.56	-197234.42	97251.11	-2795.31	-2795.31	0.46	0.70	0.81	0.76
17.80	After	Right Exterior Girder	55628.56	269.44	55628.56	-197234.42	97251.11	-2795.31	-2795.31	0.46	0.70	0.81	0.76
20.08	Before	Left Exterior Girder	60204.03	269.44	60204.03	-213457.00	105250.04	-2795.31	-2795.31	0.46	0.70	0.81	0.82
20.08	Before	Right Exterior Girder	60204.03	269.44	60204.03	-213457.00	105250.04	-2795.31	-2795.31	0.46	0.70	0.81	0.82
20.08	After	Left Exterior Girder	60204.03	269.44	60204.03	-213457.00	105250.04	-2795.31	-2795.31	0.46	0.70	0.81	0.82
20.08	After	Right Exterior Girder	60204.03	269.44	60204.03	-213457.00	105250.04	-2795.31	-2795.31	0.46	0.70	0.81	0.82
22.37	Before	Left Exterior Girder	64064.46	291.47	64064.46	-227144.39	111998.93	-2795.31	-2795.31	0.46	0.70	0.81	0.87
22.37	Before	Right Exterior Girder	64064.46	291.47	64064.46	-227144.39	111998.93	-2795.31	-2795.31	0.46	0.70	0.81	0.87
22.37	After	Left Exterior Girder	64064.46	291.47	64064.46	-227144.39	111998.93	-2795.31	-2795.31	0.46	0.70	0.81	0.87
22.37	After	Right Exterior Girder	64064.46	291.47	64064.46	-227144.39	111998.93	-2795.31	-2795.31	0.46	0.70	0.81	0.87
24.65	Before	Left Exterior Girder	67208.04	291.47	67208.04	-203494.04	119410.75	-2795.31	-2795.31	0.48	0.72	0.80	0.79
24.65	Before	Right Exterior Girder	67208.04	291.47	67208.04	-203494.04	119410.75	-2795.31	-2795.31	0.48	0.72	0.80	0.79
24.65	After	Left Exterior Girder	67208.04	291.47	67208.04	-203494.04	119410.75	-2795.31	-2795.31	0.48	0.72	0.80	0.79
24.65	After	Right Exterior Girder	67208.04	291.47	67208.04	-203494.04	119410.75	-2795.31	-2795.31	0.48	0.72	0.80	0.79

**ITINERARIO NAPOLI – BARI
RADDOPPIO TRATTA CANCELLO-BENEVENTO
II LOTTO FUNZIONALE FRASSO TELESINO – VITULANO
1° LOTTO FUNZIONALE FRASSO TELESINO – TELESE
PROGETTO ESECUTIVO**

*Relazione di Calcolo impalcato a struttura mista
Viadotto ferroviario – L=65 m*

COMMESSA	LOTTO	CODIFICA	DOCUMENTO	REV.	FOGLIO
IF26	12	E ZZ CL	VI 05 07 003	A	70 di 162

24.75	Before	Left Exterior Girder	67261.28	291.47	67261.28	-177603.34	109275.22	-2795.31	-2795.31	0.35	0.62	0.89	0.62
24.75	Before	Right Exterior Girder	67261.28	291.47	67261.28	-177603.34	109275.22	-2795.31	-2795.31	0.35	0.62	0.89	0.62
24.75	After	Left Exterior Girder	67261.28	291.47	67261.28	-177603.34	109275.22	-2795.31	-2795.31	0.35	0.62	0.89	0.62
24.75	After	Right Exterior Girder	67261.28	291.47	67261.28	-177603.34	109275.22	-2795.31	-2795.31	0.35	0.62	0.89	0.62
26.20	Before	Left Exterior Girder	68854.57	291.47	68854.57	-209729.31	110615.12	-2795.31	-2795.31	0.34	0.61	0.89	0.73
26.20	Before	Right Exterior Girder	68854.57	291.47	68854.57	-209729.31	110615.12	-2795.31	-2795.31	0.34	0.61	0.89	0.73
26.20	After	Left Exterior Girder	68860.58	283.64	68860.58	-209747.61	110624.77	-2795.31	-2795.31	0.51	0.75	0.77	0.84
26.20	After	Right Exterior Girder	68860.58	283.64	68860.58	-209747.61	110624.77	-2795.31	-2795.31	0.51	0.75	0.77	0.84
28.72	Before	Left Exterior Girder	70814.50	283.64	70814.50	-215699.22	113763.76	-2795.31	-2795.31	0.51	0.75	0.77	0.87
28.72	Before	Right Exterior Girder	70814.50	283.64	70814.50	-215699.22	113763.76	-2795.31	-2795.31	0.51	0.75	0.77	0.87
28.72	After	Left Exterior Girder	70814.50	283.64	70814.50	-215699.22	113763.76	-2795.31	-2795.31	0.51	0.75	0.77	0.87
28.72	After	Right Exterior Girder	70814.50	283.64	70814.50	-215699.22	113763.76	-2795.31	-2795.31	0.51	0.75	0.77	0.87
31.24	Before	Left Exterior Girder	71808.24	288.60	71808.24	-218726.11	115360.20	-2795.31	-2795.31	0.51	0.75	0.77	0.88
31.24	Before	Right Exterior Girder	71808.24	288.60	71808.24	-218726.11	115360.20	-2795.31	-2795.31	0.51	0.75	0.77	0.88
31.24	After	Left Exterior Girder	71808.24	288.60	71808.24	-218726.11	115360.20	-2795.31	-2795.31	0.51	0.75	0.77	0.88
31.24	After	Right Exterior Girder	71808.24	288.60	71808.24	-218726.11	115360.20	-2795.31	-2795.31	0.51	0.75	0.77	0.88
33.76	Before	Left Exterior Girder	71815.80	288.60	71815.80	-218749.15	115372.35	-2795.31	-2795.31	0.51	0.75	0.77	0.88
33.76	Before	Right Exterior Girder	71815.80	288.60	71815.80	-218749.15	115372.35	-2795.31	-2795.31	0.51	0.75	0.77	0.88
33.76	After	Left Exterior Girder	71815.80	288.60	71815.80	-218749.15	115372.35	-2795.31	-2795.31	0.51	0.75	0.77	0.88
33.76	After	Right Exterior Girder	71815.80	288.60	71815.80	-218749.15	115372.35	-2795.31	-2795.31	0.51	0.75	0.77	0.88
36.28	Before	Left Exterior Girder	70845.06	283.74	70845.06	-215792.30	113812.85	-2795.31	-2795.31	0.51	0.75	0.77	0.87
36.28	Before	Right Exterior Girder	70845.06	283.74	70845.06	-215792.30	113812.85	-2795.31	-2795.31	0.51	0.75	0.77	0.87
36.28	After	Left Exterior Girder	70845.06	283.74	70845.06	-215792.30	113812.85	-2795.31	-2795.31	0.51	0.75	0.77	0.87
36.28	After	Right Exterior Girder	70845.06	283.74	70845.06	-215792.30	113812.85	-2795.31	-2795.31	0.51	0.75	0.77	0.87
38.80	Before	Left Exterior Girder	68888.35	283.74	68888.35	-209832.20	110669.39	-2795.31	-2795.31	0.51	0.75	0.77	0.84
38.80	Before	Right Exterior Girder	68888.35	283.74	68888.35	-209832.20	110669.39	-2795.31	-2795.31	0.51	0.75	0.77	0.84
38.80	After	Left Exterior Girder	68882.28	291.65	68882.28	-209813.72	110659.64	-2795.31	-2795.31	0.34	0.61	0.89	0.73
38.80	After	Right Exterior Girder	68882.28	291.65	68882.28	-209813.72	110659.64	-2795.31	-2795.31	0.34	0.61	0.89	0.73
40.25	Before	Left Exterior Girder	67287.39	291.65	67287.39	-177672.28	109317.64	-2795.31	-2795.31	0.35	0.62	0.89	0.62
40.25	Before	Right Exterior Girder	67287.39	291.65	67287.39	-177672.28	109317.64	-2795.31	-2795.31	0.35	0.62	0.89	0.62
40.25	After	Left Exterior Girder	67287.39	291.65	67287.39	-177672.28	109317.64	-2795.31	-2795.31	0.35	0.62	0.89	0.62
40.25	After	Right Exterior Girder	67287.39	291.65	67287.39	-177672.28	109317.64	-2795.31	-2795.31	0.35	0.62	0.89	0.62
40.35	Before	Left Exterior Girder	67234.08	291.65	67234.08	-203572.89	119457.02	-2795.31	-2795.31	0.48	0.72	0.80	0.79
40.35	Before	Right Exterior Girder	67234.08	291.65	67234.08	-203572.89	119457.02	-2795.31	-2795.31	0.48	0.72	0.80	0.79
40.35	After	Left Exterior Girder	67234.08	291.65	67234.08	-203572.89	119457.02	-2795.31	-2795.31	0.48	0.72	0.80	0.79
40.35	After	Right Exterior Girder	67234.08	291.65	67234.08	-203572.89	119457.02	-2795.31	-2795.31	0.48	0.72	0.80	0.79
42.63	Before	Left Exterior Girder	64087.97	291.65	64087.97	-227227.78	112040.05	-2795.31	-2795.31	0.46	0.70	0.81	0.87
42.63	Before	Right Exterior Girder	64087.97	291.65	64087.97	-227227.78	112040.05	-2795.31	-2795.31	0.46	0.70	0.81	0.87
42.63	After	Left Exterior Girder	64087.97	291.65	64087.97	-227227.78	112040.05	-2795.31	-2795.31	0.46	0.70	0.81	0.87
42.63	After	Right Exterior Girder	64087.97	291.65	64087.97	-227227.78	112040.05	-2795.31	-2795.31	0.46	0.70	0.81	0.87
44.92	Before	Left Exterior Girder	60224.85	269.95	60224.85	-213530.82	105286.44	-2795.31	-2795.31	0.46	0.70	0.81	0.82
44.92	Before	Right Exterior Girder	60224.85	269.95	60224.85	-213530.82	105286.44	-2795.31	-2795.31	0.46	0.70	0.81	0.82
44.92	After	Left Exterior Girder	60224.85	269.95	60224.85	-213530.82	105286.44	-2795.31	-2795.31	0.46	0.70	0.81	0.82
44.92	After	Right Exterior Girder	60224.85	269.95	60224.85	-213530.82	105286.44	-2795.31	-2795.31	0.46	0.70	0.81	0.82
47.20	Before	Left Exterior Girder	55646.86	269.95	55646.86	-197299.29	97283.10	-2795.31	-2795.31	0.46	0.70	0.81	0.76
47.20	Before	Right Exterior Girder	55646.86	269.95	55646.86	-197299.29	97283.10	-2795.31	-2795.31	0.46	0.70	0.81	0.76
47.20	After	Left Exterior Girder	55664.92	236.03	55664.92	-197363.35	97314.68	-2795.31	-2795.31	0.46	0.70	0.81	0.76
47.20	After	Right Exterior Girder	55664.92	236.03	55664.92	-197363.35	97314.68	-2795.31	-2795.31	0.46	0.70	0.81	0.76
50.03	Before	Left Exterior Girder	48979.08	236.03	48979.08	-173658.29	85626.34	-2795.31	-2795.31	0.46	0.70	0.81	0.67
50.03	Before	Right Exterior Girder	48979.08	236.03	48979.08	-173658.29	85626.34	-2795.31	-2795.31	0.46	0.70	0.81	0.67
50.03	After	Left Exterior Girder	48979.08	236.03	48979.08	-173658.29	85626.34	-2795.31	-2795.31	0.46	0.70	0.81	0.67
50.03	After	Right Exterior Girder	48979.08	236.03	48979.08	-173658.29	85626.34	-2795.31	-2795.31	0.46	0.70	0.81	0.67

ITINERARIO NAPOLI – BARI
RADDOPPIO TRATTA CANCELLO-BENEVENTO
II LOTTO FUNZIONALE FRASSO TELESINO – VITULANO
1° LOTTO FUNZIONALE FRASSO TELESINO – TELESE
PROGETTO ESECUTIVO

Relazione di Calcolo impalcato a struttura mista
Viadotto ferroviario – L=65 m

COMMESSA	LOTTO	CODIFICA	DOCUMENTO	REV.	FOGLIO
IF26	12	E ZZ CL	VI 05 07 003	A	71 di 162

52.85	Before	Left Exterior Girder	41241.00	163.15	41241.00	-124870.44	73274.25	-2795.31	-2795.31	0.48	0.72	0.80	0.49
52.85	Before	Right Exterior Girder	41241.00	163.15	41241.00	-124870.44	73274.25	-2795.31	-2795.31	0.48	0.72	0.80	0.49
52.85	After	Left Exterior Girder	41241.00	163.15	41241.00	-124870.44	73274.25	-2795.31	-2795.31	0.48	0.72	0.80	0.49
52.85	After	Right Exterior Girder	41241.00	163.15	41241.00	-124870.44	73274.25	-2795.31	-2795.31	0.48	0.72	0.80	0.49
52.95	Before	Left Exterior Girder	40952.67	163.15	40952.67	-154040.08	94583.72	-2795.31	-2795.31	0.51	0.75	0.77	0.62
52.95	Before	Right Exterior Girder	40952.67	163.15	40952.67	-154040.08	94583.72	-2795.31	-2795.31	0.51	0.75	0.77	0.62
52.95	After	Left Exterior Girder	40952.67	163.15	40952.67	-154040.08	94583.72	-2795.31	-2795.31	0.51	0.75	0.77	0.62
52.95	After	Right Exterior Girder	40952.67	163.15	40952.67	-154040.08	94583.72	-2795.31	-2795.31	0.51	0.75	0.77	0.62
55.60	Before	Left Exterior Girder	32637.78	163.15	32637.78	-122763.62	75375.91	-2795.31	-2795.31	0.51	0.75	0.77	0.49
55.60	Before	Right Exterior Girder	32637.78	163.15	32637.78	-122763.62	75375.91	-2795.31	-2795.31	0.51	0.75	0.77	0.49
55.60	After	Left Exterior Girder	32265.31	-51.10	32265.31	-121362.60	74515.69	-2795.31	-2795.31	0.25	0.55	0.96	0.39
55.60	After	Right Exterior Girder	32265.31	-51.10	32265.31	-121362.60	74515.69	-2795.31	-2795.31	0.25	0.55	0.96	0.39
57.70	Before	Left Exterior Girder	24967.89	-51.10	24967.89	-93914.11	57662.54	-2795.31	-2795.31	0.25	0.55	0.96	0.30
57.70	Before	Right Exterior Girder	24967.89	-51.10	24967.89	-93914.11	57662.54	-2795.31	-2795.31	0.25	0.55	0.96	0.30
57.70	After	Left Exterior Girder	24967.89	-51.10	24967.89	-93914.11	57662.54	-2795.31	-2795.31	0.25	0.55	0.96	0.30
57.70	After	Right Exterior Girder	24967.89	-51.10	24967.89	-93914.11	57662.54	-2795.31	-2795.31	0.25	0.55	0.96	0.30
59.80	Before	Left Exterior Girder	17089.25	-51.10	17089.25	-64279.44	39467.08	-2795.31	-2795.31	0.25	0.55	0.96	0.21
59.80	Before	Right Exterior Girder	17089.25	-51.10	17089.25	-64279.44	39467.08	-2795.31	-2795.31	0.25	0.55	0.96	0.21
59.80	After	Left Exterior Girder	17394.21	-79.66	17394.21	-65426.51	40171.37	-2795.31	-2795.31	0.31	0.59	0.91	0.22
59.80	After	Right Exterior Girder	17394.21	-79.66	17394.21	-65426.51	40171.37	-2795.31	-2795.31	0.31	0.59	0.91	0.22
61.90	Before	Left Exterior Girder	8881.22	-79.66	8881.22	-33405.78	20510.89	-2795.31	-2795.31	0.31	0.59	0.91	0.11
61.90	Before	Right Exterior Girder	8881.22	-79.66	8881.22	-33405.78	20510.89	-2795.31	-2795.31	0.31	0.59	0.91	0.11
61.90	After	Left Exterior Girder	8881.22	-79.66	8881.22	-33405.78	20510.89	-2795.31	-2795.31	0.31	0.59	0.91	0.11
61.90	After	Right Exterior Girder	8881.22	-79.66	8881.22	-33405.78	20510.89	-2795.31	-2795.31	0.31	0.59	0.91	0.11
64.00	Before	Left Exterior Girder	0.00	-79.66	0.00	0.00	0.00	-2795.31	-2795.31	0.31	0.59	0.91	0.00
64.00	Before	Right Exterior Girder	0.00	-79.66	0.00	0.00	0.00	-2795.31	-2795.31	0.31	0.59	0.91	0.00
64.00	After	Left Exterior Girder	0.00	0.00	0.00	0.00	0.00	-2795.31	-2795.31	0.31	0.59	0.91	0.00
64.00	After	Right Exterior Girder	0.00	0.00	0.00	0.00	0.00	-2795.31	-2795.31	0.31	0.59	0.91	0.00
65.00	Before	Left Exterior Girder	0.00	0.00	0.00	0.00	0.00	-2795.31	-2795.31	0.31	0.59	0.91	0.00
65.00	Before	Right Exterior Girder	0.00	0.00	0.00	0.00	0.00	-2795.31	-2795.31	0.31	0.59	0.91	0.00

7.4.4 Verifica sezione non composta – taglio

Legenda – Verifica taglio SLU sezioni a U non composte	
DesReqName	Nome della verifica
Station	Progressiva della section cut
Location	Specifica se gli output della section cut sono calcolati prima o dopo la progressiva.
Girder	Nome della trave
Combo	Nome della combinazione di carico
CodeEqn	Equazione dell'Eurocodice utilizzata per calcolare la resistenza
SlabStatus	Condizione della soletta in c.a.: sezione composta /sezione non composta
Vu	Taglio di calcolo (valore assoluto)
Tu	Torsione di calcolo (valore assoluto)
Vtor	Azione di taglio agente sull'anima dovuta alla torsione calcolata con St. Venant (valore assoluto)
Vrd	Taglio resistente
Vp	Taglio plastico resistente
eta	Fattore descritto in EN 1993-1-5 5.1.2 Nota 2.
kTau	Coefficiente minimo per instabilità a taglio del pannello d'anima, calcolato come in EN 1993-1-5 A.3.
Lamdaw	Parametro di snellezza calcolato come in EN 1993-1-5 5.3 Nota 2.
Chiw	Fattore che tiene conto del contributo dell'anima alla resistenza all'instabilità a taglio, calcolato come in EN 1993-1-5 table 5.1.
DCRatio	Rapporto domanda/capacità

DesReqName = FASE 0

Combo = FASE 0

eta = 0

kTau = 1

Chiw = 1

CodeEqn = EN 1993-1-1 eq.(6.18), gammaM=1

Slab Status: sezione non composta

Relazione di Calcolo impalcato a struttura mista
Viadotto ferroviario – L=65 m

COMMESSA	LOTTO	CODIFICA	DOCUMENTO	REV.	FOGLIO
IF26	12	E ZZ CL	VI 05 07 003	A	73 di 162

TABLE: Bridge Super Design EUROCODE 58 - SteelUCompCstrNStg-Shear

Station	Location	Girder	Vu	Tu	Vtor	Vrd	Vp	Lamdaw	DCRatio
m	Text	Text	KN	KN-m	KN	KN	KN	Unitless	Unitless
0.00	After	Left Exterior Girder	1.62	0.00	0.00	20094.21	20094.21	2.4213	0.00
0.00	After	Right Exterior Girder	1.62	0.00	0.00	20094.21	20094.21	2.4213	0.00
1.00	Before	Left Exterior Girder	64.28	18.18	3.21	20094.21	20094.21	2.4213	0.00
1.00	Before	Right Exterior Girder	64.28	18.18	2.24	20094.21	20094.21	2.4213	0.00
1.00	After	Left Exterior Girder	2232.80	369.78	65.35	20094.21	20094.21	2.4213	0.11
1.00	After	Right Exterior Girder	2232.80	369.78	45.54	20094.21	20094.21	2.4213	0.11
3.10	Before	Left Exterior Girder	2096.68	331.60	58.61	20094.21	20094.21	2.4213	0.11
3.10	Before	Right Exterior Girder	2096.68	331.60	40.84	20094.21	20094.21	2.4213	0.11
3.10	After	Left Exterior Girder	2094.41	331.60	58.61	20094.21	20094.21	2.4213	0.11
3.10	After	Right Exterior Girder	2094.41	331.60	40.84	20094.21	20094.21	2.4213	0.11
5.20	Before	Left Exterior Girder	1958.29	293.42	51.86	20094.21	20094.21	2.4213	0.10
5.20	Before	Right Exterior Girder	1958.29	293.42	36.13	20094.21	20094.21	2.4213	0.10
5.20	After	Left Exterior Girder	1943.37	322.02	56.91	20094.21	20094.21	2.4213	0.10
5.20	After	Right Exterior Girder	1943.37	322.02	39.66	20094.21	20094.21	2.4213	0.10
7.30	Before	Left Exterior Girder	1807.25	283.84	50.16	20094.21	20094.21	2.4213	0.09
7.30	Before	Right Exterior Girder	1807.25	283.84	34.96	20094.21	20094.21	2.4213	0.09
7.30	After	Left Exterior Girder	1804.99	283.84	50.16	20094.21	20094.21	2.4213	0.09
7.30	After	Right Exterior Girder	1804.99	283.84	34.96	20094.21	20094.21	2.4213	0.09
9.40	Before	Left Exterior Girder	1668.87	245.66	43.42	20094.21	20094.21	2.4213	0.09
9.40	Before	Right Exterior Girder	1668.87	245.66	30.25	20094.21	20094.21	2.4213	0.08
9.40	After	Left Exterior Girder	1654.18	405.86	71.73	20094.21	20094.21	2.4213	0.09
9.40	After	Right Exterior Girder	1654.18	405.86	49.98	20094.21	20094.21	2.4213	0.08
12.05	Before	Left Exterior Girder	1482.41	357.68	63.21	20094.21	20094.21	2.4213	0.08
12.05	Before	Right Exterior Girder	1482.41	357.68	44.05	20094.21	20094.21	2.4213	0.08
12.05	After	Left Exterior Girder	1480.82	357.68	63.21	20094.21	20094.21	2.4213	0.08
12.05	After	Right Exterior Girder	1480.82	357.68	44.05	20094.21	20094.21	2.4213	0.08
12.15	Before	Left Exterior Girder	1474.48	324.19	68.75	16655.00	16655.00	2.8899	0.09
12.15	Before	Right Exterior Girder	1474.48	324.19	47.85	16655.00	16655.00	2.8899	0.09
12.15	After	Left Exterior Girder	1472.80	324.19	68.75	16655.00	16655.00	2.8899	0.09
12.15	After	Right Exterior Girder	1472.80	324.19	47.85	16655.00	16655.00	2.8899	0.09
14.98	Before	Left Exterior Girder	1278.77	271.54	47.99	16655.00	16655.00	2.8899	0.08
14.98	Before	Right Exterior Girder	1278.77	271.54	33.40	16655.00	16655.00	2.8899	0.08
14.98	After	Left Exterior Girder	1275.72	271.54	47.99	16655.00	16655.00	2.8899	0.08
14.98	After	Right Exterior Girder	1275.72	271.54	33.40	16655.00	16655.00	2.8899	0.08
17.80	Before	Left Exterior Girder	1089.85	225.43	39.84	16655.00	16655.00	2.8899	0.07
17.80	Before	Right Exterior Girder	1089.85	225.43	27.73	16655.00	16655.00	2.8899	0.07
17.80	After	Left Exterior Girder	1077.04	230.66	40.76	16655.00	16655.00	2.8899	0.07
17.80	After	Right Exterior Girder	1077.04	230.66	28.37	16655.00	16655.00	2.8899	0.07
20.08	Before	Left Exterior Girder	926.81	193.39	34.18	16655.00	16655.00	2.8899	0.06
20.08	Before	Right Exterior Girder	926.81	193.39	23.79	16655.00	16655.00	2.8899	0.06
20.08	After	Left Exterior Girder	924.35	193.39	34.18	16655.00	16655.00	2.8899	0.06
20.08	After	Right Exterior Girder	924.35	193.39	23.79	16655.00	16655.00	2.8899	0.06
22.37	Before	Left Exterior Girder	765.96	151.40	26.76	16655.00	16655.00	2.8899	0.05
22.37	Before	Right Exterior Girder	765.96	151.40	18.62	16655.00	16655.00	2.8899	0.05
22.37	After	Left Exterior Girder	763.49	151.40	26.76	16655.00	16655.00	2.8899	0.05
22.37	After	Right Exterior Girder	763.49	151.40	18.62	16655.00	16655.00	2.8899	0.05
24.65	Before	Left Exterior Girder	613.26	114.13	24.20	16655.00	16655.00	2.8899	0.04
24.65	Before	Right Exterior Girder	613.26	114.13	16.85	16655.00	16655.00	2.8899	0.04
24.65	After	Left Exterior Girder	611.87	114.13	24.20	16655.00	16655.00	2.8899	0.04
24.65	After	Right Exterior Girder	611.87	114.13	16.85	16655.00	16655.00	2.8899	0.04

Relazione di Calcolo impalcato a struttura mista
Viadotto ferroviario – L=65 m

COMMESSA	LOTTO	CODIFICA	DOCUMENTO	REV.	FOGLIO
IF26	12	E ZZ CL	VI 05 07 003	A	74 di 162

24.75	Before	Left Exterior Girder	604.97	47.43	10.06	16634.50	16634.50	2.8863	0.04
24.75	Before	Right Exterior Girder	604.97	47.43	7.00	16634.50	16634.50	2.8863	0.04
24.75	After	Left Exterior Girder	603.64	47.43	10.06	16634.50	16634.50	2.8863	0.04
24.75	After	Right Exterior Girder	603.64	47.43	7.00	16634.50	16634.50	2.8863	0.04
26.20	Before	Left Exterior Girder	495.18	35.76	6.32	16634.50	16634.50	2.8863	0.03
26.20	Before	Right Exterior Girder	495.18	35.76	4.40	16634.50	16634.50	2.8863	0.03
26.20	After	Left Exterior Girder	482.61	42.19	7.46	16634.50	16634.50	2.8863	0.03
26.20	After	Right Exterior Girder	482.61	42.19	5.19	16634.50	16634.50	2.8863	0.03
28.72	Before	Left Exterior Girder	292.76	21.90	3.87	16634.50	16634.50	2.8863	0.02
28.72	Before	Right Exterior Girder	292.76	21.90	2.69	16634.50	16634.50	2.8863	0.02
28.72	After	Left Exterior Girder	290.04	21.90	3.87	16634.50	16634.50	2.8863	0.02
28.72	After	Right Exterior Girder	290.04	21.90	2.69	16634.50	16634.50	2.8863	0.02
31.24	Before	Left Exterior Girder	99.14	2.41	0.43	16634.50	16634.50	2.8863	0.01
31.24	Before	Right Exterior Girder	99.14	2.41	0.30	16634.50	16634.50	2.8863	0.01
31.24	After	Left Exterior Girder	96.43	2.41	0.43	16634.50	16634.50	2.8863	0.01
31.24	After	Right Exterior Girder	96.43	2.41	0.30	16634.50	16634.50	2.8863	0.01
33.76	Before	Left Exterior Girder	93.42	22.70	4.01	16634.50	16634.50	2.8863	0.01
33.76	Before	Right Exterior Girder	93.42	22.70	2.79	16634.50	16634.50	2.8863	0.01
33.76	After	Left Exterior Girder	96.14	22.70	4.01	16634.50	16634.50	2.8863	0.01
33.76	After	Right Exterior Girder	96.14	22.70	2.79	16634.50	16634.50	2.8863	0.01
36.28	Before	Left Exterior Girder	290.59	46.86	8.28	16634.50	16634.50	2.8863	0.02
36.28	Before	Right Exterior Girder	290.59	46.86	5.76	16634.50	16634.50	2.8863	0.02
36.28	After	Left Exterior Girder	293.31	46.86	8.28	16634.50	16634.50	2.8863	0.02
36.28	After	Right Exterior Girder	293.31	46.86	5.76	16634.50	16634.50	2.8863	0.02
38.80	Before	Left Exterior Girder	483.16	67.15	11.87	16634.50	16634.50	2.8863	0.03
38.80	Before	Right Exterior Girder	483.16	67.15	8.25	16634.50	16634.50	2.8863	0.03
38.80	After	Left Exterior Girder	495.73	60.79	10.74	16634.50	16634.50	2.8863	0.03
38.80	After	Right Exterior Girder	495.73	60.79	7.47	16634.50	16634.50	2.8863	0.03
40.25	Before	Left Exterior Girder	604.19	72.47	15.37	16634.50	16634.50	2.8863	0.04
40.25	Before	Right Exterior Girder	604.19	72.47	10.69	16634.50	16634.50	2.8863	0.04
40.25	After	Left Exterior Girder	605.52	72.47	15.37	16634.50	16634.50	2.8863	0.04
40.25	After	Right Exterior Girder	605.52	72.47	10.69	16634.50	16634.50	2.8863	0.04
40.35	Before	Left Exterior Girder	612.42	137.73	29.21	16655.00	16655.00	2.8899	0.04
40.35	Before	Right Exterior Girder	612.42	137.73	20.33	16655.00	16655.00	2.8899	0.04
40.35	After	Left Exterior Girder	613.81	137.73	29.21	16655.00	16655.00	2.8899	0.04
40.35	After	Right Exterior Girder	613.81	137.73	20.33	16655.00	16655.00	2.8899	0.04
42.63	Before	Left Exterior Girder	764.05	174.99	30.93	16655.00	16655.00	2.8899	0.05
42.63	Before	Right Exterior Girder	764.05	174.99	21.53	16655.00	16655.00	2.8899	0.05
42.63	After	Left Exterior Girder	766.51	174.99	30.93	16655.00	16655.00	2.8899	0.05
42.63	After	Right Exterior Girder	766.51	174.99	21.53	16655.00	16655.00	2.8899	0.05
44.92	Before	Left Exterior Girder	924.90	217.00	38.35	16655.00	16655.00	2.8899	0.06
44.92	Before	Right Exterior Girder	924.90	217.00	26.69	16655.00	16655.00	2.8899	0.06
44.92	After	Left Exterior Girder	927.36	217.00	38.35	16655.00	16655.00	2.8899	0.06
44.92	After	Right Exterior Girder	927.36	217.00	26.69	16655.00	16655.00	2.8899	0.06
47.20	Before	Left Exterior Girder	1077.60	254.27	44.93	16655.00	16655.00	2.8899	0.07
47.20	Before	Right Exterior Girder	1077.60	254.27	31.28	16655.00	16655.00	2.8899	0.07
47.20	After	Left Exterior Girder	1090.40	249.06	44.02	16655.00	16655.00	2.8899	0.07
47.20	After	Right Exterior Girder	1090.40	249.06	30.64	16655.00	16655.00	2.8899	0.07
50.03	Before	Left Exterior Girder	1276.27	295.17	52.16	16655.00	16655.00	2.8899	0.08
50.03	Before	Right Exterior Girder	1276.27	295.17	36.31	16655.00	16655.00	2.8899	0.08
50.03	After	Left Exterior Girder	1279.32	295.17	52.16	16655.00	16655.00	2.8899	0.08
50.03	After	Right Exterior Girder	1279.32	295.17	36.31	16655.00	16655.00	2.8899	0.08

Relazione di Calcolo impalcato a struttura mista
Viadotto ferroviario – L=65 m

COMMESSA	LOTTO	CODIFICA	DOCUMENTO	REV.	FOGLIO
IF26	12	E ZZ CL	VI 05 07 003	A	75 di 162

52.85	Before	Left Exterior Girder	1473.35	347.73	73.74	16655.00	16655.00	2.8899	0.09
52.85	Before	Right Exterior Girder	1473.35	347.73	51.33	16655.00	16655.00	2.8899	0.09
52.85	After	Left Exterior Girder	1475.04	347.73	73.74	16655.00	16655.00	2.8899	0.09
52.85	After	Right Exterior Girder	1475.04	347.73	51.33	16655.00	16655.00	2.8899	0.09
52.95	Before	Left Exterior Girder	1481.37	380.95	67.33	20094.21	20094.21	2.4213	0.08
52.95	Before	Right Exterior Girder	1481.37	380.95	46.91	20094.21	20094.21	2.4213	0.08
52.95	After	Left Exterior Girder	1482.96	380.95	67.33	20094.21	20094.21	2.4213	0.08
52.95	After	Right Exterior Girder	1482.96	380.95	46.91	20094.21	20094.21	2.4213	0.08
55.60	Before	Left Exterior Girder	1654.73	429.13	75.84	20094.21	20094.21	2.4213	0.09
55.60	Before	Right Exterior Girder	1654.73	429.13	52.85	20094.21	20094.21	2.4213	0.08
55.60	After	Left Exterior Girder	1669.42	274.78	48.56	20094.21	20094.21	2.4213	0.09
55.60	After	Right Exterior Girder	1669.42	274.78	33.84	20094.21	20094.21	2.4213	0.08
57.70	Before	Left Exterior Girder	1805.54	312.96	55.31	20094.21	20094.21	2.4213	0.09
57.70	Before	Right Exterior Girder	1805.54	312.96	38.54	20094.21	20094.21	2.4213	0.09
57.70	After	Left Exterior Girder	1807.81	312.96	55.31	20094.21	20094.21	2.4213	0.09
57.70	After	Right Exterior Girder	1807.81	312.96	38.54	20094.21	20094.21	2.4213	0.09
59.80	Before	Left Exterior Girder	1943.93	351.14	62.06	20094.21	20094.21	2.4213	0.10
59.80	Before	Right Exterior Girder	1943.93	351.14	43.24	20094.21	20094.21	2.4213	0.10
59.80	After	Left Exterior Girder	1958.84	336.48	59.47	20094.21	20094.21	2.4213	0.10
59.80	After	Right Exterior Girder	1958.84	336.48	41.44	20094.21	20094.21	2.4213	0.10
61.90	Before	Left Exterior Girder	2094.96	374.67	66.22	20094.21	20094.21	2.4213	0.11
61.90	Before	Right Exterior Girder	2094.96	374.67	46.14	20094.21	20094.21	2.4213	0.11
61.90	After	Left Exterior Girder	2097.23	374.67	66.22	20094.21	20094.21	2.4213	0.11
61.90	After	Right Exterior Girder	2097.23	374.67	46.14	20094.21	20094.21	2.4213	0.11
64.00	Before	Left Exterior Girder	2233.35	412.85	72.96	20094.21	20094.21	2.4213	0.11
64.00	Before	Right Exterior Girder	2233.35	412.85	50.84	20094.21	20094.21	2.4213	0.11
64.00	After	Left Exterior Girder	64.28	18.18	3.21	20094.21	20094.21	2.4213	0.00
64.00	After	Right Exterior Girder	64.28	18.18	2.24	20094.21	20094.21	2.4213	0.00
65.00	Before	Left Exterior Girder	1.62	0.00	0.00	20094.21	20094.21	2.4213	0.00
65.00	Before	Right Exterior Girder	1.62	0.00	0.00	20094.21	20094.21	2.4213	0.00

7.4.5 Verifica sezione composta SLU – flessione

Si riportano le verifiche relative alla combinazione più gravosa, ossia la SLU_02.

Legenda – Verifica flessione positiva SLU sezioni a U composte	
DesReqName	Nome della verifica
Station	Progressiva della section cut
Location	Specifica se gli output della section cut sono calcolati prima o dopo la progressiva.
Girder	Nome della trave
Combo	Nome della combinazione di carico
CodeEqn	Equazione dell'Eurocodice utilizzata per calcolare la resistenza
MuPos	Momento di calcolo. Se negativo è posto uguale a zero. Riportato solo per sezioni di classe 1 e 2, altrimenti è posto uguale a zero.
MrPos	Momento resistente per flessione positiva. Riportato solo per classi 1 e 2.
Pu	Sforzo normale di calcolo nella trave. Considerato solo quando si usa la Stage Analysis, altrimenti è posto uguale a 0.
MuNonComp	Momento di calcolo sulla sezione non composta. Riportato solo quando non si usa la Stage Analysis, altrimenti è posto uguale a zero.
MuLTerm	Momento di calcolo sulla sezione composta a lungo termine. Riportato solo quando non si usa la Stage Analysis, altrimenti è posto uguale a 0.
MuSTerm	Momento di progetto sulla sezione composta a breve termine. Riportato solo quando non si usa la Stage Analysis, altrimenti è posto uguale a 0.
fbuComp	Tensione di compressione sulla piattabanda superiore dovuta alle azioni di

	calcolo in corrispondenza della section cut. Riportata solo per sezioni di classe 3e 4, altrimenti è posta uguale a 0.
fbuTens	Tensione di trazione sulla piattabanda inferiore dovuta alle azioni di calcolo in corrispondenza della section cut. Riportata solo per sezioni di classe 3e 4, altrimenti è posta uguale a 0.
fDeck	Tensione all'estradosso della soletta. Riportata solo per sezioni di classe 3e 4, altrimenti è posta uguale a 0.
frcPos	Tensione di resistenza a flessione della piattabanda compressa per momento positivo. Riportata solo per sezioni di classe 3e 4, altrimenti è posta uguale a 0.
frtPos	Tensione di resistenza a flessione della piattabanda tesa per momento positivo. Riportata solo per sezioni di classe 3e 4, altrimenti è posta uguale a 0.
DCRatio	Rapporto domanda/capacità

frcPos = 355000 KN/m²

frtPos = 355000 KN/m²

DesReqName = SLU_02

Combo = SLU_02

CodeEqn = EN 1994-2 6.2.1.5, gammaM=1

MuPos = 0

MrPos = 0

Relazione di Calcolo impalcato a struttura mista
Viadotto ferroviario – L=65 m

COMMESSA	LOTTO	CODIFICA	DOCUMENTO	REV.	FOGLIO
IF26	12	E ZZ CL	VI 05 07 003	A	78 di 162

TABLE: Bridge Super Design EUROCODE 38 - SteelUCompUltimate-FlxPos

Station	Location	Girder	Pu	MuNonComp	MuLTerm	MuSTerm	fbuComp	fbuTens	fDeck	DCRatio
m	Text	Text	KN	KN-m	KN-m	KN-m	KN/m2	KN/m2	KN/m2	Unitless
0.00	After	Left Exterior Girder	-0.79	0.00	0.00	0.00	0.00	0.00	0.00	0.00
0.00	After	Right Exterior Girder	7.15	-0.01	-0.02	71.58	-30.89	93.66	-6.96	0.00
1.00	Before	Left Exterior Girder	50.75	0.00	0.00	0.00	0.00	0.00	0.00	0.00
1.00	Before	Right Exterior Girder	7.15	0.00	0.00	0.00	0.00	0.00	-6.11	0.00
1.00	After	Left Exterior Girder	1224.86	-203.12	-233.65	3830.75	-576.41	5095.42	-338.98	0.01
1.00	After	Right Exterior Girder	3061.29	-213.59	-247.90	10580.98	-3102.32	15440.93	-960.17	0.04
3.10	Before	Left Exterior Girder	1387.38	8888.03	10080.77	11853.16	-43050.38	53062.67	-1697.88	0.15
3.10	Before	Right Exterior Girder	2546.17	8879.03	10068.58	17988.74	-45348.92	62467.70	-2262.57	0.18
3.10	After	Left Exterior Girder	1479.46	8888.08	10080.83	11649.10	-42972.79	52748.81	-1679.07	0.15
3.10	After	Right Exterior Girder	2301.64	8878.98	10068.52	18361.06	-45490.67	63040.53	-2296.87	0.18
5.20	Before	Left Exterior Girder	1683.04	17398.09	19683.94	24806.40	-84824.26	106255.58	-3468.44	0.30
5.20	Before	Right Exterior Girder	1838.97	17390.31	19673.49	26254.20	-85340.79	108450.77	-3601.23	0.31
5.20	After	Left Exterior Girder	2126.66	17077.02	19317.37	22899.56	-82702.38	102058.80	-3270.69	0.29
5.20	After	Right Exterior Girder	2195.07	17070.04	19308.28	27535.87	-84438.87	109165.50	-3697.41	0.31
7.30	Before	Left Exterior Girder	2352.41	24952.70	28209.13	34795.60	-121332.57	151152.99	-4901.10	0.43
7.30	Before	Right Exterior Girder	1784.54	24946.99	28201.78	35154.10	-121443.49	151680.91	-4933.69	0.43
7.30	After	Left Exterior Girder	2462.83	24952.79	28209.24	34565.74	-121245.30	150799.55	-4879.92	0.42
7.30	After	Right Exterior Girder	1589.82	24946.90	28201.67	35468.64	-121563.05	152164.68	-4962.67	0.43
9.40	Before	Left Exterior Girder	2685.83	32247.28	36389.63	45177.19	-156804.75	195551.91	-6349.21	0.55
9.40	Before	Right Exterior Girder	1230.28	32242.61	36383.71	42791.46	-155873.96	191860.56	-6129.00	0.54
9.40	After	Left Exterior Girder	3172.31	32634.13	36822.88	44498.61	-158216.52	196013.69	-6312.70	0.55
9.40	After	Right Exterior Girder	1735.54	32628.27	36815.50	44688.62	-158262.71	196281.96	-6329.77	0.55
12.05	Before	Left Exterior Girder	3447.12	40945.45	46130.71	56563.99	-202360.75	247618.74	-8343.32	0.70
12.05	Before	Right Exterior Girder	1355.26	40940.86	46124.92	52812.87	-200813.12	241808.08	-7980.12	0.68
12.05	After	Left Exterior Girder	3519.13	40945.48	46130.75	56454.42	-202316.29	247449.70	-8332.73	0.70
12.05	After	Right Exterior Girder	1259.07	40940.83	46124.88	52989.34	-200884.80	242080.42	-7997.18	0.68
12.15	Before	Left Exterior Girder	3519.13	41233.85	46451.11	56735.69	-175409.83	195817.57	-7603.57	0.55
12.15	Before	Right Exterior Girder	1259.07	41229.41	46445.51	53267.70	-174033.38	191448.80	-7295.31	0.54
12.15	After	Left Exterior Girder	3596.94	41233.87	46451.14	56598.55	-175356.19	195645.46	-7591.40	0.55
12.15	After	Right Exterior Girder	1163.32	41229.38	46445.47	53457.11	-174107.51	191686.54	-7312.13	0.54
14.98	Before	Left Exterior Girder	3994.02	48968.34	55037.42	67159.38	-223152.91	218164.69	-8749.17	0.63
14.98	Before	Right Exterior Girder	975.69	48965.05	55033.24	61229.14	-220905.98	211186.32	-8246.02	0.62
14.98	After	Left Exterior Girder	4150.32	48968.36	55037.45	66974.59	-223083.41	217947.61	-8733.50	0.63
14.98	After	Right Exterior Girder	848.97	48965.03	55033.21	61549.36	-221026.48	211562.53	-8273.18	0.62
17.80	Before	Left Exterior Girder	4471.00	55650.44	62379.48	75368.61	-253056.01	246601.37	-9852.72	0.71
17.80	Before	Right Exterior Girder	660.38	55648.39	62376.82	68473.92	-250451.11	238493.40	-9267.87	0.71
17.80	After	Left Exterior Girder	4642.48	55632.90	62358.36	75236.64	-252933.89	246394.66	-9840.36	0.71
17.80	After	Right Exterior Girder	637.98	55630.82	62355.65	68682.08	-250456.88	238686.24	-9284.35	0.71
20.08	Before	Left Exterior Girder	4836.71	60208.12	67352.15	81320.94	-273545.75	266367.97	-10633.42	0.77
20.08	Before	Right Exterior Girder	524.35	60206.53	67350.06	72822.82	-270338.96	256377.23	-9912.61	0.76
20.08	After	Left Exterior Girder	4930.68	60208.14	67352.18	81258.86	-273522.46	266295.08	-10628.15	0.77
20.08	After	Right Exterior Girder	474.41	60206.51	67350.03	72981.75	-270398.71	256563.93	-9926.09	0.76
22.37	Before	Left Exterior Girder	5138.32	64068.19	71492.84	85926.71	-290656.09	282508.41	-11253.75	0.82
22.37	Before	Right Exterior Girder	418.12	64067.00	71491.24	76503.29	-287102.52	271431.58	-10454.51	0.81
22.37	After	Left Exterior Girder	5220.76	64068.22	71492.87	85882.79	-290639.64	282456.87	-11250.03	0.82
22.37	After	Right Exterior Girder	380.60	64066.98	71491.21	76636.99	-287152.77	271588.62	-10465.84	0.81
24.65	Before	Left Exterior Girder	5367.27	67211.61	74804.64	89192.51	-283625.02	313833.36	-12051.67	0.88
24.65	Before	Right Exterior Girder	317.92	67210.74	74803.46	79539.42	-279837.95	301709.61	-11194.43	0.85
24.65	After	Left Exterior Girder	5404.16	67211.62	74804.66	89189.92	-283624.05	313830.15	-12051.44	0.88
24.65	After	Right Exterior Girder	303.66	67210.73	74803.44	79610.02	-279865.57	301798.22	-11200.70	0.85

**ITINERARIO NAPOLI – BARI
RADDOPPIO TRATTA CANCELLO-BENEVENTO
II LOTTO FUNZIONALE FRASSO TELESINO – VITULANO
1° LOTTO FUNZIONALE FRASSO TELESINO – TELESE
PROGETTO ESECUTIVO**

*Relazione di Calcolo impalcato a struttura mista
Viadotto ferroviario – L=65 m*

COMMESSA	LOTTO	CODIFICA	DOCUMENTO	REV.	FOGLIO
IF26	12	E ZZ CL	VI 05 07 003	A	79 di 162

24.75	Before	Left Exterior Girder	5404.16	67265.98	74851.39	88245.18	-244979.74	281130.05	-11235.90	0.79
24.75	Before	Right Exterior Girder	303.66	67265.63	74850.89	81092.45	-242245.74	272986.34	-10628.99	0.77
24.75	After	Left Exterior Girder	5447.95	67266.00	74851.41	88198.71	-244962.04	281077.21	-11231.95	0.79
24.75	After	Right Exterior Girder	291.28	67265.61	74850.87	81161.15	-242271.93	273064.50	-10634.82	0.77
26.20	Before	Left Exterior Girder	5510.32	68859.17	76494.49	89543.39	-263966.51	270983.60	-11033.32	0.76
26.20	Before	Right Exterior Girder	268.30	68859.01	76494.24	82699.91	-261480.85	263653.61	-10482.64	0.74
26.20	After	Left Exterior Girder	5538.47	68864.89	76501.69	89562.67	-263993.60	271019.76	-11035.24	0.76
26.20	After	Right Exterior Girder	236.75	68864.67	76501.36	82812.50	-261541.59	263789.53	-10492.05	0.74
28.72	Before	Left Exterior Girder	5606.92	70818.76	78550.47	91638.63	-271191.81	278072.06	-11304.81	0.78
28.72	Before	Right Exterior Girder	196.24	70818.66	78550.30	84064.57	-268441.05	269959.75	-10695.34	0.76
28.72	After	Left Exterior Girder	5634.48	70818.79	78550.51	91658.94	-271199.29	278093.89	-11306.45	0.78
28.72	After	Right Exterior Girder	180.31	70818.63	78550.26	84151.42	-268472.49	270052.70	-10702.33	0.76
31.24	Before	Left Exterior Girder	5683.09	71813.04	79575.66	92149.86	-274639.27	281057.05	-11397.25	0.79
31.24	Before	Right Exterior Girder	162.50	71812.98	79575.57	84686.17	-271928.79	273063.12	-10796.67	0.77
31.24	After	Left Exterior Girder	5695.47	71813.06	79575.69	92171.68	-274647.28	281080.49	-11399.01	0.79
31.24	After	Right Exterior Girder	155.36	71812.96	79575.54	84736.26	-271946.90	273116.70	-10800.70	0.77
33.76	Before	Left Exterior Girder	5700.74	71820.58	79575.62	92124.58	-274646.94	281039.55	-11395.21	0.79
33.76	Before	Right Exterior Girder	146.26	71820.57	79575.60	84521.30	-271885.95	272896.25	-10783.40	0.77
33.76	After	Left Exterior Girder	5690.85	71820.60	79575.65	92117.62	-274644.49	281032.15	-11394.66	0.79
33.76	After	Right Exterior Girder	144.22	71820.55	79575.57	84550.64	-271896.52	272927.61	-10785.76	0.77
36.28	Before	Left Exterior Girder	5641.95	70849.23	78550.36	91529.91	-271220.43	277994.32	-11296.06	0.78
36.28	Before	Right Exterior Girder	126.73	70849.26	78550.40	83624.46	-268349.84	269527.49	-10659.93	0.76
36.28	After	Left Exterior Girder	5609.11	70849.25	78550.39	91534.68	-271222.23	277999.48	-11296.44	0.78
36.28	After	Right Exterior Girder	121.61	70849.24	78550.37	83634.61	-268353.46	269538.31	-10660.75	0.76
38.80	Before	Left Exterior Girder	5533.75	68892.50	76501.48	89330.41	-263970.85	270805.94	-11016.54	0.76
38.80	Before	Right Exterior Girder	113.87	68892.56	76501.56	81997.60	-261308.32	262952.53	-10426.49	0.74
38.80	After	Left Exterior Girder	5491.35	68886.78	76494.27	89334.58	-263952.27	270794.89	-11016.51	0.76
38.80	After	Right Exterior Girder	119.86	68886.80	76494.30	81973.73	-261279.41	262911.32	-10424.21	0.74
40.25	Before	Left Exterior Girder	5423.98	67291.88	74851.03	87943.53	-244916.50	280820.80	-11210.28	0.79
40.25	Before	Right Exterior Girder	117.11	67291.92	74851.10	80177.00	-241949.36	271979.55	-10551.33	0.77
40.25	After	Left Exterior Girder	5367.87	67291.89	74851.05	87987.19	-244933.22	280870.53	-11213.99	0.79
40.25	After	Right Exterior Girder	109.12	67291.91	74851.08	80147.69	-241938.12	271946.14	-10548.84	0.77
40.35	Before	Left Exterior Girder	5367.87	67237.33	74804.16	88697.38	-283493.96	313249.81	-12007.68	0.88
40.35	Before	Right Exterior Girder	109.12	67237.08	74803.83	78414.41	-279462.45	300337.22	-11094.55	0.85
40.35	After	Left Exterior Girder	5332.85	67237.34	74804.17	88714.26	-283500.61	313271.03	-12009.18	0.88
40.35	After	Right Exterior Girder	112.80	67237.07	74803.82	78390.45	-279453.03	300307.11	-11092.42	0.85
42.63	Before	Left Exterior Girder	5166.90	64091.23	71492.15	85307.72	-290486.34	281813.19	-11201.22	0.82
42.63	Before	Right Exterior Girder	113.70	64090.98	71491.83	75062.11	-286627.23	269773.19	-10332.32	0.81
42.63	After	Left Exterior Girder	5078.09	64091.24	71492.17	85368.83	-290509.40	281885.03	-11206.40	0.82
42.63	After	Right Exterior Girder	117.55	64090.97	71491.82	75009.46	-286607.36	269711.29	-10327.85	0.81
44.92	Before	Left Exterior Girder	4853.20	60228.24	67350.97	80618.10	-273335.78	265569.43	-10573.75	0.77
44.92	Before	Right Exterior Girder	100.35	60227.99	67350.65	71035.47	-269726.32	254308.48	-9761.07	0.76
44.92	After	Left Exterior Girder	4751.39	60228.25	67350.98	80695.65	-273365.03	265660.59	-10580.32	0.77
44.92	After	Right Exterior Girder	110.42	60227.98	67350.64	70962.76	-269698.89	254223.00	-9754.90	0.76
47.20	Before	Left Exterior Girder	4541.17	55650.25	62356.87	74515.66	-252709.03	245570.44	-9779.13	0.71
47.20	Before	Right Exterior Girder	138.91	55650.00	62356.55	66362.56	-249637.85	235989.28	-9087.69	0.70
47.20	After	Left Exterior Girder	4346.13	55668.00	62378.23	74666.81	-252839.24	245800.30	-9793.14	0.71
47.20	After	Right Exterior Girder	111.38	55667.73	62377.88	66255.89	-249670.88	235916.10	-9079.83	0.70
50.03	Before	Left Exterior Girder	3971.13	48982.17	55035.41	66266.14	-222852.79	217132.36	-8673.31	0.63
50.03	Before	Right Exterior Girder	159.62	48981.87	55035.06	58632.54	-219977.08	208161.53	-8025.92	0.62
50.03	After	Left Exterior Girder	3771.94	48982.18	55035.43	66473.99	-222931.10	217376.63	-8690.93	0.63
50.03	After	Right Exterior Girder	198.18	48981.86	55035.04	58436.70	-219903.30	207931.38	-8009.31	0.62

Relazione di Calcolo impalcato a struttura mista
Viadotto ferroviario – L=65 m

COMMESSA	LOTTO	CODIFICA	DOCUMENTO	REV.	FOGLIO
IF26	12	E ZZ CL	VI 05 07 003	A	80 di 162

52.85	Before	Left Exterior Girder	3257.38	41244.07	46448.46	55931.58	-175116.98	194819.75	-7532.02	0.55
52.85	Before	Right Exterior Girder	191.69	41243.74	46448.06	49965.96	-172777.44	187328.02	-7002.26	0.53
52.85	After	Left Exterior Girder	3130.65	41244.07	46448.47	56071.23	-175171.74	194995.12	-7544.42	0.55
52.85	After	Right Exterior Girder	224.56	41243.73	46448.06	49846.64	-172730.65	187178.18	-6991.67	0.53
52.95	Before	Left Exterior Girder	3130.65	40955.51	46128.00	55740.17	-202052.32	246362.41	-8263.47	0.69
52.95	Before	Right Exterior Girder	224.56	40955.14	46127.55	49413.56	-199475.61	236592.74	-7651.46	0.67
52.95	After	Left Exterior Girder	3031.03	40955.52	46128.00	55862.39	-202102.08	246551.14	-8275.29	0.69
52.95	After	Right Exterior Girder	271.44	40955.14	46127.54	49300.31	-199429.50	236417.88	-7640.51	0.67
55.60	Before	Left Exterior Girder	2624.30	32640.64	36819.39	43832.49	-157977.92	194995.63	-6251.11	0.55
55.60	Before	Right Exterior Girder	435.94	32640.24	36818.91	40520.40	-156713.05	189896.18	-5945.85	0.53
55.60	After	Left Exterior Girder	2225.01	32261.93	36397.19	44683.03	-156669.16	194833.48	-6304.13	0.55
55.60	After	Right Exterior Girder	-95.41	32261.67	36396.87	38486.72	-154304.97	185295.32	-5733.09	0.52
57.70	Before	Left Exterior Girder	1826.48	24964.52	28215.98	34216.32	-121155.19	150296.65	-4848.13	0.42
57.70	Before	Right Exterior Girder	31.14	24964.24	28215.64	30487.82	-119732.03	144556.77	-4504.51	0.41
57.70	After	Left Exterior Girder	1640.36	24964.52	28215.99	34456.69	-121246.88	150666.65	-4870.28	0.42
57.70	After	Right Exterior Girder	110.19	24964.23	28215.64	30285.05	-119654.67	144244.65	-4485.82	0.41
59.80	Before	Left Exterior Girder	1292.43	17085.90	19323.38	22681.33	-82652.89	101750.87	-3250.94	0.29
59.80	Before	Right Exterior Girder	304.51	17085.58	19323.00	21871.39	-82342.60	100502.97	-3176.28	0.28
59.80	After	Left Exterior Girder	1214.35	17422.97	19711.66	25559.30	-85218.67	107511.05	-3539.49	0.30
59.80	After	Right Exterior Girder	-125.22	17422.92	19711.59	19660.06	-82968.71	98430.99	-2995.84	0.28
61.90	Before	Left Exterior Girder	702.85	8909.99	10107.64	12546.84	-43412.44	54219.69	-1763.42	0.15
61.90	Before	Right Exterior Girder	-65.66	8909.91	10107.54	10715.18	-42713.56	51400.16	-1594.61	0.14
61.90	After	Left Exterior Girder	479.08	8910.00	10107.65	12812.33	-43513.71	54628.34	-1787.88	0.15
61.90	After	Right Exterior Girder	7.42	8909.91	10107.54	10488.66	-42627.15	51051.49	-1573.74	0.14
64.00	Before	Left Exterior Girder	152.15	0.00	0.00	0.00	0.00	0.00	-1.77	0.00
64.00	Before	Right Exterior Girder	275.87	-184.32	-207.93	1343.47	0.00	1347.83	-111.31	0.00
64.00	After	Left Exterior Girder	-29.82	0.00	0.00	0.00	0.00	0.00	0.00	0.00
64.00	After	Right Exterior Girder	-60.15	0.00	0.00	0.00	0.00	0.00	0.00	0.00
65.00	Before	Left Exterior Girder	64.80	0.00	0.00	10.78	-4.65	14.11	-1.05	0.00
65.00	Before	Right Exterior Girder	28.63	0.00	0.00	54.55	-23.58	71.40	-5.31	0.00

7.4.6 Verifica sezione composta SLU – taglio

Si riportano le verifiche relative alla combinazione più gravosa, ossia la SLU_03.

Bridge Design Request - Superstructure - EUROCODE

Name: SLU_03

Notes: Modify/Show...

Bridge Object: PONTE

Check Type: Steel-U Comp Ultimate

Station Ranges

Location	Start Type	Start Station	End Type	End Station
1. Both	Bridge Start		Bridge End	

Design Request Parameters: Modify/Show...

Demand Sets

Name	Combo	Parameters
Mdc Combo	PP	Modify/Show
Mdc Combo	PERM	Modify/Show
DSet1	SLU_03	Modify/Show

Live Load Distribution (LLD) to Girders

Method: Use Directly Girder Forces from Analysis

OK Cancel

Legenda – Verifica taglio SLU sezioni a U composte

DesReqName	Nome della verifica
Station	Progressiva della section cut
Location	Specifica se gli output della section cut sono calcolati prima o dopo la progressiva.
Girder	Nome della trave
GirderDist	Distanza della trave misurata dall'inizio della campata
Combo	Nome della combinazione di carico
CodeEqn	Equazione dell'Eurocodice utilizzata per calcolare la resistenza
Vu	Taglio di calcolo (valore assoluto)
Tu	Torsione di calcolo (valore assoluto)
Vtor	Azione di taglio agente sull'anima dovuta alla torsione calcolata con St. Venant (valore assoluto)
Vrd	Taglio resistente
Vp	Taglio plastico resistente
eta	Fattore descritto in EN 1993-1-5 5.1.2 Nota 2.
kTau	Coefficiente minimo per instabilità a taglio del pannello d'anima, calcolato come in

*Relazione di Calcolo impalcato a struttura mista
Viadotto ferroviario – L=65 m*

COMMESSA	LOTTO	CODIFICA	DOCUMENTO	REV.	FOGLIO
IF26	12	E ZZ CL	VI 05 07 003	A	82 di 162

	EN 1993-1-5 A.3.
Lamdaw	Parametro di snellezza calcolato come in EN 1993-1-5 5.3 Nota 2.
Chiw	Fattore che tiene conto del contributo dell'anima alla resistenza all'instabilità a taglio, calcolato come in EN 1993-1-5 table 5.1.
DCRatio	Rapporto domanda/capacità

DesReqName = SLU_03

Combo = SLU_03

eta = 0

kTau = 1

Chiw = 1

CodeEqn = EN 1993-1-1 eq.(6.18), gammaM=1

Relazione di Calcolo impalcato a struttura mista
Viadotto ferroviario – L=65 m

COMMESSA	LOTTO	CODIFICA	DOCUMENTO	REV.	FOGLIO
IF26	12	E ZZ CL	VI 05 07 003	A	83 di 162

TABLE: Bridge Super Design EUROCODE 40 - SteelUCompUltimate-Shear

Station	Location	Girder	Vu	Tu	Vtor	Vrd	Vp	Lamdaw	DCRatio
m	Text	Text	KN	KN-m	KN	KN	KN	Unitless	Unitless
0.00	After	Left Exterior Girder	69.01	246.00	43.48	20094.21	20094.21	2.4213	0.01
0.00	After	Right Exterior Girder	97.52	347.22	42.76	20094.21	20094.21	2.4213	0.01
1.00	Before	Left Exterior Girder	131.67	305.43	53.98	20094.21	20094.21	2.4213	0.01
1.00	Before	Right Exterior Girder	160.18	417.56	51.42	20094.21	20094.21	2.4213	0.01
1.00	After	Left Exterior Girder	8620.88	10707.26	1892.32	20094.21	20094.21	2.4213	0.52
1.00	After	Right Exterior Girder	6758.74	6319.92	778.28	20094.21	20094.21	2.4213	0.38
3.10	Before	Left Exterior Girder	8177.86	10204.66	1803.50	20094.21	20094.21	2.4213	0.50
3.10	Before	Right Exterior Girder	6459.67	6780.64	835.02	20094.21	20094.21	2.4213	0.36
3.10	After	Left Exterior Girder	8020.56	10020.11	1770.88	20094.21	20094.21	2.4213	0.49
3.10	After	Right Exterior Girder	6352.82	6742.10	830.27	20094.21	20094.21	2.4213	0.36
5.20	Before	Left Exterior Girder	7604.24	9622.90	1700.68	20094.21	20094.21	2.4213	0.46
5.20	Before	Right Exterior Girder	6078.33	7042.14	867.22	20094.21	20094.21	2.4213	0.35
5.20	After	Left Exterior Girder	7415.47	8381.32	1481.25	20094.21	20094.21	2.4213	0.44
5.20	After	Right Exterior Girder	5981.13	7013.56	863.70	20094.21	20094.21	2.4213	0.34
7.30	Before	Left Exterior Girder	6984.99	8058.21	1424.15	20094.21	20094.21	2.4213	0.42
7.30	Before	Right Exterior Girder	5673.31	7039.36	866.88	20094.21	20094.21	2.4213	0.33
7.30	After	Left Exterior Girder	6852.71	7973.59	1409.20	20094.21	20094.21	2.4213	0.41
7.30	After	Right Exterior Girder	5606.51	7036.29	866.50	20094.21	20094.21	2.4213	0.32
9.40	Before	Left Exterior Girder	6445.82	7697.19	1360.35	20094.21	20094.21	2.4213	0.39
9.40	Before	Right Exterior Girder	5311.03	7056.52	868.99	20094.21	20094.21	2.4213	0.31
9.40	After	Left Exterior Girder	6308.37	7786.10	1376.06	20094.21	20094.21	2.4213	0.38
9.40	After	Right Exterior Girder	5109.62	7192.37	885.72	20094.21	20094.21	2.4213	0.30
12.05	Before	Left Exterior Girder	5806.09	7418.79	1311.14	20094.21	20094.21	2.4213	0.35
12.05	Before	Right Exterior Girder	4731.59	7128.57	877.87	20094.21	20094.21	2.4213	0.28
12.05	After	Left Exterior Girder	5674.29	7281.52	1286.88	20094.21	20094.21	2.4213	0.35
12.05	After	Right Exterior Girder	4645.38	6966.80	857.94	20094.21	20094.21	2.4213	0.27
12.15	Before	Left Exterior Girder	5667.95	7231.34	1533.53	16655.00	16655.00	2.8899	0.43
12.15	Before	Right Exterior Girder	4639.05	7153.17	1055.84	16655.00	16655.00	2.8899	0.34
12.15	After	Left Exterior Girder	5601.71	7201.13	1527.13	16655.00	16655.00	2.8899	0.43
12.15	After	Right Exterior Girder	4601.81	7159.32	1056.74	16655.00	16655.00	2.8899	0.34
14.98	Before	Left Exterior Girder	5074.88	6785.59	1199.17	16655.00	16655.00	2.8899	0.38
14.98	Before	Right Exterior Girder	4183.81	7068.54	869.46	16655.00	16655.00	2.8899	0.30
14.98	After	Left Exterior Girder	4908.39	6651.15	1175.41	16655.00	16655.00	2.8899	0.37
14.98	After	Right Exterior Girder	4067.98	6887.91	847.24	16655.00	16655.00	2.8899	0.30
17.80	Before	Left Exterior Girder	4403.72	6188.03	1093.57	16655.00	16655.00	2.8899	0.33
17.80	Before	Right Exterior Girder	3658.60	6756.24	831.04	16655.00	16655.00	2.8899	0.27
17.80	After	Left Exterior Girder	4336.63	5992.52	1059.02	16655.00	16655.00	2.8899	0.32
17.80	After	Right Exterior Girder	3393.14	5244.70	645.12	16655.00	16655.00	2.8899	0.24
20.08	Before	Left Exterior Girder	3934.61	5660.64	1000.36	16655.00	16655.00	2.8899	0.30
20.08	Before	Right Exterior Girder	3063.85	5158.84	634.56	16655.00	16655.00	2.8899	0.22
20.08	After	Left Exterior Girder	3805.37	5582.55	986.57	16655.00	16655.00	2.8899	0.29
20.08	After	Right Exterior Girder	2971.75	5002.35	615.31	16655.00	16655.00	2.8899	0.22
22.37	Before	Left Exterior Girder	3391.59	5220.62	922.60	16655.00	16655.00	2.8899	0.26
22.37	Before	Right Exterior Girder	2633.83	4922.81	605.52	16655.00	16655.00	2.8899	0.19
22.37	After	Left Exterior Girder	3274.98	5113.25	903.63	16655.00	16655.00	2.8899	0.25
22.37	After	Right Exterior Girder	2541.48	4792.56	589.50	16655.00	16655.00	2.8899	0.19
24.65	Before	Left Exterior Girder	2885.44	4733.53	1003.83	16655.00	16655.00	2.8899	0.23
24.65	Before	Right Exterior Girder	2214.25	4713.35	695.71	16655.00	16655.00	2.8899	0.17
24.65	After	Left Exterior Girder	2791.10	4656.41	987.47	16655.00	16655.00	2.8899	0.23
24.65	After	Right Exterior Girder	2148.14	4549.13	671.47	16655.00	16655.00	2.8899	0.17

**ITINERARIO NAPOLI – BARI
RADDOPPIO TRATTA CANCELLO-BENEVENTO
II LOTTO FUNZIONALE FRASSO TELESINO – VITULANO
1° LOTTO FUNZIONALE FRASSO TELESINO – TELESE
PROGETTO ESECUTIVO**

*Relazione di Calcolo impalcato a struttura mista
Viadotto ferroviario – L=65 m*

COMMESSA	LOTTO	CODIFICA	DOCUMENTO	REV.	FOGLIO
IF26	12	E ZZ CL	VI 05 07 003	A	84 di 162

24.75	Before	Left Exterior Girder	2784.21	4750.24	1007.36	16634.50	16634.50	2.8863	0.23
24.75	Before	Right Exterior Girder	2141.25	4910.92	724.29	16634.50	16634.50	2.8863	0.17
24.75	After	Left Exterior Girder	2749.06	4766.49	1010.80	16634.50	16634.50	2.8863	0.23
24.75	After	Right Exterior Girder	2107.95	4860.60	716.87	16634.50	16634.50	2.8863	0.17
26.20	Before	Left Exterior Girder	2529.90	4609.48	814.59	16634.50	16634.50	2.8863	0.20
26.20	Before	Right Exterior Girder	1914.09	4773.21	586.65	16634.50	16634.50	2.8863	0.15
26.20	After	Left Exterior Girder	2479.13	4774.65	843.78	16634.50	16634.50	2.8863	0.20
26.20	After	Right Exterior Girder	1724.69	3179.29	390.75	16634.50	16634.50	2.8863	0.13
28.72	Before	Left Exterior Girder	2047.00	4560.00	805.85	16634.50	16634.50	2.8863	0.17
28.72	Before	Right Exterior Girder	1350.74	3054.70	375.44	16634.50	16634.50	2.8863	0.10
28.72	After	Left Exterior Girder	1916.25	4491.94	793.82	16634.50	16634.50	2.8863	0.16
28.72	After	Right Exterior Girder	1255.26	2904.28	356.95	16634.50	16634.50	2.8863	0.10
31.24	Before	Left Exterior Girder	1464.57	4160.44	735.24	16634.50	16634.50	2.8863	0.13
31.24	Before	Right Exterior Girder	881.00	2822.18	346.86	16634.50	16634.50	2.8863	0.07
31.24	After	Left Exterior Girder	1347.56	4077.81	720.63	16634.50	16634.50	2.8863	0.12
31.24	After	Right Exterior Girder	786.20	2702.27	332.12	16634.50	16634.50	2.8863	0.07
33.76	Before	Left Exterior Girder	1320.98	3740.00	660.94	16634.50	16634.50	2.8863	0.12
33.76	Before	Right Exterior Girder	805.96	2655.97	326.43	16634.50	16634.50	2.8863	0.07
33.76	After	Left Exterior Girder	1436.88	3821.92	675.41	16634.50	16634.50	2.8863	0.13
33.76	After	Right Exterior Girder	900.78	2686.28	330.16	16634.50	16634.50	2.8863	0.07
36.28	Before	Left Exterior Girder	1891.30	4150.93	733.55	16634.50	16634.50	2.8863	0.16
36.28	Before	Right Exterior Girder	1278.65	2758.24	339.00	16634.50	16634.50	2.8863	0.10
36.28	After	Left Exterior Girder	2021.57	4218.87	745.56	16634.50	16634.50	2.8863	0.17
36.28	After	Right Exterior Girder	1374.17	2899.94	356.41	16634.50	16634.50	2.8863	0.10
38.80	Before	Left Exterior Girder	2475.56	4496.52	794.63	16634.50	16634.50	2.8863	0.20
38.80	Before	Right Exterior Girder	1748.22	3017.50	370.86	16634.50	16634.50	2.8863	0.13
38.80	After	Left Exterior Girder	2494.94	4350.00	768.74	16634.50	16634.50	2.8863	0.20
38.80	After	Right Exterior Girder	1946.23	4466.11	548.90	16634.50	16634.50	2.8863	0.15
40.25	Before	Left Exterior Girder	2709.86	4512.10	956.86	16634.50	16634.50	2.8863	0.22
40.25	Before	Right Exterior Girder	2140.72	4539.72	669.54	16634.50	16634.50	2.8863	0.17
40.25	After	Left Exterior Girder	2799.18	4556.28	966.23	16634.50	16634.50	2.8863	0.23
40.25	After	Right Exterior Girder	2194.55	4685.90	691.10	16634.50	16634.50	2.8863	0.17
40.35	Before	Left Exterior Girder	2806.07	4493.40	952.90	16655.00	16655.00	2.8899	0.23
40.35	Before	Right Exterior Girder	2201.45	4339.92	640.59	16655.00	16655.00	2.8899	0.17
40.35	After	Left Exterior Girder	2848.42	4532.50	961.20	16655.00	16655.00	2.8899	0.23
40.35	After	Right Exterior Girder	2244.78	4385.18	647.27	16655.00	16655.00	2.8899	0.17
42.63	Before	Left Exterior Girder	3233.71	4914.52	868.51	16655.00	16655.00	2.8899	0.25
42.63	Before	Right Exterior Girder	2576.04	4465.59	549.28	16655.00	16655.00	2.8899	0.19
42.63	After	Left Exterior Girder	3348.18	5020.62	887.26	16655.00	16655.00	2.8899	0.25
42.63	After	Right Exterior Girder	2669.39	4591.84	564.81	16655.00	16655.00	2.8899	0.19
44.92	Before	Left Exterior Girder	3765.68	5404.41	955.08	16655.00	16655.00	2.8899	0.28
44.92	Before	Right Exterior Girder	3008.66	4668.59	574.25	16655.00	16655.00	2.8899	0.22
44.92	After	Left Exterior Girder	3893.42	5484.69	969.27	16655.00	16655.00	2.8899	0.29
44.92	After	Right Exterior Girder	3101.27	4824.07	593.38	16655.00	16655.00	2.8899	0.22
47.20	Before	Left Exterior Girder	4299.99	5846.16	1033.15	16655.00	16655.00	2.8899	0.32
47.20	Before	Right Exterior Girder	3432.93	4912.12	604.21	16655.00	16655.00	2.8899	0.24
47.20	After	Left Exterior Girder	4335.20	6058.10	1070.61	16655.00	16655.00	2.8899	0.32
47.20	After	Right Exterior Girder	3729.54	6525.97	802.72	16655.00	16655.00	2.8899	0.27
50.03	Before	Left Exterior Girder	4841.47	6541.77	1156.08	16655.00	16655.00	2.8899	0.36
50.03	Before	Right Exterior Girder	4141.84	6679.86	821.65	16655.00	16655.00	2.8899	0.30
50.03	After	Left Exterior Girder	4996.48	6675.48	1179.71	16655.00	16655.00	2.8899	0.37
50.03	After	Right Exterior Girder	4259.91	6876.25	845.80	16655.00	16655.00	2.8899	0.31

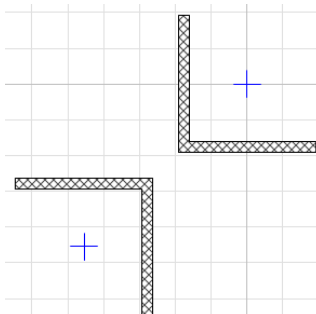
Relazione di Calcolo impalcato a struttura mista
Viadotto ferroviario – L=65 m

COMMESSA	LOTTO	CODIFICA	DOCUMENTO	REV.	FOGLIO
IF26	12	E ZZ CL	VI 05 07 003	A	85 di 162

52.85	Before	Left Exterior Girder	5530.17	7153.01	1516.92	16655.00	16655.00	2.8899	0.42
52.85	Before	Right Exterior Girder	4681.92	7000.02	1033.23	16655.00	16655.00	2.8899	0.34
52.85	After	Left Exterior Girder	5663.52	7227.39	1532.69	16655.00	16655.00	2.8899	0.43
52.85	After	Right Exterior Girder	4753.35	7136.78	1053.42	16655.00	16655.00	2.8899	0.35
52.95	Before	Left Exterior Girder	5669.85	7282.08	1286.98	20094.21	20094.21	2.4213	0.35
52.95	Before	Right Exterior Girder	4759.68	6956.66	856.70	20094.21	20094.21	2.4213	0.28
52.95	After	Left Exterior Girder	5717.52	7364.88	1301.62	20094.21	20094.21	2.4213	0.35
52.95	After	Right Exterior Girder	4811.86	6986.74	860.40	20094.21	20094.21	2.4213	0.28
55.60	Before	Left Exterior Girder	6225.67	7797.52	1378.08	20094.21	20094.21	2.4213	0.38
55.60	Before	Right Exterior Girder	5198.01	7101.90	874.58	20094.21	20094.21	2.4213	0.30
55.60	After	Left Exterior Girder	6322.23	7565.03	1336.99	20094.21	20094.21	2.4213	0.38
55.60	After	Right Exterior Girder	5428.26	6800.04	837.41	20094.21	20094.21	2.4213	0.31
57.70	Before	Left Exterior Girder	6721.26	7921.19	1399.93	20094.21	20094.21	2.4213	0.40
57.70	Before	Right Exterior Girder	5729.09	6823.12	840.25	20094.21	20094.21	2.4213	0.33
57.70	After	Left Exterior Girder	6856.16	8015.79	1416.65	20094.21	20094.21	2.4213	0.41
57.70	After	Right Exterior Girder	5812.86	6907.60	850.65	20094.21	20094.21	2.4213	0.33
59.80	Before	Left Exterior Girder	7262.77	8395.46	1483.75	20094.21	20094.21	2.4213	0.44
59.80	Before	Right Exterior Girder	6114.50	6876.14	846.78	20094.21	20094.21	2.4213	0.35
59.80	After	Left Exterior Girder	7427.57	9260.37	1636.61	20094.21	20094.21	2.4213	0.45
59.80	After	Right Exterior Girder	6237.15	6357.25	782.88	20094.21	20094.21	2.4213	0.35
61.90	Before	Left Exterior Girder	7841.60	9734.97	1720.49	20094.21	20094.21	2.4213	0.48
61.90	Before	Right Exterior Girder	6542.04	6204.14	764.02	20094.21	20094.21	2.4213	0.36
61.90	After	Left Exterior Girder	7986.42	9911.15	1751.63	20094.21	20094.21	2.4213	0.48
61.90	After	Right Exterior Girder	6632.12	6160.62	758.67	20094.21	20094.21	2.4213	0.37
64.00	Before	Left Exterior Girder	8424.37	10471.78	1850.71	20094.21	20094.21	2.4213	0.51
64.00	Before	Right Exterior Girder	6935.12	5708.98	703.05	20094.21	20094.21	2.4213	0.38
64.00	After	Left Exterior Girder	262.11	462.09	81.67	20094.21	20094.21	2.4213	0.02
64.00	After	Right Exterior Girder	231.78	464.25	57.17	20094.21	20094.21	2.4213	0.01
65.00	Before	Left Exterior Girder	199.45	402.66	71.16	20094.21	20094.21	2.4213	0.01
65.00	Before	Right Exterior Girder	169.12	393.91	48.51	20094.21	20094.21	2.4213	0.01

7.5 Verifiche aste acciaio

7.5.1 Traversi a "X" – 2L 120x120x10



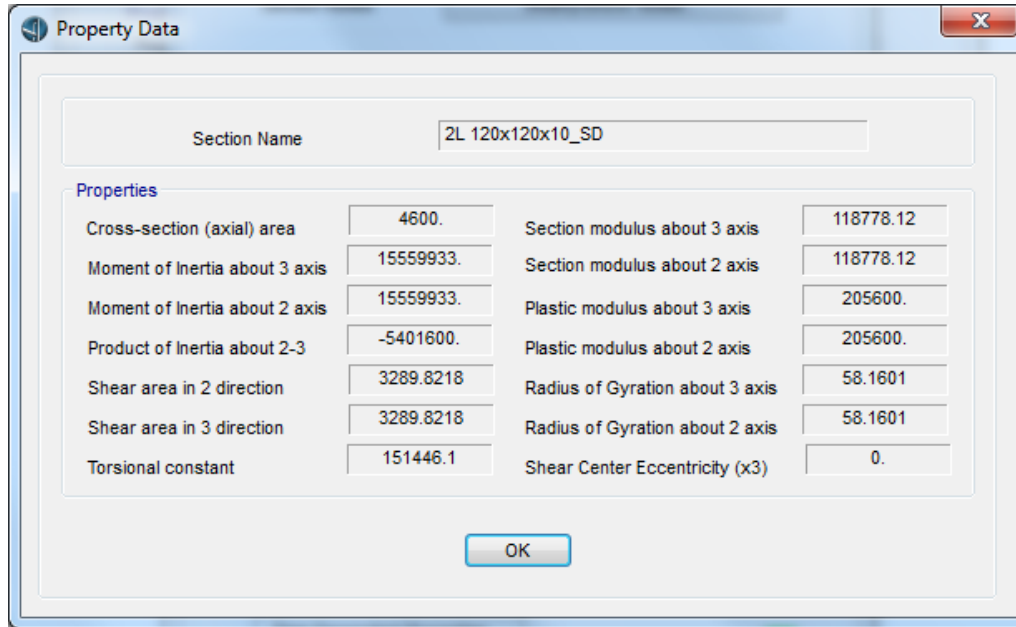


Figura 56: Caratteristiche sezione traversi a "X" (lunghezze in mm)

$N_{ed} = 455.07 \text{ KN}$ (SLU 09)
455070 N

$M_{eq,y} = 0 \text{ Nmm}$

$M_{eq,z} = 0 \text{ Nmm}$

Curva di instabilità c

$\alpha = 0.49$

$A = 4600 \text{ mm}^2$

$f_{yk} = 355 \text{ N/mm}^2$

$\gamma_{M1} = 1.05$

$\pi = 3.14$

$E = 210000 \text{ N/mm}^2$

asse y

$\beta = 1$

$L = 2465 \text{ mm}$

$I_0 = 2465 \text{ mm}$

$I_y = 15559933 \text{ mm}^4$

$N_{cr,y} = 5302156 \text{ N}$

5302 KN

$W_y = 118778.12 \text{ mm}^3$

$\lambda_{-} = 0.55$

$\Phi = 0.74$

$\xi = 0.81$

$M_{Rd,y} = 38547216 \text{ Nmm}$

asse z

$\beta = 1$

$L = 2465 \text{ mm}$

$I_0 = 2465 \text{ mm}$

$I_z = 15559933 \text{ mm}^4$

$N_{cr,z} = 5302156 \text{ N}$

5302 KN

$W_z = 118778.12 \text{ mm}^3$

$\lambda_{-} = 0.55$

$\Phi = 0.74$

$\xi = 0.81$

$M_{Rd,z} = 38547216 \text{ Nmm}$

Relazione di Calcolo impalcato a struttura mista
Viadotto ferroviario – L=65 m

COMMESSA	LOTTO	CODIFICA	DOCUMENTO	REV.	FOGLIO
IF26	12	E ZZ CL	VI 05 07 003	A	87 di 162

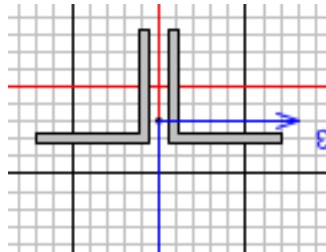
Stabilità membrature inflesse-compresse

N_{Ed}	-455.07 kN	Azione assiale di compressione sollecitante
$M_{eq,Ed}$	0 kN/m	Azione flettente sollecitante (asse verticale)
α	0.49	Fattore di imperfezione
$W_{pl,y}$	118778.12 mm ³	modulo plastico asse verticale
$W_{pl,z}$	118778.12 mm ³	modulo plastico asse trasversale
$I_{pl,y}$	15559933 mm ⁴	momento d'inerzia asse verticale
$I_{pl,z}$	15559933 mm ⁴	momento d'inerzia asse trasversale
L	2.465 m	lunghezza elemento
$L_{0,y}$	2.465 m	lunghezza libera inflessione asse verticale
$L_{0,z}$	2.465 m	lunghezza libera inflessione asse trasversale
f_{yk}	355 N/mm ²	tensione di rottura
γ_{m0}	1.05	coeff.riduttivo della resistenza delle Sezioni Classe 1-2-3-4
γ_{m1}	1.05	coeff.riduttivo della resistenz all'instabilità delle membrature
γ_{m2}	1.25	coeff.riduttivo nei riguardi della frattura, delle sezioni tese
f_{yd}	338 N/mm ²	tensione di snervamento
A	4600 mm ²	Area sezione
λ_y	0.55	Snellezza adimensionale asse verticale
Φ_y	0.74	
χ_y	0.81	
λ_z	0.55	Snellezza adimensionale asse trasversale
Φ_z	0.74	
χ_z	0.81	
$N_{Cr,y}$	5302156 N	Carico critico elastico asse verticale
$N_{Cr,z}$	5302156 N	Carico critico elastico asse trasversale

verifica

$$\frac{N_{Ed} \cdot \gamma_{M1}}{\chi_{min} \cdot f_{yk} \cdot A} + \frac{M_{y0,Ed} \cdot \gamma_{M1}}{\chi_{LT} \cdot f_{yk} \cdot W_y \cdot \left(1 - \frac{N_{Ed}}{N_{Cr,y}}\right)} + \frac{M_{z0,Ed} \cdot \gamma_{M1}}{f_{yk} \cdot W_z \cdot \left(1 - \frac{N_{Ed}}{N_{Cr,z}}\right)} = 0.36 < 1 \quad \text{verifica soddisfatta}$$

7.5.2 Briglie orizzontali tipo 1 – 2L 120x120x10



Section Name			
Properties			
Cross-section (axial) area	4636.	Section modulus about 3 axis	72046.97
Moment of Inertia about 3 axis	6258000.	Section modulus about 2 axis	104000.
Moment of Inertia about 2 axis	13000000.	Plastic modulus about 3 axis	133000.
Product of Inertia about 2-3	0.	Plastic modulus about 2 axis	176800.
Shear area in 2 direction	2400.	Radius of Gyration about 3 axis	36.7406
Shear area in 3 direction	1992.	Radius of Gyration about 2 axis	52.9541
Torsional constant	153300.	Shear Center Eccentricity (x3)	0.

Figura 57: Caratteristiche sezione briglie orizzontali tipo 1 (lunghezze in mm)

$N_{ed} =$	551.98 KN	(SISMA X_01)			
	551980 N				
$M_{eq,y} =$	0 Nmm				
$M_{eq,z} =$	0 Nmm				
Curva di instabilità	c				
$\alpha =$	0.49	β	1	β	1
$A =$	4636 mm ²	L	2800 mm	L	2800 mm
$f_{yk} =$	355 N/mm ²	$I_0 =$	2800 mm	$I_0 =$	2800 mm
$\gamma_{M1} =$	1.05	$I_y =$	6258000 mm ⁴	$I_z =$	13000000 mm ⁴
π	3.14				
E	210000 N/mm ²	$N_{cr,y} =$	1652715 N	$N_{cr,z} =$	3433254 N
			1653 KN		3433 KN
		$W_y =$	71665.8 mm ³	$W_z =$	104000 mm ³
		$\lambda_{_y} =$	1.00	$\lambda_{_z} =$	0.69
		$\Phi =$	1.19	$\Phi =$	0.86
		$\xi =$	0.54	$\xi =$	0.73
		$M_{Rd,y} =$	16944360 Nmm	$M_{Rd,z} =$	30984201 Nmm

Relazione di Calcolo impalcato a struttura mista
Viadotto ferroviario – L=65 m

COMMESSA	LOTTO	CODIFICA	DOCUMENTO	REV.	FOGLIO
IF26	12	E ZZ CL	VI 05 07 003	A	89 di 162

Stabilità membrature inflesse-compresse

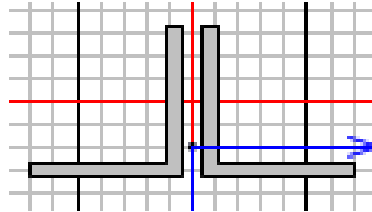
N_{Ed} =	-551.98 kN	Azione assiale di compressione sollecitante
$M_{eq,Ed}$ =	0 kN/m	Azione flettente sollecitante (asse verticale)
α =	0.49	Fattore di imperfezione
$W_{pl,y}$ =	71665.8 mm ³	modulo plastico asse verticale
$W_{pl,z}$ =	104000 mm ³	modulo plastico asse trasversale
$I_{pl,y}$ =	6258000 mm ⁴	momento d'inerzia asse verticale
$I_{pl,z}$ =	13000000 mm ⁴	momento d'inerzia asse trasversale
L=	2.8 m	lunghezza elemento
$L_{0,y}$ =	2.8 m	lunghezza libera inflessione asse verticale
$L_{0,z}$ =	2.8 m	lunghezza libera inflessione asse trasversale
f_{yk} =	355 N/mm ²	tensione di rottura
γ_{m0} =	1.05	coeff.riduttivo della resistenza delle Sezioni Classe 1-2-3-4
γ_{m1} =	1.05	coeff.riduttivo della resistenz all'instabilità delle membrature
γ_{m2} =	1.25	coeff.riduttivo nei riguardi della frattura, delle sezioni tese
f_{yd} =	338 N/mm ²	tensione di snervamento
A=	4636 mm ²	Area sezione
λ_y =	1.00	Snellezza adimensionale asse verticale
Φ_y =	1.19	
χ_y =	0.54	
λ_z =	0.69	Snellezza adimensionale asse trasversale
Φ_z =	0.86	
χ_z =	0.73	
$N_{Cr,y}$ =	1652715 N	Carico critico elastico asse verticale
$N_{Cr,z}$ =	3433254 N	Carico critico elastico asse trasversale

verifica

$$\frac{N_{Ed} \cdot \gamma_{M1}}{\chi_{min} \cdot f_{yk} \cdot A} + \frac{M_{y,eq,Ed} \cdot \gamma_{M1}}{\chi_{LT} \cdot f_{yk} \cdot W_y \cdot \left(1 - \frac{N_{Ed}}{N_{Cr,y}}\right)} + \frac{M_{z,eq,Ed} \cdot \gamma_{M1}}{f_{yk} \cdot W_z \cdot \left(1 - \frac{N_{Ed}}{N_{Cr,z}}\right)} = 0.65 < 1 \quad \text{verifica soddisfatta}$$

	<p>ITINERARIO NAPOLI – BARI RADDOPPIO TRATTA CANCELLO-BENEVENTO II LOTTO FUNZIONALE FRASSO TELESINO – VITULANO 1° LOTTO FUNZIONALE FRASSO TELESINO – TELESE PROGETTO ESECUTIVO</p>												
<p>Relazione di Calcolo impalcato a struttura mista Viadotto ferroviario – L=65 m</p>	<table border="1"> <thead> <tr> <th>COMMESSA</th> <th>LOTTO</th> <th>CODIFICA</th> <th>DOCUMENTO</th> <th>REV.</th> <th>FOGLIO</th> </tr> </thead> <tbody> <tr> <td>IF26</td> <td>12</td> <td>E ZZ CL</td> <td>VI 05 07 003</td> <td>A</td> <td>90 di 162</td> </tr> </tbody> </table>	COMMESSA	LOTTO	CODIFICA	DOCUMENTO	REV.	FOGLIO	IF26	12	E ZZ CL	VI 05 07 003	A	90 di 162
COMMESSA	LOTTO	CODIFICA	DOCUMENTO	REV.	FOGLIO								
IF26	12	E ZZ CL	VI 05 07 003	A	90 di 162								

7.5.3 Briglie orizzontali tipo 2 – 2L 150x150x15



Property Data

Section Name:

Properties

Cross-section (axial) area	8550.	Section modulus about 3 axis	170373.15
Moment of Inertia about 3 axis	18225444.	Section modulus about 2 axis	268208.39
Moment of Inertia about 2 axis	43181550.	Plastic modulus about 3 axis	306956.25
Product of Inertia about 2-3	0.	Plastic modulus about 2 axis	461925.
Shear area in 2 direction	4500.	Radius of Gyration about 3 axis	46.1696
Shear area in 3 direction	4500.	Radius of Gyration about 2 axis	71.0667
Torsional constant	616443.8	Shear Center Eccentricity (x3)	0.

Figura 58: Caratteristiche sezione briglie orizzontali tipo 2 (lunghezze in mm)

Relazione di Calcolo impalcato a struttura mista
Viadotto ferroviario – L=65 m

COMMESSA	LOTTO	CODIFICA	DOCUMENTO	REV.	FOGLIO
IF26	12	E ZZ CL	VI 05 07 003	A	91 di 162

$N_{ed} =$	954.68 KN 954680 N	(SISMA X_01)		
$M_{eq,y} =$	0 Nmm			
$M_{eq,z} =$	0 Nmm			
Curva di instabilità	c			
$\alpha =$	0.49	β	1	β
$A =$	8550 mm ²	L	2800 mm	L
$f_{yk} =$	355 N/mm ²	$l_0 =$	2800 mm	$l_0 =$
$\gamma_{M1} =$	1.05	$I_y =$	43181550 mm ⁴	$I_z =$
π	3.14			
E	210000 N/mm ²	$N_{cr,y} =$	11404093 N 11404 KN	$N_{cr,z} =$
		$W_y =$	268208 mm ³	$W_z =$
		$\lambda_y =$	0.52	$\lambda_z =$
		$\Phi =$	0.71	$\Phi =$
		$\xi =$	0.83	$\xi =$
		$M_{Rd,y} =$	87243127 Nmm	$M_{Rd,z} =$
				4813275 N 4813 KN 268208 mm ³ 0.79 0.96 0.67 76328828 Nmm

Stabilità membrature inflesse-compresse

$N_{Ed} =$	-954.68 kN	Azione assiale di compressione sollecitante
$M_{eq,Ed} =$	0 kN/m	Azione flettente sollecitante (asse verticale)
$\alpha =$	0.49	Fattore di imperfezione
$W_{pl,y} =$	268208 mm ³	modulo plastico asse verticale
$W_{pl,z} =$	268208 mm ³	modulo plastico asse trasversale
$I_{pl,y} =$	43181550 mm ⁴	momento d'inerzia asse verticale
$I_{pl,z} =$	18225444 mm ⁴	momento d'inerzia asse trasversale
L =	2.8 m	lunghezza elemento
$L_{0,y} =$	2.8 m	lunghezza libera inflessione asse verticale
$L_{0,z} =$	2.8 m	lunghezza libera inflessione asse trasversale
$f_{yk} =$	355 N/mm ²	tensione di rottura
$\gamma_{m0} =$	1.05	coeff.riduttivo della resistenza delle Sezioni Classe 1-2-3-4
$\gamma_{m1} =$	1.05	coeff.riduttivo della resistenz all'instabilità delle membrature
$\gamma_{m2} =$	1.25	ceff.riduttivo nei riguardi della frattura, delle sezioni tese
$f_{yd} =$	338 N/mm ²	tensione di snervamento
A =	8550 mm ²	Area sezione
$\lambda_y =$	0.52	Snellezza adimensionale asse verticale
$\Phi_y =$	0.71	
$\chi_y =$	0.83	
$\lambda_z =$	0.79	Snellezza adimensionale asse trasversale
$\Phi_z =$	0.96	
$\chi_z =$	0.67	
$N_{Cr,y} =$	11404093 N	Carico critico elastico asse verticale
$N_{Cr,z} =$	4813275 N	Carico critico elastico asse trasversale

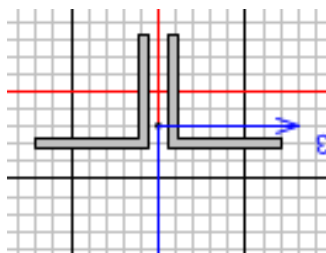
verifica

$$\frac{N_{Ed} \cdot \gamma_{M1}}{\chi_{min} \cdot f_{yk} \cdot A} + \frac{M_{y,Ed} \cdot \gamma_{M1}}{\chi_{LT} \cdot f_{yk} \cdot W_y \cdot \left(1 - \frac{N_{Ed}}{N_{Cr,y}}\right)} + \frac{M_{z,Ed} \cdot \gamma_{M1}}{f_{yk} \cdot W_z \cdot \left(1 - \frac{N_{Ed}}{N_{Cr,z}}\right)} = 0.50 < 1 \quad \text{verifica soddisfatta}$$

Relazione di Calcolo impalcato a struttura mista
Viadotto ferroviario – L=65 m

COMMESSA	LOTTO	CODIFICA	DOCUMENTO	REV.	FOGLIO
IF26	12	E ZZ CL	VI 05 07 003	A	92 di 162

7.5.4 Controventi superiori – 2L 120x120x10



Property Data			
Section Name			
Properties			
Cross-section (axial) area	4636.	Section modulus about 3 axis	72046.97
Moment of Inertia about 3 axis	6258000.	Section modulus about 2 axis	104000.
Moment of Inertia about 2 axis	13000000.	Plastic modulus about 3 axis	133000.
Product of Inertia about 2-3	0.	Plastic modulus about 2 axis	176800.
Shear area in 2 direction	2400.	Radius of Gyration about 3 axis	36.7406
Shear area in 3 direction	1992.	Radius of Gyration about 2 axis	52.9541
Torsional constant	153300.	Shear Center Eccentricity (x3)	0.

OK

Figura 59: Caratteristiche sezione controventi superiori (lunghezze in mm)

Relazione di Calcolo impalcato a struttura mista
Viadotto ferroviario – L=65 m

COMMESSA	LOTTO	CODIFICA	DOCUMENTO	REV.	FOGLIO
IF26	12	E ZZ CL	VI 05 07 003	A	93 di 162

$N_{ed} = 359.67$ KN (SLU_08)
359670 N

$M_{eq,y} = 0$ Nmm

$M_{eq,z} = 0$ Nmm

Curva di instabilità c

$\alpha = 0.49$

A = 4636 mm²

$f_{yk} = 355$ N/mm²

$\gamma_{M1} = 1.05$

$\pi = 3.14$

E = 210000 N/mm²

asse y

$\beta = 1$

L = 2524 mm

$I_0 = 2524$ mm

$I_y = 6258000$ mm⁴

$N_{cr,y} = 2033927$ N

2034 KN

$W_y = 71665.8$ mm³

$\lambda_y = 0.90$

$\Phi = 1.08$

$\xi = 0.60$

$M_{Rd,y} = 20942431$ Nmm

asse z

$\beta = 1$

L = 2524 mm

$I_0 = 2524$ mm

$I_z = 13000000$ mm⁴

$N_{cr,z} = 4225161$ N

4225 KN

$W_z = 104000$ mm³

$\lambda_z = 0.62$

$\Phi = 0.80$

$\xi = 0.77$

$M_{Rd,z} = 33777157$ Nmm

Relazione di Calcolo impalcato a struttura mista
Viadotto ferroviario – L=65 m

COMMESSA	LOTTO	CODIFICA	DOCUMENTO	REV.	FOGLIO
IF26	12	E ZZ CL	VI 05 07 003	A	94 di 162

Stabilità membrature inflesse-compresse

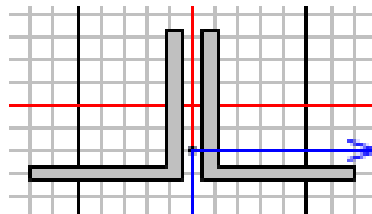
N_{Ed}	-359.67 kN	Azione assiale di compressione sollecitante
$M_{eq,Ed}$	0 kN/m	Azione flettente sollecitante (asse verticale)
α	0.49	Fattore di imperfezione
$W_{pl,y}$	71665.8 mm ³	modulo plastico asse verticale
$W_{pl,z}$	104000 mm ³	modulo plastico asse trasversale
$I_{pl,y}$	6258000 mm ⁴	momento d'inerzia asse verticale
$I_{pl,z}$	13000000 mm ⁴	momento d'inerzia asse trasversale
L	2.524 m	lunghezza elemento
$L_{0,y}$	2.524 m	lunghezza libera inflessione asse verticale
$L_{0,z}$	2.524 m	lunghezza libera inflessione asse trasversale
f_{yk}	355 N/mm ²	tensione di rottura
γ_{m0}	1.05	coeff.riduttivo della resistenza delle Sezioni Classe 1-2-3-4
γ_{m1}	1.05	coeff.riduttivo della resistenz all'instabilità delle membrature
γ_{m2}	1.25	coeff.riduttivo nei riguardi della frattura, delle sezioni tese
f_{yd}	338 N/mm ²	tensione di snervamento
A	4636 mm ²	Area sezione
λ_y	0.90	Snellezza adimensionale asse verticale
Φ_y	1.08	
χ_y	0.60	
λ_z	0.62	Snellezza adimensionale asse trasversale
Φ_z	0.80	
χ_z	0.77	
$N_{Cr,y}$	2033927 N	Carico critico elastico asse verticale
$N_{Cr,z}$	4225161 N	Carico critico elastico asse trasversale

verifica

$$\frac{N_{Ed} \cdot \gamma_{M1}}{\chi_{min} \cdot f_{yk} \cdot A} + \frac{M_{y,eq,Ed} \cdot \gamma_{M1}}{\chi_{LT} \cdot f_{yk} \cdot W_y \cdot \left(1 - \frac{N_{Ed}}{N_{Cr,y}}\right)} + \frac{M_{z,eq,Ed} \cdot \gamma_{M1}}{f_{yk} \cdot W_z \cdot \left(1 - \frac{N_{Ed}}{N_{Cr,z}}\right)} = 0.38 < 1 \quad \text{verifica soddisfatta}$$

	ITINERARIO NAPOLI – BARI RADDOPPIO TRATTA CANCELLO-BENEVENTO II LOTTO FUNZIONALE FRASSO TELESINO – VITULANO 1° LOTTO FUNZIONALE FRASSO TELESINO – TELESE PROGETTO ESECUTIVO												
<i>Relazione di Calcolo impalcato a struttura mista Viadotto ferroviario – L=65 m</i>	<table border="1"> <tr> <td>COMMESSA</td> <td>LOTTO</td> <td>CODIFICA</td> <td>DOCUMENTO</td> <td>REV.</td> <td>FOGLIO</td> </tr> <tr> <td>IF26</td> <td>12</td> <td>E ZZ CL</td> <td>VI 05 07 003</td> <td>A</td> <td>95 di 162</td> </tr> </table>	COMMESSA	LOTTO	CODIFICA	DOCUMENTO	REV.	FOGLIO	IF26	12	E ZZ CL	VI 05 07 003	A	95 di 162
COMMESSA	LOTTO	CODIFICA	DOCUMENTO	REV.	FOGLIO								
IF26	12	E ZZ CL	VI 05 07 003	A	95 di 162								

7.5.5 Controventi inferiori – 2L 150x150x15



Property Data X

Section Name:

Properties

Cross-section (axial) area	8550.	Section modulus about 3 axis	170373.15
Moment of Inertia about 3 axis	18225444.	Section modulus about 2 axis	268208.39
Moment of Inertia about 2 axis	43181550.	Plastic modulus about 3 axis	306956.25
Product of Inertia about 2-3	0.	Plastic modulus about 2 axis	461925.
Shear area in 2 direction	4500.	Radius of Gyration about 3 axis	46.1696
Shear area in 3 direction	4500.	Radius of Gyration about 2 axis	71.0667
Torsional constant	616443.8	Shear Center Eccentricity (x3)	0.

Figura 60: Caratteristiche sezione controventi inferiori (lunghezze in mm)

Relazione di Calcolo impalcato a struttura mista
Viadotto ferroviario – L=65 m

COMMESSA	LOTTO	CODIFICA	DOCUMENTO	REV.	FOGLIO
IF26	12	E ZZ CL	VI 05 07 003	A	96 di 162

$N_{ed} = 1034.26$ KN (SISMA Y_02)
1034260 N

$M_{eq,y} = 0$ Nmm

$M_{eq,z} = 0$ Nmm

Curva di instabilità c

$\alpha = 0.49$

$A = 8550$ mm²

$f_{yk} = 355$ N/mm²

$\gamma_{M1} = 1.05$

$\pi = 3.14$

$E = 210000$ N/mm²

asse y

$\beta = 1$

$L = 2524$ mm

$I_0 = 2524$ mm

$I_y = 43181550$ mm⁴

$N_{cr,y} = 14034538$ N
14035 KN

$W_y = 268208$ mm³

$\lambda_y = 0.47$

$\Phi = 0.67$

$\xi = 0.86$

$M_{Rd,y} = 88197160$ Nmm

asse z

$\beta = 1$

$L = 2524$ mm

$I_0 = 2524$ mm

$I_z = 18225444$ mm⁴

$N_{cr,z} = 5923495$ N
5923 KN

$W_z = 268208$ mm³

$\lambda_z = 0.72$

$\Phi = 0.88$

$\xi = 0.71$

$M_{Rd,z} = 78589217$ Nmm

Stabilità membrature inflesse-compresse

N_{Ed}	-1034.26 kN	Azione assiale di compressione sollecitante
$M_{eq,Ed}$	0 kN/m	Azione flettente sollecitante (asse verticale)
α	0.49	Fattore di imperfezione
$W_{pl,y}$	268208 mm ³	modulo plastico asse verticale
$W_{pl,z}$	268208 mm ³	modulo plastico asse trasversale
$I_{pl,y}$	43181550 mm ⁴	momento d'inerzia asse verticale
$I_{pl,z}$	18225444 mm ⁴	momento d'inerzia asse trasversale
L	2.524 m	lunghezza elemento
$L_{0,y}$	2.524 m	lunghezza libera inflessione asse verticale
$L_{0,z}$	2.524 m	lunghezza libera inflessione asse trasversale
f_{yk}	355 N/mm ²	tensione di rottura
γ_{m0}	1.05	coeff.riduttivo della resistenza delle Sezioni Classe 1-2-3-4
γ_{m1}	1.05	coeff.riduttivo della resistenz all'instabilità delle membrature
γ_{m2}	1.25	ceff.riduttivo nei riguardi della frattura, delle sezioni tese
f_{yd}	338 N/mm ²	tensione di snervamento
A	8550 mm ²	Area sezione
λ_y	0.47	Snellezza adimensionale asse verticale
ϕ_y	0.67	
χ_y	0.86	
λ_z	0.72	Snellezza adimensionale asse trasversale
ϕ_z	0.88	
χ_z	0.71	
$N_{Cr,y}$	14034538 N	Carico critico elastico asse verticale
$N_{Cr,z}$	5923495 N	Carico critico elastico asse trasversale

verifica

$$\frac{N_{Ed} \cdot \gamma_{M1}}{\chi_{min} \cdot f_{yk} \cdot A} + \frac{M_{y,eq,Ed} \cdot \gamma_{M1}}{\chi_{LT} \cdot f_{yk} \cdot W_y \cdot \left(1 - \frac{N_{Ed}}{N_{Cr,y}}\right)} + \frac{M_{z,eq,Ed} \cdot \gamma_{M1}}{f_{yk} \cdot W_z \cdot \left(1 - \frac{N_{Ed}}{N_{Cr,z}}\right)} = 0.50 < 1 \quad \text{verifica soddisfatta}$$

7.6 Verifica diaframmi di testata

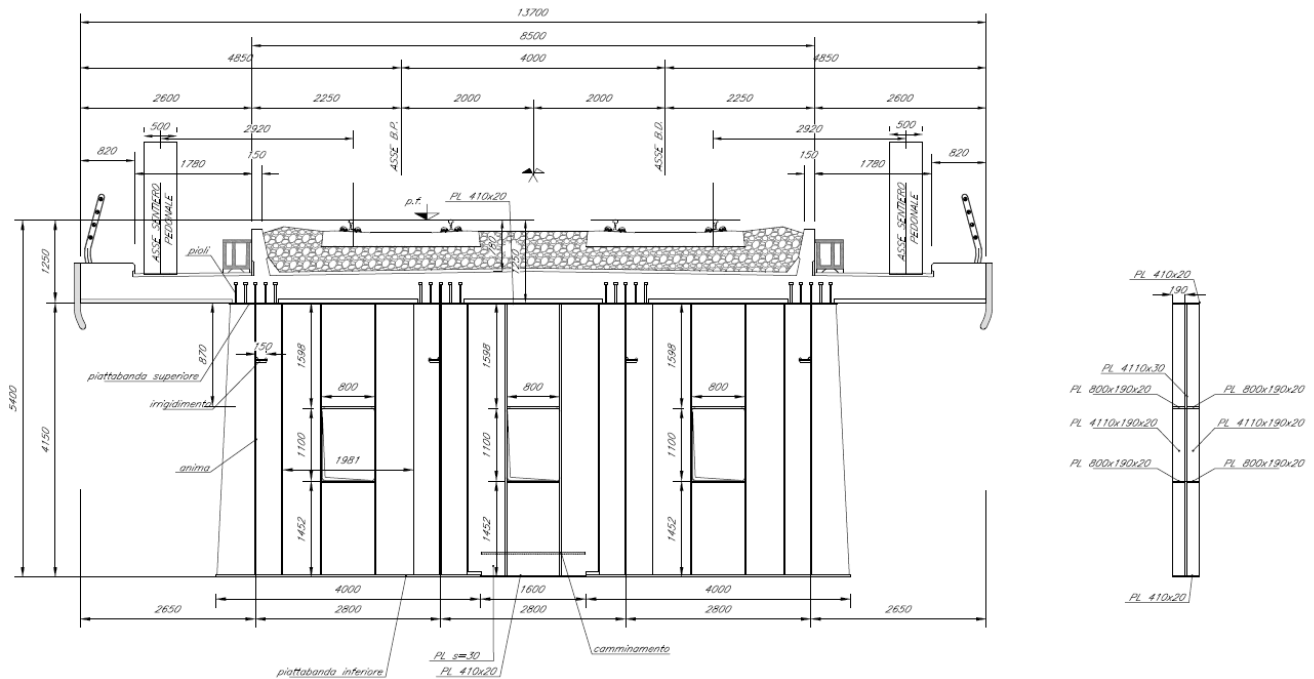
Nei paragrafi seguenti si riportano le verifiche di resistenza dei traversi pieni di testata. Il traverso è caratterizzato da un pannello di spessore 30 mm irrigidito da montanti costituiti da piatti da 20 mm, come descritto nella figura seguente. Tutte le giunzioni tra gli elementi metallici sono realizzate con saldature a completa penetrazione di prima classe; vengono pertanto omesse le verifiche di sicurezza delle saldature.

Operando a vantaggio di sicurezza, le verifiche sono condotte trascurando il contributo resistente del calcestruzzo.

Le sollecitazioni derivano dall'involuppo delle combinazioni SLU e SLV.

Relazione di Calcolo impalcato a struttura mista
Viadotto ferroviario – L=65 m

COMMESSA	LOTTO	CODIFICA	DOCUMENTO	REV.	FOGLIO
IF26	12	E ZZ CL	VI 05 07 003	A	98 di 162

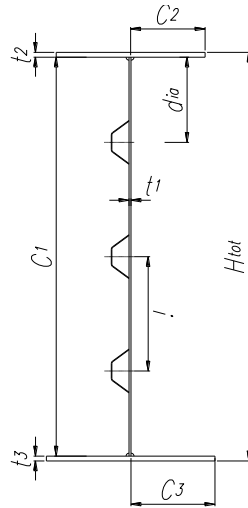


Le verifiche di resistenza sono state condotte in corrispondenza di due sezioni: la prima passante per un pannello non forato, la seconda per il passo d'uomo.

7.6.1 Diaframma testata – Sezione PIENA

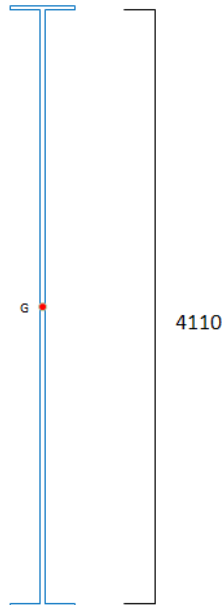
Geometria trave - pannello d'anima

Htot=	4150	mm	
C1=	4110	mm	
t1=	30	mm	
C2=	190	mm	
t2=	20	mm	
C3=	190	mm	
t3=	20	mm	
Irrigidimento=	0	tipologia di irrigidimento adottata	
Nirr,long=	0	numero di irrigidimenti longitudinali	
hi,irr,long=	ΔH	altezze irrigidimenti longitudinali	
a=	800	mm	lunghezza pannello tra due irrigidimenti trasversali
As,lorda =	139700	mm ²	area sezione lorda
ZGs,lorda =	2075.0	mm	posizione "z" asse baricentrico sezione lorda
Is,lorda,y =	2.435E+11	mm ⁴	momento d'inerzia "y" baricentrico sezione lorda
YGs,lorda =	0.00	mm	posizione "y" asse baricentrico sezione lorda-asse anima
Is,lorda,z =	2.39E+08	mm ⁴	momento d'inerzia "z" baricentrico sezione lorda
Ap,anima =	123300	mm ²	area sezione lorda pannello d'anima
Yp,anima =	0.00	mm	posizione "Y" asse baricentrico sezione lorda pannello d'anima
Ip,anima =	9.248E+06	mm ⁴	momento d'inerzia "z" baricentrico sezione lorda pannello d'anima
Classe anima	4	Classe piattabanda anima (soggetta a flessione)	
Classe ala sup.	3	Classe piattabanda ala sup. (soggetta a compressione)	
Classe ala inf.	3	Classe piattabanda ala inf. (soggetta a compressione)	



Relazione di Calcolo impalcato a struttura mista
Viadotto ferroviario – L=65 m

COMMESSA	LOTTO	CODIFICA	DOCUMENTO	REV.	FOGLIO
IF26	12	E ZZ CL	VI 05 07 003	A	100 di 162



Verifica d'instabilità per taglio:

$N_{Ed} =$	-7997.0	kN	Sforzo normale di progetto
$M_{Ed} =$	-11859.0	kNm	Momento di progetto
$V_{Ed} =$	7880	kN	Taglio di progetto
$h_w =$	4110	mm	altezza pannello
$t =$	30	mm	spessore pannello
$N_{irr,long} =$	0		numero di irrigidimenti longitudinali
$k_{tl} =$	0.000		
$k_{\tau} =$	144.943		coefficiente per instabilità a taglio
$\eta =$	1.2		
$h_w/t =$	137.00		> 48.6 verifica necessaria!

Relazione di Calcolo impalcato a struttura mista
Viadotto ferroviario – L=65 m

COMMESSA	LOTTO	CODIFICA	DOCUMENTO	REV.	FOGLIO
IF26	12	E ZZ CL	VI 05 07 003	A	101 di 162

$\sigma_e =$	10.12	N/mm ²	tensione critica euleriana
$\tau_{cr} =$	1467.27	N/mm ²	tensione tangenziale critica
$f_{yw} =$	355.00	N/mm ²	tensione di snervamento del pannello
$f_{yf} =$	355.00	N/mm ²	tensione di snervamento della piattabanda
$b_f =$	243	mm	larghezza efficace della piattabanda
$\lambda_w =$	0.38		coefficiente di snellezza
$\chi_w =$	1.20		coefficiente funzione dell'instabilità elastica del pannello
$M_{fk} =$	11186.7	KNm	momento resistente di progetto

$$V_{bw,Rd} = \frac{\chi_w \cdot f_{yw} \cdot h_w \cdot t}{\sqrt{3} \cdot \gamma_{M1}}$$

$$V_{bw,Rd} = 27568.90 \quad \text{KN} \quad \text{contributo resistente dell'anima}$$

$$M_{f,red} = \frac{M_{fk}}{\gamma_{M0}} \left(1 - \frac{N_{Ed} \cdot \gamma_{M0}}{(A_{fi} + A_{fb}) \cdot f_{yf}} \right)$$

$$M_{f,red} = 10669.39 \quad \text{KNm} \quad \text{momento resistente di progetto ridotto}$$

$$V_{bf,Rd} = \frac{b_f \cdot t_f^2 \cdot f_{yf}}{a \left(0.25 + \frac{1.6 \cdot b_f \cdot t_f^2 \cdot f_{yf}}{t \cdot h_w^2 \cdot f_{yw}} \right) \gamma_{M1}} \left[1 - \left(\frac{M_{Ed}}{M_{f,red}} \right) \right]$$

$$V_{bf,Rd} = -17.5 \quad \text{KN} \quad \text{contributo resistente delle piattabande}$$

$$(1.2 \cdot f_{ywd} \cdot h_w \cdot t) / \sqrt{3} = 27568.90 \quad \text{KN}$$

$$V_{b,Rd} = V_{bw,Rd} + V_{bf,Rd} \leq \frac{\eta \cdot f_{yw} \cdot h_w \cdot t}{\sqrt{3} \cdot \gamma_{M1}}$$

$$V_{b,Rd} = 27551.4 \quad \text{KN} \quad > 7880 \quad \text{Verifica soddisfatta!}$$

$$\eta_s = 0.286$$

Sollecitazioni di progetto:

$$N_{Ed} = -7997 \quad \text{KN}$$

Sforzo normale di progetto

$$M_{Ed} = -11859 \quad \text{KNm}$$

Momento di progetto

Tensioni di progetto:

$$\sigma_{Edsup.} = 42.84 \quad \text{N/mm}^2$$

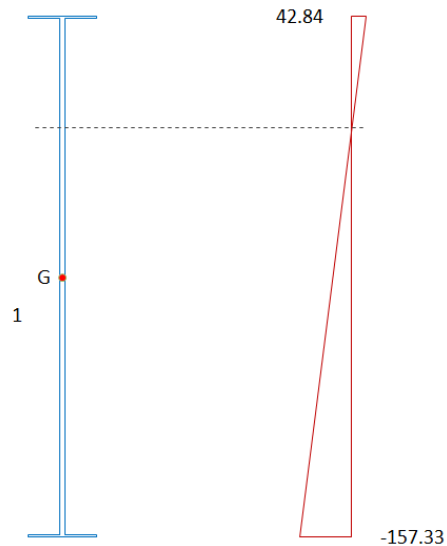
Tensione al lembo superiore

$$\sigma_{Edinf.} = -157.33 \quad \text{N/mm}^2$$

Tensione al lembo inferiore

Relazione di Calcolo impalcato a struttura mista
Viadotto ferroviario – L=65 m

COMMESSA	LOTTO	CODIFICA	DOCUMENTO	REV.	FOGLIO
IF26	12	E ZZ CL	VI 05 07 003	A	102 di 162



Verifica pannello d'anima:

verifica singoli sottopannelli:

sottopannello	b	ψ	ρ	$b_{\text{subpannello}}$	$b_{\text{edge/inf}}$	$b_{\text{edge/sup}}$	b_{inf}	b_{sup}
1	4110.0	-0.2723	0.4815	3230.4	1292.2	1938.2	FALSO	0.0

sottopannello	b	ψ	ρ	$b_{\text{subpannello}}$	b_{eff}	$b_{\text{edge/inf,eff}}$	$b_{\text{edge/sup,eff}}$	$b_{\text{inf,eff}}$	$b_{\text{sup,eff}}$	x_{eff}
1	4110.0	-0.2723	0.4815	3230.4	1555.4	622.1	933.2	0.0	0.0	1675.0

calcolo caratteristiche geometriche efficaci:

$t_{w,eff.} =$	14.44	mm	spessore anima zona compressa efficace
$t_{sl,1,eff.} =$	3.37	mm	spessore irrigidimento zona compressa efficace
$t_{sl,2,eff.} =$	5.78	mm	spessore irrigidimento zona compressa efficace
$A_{c,eff.} =$	88705.74	mm ²	area sezione lorda efficace
$h_{a.Gz,eff} =$	2411.30	mm	posizione asse baricentrico sezione lorda efficace
$Y_{Gs.lorda} =$	0.00	mm	posizione "y" asse baricentrico sezione lorda efficace-asse anima
$e_{Nz} =$	336.30	mm	eccentricità lungo "z" asse neutro sezione efficace
$e_{Ny} =$	0.00	mm	
$I_{y,eff.} =$	2.02E+11	mm ⁴	momento d'inerzia "y" baricentrico sezione lorda efficace
$W_{y,eff.} =$	8.38E+07	mm ³	modulo di resistenza "y"
$I_{z,eff.} =$	2.22E+09	mm ⁴	
$W_{z,eff.} =$	-1.48E+08	mm ³	
$N_{Ed} =$	-7997.0	KN	Sforzo normale di progetto
$M_{Ed} =$	-11859.0	KNm	Momento di progetto
$M_{Loc_Ed} =$	24794.00	KNm	Momento LOCALE di progetto

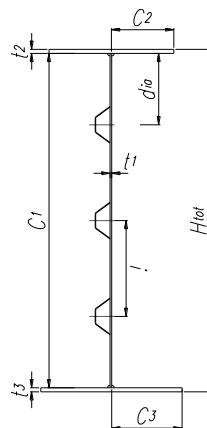
$$\frac{N_{Ed}}{\gamma_{M0} \cdot f_y \cdot A_{eff}} + \frac{M_{y,Ed} + (N_{Ed} \cdot e_{y,N})}{\gamma_{M0} \cdot f_y \cdot W_{y,eff}} + \frac{M_{z,Ed} + (N_{Ed} \cdot e_{z,N})}{\gamma_{M0} \cdot f_y \cdot W_{z,eff}} \leq 1,0$$

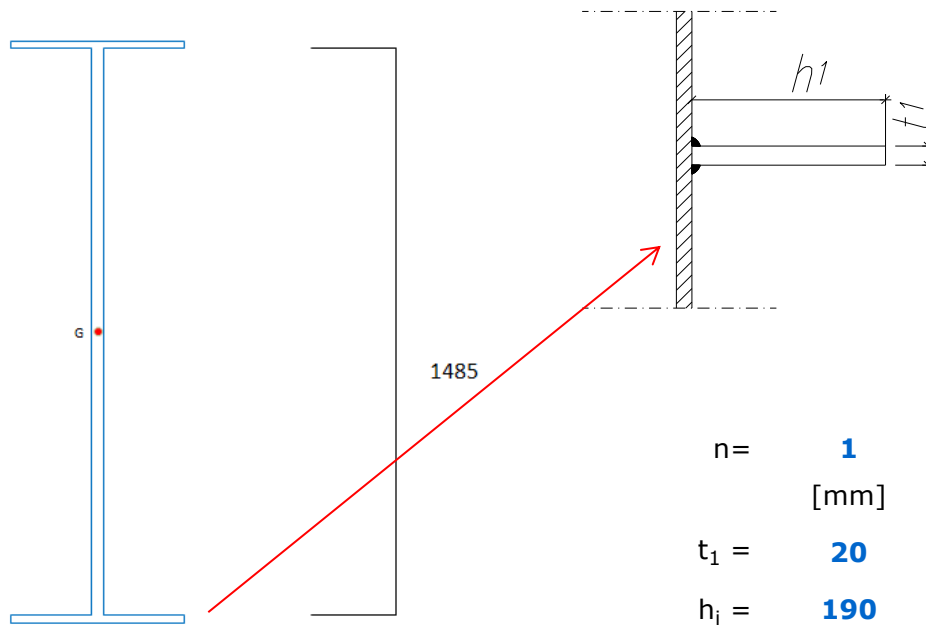
0.6266 < 1 Verifica soddisfatta!

7.6.1 Diaframma testata – Sezione PASSO D’UOMO

Geometria trave - pannello d'anima

Htot=	1525	mm	
C1=	1485	mm	
t1=	30	mm	
C2=	190	mm	
t2=	20	mm	
C3=	190	mm	
t3=	20	mm	
Irrigidimento=	2	tipologia di irrigidimento adottata	
N _{irr,long} =	0	numero di irrigidimenti longitudinali	
h _{i,irr,long} =	ΔH	altezze irrigidimenti longitudinali	
a=	800	mm	lunghezza pannello tra due irrigidimenti trasversali
A _{s,lorda} =	60950	mm ²	area sezione lorda
Z _{Gs,lorda} =	762.5	mm	posizione "z" asse baricentrico sezione lorda
I _{s,lorda,y} =	1.747E+10	mm ⁴	momento d'inerzia "y" baricentrico sezione lorda
Y _{Gs,lorda} =	0.00	mm	posizione "y" asse baricentrico sezione lorda-asse anima
I _{s,lorda,z} =	2.33E+08	mm ⁴	momento d'inerzia "z" baricentrico sezione lorda
A _{p,anima} =	44550	mm ²	area sezione lorda pannello d'anima
Y _{p,anima} =	0.00	mm	posizione "Y" asse baricentrico sezione lorda pannello d'anima
I _{p,anima} =	3.341E+06	mm ⁴	momento d'inerzia "z" baricentrico sezione lorda pannello d'anima
Classe anima	1	Classe piattabanda anima (soggetta a flessione)	
Classe ala sup.	3	Classe piattabanda ala sup. (soggetta a compressione)	
Classe ala inf.	3	Classe piattabanda ala inf. (soggetta a compressione)	





Verifica d'instabilità per taglio:

$N_{Ed} =$	-7147.0	kN	Sforzo normale di progetto
$M_{Ed} =$	2312.0	kNm	Momento di progetto
$V_{Ed} =$	4170	kN	Taglio di progetto
$h_w =$	1485	mm	altezza pannello
$t =$	30	mm	spessore pannello
$N_{irr,long} =$	0		numero di irrigidimenti longitudinali
$k_{tl} =$	0.000		
$k_\tau =$	22.400		coefficiente per instabilità a taglio
$\eta =$	1.2		
$h_w/t =$	49.50		> 48.6 verifica necessaria!

Relazione di Calcolo impalcato a struttura mista
Viadotto ferroviario – L=65 m

COMMESSA	LOTTO	CODIFICA	DOCUMENTO	REV.	FOGLIO
IF26	12	E ZZ CL	VI 05 07 003	A	106 di 162

$\sigma_E =$	77.54	N/mm ²	tensione critica euleriana
$\tau_{cr} =$	1736.95	N/mm ²	tensione tangenziale critica
$f_{yw} =$	355.00	N/mm ²	tensione di snervamento del pannello
$f_{yf} =$	355.00	N/mm ²	tensione di snervamento della piattabanda
$b_f =$	243	mm	larghezza efficace della piattabanda
$\lambda_w =$	0.35		coefficiente di snellezza
$\chi_w =$	1.20		coefficiente funzione dell'instabilità elastica del pannello
$M_{fk} =$	4076.5	KNm	momento resistente di progetto

$$V_{bw,Rd} = \frac{\chi_w \cdot f_{yw} \cdot h_w \cdot t}{\sqrt{3} \cdot \gamma_{M1}} = 9961.02 \quad \text{KN} \quad \text{contributo resistente dell'anima}$$

$$M_{f,red} = \frac{M_{fk}}{\gamma_{M0}} \cdot \left(1 - \frac{N_{Ed} \cdot \gamma_{M0}}{(A_{f1} + A_{f2}) \cdot f_{yf}} \right) = 3887.40 \quad \text{KNm} \quad \text{momento resistente di progetto ridotto}$$

$$V_{bf,Rd} = \frac{b_f \cdot t_i^2 \cdot f_{yf}}{a \left(0.25 + \frac{1.6 \cdot b_f \cdot t_i^2 \cdot f_{yf}}{t \cdot h_w^2 \cdot f_{yw}} \right) \gamma_{M1}} \cdot \left[1 - \left(\frac{M_{Ed}}{M_{f,red}} \right) \right] = 63.0 \quad \text{KN} \quad \text{contributo resistente delle piattabande}$$

$$(1.2 \cdot f_{ywd} \cdot h_w \cdot t) / \sqrt{3} = 9961.02 \quad \text{KN}$$

$$V_{b,Rd} = V_{bw,Rd} + V_{bf,Rd} \leq \frac{\eta \cdot f_{yw} \cdot h_w \cdot t}{\sqrt{3} \cdot \gamma_{M1}} \quad \mathbf{9961.0 \quad KN \quad > 4170 \quad \text{Verifica soddisfatta!}}$$

$$\eta_3 = \mathbf{0.419}$$

Sollecitazioni di progetto:

$$N_{Ed} = \mathbf{-7147 \quad KN} \quad \text{Sforzo normale di progetto}$$

$$M_{Ed} = \mathbf{2312 \quad KNm} \quad \text{Momento di progetto}$$

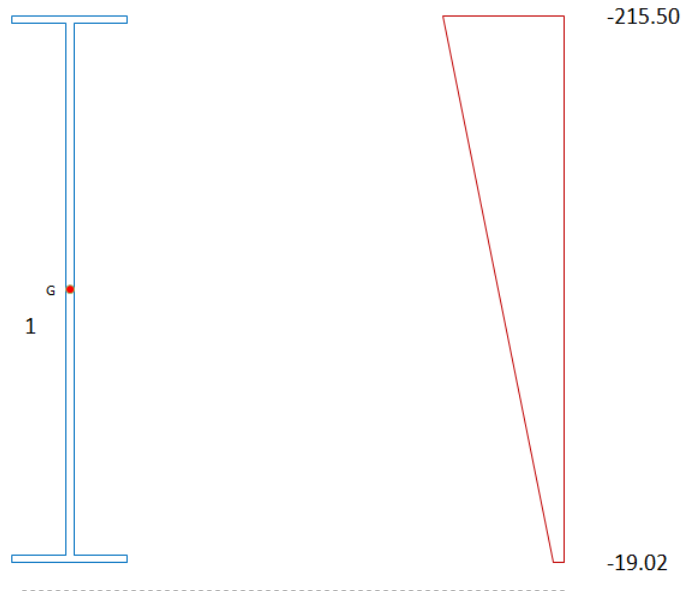
Tensioni di progetto:

$$\sigma_{Edsup.} = \mathbf{-215.50 \quad N/mm^2} \quad \text{Tensione al lembo superiore}$$

$$\sigma_{Edinf.} = \mathbf{-19.02 \quad N/mm^2} \quad \text{Tensione al lembo inferiore}$$

Relazione di Calcolo impalcato a struttura mista
Viadotto ferroviario – L=65 m

COMMESSA	LOTTO	CODIFICA	DOCUMENTO	REV.	FOGLIO
IF26	12	E ZZ CL	VI 05 07 003	A	107 di 162



Verifica pannello d'anima:

verifica singoli sottopannelli:

sottopannello	b	ψ	ρ	$b_{\text{subpannello}}$	$b_{\text{edge/inf}}$	$b_{\text{edge/sup}}$	b_{inf}	b_{sup}
1	1485.0	0.0883	0.9831	1485.0	880.3	FALSO	604.7	0.0

sottopannello	b	ψ	ρ	$b_{\text{subpannello}}$	b_{eff}	$b_{\text{edge/inf,eff}}$	$b_{\text{edge/sup,eff}}$	$b_{\text{inf,eff}}$	$b_{\text{sup,eff}}$	x_{eff}
1	1485.0	0.0883	0.9831	1485.0	1459.9	865.4	0.0	594.4	0.0	25.1

calcolo caratteristiche geometriche efficaci:

$t_{w,eff.} =$	29.49	mm	spessore anima zona compressa efficace
$t_{sl,1,eff.} =$	19.66	mm	spessore irrigidimento zona compressa efficace
$t_{sl,2,eff.} =$	-	mm	spessore irrigidimento zona compressa efficace
$A_{c,eff.} =$	59795.82	mm ²	area sezione lorda efficace
$h_{a.Gz,eff} =$	760.79	mm	posizione asse baricentrico sezione lorda efficace
$Y_{Gs.lorda} =$	0.00	mm	posizione "y" asse baricentrico sezione lorda efficace-asse anima
$e_{Nz} =$	-1.71	mm	eccentricità lungo "z" asse neutro sezione efficace
$e_{Ny} =$	0.00	mm	
$I_{y,eff.} =$	1.72E+10	mm ⁴	momento d'inerzia "y" baricentrico sezione lorda efficace
$W_{y,eff.} =$	-2.26E+07	mm ³	modulo di resistenza "y"
$I_{z,eff.} =$	7.10E+08	mm ⁴	
$W_{z,eff.} =$	-4.73E+07	mm ³	
$N_{Ed} =$	-7147.0	KN	Sforzo normale di progetto
$M_{Ed} =$	2312.0	KNm	Momento di progetto
$M_{Loc_Ed} =$	0.00	KNm	Momento LOCALE di progetto

$$\frac{N_{Ed}}{\gamma_{M0} \cdot f_y \cdot A_{eff}} + \frac{M_{y,Ed} + (N_{Ed} \cdot e_{y,N})}{\gamma_{M0} \cdot f_y \cdot W_{y,eff}} + \frac{M_{z,Ed} + (N_{Ed} \cdot e_{z,N})}{\gamma_{M0} \cdot f_y \cdot W_{z,eff}} \leq 1,0$$

0.6561 < 1 Verifica soddisfatta!

7.7 Verifiche a fatica

Le verifiche a fatica sono condotte secondo quanto indicato in *RFI DTC INC PO SP IFS 003 A 27122011 Specifica per la verifica a fatica dei ponti ferroviari*. Le variazioni di tensione considerate per la verifica a fatica sono quelle indotte dai carichi relativi gruppo di carico 3 riportato al cap. 6.

In particolare sono state considerate le variazioni di tensione normale nelle piattabande superiore ed inferiore, e la variazione di tensione tangenziale nelle anime delle travi.

Si riportano di seguito un estratto della specifica RFI richiamata sopra e le verifiche:

Estratto RFI DTC INC PO SP IFS 003 A

Il delta di tensione convenzionale di calcolo $\Delta\sigma_{E,d}$ è dato da:

$$\Delta\sigma_{E,d} = \lambda \cdot \Phi_2 \cdot \Delta\sigma_{71}$$

Per essere in sicurezza nei riguardi della fatica dovrà verificarsi la seguente condizione:

$$\Delta\sigma_{E,d} \leq \frac{\Delta\sigma_c}{\gamma_{Mf}}$$

esprimibile con identica forma anche in termini di tensioni tangenziali:

$$\Delta\tau_{E,d} \leq \frac{\Delta\tau_c}{\gamma_{Mf}}$$

Dove:

λ è un fattore di correzione i cui valori numerici sono definiti in 2.1;

$\Delta\sigma_{71}$ è la differenza di tensione tra i valori estremi σ_{max} e σ_{min} dovuti a sovraccarico teorico di calcolo adottato per il ponte (LM71) posto nella posizione più sfavorevole;

$\Delta\sigma_c$ è la resistenza alla fatica corrispondente a 2×10^6 cicli da ricavare sulle curve SN corrispondenti al particolare strutturale esaminato (Figure 1.5-1 e 1.5-3);

Φ_2 è il coefficiente di incremento dinamico del sovraccarico teorico valutato mediante la seguente formula:

$$\Phi_2 = \frac{1,44}{\sqrt{L_\phi} - 0,2} + 0,82 \quad \text{con la limitazione } 1,00 \leq \Phi_2 \leq 1,67$$

dove L_ϕ rappresenta la lunghezza “caratteristica” in metri, così come definita in Tab. 1.4.2.5.3-1 della Specifica RFI DTC INC PO SP IFS 001 A.

I coefficienti di incremento dinamico sono stabiliti con riferimento a travi semplicemente appoggiate. La lunghezza L_ϕ permette di estendere l'uso di questi coefficienti ad altre tipologie strutturali.

Ove le sollecitazioni agenti in un elemento strutturale dipendessero da diversi termini ciascuno dei quali afferente a componenti strutturali distinti, ognuno di questi termini dovrà calcolarsi utilizzando

la lunghezza caratteristica L_{ϕ} appropriata.

Per γ_{Mf} vale quanto detto al Paragrafo 1.4.

Il fattore di correzione è dato dalla seguente formula:

$$\lambda = \lambda_1 \cdot \lambda_2 \cdot \lambda_3 \cdot \lambda_4 \quad \text{ma} \quad \lambda \leq \lambda_{\max}$$

Dove:

λ_1 è un fattore che, per differenti tipi di travature, porta in conto l'effetto di danneggiamento dovuto al traffico e dipende dalla lunghezza di influenza caratteristica dell'elemento da verificare;

λ_2 è un fattore che porta in conto il volume di traffico (definito in 2.2);

λ_3 è un fattore che porta in conto la vita di progetto del ponte (definito in 2.3);

λ_4 è un fattore da applicarsi quando l'elemento strutturale è caricato da più di un binario (definito in 2.4).

$$\lambda_4 = \sqrt[n + [1 - n] \cdot [a^5 + (1 - a)^5]}$$

dove:

$$a = \frac{\Delta\sigma_1}{\Delta\sigma_{1+2}}$$

in cui:

$\Delta\sigma_1$ è l'intervallo di tensione nella sezione da verificare ottenuta con il modello di carico su un solo binario;

$\Delta\sigma_{1+2}$ è l'intervallo di tensione nella stessa sezione ottenuta con il modello di carico su due binari qualsiasi.

n è uguale alla percentuale dei treni che si incrociano sul ponte, la quale salvo diverse indicazioni da parte del Gestore dell'Infrastruttura si assumerà pari al 33,3%.

Dati

$\gamma_{Mf} =$	1.35	coefficiente parziale di sicurezza (strutture sensibili, conseguenze della rottura per fatica significative)
$L =$	43 m	luce di calcolo
$\phi_2 =$	1.070	coefficiente dinamico
$\lambda_2 =$	1	(per volume di traffico pari a 25×10^6 t/anno/via)
$\lambda_3 =$	1	(per vita utile a fatica pari a 100 anni)

Relazione di Calcolo impalcato a struttura mista
Viadotto ferroviario – L=65 m

COMMESSA	LOTTO	CODIFICA	DOCUMENTO	REV.	FOGLIO
IF26	12	E ZZ CL	VI 05 07 003	A	111 di 162

7.7.1 Sezione di mezzeria

piattabanda inferiore sp = 40 mm

$\Delta\sigma_C$ =	71 Mpa	classe del dettaglio
sp=	40 mm	spessore lamiera
k_s =	0.91	coefficiente riduttivo della classe del dettaglio
$\Delta\sigma_{C,rid}$ =	64.63 Mpa	classe del dettaglio ridotta
$\Delta\sigma_{s,71} = \Delta\sigma_{LM/71}$	32.40 Mpa	Treno LM/71
$\Delta\sigma_{SW/2}$ =	29.80 Mpa	1 treno di carico (SW/2)
$\Delta\sigma_{SW/2+LM71}$ =	62.20 Mpa	2 treni di carico (SW/2+LM71)
λ_1 =	0.627	(per L = 63 m)
n=	0.33	percentuale dei treni che si incrociano sul ponte
a=	0.48	tensione per 1 solo binario carico/tensione per 2 binari carichi
λ_4 =	0.82	

$$\lambda = 0.52$$

$$\Delta\sigma_{E,d} = \lambda * \phi_2 * \Delta\sigma_{LM71} = 16.85 < \Delta\sigma_{C,rid} / \gamma_{Mf} = 47.87 \text{ OK}$$

0.35

piattabanda superiore sp = 35 mm

$\Delta\sigma_C$ =	71 Mpa	classe del dettaglio
sp=	35 mm	spessore lamiera
k_s =	0.93	coefficiente riduttivo della classe del dettaglio
$\Delta\sigma_{C,rid}$ =	66.38 Mpa	classe del dettaglio ridotta
$\Delta\sigma_{s,71} = \Delta\sigma_{LM/71}$	13.00 Mpa	Treno LM/71
$\Delta\sigma_{SW/2}$ =	11.90 Mpa	1 treno di carico (SW/2)
$\Delta\sigma_{SW/2+LM71}$ =	24.90 Mpa	2 treni di carico (SW/2+LM71)
λ_1 =	0.627	(per L = 63 m)
n=	0.33	percentuale dei treni che si incrociano sul ponte
a=	0.48	tensione per 1 solo binario carico/tensione per 2 binari carichi
λ_4 =	0.82	

$$\lambda = 0.52$$

$$\Delta\sigma_{E,d} = \lambda * \phi_2 * \Delta\sigma_{LM71} = 6.76 < \Delta\sigma_{C,rid} / \gamma_m = 49.17 \text{ OK}$$

0.14

Relazione di Calcolo impalcato a struttura mista
Viadotto ferroviario – L=65 m

COMMESSA	LOTTO	CODIFICA	DOCUMENTO	REV.	FOGLIO
IF26	12	E ZZ CL	VI 05 07 003	A	112 di 162

7.7.2 Sezione di giunto conci 2-3

piattabanda inferiore sp = 40 mm

$\Delta\sigma_c =$	71 Mpa	classe del dettaglio	
sp =	40 mm	spessore lamiera	
$k_s =$	0.91	coefficiente riduttivo della classe del dettaglio	
$\Delta\sigma_{c,rid} =$	64.63 Mpa	classe del dettaglio ridotta	
$\Delta\sigma_{s,71} = \Delta\sigma_{LM/71}$	37.60	Treno LM/71	
$\Delta\sigma_{SW/2} =$	38.60 Mpa	1 treno di carico (SW/2)	
$\Delta\sigma_{SW/2+LM71} =$	76.20 Mpa	2 treni di carico (SW/2+LM71)	
$\lambda_1 =$	0.627	(per L = 63 m)	
n =	0.33	percentuale dei treni che si incrociano sul ponte	
a =	0.51	tensione per 1 solo binario carico/tensione per 2 binari carichi	
$\lambda_4 =$	0.82		
$\lambda =$	0.52		
$\Delta\sigma_{E,d} = \lambda * \phi_2 * \Delta\sigma_{LM71} =$	19.55	< $\Delta\sigma_{c,rid} / \gamma_m =$	47.87 OK 0.41

anima sp = 20 mm

taglio			
$\Delta\tau_c =$	80 Mpa	classe del dettaglio	
sp =	40 mm	spessore lamiera	
$k_s =$	0.91	coefficiente riduttivo della classe del dettaglio	
$\Delta\tau_{c,rid} =$	72.82 Mpa	per lo spessore della lamiera 22 mm	
$\Delta\tau_{s,71} = \Delta\tau_{LM/71}$	4.20	Treno LM/71	
$\Delta\tau_{SW/2} =$	1.70 Mpa	1 treno di carico (SW/2)	
$\Delta\tau_{SW/2+LM71} =$	5.90 Mpa	2 treni di carico (SW/2+LM71)	
$\lambda_1 =$	0.627	(per L = 63 m)	
n =	0.33	percentuale dei treni che si incrociano sul ponte	
a =	0.29	tensione per 1 solo binario carico/tensione per 2 binari carichi	
$\lambda_4 =$	0.85		
$\lambda =$	0.54		
$\Delta\tau_{E,d} = \lambda * \phi_2 * \Delta\tau_{LM71} =$	2.27	< $\Delta\tau_{c,rid} / \gamma_m =$	53.94 OK 0.04

Relazione di Calcolo impalcato a struttura mista
Viadotto ferroviario – L=65 m

COMMESSA	LOTTO	CODIFICA	DOCUMENTO	REV.	FOGLIO
IF26	12	E ZZ CL	VI 05 07 003	A	113 di 162

tensione ideale

$\Delta\sigma_c =$	71 Mpa		
sp=	20 mm	spessore lamiera	
$k_s =$	1.00	coefficiente riduttivo della classe del dettaglio	
$\Delta\sigma_{c,rid} =$	71.00 Mpa	per lo spessore della lamiera 22 mm	
$\Delta\sigma_{s,71} = \Delta\sigma_{LM/71}$	38.30	Treno LM/71	
$\Delta\sigma_{id-SW/2} =$	38.71 Mpa	1 treno di carico(SW/2)	
$\Delta\sigma_{id-SW/2+LM71} =$	77.01 Mpa	2 treni di carico (SW/2+LM71)	
$\lambda_1 =$	0.627	(per L = 63 m)	
n=	0.33	percentuale dei treni che si incrociano sul ponte	
a=	0.50	tensione per 1 solo binario carico/tensione per 2 binari carichi	
$\lambda_4 =$	0.82		

$$\lambda = 0.52$$

$$\Delta\sigma_{id-E,d} = \lambda * \phi_2 * \Delta\sigma_{id-LM71} = 19.91 < \Delta\sigma_{c,rid} / \gamma_m = 52.59 \text{ OK}$$

0.38

piattabanda superiore sp = 30 mm

$\Delta\sigma_c =$	71 Mpa	classe del dettaglio	
sp=	30 mm	spessore lamiera	
$k_s =$	0.96	coefficiente riduttivo della classe del dettaglio	
$\Delta\sigma_{c,rid} =$	68.46 Mpa	per lo spessore della lamiera 24 mm	
$\Delta\sigma_{s,71} = \Delta\sigma_{LM/71}$	12.90	Treno LM/71	
$\Delta\sigma_{SW/2} =$	11.90 Mpa	1 treno di carico(SW/2)	
$\Delta\sigma_{SW/2+LM71} =$	24.80 Mpa	2 treni di carico (SW/2+LM71)	
$\lambda_1 =$	0.627	(per L = 63 m)	
n=	0.33	percentuale dei treni che si incrociano sul ponte	
a=	0.48	tensione per 1 solo binario carico/tensione per 2 binari carichi	
$\lambda_4 =$	0.82		

$$\lambda = 0.52$$

$$\Delta\sigma_{E,d} = \lambda * \phi_2 * \Delta\sigma_{LM71} = 6.71 < \Delta\sigma_{c,rid} / \gamma_m = 50.71 \text{ OK}$$

0.13

Relazione di Calcolo impalcato a struttura mista
Viadotto ferroviario – L=65 m

COMMESSA	LOTTO	CODIFICA	DOCUMENTO	REV.	FOGLIO
IF26	12	E ZZ CL	VI 05 07 003	A	114 di 162

7.7.3 Sezione di giunto conci 1-2

piattabanda inferiore sp = 30 mm

$\Delta\sigma_c =$	71 Mpa	classe del dettaglio
sp =	30 mm	spessore lamiera
$k_s =$	0.96	coefficiente riduttivo della classe del dettaglio
$\Delta\sigma_{c,rid} =$	68.46 Mpa	classe del dettaglio ridotta
$\Delta\sigma_{s,71} = \Delta\sigma_{LM/71}$	32.90	Treno LM/71
$\Delta\sigma_{SW/2} =$	41.40 Mpa	1 treno di carico (SW/2)
$\Delta\sigma_{SW/2+LM71} =$	74.30 Mpa	2 treni di carico (SW/2+LM71)
$\lambda_1 =$	0.627	(per L = 63 m)
n =	0.33	percentuale dei treni che si incrociano sul ponte
a =	0.56	tensione per 1 solo binario carico/tensione per 2 binari carichi
$\lambda_4 =$	0.82	

$\lambda =$	0.52	
$\Delta\sigma_{E,d} = \lambda * \phi_2 * \Delta\sigma_{LM71} =$	17.16	$< \Delta\sigma_{c,rid} / \gamma_m = 50.71$ OK
		0.34

anima sp = 24 mm

taglio		
$\Delta\tau_c =$	80 Mpa	classe del dettaglio
sp =	24 mm	spessore lamiera
$k_s =$	1.00	coefficiente riduttivo della classe del dettaglio
$\Delta\tau_{c,rid} =$	80.00 Mpa	per lo spessore della lamiera 22 mm
$\Delta\tau_{s,71} = \Delta\tau_{LM/71}$	9.94	Treno LM/71
$\Delta\tau_{SW/2} =$	4.50 Mpa	1 treno di carico (SW/2)
$\Delta\tau_{SW/2+LM71} =$	14.44 Mpa	2 treni di carico (SW/2+LM71)
$\lambda_1 =$	0.627	(per L = 63 m)
n =	0.33	percentuale dei treni che si incrociano sul ponte
a =	0.31	tensione per 1 solo binario carico/tensione per 2 binari carichi
$\lambda_4 =$	0.85	

$\lambda =$	0.53	
$\Delta\tau_{E,d} = \lambda * \phi_2 * \Delta\tau_{LM71} =$	5.33	$< \Delta\tau_{c,rid} / \gamma_m = 59.26$ OK
		0.09

Relazione di Calcolo impalcato a struttura mista
Viadotto ferroviario – L=65 m

COMMESSA	LOTTO	CODIFICA	DOCUMENTO	REV.	FOGLIO
IF26	12	E ZZ CL	VI 05 07 003	A	115 di 162

tensione ideale

$\Delta\sigma_c =$	71 Mpa	classe del dettaglio
sp=	20 mm	spessore lamiera
$k_s =$	1.00	coefficiente riduttivo della classe del dettaglio
$\Delta\sigma_{c,rid} =$	71.00 Mpa	per lo spessore della lamiera 22 mm
$\Delta\sigma_{s,71} = \Delta\sigma_{LM/71}$	37.13	Treno LM/71
$\Delta\sigma_{id-SW/2} =$	42.13 Mpa	1 treno di carico(SW/2)
$\Delta\sigma_{id-SW/2+LM71} =$	79.26 Mpa	2 treni di carico (SW/2+LM71)
$\lambda_1 =$	0.627	(per L = 63 m)
n=	0.33	percentuale dei treni che si incrociano sul ponte
a=	0.53	tensione per 1 solo binario carico/tensione per 2 binari carichi
$\lambda_4 =$	0.82	

$\lambda =$ 0.52

$\Delta\sigma_{id-E,d} = \lambda * \phi_2 * \Delta\sigma_{id-LM71} =$ 19.32 < $\Delta\sigma_{c,rid} / \gamma_m =$ 52.59 **OK**

0.37

piattabanda superiore sp = 22 mm

$\Delta\sigma_c =$	71 Mpa	classe del dettaglio
sp=	22 mm	spessore lamiera
$k_s =$	1.00	coefficiente riduttivo della classe del dettaglio
$\Delta\sigma_{c,rid} =$	71.00 Mpa	per lo spessore della lamiera 24 mm
$\Delta\sigma_{s,71} = \Delta\sigma_{LM/71}$	9.30	Treno LM/71
$\Delta\sigma_{SW/2} =$	7.60 Mpa	1 treno di carico(SW/2)
$\Delta\sigma_{SW/2+LM71} =$	16.90 Mpa	2 treni di carico (SW/2+LM71)
$\lambda_1 =$	0.627	(per L = 63 m)
n=	0.33	percentuale dei treni che si incrociano sul ponte
a=	0.45	tensione per 1 solo binario carico/tensione per 2 binari carichi
$\lambda_4 =$	0.82	

$\lambda =$ 0.52

$\Delta\sigma_{E,d} = \lambda * \phi_2 * \Delta\sigma_{LM71} =$ 4.85 < $\Delta\sigma_{c,rid} / \gamma_m =$ 52.59 **OK**

0.09

Relazione di Calcolo impalcato a struttura mista
Viadotto ferroviario – L=65 m

COMMESSA	LOTTO	CODIFICA	DOCUMENTO	REV.	FOGLIO
IF26	12	E ZZ CL	VI 05 07 003	A	116 di 162

7.7.4 Sezione di appoggio

anima sp = 24mm

taglio

$\Delta\tau_c =$	80 Mpa	classe del dettaglio
sp=	24 mm	spessore lamiera
$k_s =$	1.00	coefficiente riduttivo della classe del dettaglio
$\Delta\tau_{c,rid} =$	80.00 Mpa	per lo spessore della lamiera 24 mm
$\Delta\tau_{s,71} = \Delta\tau_{LM/71}$	12.80 Mpa	Treno LM/71
$\Delta\tau_{SW/2} =$	4.70 Mpa	1 treno di carico(SW/2)
$\Delta\tau_{SW/2+LM71} =$	17.50 Mpa	2 treni di carico (SW/2+LM71)
$\lambda_1 =$	0.66	(L = 0.4 * luce campata)
n=	3.72	percentuale dei treni che si incrociano sul ponte
a=	0.27	tensione per 1 solo binario carico/tensione per 2 binari carichi
$\lambda_4 =$	1.26	
$\lambda =$	0.83	
$\Delta\tau_{E,d} = \lambda * \phi_2 * \Delta\tau_{LM71} =$	10.72	< $\Delta\tau_{c,rid} / \gamma_m =$ 59.26 OK

0.18

7.8 Verifica sistema di connessione

L'accoppiamento trave-soletta è affidato a pioli di ancoraggio saldati alle ali superiori delle travi.

Il loro numero, diametro e passo è funzione delle tensioni di aderenza che nascono alla superficie di separazione trave-soletta. In particolare il numero totale dei connettori è stato determinato al fine di garantire una connessione a completo ripristino di resistenza.

7.8.1 Resistenza a taglio del singolo connettore

Si utilizzano connettori tipo St37-3K DIN 17100.

Si riporta il calcolo della resistenza del singolo connettore.

Relazione di Calcolo impalcato a struttura mista
Viadotto ferroviario – L=65 m

COMMESSA	LOTTO	CODIFICA	DOCUMENTO	REV.	FOGLIO
IF26	12	E ZZ CL	VI 05 07 003	A	117 di 162

h	300 mm	Altezza piolo
d	22 mm	Diametro piolo
h/d	13.6	
α	1	
f _u	450 Mpa	Resistenza ultima a trazione del piolo
f _{ck}	32 Mpa	Resistenza cilindrica del cls
E _{cm}	11115 Mpa	Valore medio del modulo secante del cls
γ_v	1.25	Coeff. parziale di sicurezza
P _{Rd1}	109 KN	
P _{Rd2}	67 KN	
P_{Rd}	67 KN	Resistenza di un piolo

7.8.2 Calcolo numero totale pioli

Le norme tecniche ferroviarie richiedono che il progetto delle connessioni a taglio nelle travi miste in acciaio-calcestruzzo si effettuato a completo ripristino di resistenza.

Nelle connessioni a completo ripristino bisogna predisporre un numero di connettori tali da poter assorbire una forza di scorrimento pari a

$$V = M_{pl,Rd} / z = \min (R_c; R_a) = F_{cf}$$

dove:

$R_c = 0.85 f_{ck} b_{eff} h_c / \gamma_c$ Resistenza soletta di calcestruzzo

$R_a = A_a f_{yd} / \gamma_a$ Resistenza a trazione della trave in acciaio

Relazione di Calcolo impalcato a struttura mista
Viadotto ferroviario – L=65 m

COMMESSA	LOTTO	CODIFICA	DOCUMENTO	REV.	FOGLIO
IF26	12	E ZZ CL	VI 05 07 003	A	118 di 162

SOLETTA

CLS

Classe cls **C32/40**

fcd **18.81** Mpa

b **13.7** m Larghezza soletta

h **0.427** Altezza media soletta

Area **5.85** m² Area soletta

ARMATURA

passo **20** cm Passo armatura longitudinale nella soletta

n barre **138.4**

φ **20** mm

As tot **43480** mm²

fyd **391** MPa

Rc 127050 KN Resistenza a compressione della soletta

TRAVE ACCIAIO

Acciaio **S355**

Aa **0.7054** m² Area trave

fyd **309** Mpa

Ra 217754 KN Resistenza a trazione della trave in acciaio

Fcf 127050 KN Forza di scorrimento su L/2

n TOT **1897** numero minimo pioli su L/2

n ala **474** numero minimo pioli su ogni ala superiore

File da 5 pioli

n file **95** numero minimo file

L/2 **32.5** m metà luce del ponte

i max pioli **0.35** m interasse massimo tra le file

i scelta 0.20 m interasse di progetto tra le file

GEODATA
ENGINEERING



**ITINERARIO NAPOLI – BARI
RADDOPPIO TRATTA CANCELLO-BENEVENTO
II LOTTO FUNZIONALE FRASSO TELESINO – VITULANO
1° LOTTO FUNZIONALE FRASSO TELESINO – TELESE
PROGETTO ESECUTIVO**

*Relazione di Calcolo impalcato a struttura mista
Viadotto ferroviario – L=65 m*

COMMESSA	LOTTO	CODIFICA	DOCUMENTO	REV.	FOGLIO
IF26	12	E ZZ CL	VI 05 07 003	A	119 di 162

7.9 Scarichi apparecchi d'appoggio

Si riportano di seguito gli scarichi elementari sugli apparecchi d'appoggio, in cui F_z , F_y e F_x indicano rispettivamente le reazioni vincolari in direzione verticale, trasversale e longitudinale dell'impalcato.

Relazione di Calcolo impalcato a struttura mista
Viadotto ferroviario – L=65 m

COMMESSA	LOTTO	CODIFICA	DOCUMENTO	REV.	FOGLIO
IF26	12	E ZZ CL	VI 05 07 003	A	120 di 162

CAMPATA L = 65 m											
	N° disp. appoggio	Load Case	Fz KN	Fy KN	Fx KN		N° disp. appoggio	Load Case	Fz KN	Fy KN	Fx KN
F i l i a 1	App 1	Peso proprio	1695.2	0.0	0.0	F i l i a 2	App 1	Peso proprio	1719.9	0.0	0.0
		Perm Portati	1922.5	0.0	0.0			Perm Portati	1956.4	0.0	0.0
		Treno LM71	252.4	0.0	0.0			Treno LM71	197.1	0.0	0.0
		Treno SW/2	3237.3	0.0	0.0			Treno SW/2	3188.4	0.0	0.0
		Vento 0 bin	549.5	0.0	0.0			Vento 0 bin	447.5	0.0	0.0
		Vento 1 bin	645.3	0.0	0.0			Vento 1 bin	546.2	0.0	0.0
		Vento 2 bin	299.7	0.0	0.0			Vento 2 bin	229.6	0.0	0.0
		Folla marciapiede	103.5	0.0	0.0			Folla marciapiede	108.0	0.0	0.0
		Sisma X	951.0	0.0	0.0			Sisma X	1115.1	0.0	0.0
		Sisma Y	4885.4	0.0	0.0			Sisma Y	3948.3	0.0	0.0
		Sisma Z	367.9	0.0	0.0			Sisma Z	373.4	0.0	0.0
		Res. paras. vincoli	0.0	0.0	0.0			Res. paras. vincoli	0.0	0.0	0.0
F i l i a 1	App 2	Peso proprio	1668.0	-140.2	-1.5	F i l i a 2	App 2	Peso proprio	1643.7	0.0	0.0
		Perm Portati	1799.8	-192.3	-2.0			Perm Portati	1766.5	0.0	0.0
		Treno LM71	1141.5	441.0	-709.5			Treno LM71	1230.4	0.0	0.0
		Treno SW/2	1560.0	-206.4	-1020.6			Treno SW/2	1384.6	0.0	0.0
		Vento 0 bin	152.6	521.2	233.8			Vento 0 bin	207.4	0.0	0.0
		Vento 1 bin	157.5	488.4	299.7			Vento 1 bin	196.0	0.0	0.0
		Vento 2 bin	114.6	365.7	130.7			Vento 2 bin	158.3	0.0	0.0
		Folla marciapiede	58.9	-25.6	-0.3			Folla marciapiede	54.5	0.0	0.0
		Sisma X	1075.5	1021.5	8636.8			Sisma X	952.4	0.0	0.0
		Sisma Y	1854.8	5324.5	2745.2			Sisma Y	2426.5	0.0	0.0
		Sisma Z	333.5	113.5	714.2			Sisma Z	350.9	0.0	0.0
		Res. paras. vincoli	0.0	0.0	671.7			Res. paras. vincoli	0.0	0.0	0.0
F i l i a 1	App 3	Peso proprio	1668.4	140.2	1.5	F i l i a 2	App 3	Peso proprio	1643.6	0.1	0.0
		Perm Portati	1800.4	192.2	2.0			Perm Portati	1766.4	0.1	0.0
		Treno LM71	1139.6	318.1	-716.2			Treno LM71	1233.3	564.9	0.0
		Treno SW/2	540.4	-36.8	-2247.7			Treno SW/2	756.3	-117.4	0.0
		Vento 0 bin	-165.3	544.8	-233.8			Vento 0 bin	-39.9	1045.2	0.0
		Vento 1 bin	-203.9	536.4	-299.7			Vento 1 bin	-74.9	998.1	0.0
		Vento 2 bin	-92.6	357.7	-130.7			Vento 2 bin	-9.5	711.8	0.0
		Folla marciapiede	59.0	25.6	0.3			Folla marciapiede	54.5	0.0	0.0
		Sisma X	1090.6	1024.1	8631.0			Sisma X	969.9	59.6	0.0
		Sisma Y	1849.9	5322.6	2756.9			Sisma Y	530.7	10704.3	0.0
		Sisma Z	335.9	104.2	708.9			Sisma Z	351.9	38.8	0.0
		Res. paras. vincoli	0.0	0.0	671.7			Res. paras. vincoli	0.0	0.0	0.0
F i l i a 1	App 4	Peso proprio	1695.4	0.0	0.0	F i l i a 2	App 4	Peso proprio	1719.6	0.0	0.0
		Perm Portati	1922.7	0.0	0.0			Perm Portati	1956.1	0.0	0.0
		Treno LM71	501.6	0.0	0.0			Treno LM71	443.5	0.0	0.0
		Treno SW/2	-160.7	0.0	0.0			Treno SW/2	-213.6	0.0	0.0
		Vento 0 bin	-536.7	0.0	0.0			Vento 0 bin	-614.9	0.0	0.0
		Vento 1 bin	-598.8	0.0	0.0			Vento 1 bin	-667.3	0.0	0.0
		Vento 2 bin	-321.7	0.0	0.0			Vento 2 bin	-378.4	0.0	0.0
		Folla marciapiede	103.5	0.0	0.0			Folla marciapiede	108.0	0.0	0.0
		Sisma X	1048.2	0.0	0.0			Sisma X	1213.7	0.0	0.0
		Sisma Y	4880.9	0.0	0.0			Sisma Y	5851.4	0.0	0.0
		Sisma Z	384.0	0.0	0.0			Sisma Z	380.2	0.0	0.0
		Res. paras. vincoli	0.0	0.0	0.0			Res. paras. vincoli	0.0	0.0	0.0

Si riportano di seguito anche i valori massimi e minime degli involuipi SLU e SLV delle combinazioni di carico.

	N° disp. appoggio	Load Case	Fz	Fy	Fx		N° disp. appoggio	Load Case	Fz	Fy	Fx
			KN	KN	KN				KN	KN	KN
F i l l a 1	App 1	SLU max	11437	0	0	F i l l a 2	App 1	SLU max	11297	0	0
		SLU min	5172	0	0			SLU min	5256	0	0
		SLV max	9649	0	0			SLV max	8799	0	0
		SLV min	-1679	0	0			SLV min	-724	0	0
	App 2	SLU max	9047	886	4126		App 2	SLU max	8843	0	0
		SLU min	4951	886	3434			SLU min	4869	0	0
		SLV max	6248	6069	10940			SLV max	6697	0	0
		SLV min	1167	6069	10247			SLV min	587	0	0
	App 3	SLU max	7631	1791	4105		App 3	SLU max	7852	2049	0
		SLU min	4569	1791	3412			SLU min	4744	2049	0
		SLV max	6097	6111	10929			SLV max	5015	10886	0
		SLV min	1143	6111	10237			SLV min	2158	10886	0
	App 4	SLU max	6014	0	0		App 4	SLU max	6075	0	0
		SLU min	3197	0	0			SLU min	3194	0	0
		SLV max	9066	0	0			SLV max	10154	0	0
		SLV min	-1894	0	0			SLV min	-2864	0	0

7.10 Verifica di deformabilità dell'impalcato

7.10.1 Stati limite di esercizio per la sicurezza del traffico ferroviario

Considerando la presenza dei treni di carico LM71, SW/2, incrementati con il corrispondente coefficiente dinamico e con il coefficiente α , il massimo valore di inflessione nel piano verticale dell'impalcato per effetto di tali carichi ferroviari non deve eccedere il valore di L/600.

$$L/600 = 63\text{m}/600 = 0.105 \text{ m}$$

Il modello in CsiBridge riporta uno spostamento sotto l'effetto dei suddetti carichi pari a 0.041 m < 0.105 m. La verifica è pertanto soddisfatta.

7.10.2 Stati limite per il comfort dei passeggeri

L'inflessione verticale deve calcolarsi in asse al binario, considerando il modello di carico LM71 con il relativo incremento dinamico e con il coefficiente α .

Il valore limite del rapporto L/ δ per impalcato semplicemente appoggiati aventi tre o più campate, per una luce di 63 m e una velocità di progetto pari a 200 km/h, è pari a L/ δ = 1100, da cui si determina il massimo abbassamento $\delta_{\text{max}} = 5.7 \text{ cm}$.

Il modello agli elementi finiti restituisce come valore di abbassamento in asse al binario carico $\delta = 2.3 \text{ cm}$. La verifica risulta pertanto soddisfatta.

*Relazione di Calcolo impalcato a struttura mista
Viadotto ferroviario – L=65 m*

COMMESSA	LOTTO	CODIFICA	DOCUMENTO	REV.	FOGLIO
IF26	12	E ZZ CL	VI 05 07 003	A	122 di 162

7.11 Controfreccia di montaggio

Al fine di contrastare gli effetti deformativi dovuti ai pesi propri, ai sovraccarichi permanenti, ad una quota pari al 25% dei sovraccarichi accidentali ed al ritiro della soletta ed agli effetti viscosi, è prevista l'adozione di una controfreccia di montaggio, così ottenuta:

$$c_r = f_p + f_r + (0.25f_s\phi) + f_r = 37 \text{ mm} + 39 \text{ mm} + 10 \text{ mm} + 25 \text{ mm} = 111 \text{ mm}$$

dove:

f_p = deformazione elastica dovuta al peso proprio della struttura metallica e della soletta;

f_r = deformazione elastica dovuta al peso delle opere di finitura;

f_s = deformazione elastica dovuta ai carichi verticali da traffico;

f_r = deformazione elastica dovuta agli effetti del ritiro e della viscosità.

7.12 Verifiche integrative delle travi

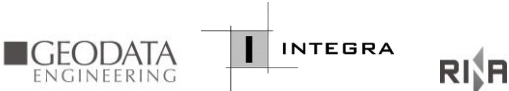
7.12.1 Verifiche delle saldature di composizione

Di seguito si riportano le verifiche delle saldature tra piattabande e anime in prossimità agli appoggi delle travi principali. In tale zone, le saldature saranno realizzate a piena penetrazione. Pertanto la verifica viene eseguita cautelativamente sullo spessore dell'anima t_w . Le sollecitazioni sulla saldatura sono calcolate tramite la formula di Jourawski.

In accordo con quanto specificato al punto 4.2.8.2.4 del DM 14/01/2008, le sollecitazioni devono essere minore della resistenza di progetto pari a $\beta_1 f_{yk} = 0.7 \times 355 = 248 \text{ Mpa}$.

Anima-piatto superiore						
Station	VE _{dmax}	V _{wd}	I _y	t _w	S(z's)	τ
m	kN	kN	mm ⁴	mm	mm ³	Mpa
0	10513	5257	1.17E+12	24	2.84E+08	35
Anima-piatto inferiore						
Station	VE _{dmax}	V _{wd}	I _y	t _w	S(z'i)	τ
m	kN	kN	mm ⁴	mm	mm ³	Mpa
0	10513	5257	1.17E+12	24	-1.83E+08	-23

La verifica risulta soddisfatta.

	ITINERARIO NAPOLI – BARI RADDOPPIO TRATTA CANCELLO-BENEVENTO II LOTTO FUNZIONALE FRASSO TELESINO – VITULANO 1° LOTTO FUNZIONALE FRASSO TELESINO – TELESE PROGETTO ESECUTIVO												
<i>Relazione di Calcolo impalcato a struttura mista Viadotto ferroviario – L=65 m</i>	<table border="1"> <thead> <tr> <th>COMMESSA</th> <th>LOTTO</th> <th>CODIFICA</th> <th>DOCUMENTO</th> <th>REV.</th> <th>FOGLIO</th> </tr> </thead> <tbody> <tr> <td>IF26</td> <td>12</td> <td>E ZZ CL</td> <td>VI 05 07 003</td> <td>A</td> <td>123 di 162</td> </tr> </tbody> </table>	COMMESSA	LOTTO	CODIFICA	DOCUMENTO	REV.	FOGLIO	IF26	12	E ZZ CL	VI 05 07 003	A	123 di 162
COMMESSA	LOTTO	CODIFICA	DOCUMENTO	REV.	FOGLIO								
IF26	12	E ZZ CL	VI 05 07 003	A	123 di 162								

8 IMPALCATO: EFFETTI LOCALI

La soletta è realizzata da predalles e da getto aggiuntivo di completamento. Nei successivi paragrafi si descrivono i modelli di calcolo, l'analisi dei carichi e le verifiche di sicurezza della sezione trasversale, ove si riscontrano le condizioni più severe per l'elemento strutturale in oggetto.

8.1 Modello di calcolo

Per il calcolo delle sollecitazioni, si è ricorso alla risoluzione di modelli agli elementi finiti tramite il software SAP2000.

Il modello realizzato con 29 elementi frame e 30 nodi riproduce la soletta vincolata in corrispondenza delle anime delle travi metalliche.

Gli elementi frame che riproducono la soletta variano linearmente da 38 cm di altezza al bordo a 47 cm in mezzeria. Così facendo, oltre a riprodurre in maniera fedele la variazione di altezza, si lascia calcolare il peso proprio della soletta automaticamente al programma di calcolo, senza dover definire un ulteriore caso di carico.

Di seguito si riportano tre immagini del modello di soletta appena citato, dove si evidenziano le indicazioni dei nodi, dei frames e della variazione di altezza della sezione assegnata agli elementi frames:



Figura 61: Modello trasversale con l'indicazione degli elementi frames



Figura 62: Modello trasversale con l'indicazione dei nodi



Figura 63: Modello trasversale (sezione ad altezza variabile)

Per tener conto dell'effetto prodotto dalle eccentricità geometrica ed accidentale (definite al par. 5.4) in aggiunta al modello sopra descritto in cui non si è tenuto conto di alcuna eccentricità, sono stati definiti tre ulteriori modelli:

due modelli che tengono conto delle situazioni limite, assegnando, da una parte e dall'altra rispetto all'asse della struttura metallica, il massimo spostamento (somma di entrambe le eccentricità) alle fasce di carico associate ai carichi viaggianti;

GEODATA
ENGINEERING



**ITINERARIO NAPOLI – BARI
RADDOPPIO TRATTA CANCELLO-BENEVENTO
II LOTTO FUNZIONALE FRASSO TELESINO – VITULANO
1° LOTTO FUNZIONALE FRASSO TELESINO – TELESE
PROGETTO ESECUTIVO**

*Relazione di Calcolo impalcato a struttura mista
Viadotto ferroviario – L=65 m*

COMMESSA	LOTTO	CODIFICA	DOCUMENTO	REV.	FOGLIO
IF26	12	E ZZ CL	VI 05 07 003	A	124 di 162

un modello che tiene conto della sola eccentricità accidentale assegnando lo spostamento corrispondente alla sola fascia di carico associata al treno di carico LM71.



Figura 67: Forze velette

- cordoli: carico distribuito di 5 kN/m su 85 cm di lunghezza



Figura 68: Carico cordoli

- massetto del camminamento: carico distribuito di 1.25 kN/m su 190 cm di lunghezza.

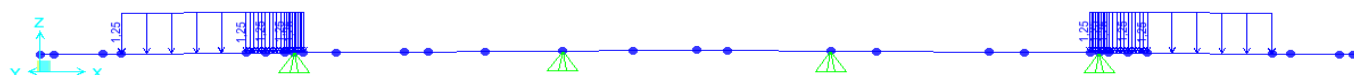


Figura 69: Carico massetto camminamento

8.2.3 Carichi viaggianti

A partire dalla base dalle traversine 240x20 con interasse di 60 cm, è stata considerata una diffusione dei carichi mobili, secondo un'inclinazione di 1:4 nello strato di ballast e secondo un'inclinazione di 1/1 nella soletta (come indicato nelle immagini sottostanti) fino ad arrivare al piano medio della soletta:

- longitudinalmente su una larghezza di 1.40 m (L_{long});
- trasversalmente su una larghezza di 3.10 m (L_{trasv});

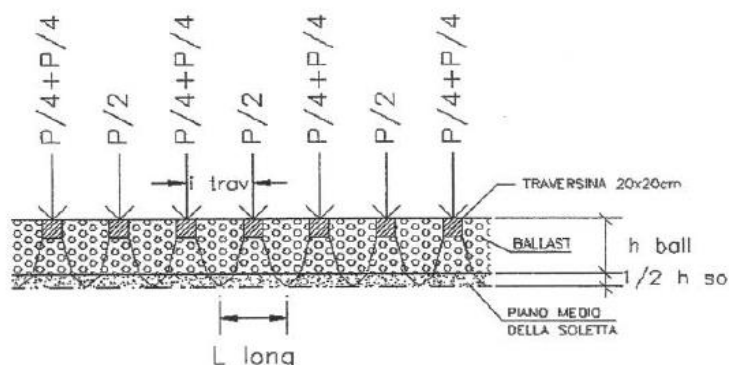


Figura 70: Ripartizione longitudinale carichi viaggianti

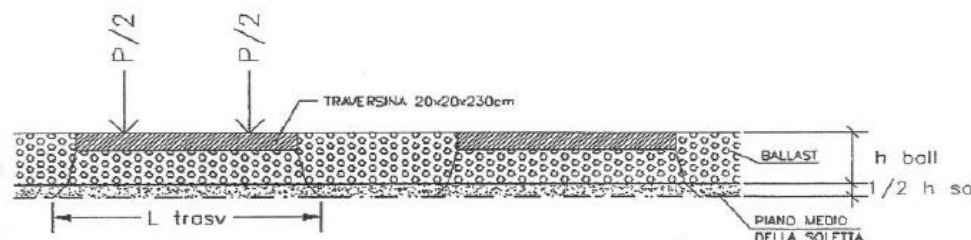


Figura 71: Ripartizione trasversale carichi viaggianti

In particolare, con riferimento a quanto determinato per L_{trav} ed L_{long} e alle figure sopra riportate:

carico viaggiante LM71 ($q1_{LM71}$):

$$q1_{LM71} = F \cdot \alpha \cdot \phi_3 / (3.10 \cdot 1.40) = 97 \text{ kN/m}^2$$

dove:

- $F = 250.00 \text{ kN}$ (carico assiale relativo al treno LM71)
- $\alpha = 1.1$
- $\phi_3 = 1.53$ (vedi par. 0)

Avendo quindi considerato una sezione larga 1 m, si applicherà un carico distribuito di 97 kN/m su 3.10 m:

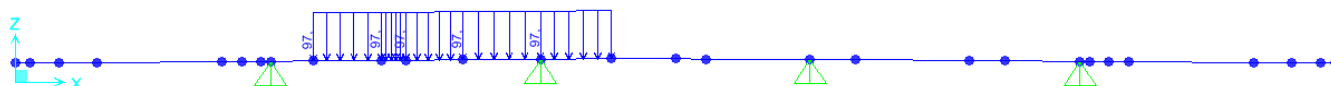


Figura 72: carico LM71 ($q1_{LM71}$)

Si ignora, a favore di sicurezza, l'effetto di ripartizione longitudinale nella soletta (in effetti gli assi da 250 kN hanno interasse longitudinale pari a 1.60 m)

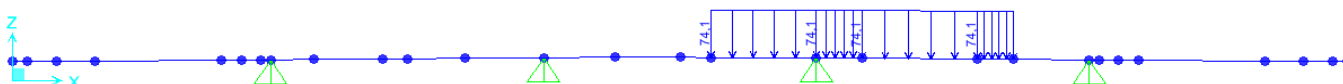
carico viaggiante SW/2 ($q1_{SW/2}$):

$$q1_{SW/2} = F \cdot \phi_3 / (3.10) = 74.1 \text{ kN/m}^2$$

dove:

- $F = 150.00 \text{ kN}$ (carico assiale distribuito relativo al treno SW/2)
- $\phi_3 = 1.53$ (vedi par. 0)

Avendo quindi considerato una sezione larga 1 m, si applicherà un carico distribuito di 74.1 kN/m su 3.10 m:



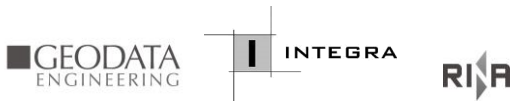
	ITINERARIO NAPOLI – BARI RADDOPPIO TRATTA CANCELLO-BENEVENTO II LOTTO FUNZIONALE FRASSO TELESINO – VITULANO 1° LOTTO FUNZIONALE FRASSO TELESINO – TELESE PROGETTO ESECUTIVO												
<i>Relazione di Calcolo impalcato a struttura mista Viadotto ferroviario – L=65 m</i>	<table border="1"> <thead> <tr> <th>COMMESSA</th> <th>LOTTO</th> <th>CODIFICA</th> <th>DOCUMENTO</th> <th>REV.</th> <th>FOGLIO</th> </tr> </thead> <tbody> <tr> <td>IF26</td> <td>12</td> <td>E ZZ CL</td> <td>VI 05 07 003</td> <td>A</td> <td>128 di 162</td> </tr> </tbody> </table>	COMMESSA	LOTTO	CODIFICA	DOCUMENTO	REV.	FOGLIO	IF26	12	E ZZ CL	VI 05 07 003	A	128 di 162
COMMESSA	LOTTO	CODIFICA	DOCUMENTO	REV.	FOGLIO								
IF26	12	E ZZ CL	VI 05 07 003	A	128 di 162								

Figura 73: carico SW/2 (q1_SW/2)

Nel calcolo delle sollecitazioni indotte dai carichi viaggianti sulla soletta è stata considerata la presenza di un solo treno di carico (LM71) o di due treni di carico (LM71+SW/2) in maniera tale da determinare, per le diverse sollecitazioni, la condizione più gravosa a seconda della sezione di calcestruzzo considerata.

8.2.4 Forza centrifuga

L'effetto della forza centrifuga su un carico viaggiate che sta percorrendo una curva si traduce in una modifica della pressione esercitata sulla struttura sottostante che da uniforme diviene trapezia con valori più elevati sul lato esterno della curva. Si riporta di seguito il calcolo della pressione esercitata.

In particolare:

centrifuga LM71 (q4_LM71):

$$q_v = 250/1.40 = 178.50 \text{ kN/m} \quad (\text{carico verticale viaggiate al metro})$$

$$q_t = c \cdot q_v = 0.129 \cdot 178.5 = 23 \text{ kN/m} \quad (\text{azione orizzontale centrifuga al metro})$$

dove:

$$c = (V^2)/(127 \cdot R) \cdot f, \text{ coeff. definito al par. 5.7(b) per treno LM71, con } V=200 \text{ Km/h, } R= 1550 \text{ m}$$

La forza q_t applicata secondo normativa ad 1.8 m al di sopra del P.F., presenta un braccio rispetto al piano medio della soletta $b=2.835 \text{ m}$ e quindi il momento torcente sulla soletta risulta pari a:

$$M_{\text{torc}} = q_t \cdot b = 23 \cdot (1.8 + 0.8 + 0.235) = 65.2 \text{ kNm/m}$$

Per il calcolo degli effetti locali sulla soletta tale momento torcente si traduce in una distribuzione di tensioni triangolare applicata su 3.10 m variabile linearmente tra -42.1 kN/m e 42.1 kN/m.

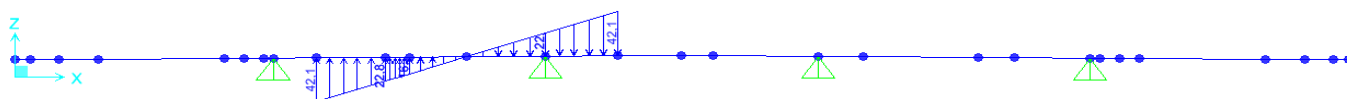


Figura 74: centrifuga LM71 (q4_LM71)

centrifuga SW/2 (q4_SW/2):

$$q_v = 150/1.40 = 107.2 \text{ kN/m} \quad (\text{carico verticale viaggiate al metro})$$

$$q_t = c \cdot q_v = 0.051 \cdot 107.5 = 5.44 \text{ kN/m} \quad (\text{azione orizzontale centrifuga al metro})$$

dove:

$$c = (V^2)/(127 \cdot R) \cdot f, \text{ coeff. definito al par. 5.70 per treno SW/2, con } V=100 \text{ Km/h, } R= 1550 \text{ m}$$

La forza q_t applicata secondo normativa ad 1.8 m al di sopra del P.F., presenta un braccio rispetto al piano medio della soletta $b=2.835 \text{ m}$ e quindi il momento torcente sulla soletta risulta pari a:

Relazione di Calcolo impalcato a struttura mista
Viadotto ferroviario – L=65 m

COMMESSA	LOTTO	CODIFICA	DOCUMENTO	REV.	FOGLIO
IF26	12	E ZZ CL	VI 05 07 003	A	129 di 162

$$M_{\text{torc}} = q_t \cdot b = 5.44 \cdot (1.8 + 0.8 + 0.235) = 15.4 \text{ kNm/m}$$

Per il calcolo degli effetti locali sulla soletta tale momento torcente si traduce in una distribuzione di tensioni triangolare applicata su 3.10 m variabile linearmente tra -10 kN/m e 10 kN/m.

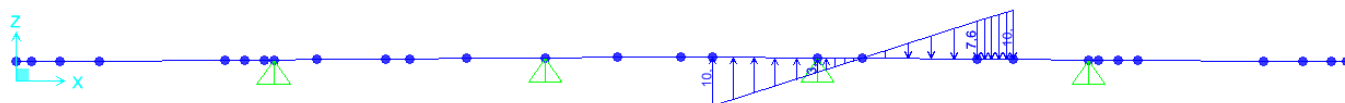


Figura 75: centrifuga SW/2 (q4_SW/2)

Nel calcolo delle sollecitazioni indotte dalla forza centrifuga sulla soletta è stata considerata la presenza di un solo treno di carico (LM71) o di due treni di carico (LM71+SW/2) in maniera tale da determinare, per le diverse sollecitazioni, la condizione più gravosa a seconda della sezione di calcestruzzo considerata.

8.2.5 Carico variabile sui marciapiedi (q_folla)

Per la verifica della sezione della soletta si applica un carico di folla pari a 10 kN/m².

Come prescritto tale carico non è da considerarsi contemporaneo ai convogli ferroviari.

8.2.6 Serpeggio (q5)

L'effetto della serpeggio su un carico viaggiante è il medesimo di quello indotto dall'azione centrifuga. Il calcolo della pressione esercitata, la cui azione concentrata è pari a 100 kN si può pensare distribuita su una lunghezza di 3 m, è riportato di seguito:

$$q_s = F_s / 3 = 100 / 3 = 33.3 \text{ kN/m} \quad (\text{azione orizzontale centrifuga al metro})$$

La forza q_s applicata secondo normativa alla sommità della rotaia più alta, presenta un braccio rispetto al piano medio della soletta $b=1.15$ m e quindi il momento torcente sulla soletta risulta pari a:

$$M_{\text{torc}} = q_s \cdot b = 33.3 \cdot 1.15 = 38.3 \text{ kNm/m}$$

Per il calcolo degli effetti locali sulla soletta tale momento torcente si traduce in una distribuzione di tensioni triangolare applicata su 3.10 m variabile linearmente tra -24.7 kN/m e 24.7 kN/m.

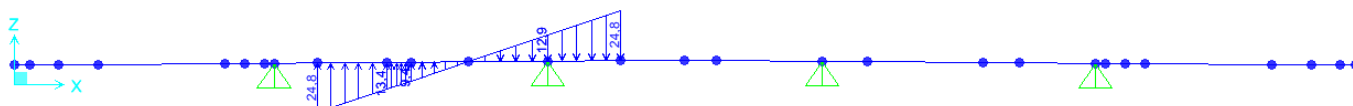
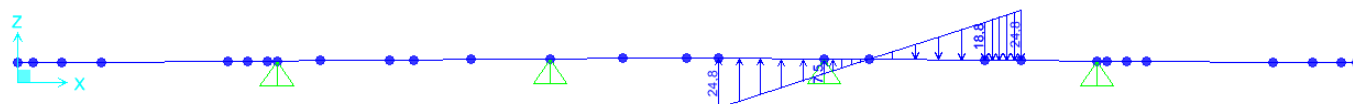


Figura 76: serpeggio binario 1 (q5_1treno)



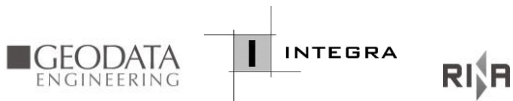
	ITINERARIO NAPOLI – BARI RADDOPPIO TRATTA CANCELLO-BENEVENTO II LOTTO FUNZIONALE FRASSO TELESINO – VITULANO 1° LOTTO FUNZIONALE FRASSO TELESINO – TELESE PROGETTO ESECUTIVO												
<i>Relazione di Calcolo impalcato a struttura mista Viadotto ferroviario – L=65 m</i>	<table border="1"> <thead> <tr> <th>COMMESSA</th> <th>LOTTO</th> <th>CODIFICA</th> <th>DOCUMENTO</th> <th>REV.</th> <th>FOGLIO</th> </tr> </thead> <tbody> <tr> <td>IF26</td> <td>12</td> <td>E ZZ CL</td> <td>VI 05 07 003</td> <td>A</td> <td>130 di 162</td> </tr> </tbody> </table>	COMMESSA	LOTTO	CODIFICA	DOCUMENTO	REV.	FOGLIO	IF26	12	E ZZ CL	VI 05 07 003	A	130 di 162
COMMESSA	LOTTO	CODIFICA	DOCUMENTO	REV.	FOGLIO								
IF26	12	E ZZ CL	VI 05 07 003	A	130 di 162								

Figura 77: serpeggio binario 2 (q5_2treno) (direzione-y)

Il serpeggio è stato considerato agente in entrambe i versi ed alternativamente su uno solo o su entrambi i binari in maniera da determinare quale fosse, per le diverse sollecitazioni, la condizione più gravosa a seconda della sezione di calcestruzzo considerata.

8.2.7 Vento (q6)

vento su barriere (q6_barriere):

L'azione su ogni barriera di altezza 4 m dal piano della soletta, vale:

$$q_{barr} = q_{v,1} * 4.00 = 2.39 * 4 = 9.56 \text{ kN/m} \quad (\text{azione orizzontale del vento al metro sulle barriere})$$

dove:

- $q_{v,1}$ = pressione del vento definita al par. 5.12

Considerando un braccio $b=2.2$ m (metà altezza della barriera più metà altezza della soletta) il momento agente sulla soletta ed applicato a modello risulta pari a:

$$M_{barr} = q_{barr} * b = 9.56 * (2+0.2) = 21.05 \text{ kNm/m}$$

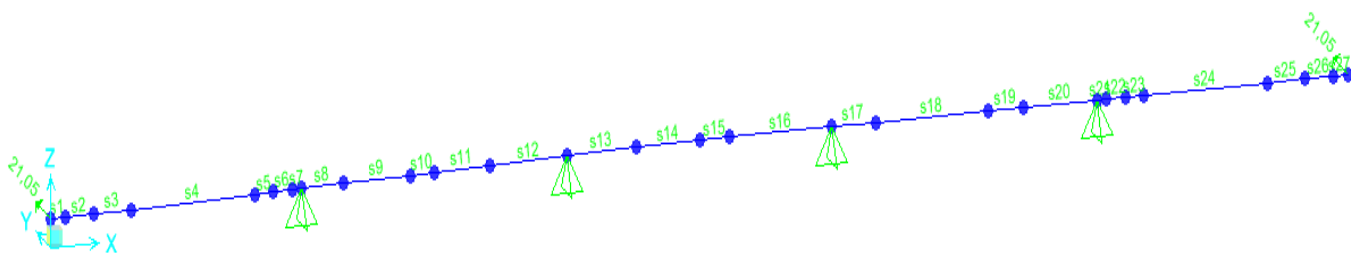


Figura 78: vento barriera (q6_barriere)

vento su treno (q6_treno):

L'effetto del vento su un treno è il medesimo di quello indotto dall'azione centrifuga. L'azione sul treno (indipendentemente dal numero di convogli) considerata agente su una fascia di altezza 4 metri dal P.F., vale:

$$q_{treno} = q_{v,1} * 4.00 = 2.39 * 4 = 9.56 \text{ kN/m} \quad (\text{azione orizzontale del vento al metro sul treno})$$

dove:

- $q_{v,1}$ = pressione del vento definita al par. 5.12

Tale azione presenta un braccio rispetto al piano medio della soletta $b=3.05$ m e quindi il momento torcente sulla soletta risulta pari a:

$$M_{\text{torc-vento}} = q_{\text{treno}} \cdot b = 9.56 \cdot 3.05 = 29.2 \text{ kNm/m}$$

Per il calcolo degli effetti locali sulla soletta tale momento torcente si traduce in una distribuzione di tensioni triangolare applicata su 3.10 m variabile linearmente tra -18.8 kN/m e 18.8 kN/m.

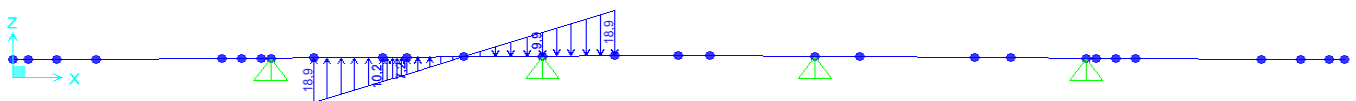


Figura 79: vento treno (q_{6_treno})

Nel calcolo delle sollecitazioni indotte sulla soletta il vento è stato considerato agente in entrambe i versi ed alternativamente sulle barriere antirumore o su un treno in maniera da determinare quale fosse, per le diverse sollecitazioni, la condizione più gravosa a seconda della sezione di calcestruzzo considerata.

8.2.8 Deragliamento (deragliamento)

Si riportano di seguito le posizioni del carico relativamente ai due casi di deragliamento indicati nelle Norme Ferroviarie. Tali posizioni sono state definite in maniera da determinare, per le diverse sollecitazioni, la condizione più gravosa a seconda della sezione di calcestruzzo considerata;

caso 1 (**deragliamento1**):

$$q_{\text{svio1}} = 60/0.45 = 133.00 \text{ kN/m.}$$



Figura 80: deragliamento1 (posizione a)



Figura 81: deragliamento1 (posizione b)

caso 2 (**deragliamento2**):

$$q_{\text{svio2}} = 80 \cdot 1.4/0.45 = 249.00 \text{ kN/m.}$$

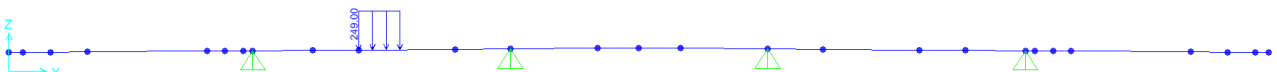


Figura 82: deragliamento2 (posizione a)



	<p>ITINERARIO NAPOLI – BARI RADDOPPIO TRATTA CANCELLO-BENEVENTO II LOTTO FUNZIONALE FRASSO TELESINO – VITULANO 1° LOTTO FUNZIONALE FRASSO TELESINO – TELESE PROGETTO ESECUTIVO</p>												
<p><i>Relazione di Calcolo impalcato a struttura mista</i> <i>Viadotto ferroviario – L=65 m</i></p>	<table border="1"> <thead> <tr> <th>COMMESSA</th> <th>LOTTO</th> <th>CODIFICA</th> <th>DOCUMENTO</th> <th>REV.</th> <th>FOGLIO</th> </tr> </thead> <tbody> <tr> <td>IF26</td> <td>12</td> <td>E ZZ CL</td> <td>VI 05 07 003</td> <td>A</td> <td>132 di 162</td> </tr> </tbody> </table>	COMMESSA	LOTTO	CODIFICA	DOCUMENTO	REV.	FOGLIO	IF26	12	E ZZ CL	VI 05 07 003	A	132 di 162
COMMESSA	LOTTO	CODIFICA	DOCUMENTO	REV.	FOGLIO								
IF26	12	E ZZ CL	VI 05 07 003	A	132 di 162								

Figura 83: deragliamento2 (posizione b)

Relazione di Calcolo impalcato a struttura mista
Viadotto ferroviario – L=65 m

COMMESSA	LOTTO	CODIFICA	DOCUMENTO	REV.	FOGLIO
IF26	12	E ZZ CL	VI 05 07 003	A	133 di 162

8.3 Combinazione azioni

I casi di carico, descritti al par.8.2, sono stati combinati secondo quanto riportato al cap. 6 in maniera tale da massimizzare gli sforzi di taglio e momento nelle sezioni di verifica della soletta, riportate di seguito:

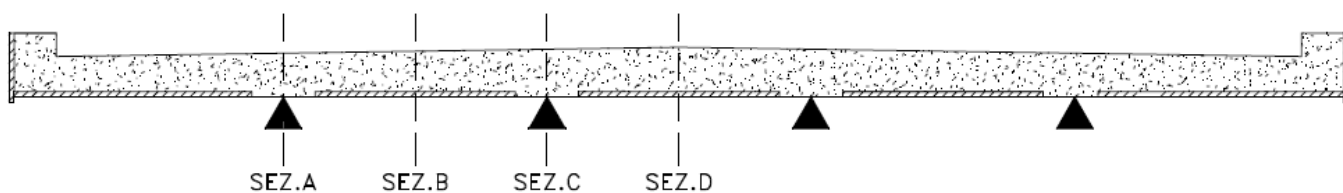


Figura 84: sezioni verifica

In particolare:

sez. A: massimo taglio e massimo momento negativo

sez. B: massimo momento positivo

sez. C: massimo taglio e massimo momento negativo

sez. D: massimo momento positivo

Le combinazioni di carico considerate sono riportate nelle tabelle seguenti:

ITINERARIO NAPOLI – BARI
RADDOPPIO TRATTA CANCELLO-BENEVENTO
II LOTTO FUNZIONALE FRASSO TELESINO – VITULANO
1° LOTTO FUNZIONALE FRASSO TELESINO – TELESE
PROGETTO ESECUTIVO

Relazione di Calcolo impalcato a struttura mista
Viadotto ferroviario – L=65 m

COMMESSA	LOTTO	CODIFICA	DOCUMENTO	REV.	FOGLIO
IF26	12	E ZZ CL	VI 05 07 003	A	134 di 162

TABLE: Combination Definitions

ComboName Text	ComboType Text	CaseName Text	ScaleFactor Unitless
SLU1	Linear Add	DEAD	1.35
SLU1		g2_portati	1.35
SLU1		g2_barriere	1.35
SLU1		g2_ballast	1.5
SLU1		q1_LM71	1.45
SLU1		q4_LM71(-)	1.45
SLU1		q5_treno(-)	1.45
SLU1		q6_treno(-)	0.9
SLU2	Linear Add	DEAD	1.35
SLU2		g2_portati	1.35
SLU2		g2_barriere	1.35
SLU2		g2_ballast	1.5
SLU2		q1_LM71	1.45
SLU3	Linear Add	DEAD	1.35
SLU3		g2_portati	1.35
SLU3		g2_barriere	1.35
SLU3		g2_ballast	1.5
SLU3		q1_LM71	1.45
SLU3		q1_SW2	1.45
SLU4	Linear Add	DEAD	1.35
SLU4		g2_portati	1.35
SLU4		g2_barriere	1.35
SLU4		g2_ballast	1.5
SLU4		q1_LM71	1.45
SLU4		q4_LM71	1.45
SLU4		q5_treno(+)	1.45
SLU4		q6_treno(+)	0.9
SLU5	Linear Add	DEAD	1.35
SLU5		g2_portati	1.35
SLU5		g2_barriere	1.35
SLU5		g2_ballast	1.5
SLU5		q1_LM71	1.45
SLU5		q4_LM71	1.45
SLU5		q5_treno(+)	1.45
SLU5		q6_treno(+)	0.9
SLU5		q1_SW2	1.45
SLU5		q5_2treni(-)	1.45
SLU6	Linear Add	DEAD	1.35
SLU6		g2_portati	1.35
SLU6		g2_barriere	1.35
SLU6		g2_ballast	1.5
SLU6		q6_barriere(-)	1.5
SLU6		q_folla	1.5

TABLE: Combination Definitions

ComboName Text	ComboType Text	CaseName Text	ScaleFactor Unitless
SECar1	Linear Add	DEAD	1
SECar1		g2_portati	1
SECar1		g2_barriere	1
SECar1		g2_ballast	1
SECar1		q1_LM71	1
SECar1		q4_LM71(-)	1
SECar1		q5_treno(-)	1
SECar1		q6_treno(-)	0.6
SECar2	Linear Add	DEAD	1
SECar2		g2_portati	1
SECar2		g2_barriere	1
SECar2		g2_ballast	1
SECar2		q1_LM71	1
SECar3	Linear Add	DEAD	1
SECar3		g2_portati	1
SECar3		g2_barriere	1
SECar3		g2_ballast	1
SECar3		q1_LM71	1
SECar3		q1_SW2	1
SECar4	Linear Add	DEAD	1
SECar4		g2_portati	1
SECar4		g2_barriere	1
SECar4		g2_ballast	1
SECar4		q1_LM71	1
SECar4		q4_LM71	1
SECar4		q5_treno(+)	1
SECar4		q6_treno(+)	0.6
SECar5	Linear Add	DEAD	1
SECar5		g2_portati	1
SECar5		g2_barriere	1
SECar5		g2_ballast	1
SECar5		q1_LM71	1
SECar5		q4_LM71	1
SECar5		q5_treno(+)	1
SECar5		q6_treno(+)	0.6
SECar5		q1_SW2	1
SECar5		q5_2treni(-)	1
SECar6	Linear Add	DEAD	1
SECar6		g2_portati	1
SECar6		g2_barriere	1
SECar6		g2_ballast	1
SECar6		q6_barriere(-)	1
SECar6		q_folla	1

ITINERARIO NAPOLI – BARI
RADDOPPIO TRATTA CANCELLO-BENEVENTO
II LOTTO FUNZIONALE FRASSO TELESINO – VITULANO
1° LOTTO FUNZIONALE FRASSO TELESINO – TELESE
PROGETTO ESECUTIVO

Relazione di Calcolo impalcato a struttura mista
Viadotto ferroviario – L=65 m

COMMESSA	LOTTO	CODIFICA	DOCUMENTO	REV.	FOGLIO
IF26	12	E ZZ CL	VI 05 07 003	A	135 di 162

TABLE: Combination Definitions				TABLE: Combination Definitions			
ComboName	ComboType	CaseName	ScaleFactor	ComboName	ComboType	CaseName	ScaleFactor
Text	Text	Text	Unitless	Text	Text	Text	Unitless
SLEfreq1	Linear Add	DEAD	1	SLEqp	Linear Add	DEAD	1
SLEfreq1		g2_portati	1	SLEqp		g2_portati	1
SLEfreq1		g2_barriere	1	SLEqp		g2_barriere	1
SLEfreq1		g2_ballast	1	SLEqp		g2_ballast	1
SLEfreq1		q1_LM71	0.8	Eccezionale1a	Linear Add	DEAD	1
SLEfreq1		q4_LM71(-)	0.8	Eccezionale1a		g2_portati	1
SLEfreq1		q5_1treno(-)	0.8	Eccezionale1a		g2_barriere	1
SLEfreq1		q6_treno(-)	0.5	Eccezionale1a		g2_ballast	1
SLEfreq2	Linear Add	DEAD	1	Eccezionale1a		deragl1a	1
SLEfreq2		g2_portati	1	Eccezionale1b	Linear Add	DEAD	1
SLEfreq2		g2_barriere	1	Eccezionale1b		g2_portati	1
SLEfreq2		g2_ballast	1	Eccezionale1b		g2_barriere	1
SLEfreq2		q1_LM71	0.8	Eccezionale1b		g2_ballast	1
SLEfreq3	Linear Add	DEAD	1	Eccezionale1b		deragl1b	1
SLEfreq3		g2_portati	1	Eccezionale2a	Linear Add	DEAD	1
SLEfreq3		g2_barriere	1	Eccezionale2a		g2_portati	1
SLEfreq3		g2_ballast	1	Eccezionale2a		g2_barriere	1
SLEfreq3		q1_LM71	0.8	Eccezionale2a		g2_ballast	1
SLEfreq3		q1_SW2	0.8	Eccezionale2a		deragl2a	1
SLEfreq4	Linear Add	DEAD	1	Eccezionale2b	Linear Add	DEAD	1
SLEfreq4		g2_portati	1	Eccezionale2b		g2_portati	1
SLEfreq4		g2_barriere	1	Eccezionale2b		g2_barriere	1
SLEfreq4		g2_ballast	1	Eccezionale2b		g2_ballast	1
SLEfreq4		q1_LM71	0.8	Eccezionale2b		deragl2b	1
SLEfreq4		q4_LM71	0.8				
SLEfreq4		q5_1treno(+)	0.8				
SLEfreq4		q6_treno(+)	0.5				
SLEfreq5	Linear Add	DEAD	1				
SLEfreq5		g2_portati	1				
SLEfreq5		g2_barriere	1				
SLEfreq5		g2_ballast	1				
SLEfreq5		q1_LM71	0.8				
SLEfreq5		q4_LM71	0.8				
SLEfreq5		q5_1treno(+)	0.8				
SLEfreq5		q6_treno(+)	0.5				
SLEfreq5		q1_SW2	0.8				
SLEfreq5		q5_2treni(-)	0.8				
SLEfreq6	Linear Add	DEAD	1				
SLEfreq6		g2_portati	1				
SLEfreq6		g2_barriere	1				
SLEfreq6		g2_ballast	1				
SLEfreq6		q6_barriere(-)	0.5				
SLEfreq6		q_folla	1				

Tali combinazioni sono state definite per ognuno dei modelli di cui al par. 8.1. I segni più e meno indicati tra parentesi al fianco del singolo caso di carico (es. q5_1treno(+)) indicano il verso in cui sono stati considerati tali casi di carico.

8.4 Verifiche

Nelle verifiche della soletta il contributo delle dalles è stato considerato solo nel caso di momento negativo (appoggio) e quindi compressione delle stesse. Al contrario, a favore di sicurezza, è stato trascurato il suo contributo nel caso di momento positivo (campata).

Si riportano nelle tabelle seguenti, per gli stati limite indicati, le sollecitazioni massime considerate nella verifica delle sezioni della soletta; tali valori sono stati determinati involupando le sollecitazioni dovute alle combinazioni di carico definite al par. 8.3.

Sezione A			Sezione B			Sezione C			Sezione D		
	Momento	Taglio									
SLU	-189,6	269,6	SLU	93,2	71,7	SLU	-98,5	233,7	SLU	41,0	35,9
SLE car	-135,6	189,5	SLE car	61,8	51,5	SLE car	-66,7	161,4	SLE car	29,6	24,7
SLE freq	-125,1	167,4	SLE freq	45,4	46,4	SLE freq	-53,6	136,8	SLE freq	29,5	19,9
SLE qp	-92,6	78,2	SLE qp	-20,9	32,3	SLE qp	-1,3	37,5	SLE qp	25,0	0,1

Le immagini sotto mostrano i diagrammi delle sollecitazioni relativi ad alcuni dei valori riportati nelle tabelle sopra:

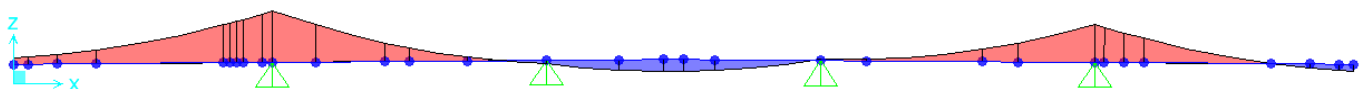


Figura 85: massimo momento negativo sez. A (combinazione SLU6)

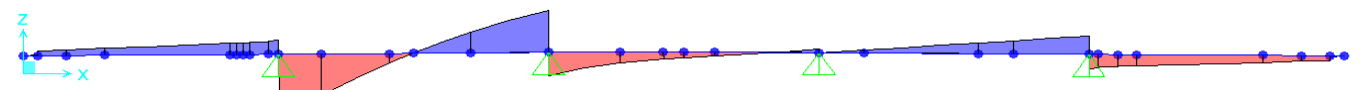


Figura 86: massimo taglio sez. A (combinazione SLU1)

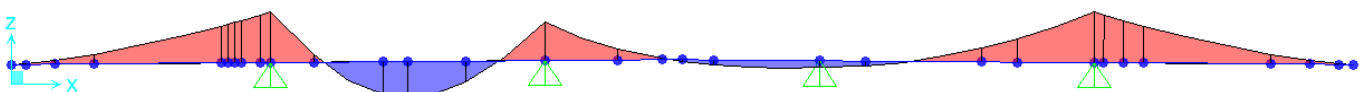


Figura 87: massimo momento positivo sez. B (combinazione SLU1)

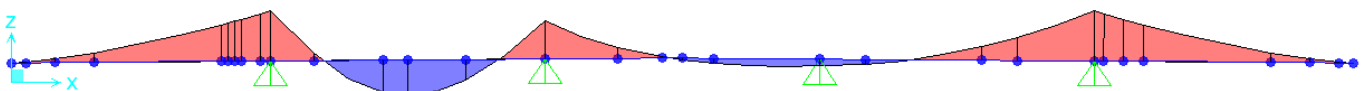


Figura 88: massimo momento negativo sez. C (combinazione SLU1)

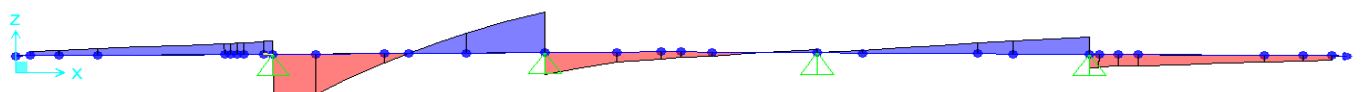


Figura 89: massimo taglio sez. C (combinazione SLU1)

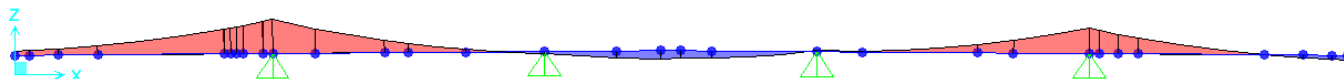


Figura 90: massimo momento positivo sez. D (combinazione SLU4)

8.4.1 Verifiche a flessione (SLU - SLE)

8.4.1.1 Sezione A

SEZIONE A : Dati della Sezione Soletta con Armature Trasversale

B_{sol} =	100	cm	Striscia di 1m Soletta
H_{sol} =	41	cm	Altezza Soletta
s_{pred} =	5	cm	Spessore Predalla (non collaborante)
H_{sez} =	41	cm	Altezza Sezione considerata nei calcoli
$copr_{sup}$ =	7	cm	Copriferro Superiore
Φ_{sup} =	24	mm	Ferri Trasversali Superiori
$n_{\Phi_{sup}}$ =	5		Numero Ferri Trasversali Superiori
d_{sup} =	8	cm	Altezza Utile Ferri Superiori
Φ_{inf} =	20	mm	Ferri Trasversali Inferiori
$n_{\Phi_{inf}}$ =	5		Numero Ferri Trasversali Inferiori
d_{inf} =	34	cm	Altezza Utile Ferri Inferiori
$\Phi_{agg-sup}$ =	20	mm	Ferri Aggiuntivi Trasv. Superiori
$n_{agg-sup}$ =	5		Numero Ferri Aggiuntivi Trasv. Superiori
$d_{agg-sup}$ =	8	cm	Altezza Utile Ferri Aggiuntivi Superiori

Materiali

CLS:	C32/40
ACCIAIO:	B450C

Sollecitazioni

	Momento	Taglio
SLU	-189,6	269,6
SLE car	-135,6	189,5
SLE freq	-125,1	167,4
SLE qp	-92,6	78,2

Riepilogo :

Sezione di calcolo : $\left\{ \begin{array}{l} H = 41 \text{ cm} \\ B = 100 \text{ cm} \end{array} \right.$

Ferri utilizzati: $\left\{ \begin{array}{l} \text{Armatura Superiore: } \Phi 24/20 + \Phi 20/20 \\ \text{Armatura Inferiore: } \Phi 20/20 \end{array} \right. \quad \begin{array}{l} A\Phi_{sup} = 3833 \text{ mm}^2 \\ A\Phi_{inf} = 1571 \text{ mm}^2 \end{array}$

La sezione A come mostrato in **Figura 84: sezioni verifica** si trova in corrispondenza dell'anima della trave di bordo. A favore di sicurezza i valori di momento flettente che si ottengono in asse (riportati nelle tabelle di par. 8.4) non vengono ridotti per tener conto del fatto che la reazione vincolare esplicita dalle anime delle travi non è concentrata ma distribuita per una certa larghezza grazie alla presenza della piattabanda superiore metallica.

Si considera un'apertura massima delle fessure pari $w_{amm} = 0.2 \text{ mm}$.

DATI GENERALI SEZIONE IN C.A.

NOME SEZIONE: Sezione A

Descrizione Sezione:	
Metodo di calcolo resistenza:	Stati Limite Ultimi
Tipologia sezione:	Sezione generica
Normativa di riferimento:	N.T.C.
Percorso sollecitazione:	A Sforzo Norm. costante
Condizioni Ambientali:	Molto aggressive
Tipo di sollecitazione:	Retta (asse neutro sempre parallelo all'asse X)
Riferimento Sforzi assegnati:	Assi x,y principali d'inerzia
Riferimento alla sismicità:	Zona non sismica

Relazione di Calcolo impalcato a struttura mista
Viadotto ferroviario – L=65 m

COMMESSA	LOTTO	CODIFICA	DOCUMENTO	REV.	FOGLIO
IF26	12	E ZZ CL	VI 05 07 003	A	138 di 162

CARATTERISTICHE DI RESISTENZA DEI MATERIALI IMPIEGATI

CALCESTRUZZO -	Classe:	C32/40
	Resis. compr. di calcolo fcd:	18.810 MPa
	Resis. compr. ridotta fcd':	0.000 MPa
	Def.unit. max resistenza ec2:	0.0020
	Def.unit. ultima ecu:	0.0035
	Diagramma tensione-deformaz.:	Parabola-Rettangolo
	Modulo Elastico Normale Ec:	33346.0 MPa
	Resis. media a trazione fctm:	3.020 MPa
	Coeff. Omogen. S.L.E.:	15.00
	Coeff. Omogen. S.L.E.:	15.00
	Sc limite S.L.E. comb. Frequenti:	160.00 daN/cm ²
	Ap.Fessure limite S.L.E. comb. Frequenti:	0.200 mm
	Sc limite S.L.E. comb. Q.Permanenti:	0.00 Mpa
Ap.Fessure limite S.L.E. comb. Q.Permanenti:	0.200 mm	

ACCIAIO -	Tipo:	B450C
	Resist. caratt. snervam. fyk:	450.00 MPa
	Resist. caratt. rottura ftk:	450.00 MPa
	Resist. snerv. di calcolo fyd:	391.30 MPa
	Resist. ultima di calcolo ftd:	391.30 MPa
	Deform. ultima di calcolo Epu:	0.068
	Modulo Elastico Ef	2000000 daN/cm ²
	Diagramma tensione-deformaz.:	Bilineare finito
	Coeff. Aderenza istantaneo $\beta_1 \cdot \beta_2$:	1.00
	Coeff. Aderenza differito $\beta_1 \cdot \beta_2$:	0.50
Sf limite S.L.E. Comb. Rare:	360.00 MPa	

CARATTERISTICHE DOMINIO CONGLOMERATO

Forma del Dominio: Poligonale
Classe Conglomerato: C32/40

N°vertice:	X [cm]	Y [cm]
1	-50.0	0.0
2	50.0	0.0
3	50.0	-41.0
4	-50.0	-41.0

DATI BARRE ISOLATE

N°Barra	X [cm]	Y [cm]	DiamØ[mm]
1	-45.0	-8.0	24
2	35.0	-8.0	24
3	-40.0	-34.0	20
4	40.0	-34.0	20
5	-36.0	-8.0	20
6	45.0	-8.0	20

DATI GENERAZIONI LINEARI DI BARRE

N°Gen. Numero assegnato alla singola generazione lineare di barre
N°Barra Ini. Numero della barra iniziale cui si riferisce la generazione

**Relazione di Calcolo impalcato a struttura mista
Viadotto ferroviario – L=65 m**

COMMESSA	LOTTO	CODIFICA	DOCUMENTO	REV.	FOGLIO
IF26	12	E ZZ CL	VI 05 07 003	A	139 di 162

N°Barra Fin. Numero della barra finale cui si riferisce la generazione
 N°Barre Numero di barre generate equidistanti cui si riferisce la generazione
 Ø Diametro in mm delle barre della generazione

N°Gen.	N°Barra Ini.	N°Barra Fin.	N°Barre	Ø
1	1	2	3	24
2	3	4	3	20
3	5	6	3	20

ST.LIM.ULTIMI - SFORZI PER OGNI COMBINAZIONE ASSEGNATA

N Sforzo normale [kN] applicato nel Baric. (+ se di compressione)
 Mx Momento flettente [daNm] intorno all'asse X di riferimento delle coordinate
 con verso positivo se tale da comprimere il lembo sup. della sez.
 Vy Componente del Taglio [kN] parallela all'asse Y di riferimento delle coordinate

N°Comb.	N	Mx	Vy
1	0.00	-189.60	0.00

COMB. RARE (S.L.E.) - SFORZI PER OGNI COMBINAZIONE ASSEGNATA

N Sforzo normale [kN] applicato nel Baricentro (+ se di compressione)
 Mx Momento flettente [kNm] intorno all'asse X di riferimento (tra parentesi Mom.Fessurazione)
 con verso positivo se tale da comprimere il lembo superiore della sezione

N°Comb.	N	Mx	My
1	0.00	-135.60	0.00

COMB. FREQUENTI (S.L.E.) - SFORZI PER OGNI COMBINAZIONE ASSEGNATA

N Sforzo normale [kN] applicato nel Baricentro (+ se di compressione)
 Mx Momento flettente [kNm] intorno all'asse X di riferimento (tra parentesi Mom.Fessurazione)
 con verso positivo se tale da comprimere il lembo superiore della sezione

N°Comb.	N	Mx	My
1	0.00	-135.60 (-107.99)	0.00 (0.00)
2	0.00	-125.10 (-107.99)	0.00 (0.00)

COMB. QUASI PERMANENTI (S.L.E.) - SFORZI PER OGNI COMBINAZIONE ASSEGNATA

N Sforzo normale [kN] applicato nel Baricentro (+ se di compressione)
 Mx Momento flettente [kNm] intorno all'asse X di riferimento (tra parentesi Mom.Fessurazione)
 con verso positivo se tale da comprimere il lembo superiore della sezione

N°Comb.	N	Mx	My
1	0.00	-92.60 (-107.99)	0.00 (0.00)

RISULTATI DEL CALCOLO

Sezione verificata per tutte le combinazioni assegnate

Copriferro netto minimo barre longitudinali: 3.8 cm
 Interferro netto minimo barre longitudinali: 6.8 cm

Relazione di Calcolo impalcato a struttura mista
Viadotto ferroviario – L=65 m

COMMESSA	LOTTO	CODIFICA	DOCUMENTO	REV.	FOGLIO
IF26	12	E ZZ CL	VI 05 07 003	A	140 di 162

METODO AGLI STATI LIMITE ULTIMI - RISULTATI PRESSO-TENSO FLESSIONE

Ver S = combinazione verificata / N = combin. non verificata
N Sforzo normale assegnato [kN] nel baricentro B sezione cls.(positivo se di compressione)
Mx Momento flettente assegnato [kNm] riferito all'asse x princ. d'inerzia
N ult Sforzo normale ultimo [kN] nel baricentro B sezione cls.(positivo se di compress.)
Mx ult Momento flettente ultimo [kNm] riferito all'asse x princ. d'inerzia
Mis.Sic. Misura sicurezza = rapporto vettoriale tra (N ult,Mx ult,My ult) e (N,Mx,My)
Verifica positiva se tale rapporto risulta >=1.000
As Tesa Area armature [cm²] in zona tesa (solo travi). Tra parentesi l'area minima di normativa

N°Comb	Ver	N	Mx	N ult	Mx ult	Mis.Sic.	As Tesa
1	S	0.00	-189.60	0.00	-434.74	2.293	38.3(5.4)

METODO AGLI STATI LIMITE ULTIMI - DEFORMAZIONI UNITARIE ALLO STATO ULTIMO

ec max Deform. unit. massima del conglomerato a compressione
ec 3/7 Deform. unit. del conglomerato nella fibra a 3/7 dell'altezza efficace
Xc max Ascissa in cm della fibra corrisp. a ec max (sistema rif. X,Y,O sez.)
Yc max Ordinata in cm della fibra corrisp. a ec max (sistema rif. X,Y,O sez.)
es min Deform. unit. minima nell'acciaio (negativa se di trazione)
Xs min Ascissa in cm della barra corrisp. a es min (sistema rif. X,Y,O sez.)
Ys min Ordinata in cm della barra corrisp. a es min (sistema rif. X,Y,O sez.)
es max Deform. unit. massima nell'acciaio (positiva se di compress.)
Xs max Ascissa in cm della barra corrisp. a es max (sistema rif. X,Y,O sez.)
Ys max Ordinata in cm della barra corrisp. a es max (sistema rif. X,Y,O sez.)

N°Comb	ec max	ec 3/7	Xc max	Yc max	es min	Xs min	Ys min	es max	Xs max	Ys max
1	0.00350	-0.00370	-50.0	-41.0	0.00063	-40.0	-34.0	-0.01002	45.0	-8.0

POSIZIONE ASSE NEUTRO PER OGNI COMB. DI RESISTENZA

a, b, c Coeff. a, b, c nell'eq. dell'asse neutro $aX+bY+c=0$ nel rif. X,Y,O gen.
x/d Rapp. di duttilità a rottura in presenza di sola fless.(travi)
C.Rid. Coeff. di riduz. momenti per sola flessione in travi continue

N°Comb	a	b	c	x/d	C.Rid.
1	0.000000000	-0.000409778	-0.013300899	0.259	0.764

COMBINAZIONI RARE IN ESERCIZIO - MASSIME TENSIONI NORMALI ED APERTURA FESSURE

Ver S = comb. verificata/ N = comb. non verificata
Sc max Massima tensione (positiva se di compressione) nel conglomerato [Mpa]
Xc max, Yc max Ascissa, Ordinata [cm] del punto corrisp. a Sc max (sistema rif. X,Y,O)
Sf min Minima tensione (negativa se di trazione) nell'acciaio [Mpa]
Xs min, Ys min Ascissa, Ordinata [cm] della barra corrisp. a Sf min (sistema rif. X,Y,O)
Ac eff. Area di calcestruzzo [cm²] in zona tesa considerata aderente alle barre
As eff. Area barre [cm²] in zona tesa considerate efficaci per l'apertura delle fessure
D barre Distanza tra le barre tese [cm] ai fini del calcolo dell'apertura fessure
Beta12 Prodotto dei coeff. di aderenza delle barre $Beta1 \cdot Beta2$

Relazione di Calcolo impalcato a struttura mista
Viadotto ferroviario – L=65 m

COMMESSA	LOTTO	CODIFICA	DOCUMENTO	REV.	FOGLIO
IF26	12	E ZZ CL	VI 05 07 003	A	141 di 162

N°Comb	Ver	Sc max	Xc max	Yc max	Sf min	Xs min	Ys min	Ac eff.	As eff.	D barre	Beta12
1	S	6.01	50.0	-41.0	-126.1	24.8	-8.0	1350	38.3	9.8	1.00

COMBINAZIONI FREQUENTI IN ESERCIZIO - MASSIME TENSIONI NORMALI ED APERTURA FESSURE

N°Comb	Ver	Sc max	Xc max	Yc max	Sf min	Xs min	Ys min	Ac eff.	As eff.	D barre	Beta12
1	S	6.01	50.0	-41.0	-126.1	24.8	-8.0	1350	38.3	9.8	0.50
2	S	5.55	50.0	-41.0	-116.3	24.8	-8.0	1350	38.3	9.8	0.50

COMBINAZIONI FREQUENTI IN ESERCIZIO - APERTURA FESSURE [§B.6.6 DM96]

Ver.	Esito della verifica
S1	Massima tensione [Mpa] di trazione del calcestruzzo, valutata in sezione non fessurata
S2	Minima di trazione [Mpa] del cls. (in sezione non fessurata) nella fibra più interna dell'area Ac eff
k2	= 0.4 per barre ad aderenza migliorata
k3	= (S1 + S2)/(2*S1) con riferimento all'area tesa Ac eff
Ø	Diametro [mm] medio delle barre tese comprese nell'area efficace Ac eff
Cf	Copriferro [mm] netto calcolato con riferimento alla barra più tesa
Psi	= 1-Beta12*(Ssr/Ss) ² = 1-Beta12*(fctm/S2) ² = 1-Beta12*(Mfess/M) ² [B.6.6 DM96]
e sm	Deformazione unitaria media tra le fessure [4.3.1.7.1.3 DM96]. Il valore limite = 0.4*Ss/Es è tra parentesi
srm	Distanza media tra le fessure [mm]
wk	Valore caratteristico [mm] dell'apertura fessure = 1.7 * e sm * srm . Valore limite tra parentesi
MX fess.	Componente momento di prima fessurazione intorno all'asse X [kNm]
MY fess.	Componente momento di prima fessurazione intorno all'asse Y [kNm]

Comb.	Ver	S1	S2	k3	Ø	Cf	Psi	e sm	srm	wk	Mx fess	My fess
1	S	-3.8	-1.2	0.166	22	70.0	0.683	0.00043 (0.00025)	211	0.155 (0.20)	-107.99	0.00
2	S	-3.5	-1.1	0.166	22	70.0	0.627	0.00036 (0.00023)	211	0.131 (0.20)	-107.99	0.00

COMBINAZIONI QUASI PERMANENTI IN ESERCIZIO - MASSIME TENSIONI NORMALI ED APERTURA FESSURE

N°Comb	Ver	Sc max	Xc max	Yc max	Sf min	Xs min	Ys min	Ac eff.	As eff.	D barre	Beta12
1	S	4.10	50.0	-41.0	-86.1	24.8	-8.0	1350	38.3	9.8	0.50

COMBINAZIONI QUASI PERMANENTI IN ESERCIZIO - APERTURA FESSURE [§B.6.6 DM96]

Comb.	Ver	S1	S2	k3	Ø	Cf	Psi	e sm	srm	wk	Mx fess	My fess
1	S	-2.6	-0.8	0.166	22	70.0	0.320	0.00017 (0.00017)	211	0.062 (0.20)	-107.99	0.00

Relazione di Calcolo impalcato a struttura mista
Viadotto ferroviario – L=65 m

COMMESSA	LOTTO	CODIFICA	DOCUMENTO	REV.	FOGLIO
IF26	12	E ZZ CL	VI 05 07 003	A	142 di 162

8.4.1.2 Sezione B

SEZIONE B : Dati della Sezione Soletta con Armature Trasversale

B_{sol} =	100	cm	Striscia di 1m Soletta
H_{sol} =	43	cm	Altezza Soletta
S_{pred} =	5	cm	Spessore Predalla (non collaborante)
H_{sez} =	38	cm	Altezza Sezione considerata nei calcoli
$copr_{sup}$ =	7	cm	Copriferro Superiore
Φ_{sup} =	24	mm	Ferri Trasversali Superiori
$n_{\Phi_{sup}}$ =	5		Numero Ferri Trasversali Superiori
d_{sup} =	8	cm	Altezza Utile Ferri Superiori
Φ_{inf} =	20	mm	Ferri Trasversali Inferiori
$n_{\Phi_{inf}}$ =	5		Numero Ferri Trasversali Inferiori
d_{inf} =	36	cm	Altezza Utile Ferri Inferiori

Materiali

CLS:	C32/40
ACCIAIO:	B450C

Sollecitazioni

	Momento	Taglio
SLU	93,2	71,7
SLE car	61,8	51,5
SLE freq	45,4	46,4
SLE qp	-20,9	32,3

Riepilogo :

Sezione di calcolo : $\left\{ \begin{array}{l} H = 38 \text{ cm} \\ B = 100 \text{ cm} \end{array} \right.$

Ferri utilizzati: $\left\{ \begin{array}{l} \text{Armatura Superiore: } \Phi 24/20 \\ \text{Armatura Inferiore: } \Phi 20/20 \end{array} \right.$ $A_{\Phi_{sup}} = 2262 \text{ mm}^2$
 $A_{\Phi_{inf}} = 1571 \text{ mm}^2$

La sezione B come mostrato in **Figura 84: sezioni verifica**, rappresenta la sezione di mezzera della campata tra la trave di bordo e la trave centrale. Nei calcoli la predalla non viene considerata collaborante.

Si considera un'apertura massima delle fessure pari $w_{amm} = 0.2 \text{ mm}$.

DATI GENERALI SEZIONE IN C.A.

NOME SEZIONE: Sezione B

Descrizione Sezione:

Metodo di calcolo resistenza:	Stati Limite Ultimi
Tipologia sezione:	Sezione generica
Normativa di riferimento:	N.T.C.
Percorso sollecitazione:	A Sforzo Norm. costante
Condizioni Ambientali:	Molto aggressive
Tipo di sollecitazione:	Retta (asse neutro sempre parallelo all'asse X)
Riferimento Sforzi assegnati:	Assi x,y principali d'inerzia
Riferimento alla sismicità:	Zona non sismica

CARATTERISTICHE DI RESISTENZA DEI MATERIALI IMPIEGATI

CALCESTRUZZO -	Classe:	C32/40
	Resis. compr. di calcolo fcd:	18.810 MPa
	Resis. compr. ridotta fcd':	0.000 MPa
	Def.unit. max resistenza ec2:	0.0020
	Def.unit. ultima ecu:	0.0035
	Diagramma tensione-deformaz.:	Parabola-Rettangolo
	Modulo Elastico Normale Ec:	33346.0 MPa
	Resis. media a trazione fctm:	3.020 MPa
	Coeff. Omogen. S.L.E.:	15.00
	Coeff. Omogen. S.L.E.:	15.00
	Sc limite S.L.E. comb. Frequenti:	160.00 daN/cm ²

*Relazione di Calcolo impalcato a struttura mista
Viadotto ferroviario – L=65 m*

COMMESSA	LOTTO	CODIFICA	DOCUMENTO	REV.	FOGLIO
IF26	12	E ZZ CL	VI 05 07 003	A	143 di 162

ACCIAIO -

Ap.Fessure limite S.L.E. comb. Frequenti:	0.200	mm
Sc limite S.L.E. comb. Q.Permanenti:	0.00	Mpa
Ap.Fessure limite S.L.E. comb. Q.Permanenti:	0.200	mm
Tipo:	B450C	
Resist. caratt. snervam. fyk:	450.00	MPa
Resist. caratt. rottura ftk:	450.00	MPa
Resist. snerv. di calcolo fyd:	391.30	MPa
Resist. ultima di calcolo ftd:	391.30	MPa
Deform. ultima di calcolo Epu:	0.068	
Modulo Elastico Ef	2000000	daN/cm ²
Diagramma tensione-deformaz.:	Bilineare finito	
Coeff. Aderenza istantaneo $\beta_1 \cdot \beta_2$:	1.00	
Coeff. Aderenza differito $\beta_1 \cdot \beta_2$:	0.50	
Sf limite S.L.E. Comb. Rare:	360.00	MPa

CARATTERISTICHE DOMINIO CONGLOMERATO

Forma del Dominio: Poligonale
Classe Conglomerato: C32/40

N°vertice:	X [cm]	Y [cm]
1	-50.0	0.0
2	50.0	0.0
3	50.0	-38.0
4	-50.0	-38.0

DATI BARRE ISOLATE

N°Barra	X [cm]	Y [cm]	DiamØ[mm]
1	-40.0	-8.0	24
2	40.0	-8.0	24
3	-40.0	-36.0	20
4	40.0	-36.0	20

DATI GENERAZIONI LINEARI DI BARRE

N°Gen. Numero assegnato alla singola generazione lineare di barre
N°Barra Ini. Numero della barra iniziale cui si riferisce la generazione
N°Barra Fin. Numero della barra finale cui si riferisce la generazione
N°Barre Numero di barre generate equidistanti cui si riferisce la generazione
Ø Diametro in mm delle barre della generazione

N°Gen.	N°Barra Ini.	N°Barra Fin.	N°Barre	Ø
1	1	2	3	24
2	3	4	3	20

ST.LIM.ULTIMI - SFORZI PER OGNI COMBINAZIONE ASSEGNATA

N Sforzo normale [kN] applicato nel Baric. (+ se di compressione)
Mx Momento flettente [daNm] intorno all'asse X di riferimento delle coordinate con verso positivo se tale da comprimere il lembo sup. della sez.
Vy Componente del Taglio [kN] parallela all'asse Y di riferimento delle coordinate

Relazione di Calcolo impalcato a struttura mista
Viadotto ferroviario – L=65 m

COMMESSA	LOTTO	CODIFICA	DOCUMENTO	REV.	FOGLIO
IF26	12	E ZZ CL	VI 05 07 003	A	144 di 162

N°Comb.	N	Mx	Vy
1	0.00	93.20	0.00

COMB. RARE (S.L.E.) - SFORZI PER OGNI COMBINAZIONE ASSEGNATA

N Sforzo normale [kN] applicato nel Baricentro (+ se di compressione)
Mx Momento flettente [kNm] intorno all'asse X di riferimento (tra parentesi Mom.Fessurazione)
con verso positivo se tale da comprimere il lembo superiore della sezione

N°Comb.	N	Mx	My
1	0.00	61.80	0.00

COMB. FREQUENTI (S.L.E.) - SFORZI PER OGNI COMBINAZIONE ASSEGNATA

N Sforzo normale [kN] applicato nel Baricentro (+ se di compressione)
Mx Momento flettente [kNm] intorno all'asse X di riferimento (tra parentesi Mom.Fessurazione)
con verso positivo se tale da comprimere il lembo superiore della sezione

N°Comb.	N	Mx	My
1	0.00	61.80 (90.32)	0.00 (0.00)
2	0.00	45.40 (90.32)	0.00 (0.00)

COMB. QUASI PERMANENTI (S.L.E.) - SFORZI PER OGNI COMBINAZIONE ASSEGNATA

N Sforzo normale [kN] applicato nel Baricentro (+ se di compressione)
Mx Momento flettente [kNm] intorno all'asse X di riferimento (tra parentesi Mom.Fessurazione)
con verso positivo se tale da comprimere il lembo superiore della sezione

N°Comb.	N	Mx	My
1	0.00	-20.90 (-89.73)	0.00 (0.00)

RISULTATI DEL CALCOLO

Sezione verificata per tutte le combinazioni assegnate

Copriferro netto minimo barre longitudinali: 1.0 cm
Interferro netto minimo barre longitudinali: 17.6 cm

METODO AGLI STATI LIMITE ULTIMI - RISULTATI PRESSO-TENSO FLESSIONE

Ver S = combinazione verificata / N = combin. non verificata
N Sforzo normale assegnato [kN] nel baricentro B sezione cls.(positivo se di compressione)
Mx Momento flettente assegnato [kNm] riferito all'asse x princ. d'inerzia
N ult Sforzo normale ultimo [kN] nel baricentro B sezione cls.(positivo se di compress.)
Mx ult Momento flettente ultimo [kNm] riferito all'asse x princ. d'inerzia
Mis.Sic. Misura sicurezza = rapporto vettoriale tra (N ult,Mx ult,My ult) e (N,Mx,My)
Verifica positiva se tale rapporto risulta >=1.000
As Tesa Area armature [cm²] in zona tesa (solo travi). Tra parentesi l'area minima di normativa

N°Comb	Ver	N	Mx	N ult	Mx ult	Mis.Sic.	As Tesa
1	S	0.00	93.20	0.00	224.42	2.408	15.7(4.9)

Relazione di Calcolo impalcato a struttura mista
Viadotto ferroviario – L=65 m

COMMESSA	LOTTO	CODIFICA	DOCUMENTO	REV.	FOGLIO
IF26	12	E ZZ CL	VI 05 07 003	A	145 di 162

METODO AGLI STATI LIMITE ULTIMI - DEFORMAZIONI UNITARIE ALLO STATO ULTIMO

	ec max	ec 3/7	Xc max	Yc max	es min	Xs min	Ys min	es max	Xs max	Ys max
	Deform. unit. massima del conglomerato a compressione	Deform. unit. del conglomerato nella fibra a 3/7 dell'altezza efficace	Ascissa in cm della fibra corrisp. a ec max (sistema rif. X,Y,O sez.)	Ordinata in cm della fibra corrisp. a ec max (sistema rif. X,Y,O sez.)	Deform. unit. minima nell'acciaio (negativa se di trazione)	Ascissa in cm della barra corrisp. a es min (sistema rif. X,Y,O sez.)	Ordinata in cm della barra corrisp. a es min (sistema rif. X,Y,O sez.)	Deform. unit. massima nell'acciaio (positiva se di compress.)	Ascissa in cm della barra corrisp. a es max (sistema rif. X,Y,O sez.)	Ordinata in cm della barra corrisp. a es max (sistema rif. X,Y,O sez.)
N°Comb	ec max	ec 3/7	Xc max	Yc max	es min	Xs min	Ys min	es max	Xs max	Ys max
1	0.00350	-0.00530	-50.0	0.0	-0.00082	-40.0	-8.0	-0.01596	-40.0	-36.0

POSIZIONE ASSE NEUTRO PER OGNI COMB. DI RESISTENZA

	a	b	c	x/d	C.Rid.
a, b, c	Coeff. a, b, c nell'eq. dell'asse neutro $aX+bY+c=0$ nel rif. X,Y,O gen.				
x/d	Rapp. di duttilità a rottura in presenza di sola fless.(travi)				
C.Rid.	Coeff. di riduz. momenti per sola flessione in travi continue				
N°Comb	a	b	c	x/d	C.Rid.
1	0.000000000	0.000540446	0.003500000	0.180	0.700

COMBINAZIONI RARE IN ESERCIZIO - MASSIME TENSIONI NORMALI ED APERTURA FESSURE

	Ver	Sc max	Xc max	Yc max	Sf min	Xs min	Ys min	Ac eff.	As eff.	D barre	Beta12
Ver	S = comb. verificata/ N = comb. non verificata										
Sc max	Massima tensione (positiva se di compressione) nel conglomerato [Mpa]										
Xc max, Yc max	Ascissa, Ordinata [cm] del punto corrisp. a Sc max (sistema rif. X,Y,O)										
Sf min	Minima tensione (negativa se di trazione) nell'acciaio [Mpa]										
Xs min, Ys min	Ascissa, Ordinata [cm] della barra corrisp. a Sf min (sistema rif. X,Y,O)										
Ac eff.	Area di calcestruzzo [cm ²] in zona tesa considerata aderente alle barre										
As eff.	Area barre [cm ²] in zona tesa considerate efficaci per l'apertura delle fessure										
D barre	Distanza tra le barre tese [cm] ai fini del calcolo dell'apertura fessure										
Beta12	Prodotto dei coeff. di aderenza delle barre $Beta1 \cdot Beta2$										
N°Comb	Ver	Sc max	Xc max	Yc max	Sf min	Xs min	Ys min	Ac eff.	As eff.	D barre	Beta12
1	S	3.28	-50.0	0.0	-123.0	20.0	-36.0	1373	15.7	20.0	1.00

COMBINAZIONI FREQUENTI IN ESERCIZIO - MASSIME TENSIONI NORMALI ED APERTURA FESSURE

N°Comb	Ver	Sc max	Xc max	Yc max	Sf min	Xs min	Ys min	Ac eff.	As eff.	D barre	Beta12
1	S	3.28	-50.0	0.0	-123.0	20.0	-36.0	1373	15.7	20.0	0.50
2	S	2.41	-50.0	0.0	-90.4	20.0	-36.0	1373	15.7	20.0	0.50

COMBINAZIONI FREQUENTI IN ESERCIZIO - APERTURA FESSURE [§B.6.6 DM96]

Ver.	Esito della verifica
S1	Massima tensione [Mpa] di trazione del calcestruzzo, valutata in sezione non fessurata
S2	Minima di trazione [Mpa] del cls. (in sezione non fessurata) nella fibra più interna dell'area Ac eff

Relazione di Calcolo impalcato a struttura mista
Viadotto ferroviario – L=65 m

COMMESSA	LOTTO	CODIFICA	DOCUMENTO	REV.	FOGLIO
IF26	12	E ZZ CL	VI 05 07 003	A	146 di 162

k2	= 0.4 per barre ad aderenza migliorata
k3	= (S1 + S2)/(2*S1) con riferimento all'area tesa Ac eff
Ø	Diametro [mm] medio delle barre tese comprese nell'area efficace Ac eff
Cf	Copriferro [mm] netto calcolato con riferimento alla barra più tesa
Psi	= $1 - \text{Beta}12 * (\text{Ssr}/\text{Ss})^2 = 1 - \text{Beta}12 * (\text{fctm}/\text{S2})^2 = 1 - \text{Beta}12 * (\text{Mfess}/\text{M})^2$ [B.6.6 DM96]
e sm	Deformazione unitaria media tra le fessure [4.3.1.7.1.3 DM96]. Il valore limite = $0.4 * \text{Ss}/\text{Es}$ è tra parentesi
srm	Distanza media tra le fessure [mm]
wk	Valore caratteristico [mm] dell'apertura fessure = $1.7 * e * \text{sm} * \text{srm}$. Valore limite tra parentesi
MX fess.	Componente momento di prima fessurazione intorno all'asse X [kNm]
MY fess.	Componente momento di prima fessurazione intorno all'asse Y [kNm]

Comb.	Ver	S1	S2	k3	Ø	Cf	Psi	e sm	srm	wk	Mx fess	My fess
1	S	-2.1	-0.6	0.159	20	10.0	-0.068	0.00025 (0.00025)	171	0.072 (0.20)	90.32	0.00
2	S	-1.5	-0.4	0.159	20	10.0	-0.979	0.00018 (0.00018)	171	0.053 (0.20)	90.32	0.00

COMBINAZIONI QUASI PERMANENTI IN ESERCIZIO - MASSIME TENSIONI NORMALI ED APERTURA FESSURE

N°Comb	Ver	Sc max	Xc max	Yc max	Sf min	Xs min	Ys min	Ac eff.	As eff.	D barre	Beta12
1	S	1.13	50.0	-38.0	-34.2	20.0	-8.0	1400	22.6	20.0	0.50

COMBINAZIONI QUASI PERMANENTI IN ESERCIZIO - APERTURA FESSURE [§B.6.6 DM96]

Comb.	Ver	S1	S2	k3	Ø	Cf	Psi	e sm	srm	wk	Mx fess	My fess
1	S	-0.7	-0.2	0.160	24	68.0	-8.217	0.00007 (0.00007)	271	0.031 (0.20)	-89.73	0.00

8.4.1.3 Sezione C

SEZIONE C : Dati della Sezione Soletta con Armature Trasversale

B_{sol} =	100	cm	Striscia di 1m Soletta
H_{sol} =	45	cm	Altezza Soletta
S_{pred} =	5	cm	Spessore Predalla (non collaborante)
H_{sez} =	45	cm	Altezza Sezione considerata nei calcoli
$copr_{sup}$ =	7	cm	Copriferro Superiore
Φ_{sup} =	24	mm	Ferri Trasversali Superiori
$n_{\Phi_{sup}}$ =	5		Numero Ferri Trasversali Superiori
d_{sup} =	8	cm	Altezza Utile Ferri Superiori
Φ_{inf} =	20	mm	Ferri Trasversali Inferiori
$n_{\Phi_{inf}}$ =	5		Numero Ferri Trasversali Inferiori
d_{inf} =	38	cm	Altezza Utile Ferri Inferiori

Materiali

CLS:	C32/40
ACCIAIO:	B450C

Sollecitazioni

	Momento	Taglio
SLU	-98,5	233,7
SLE car	-66,7	161,4
SLE freq	-53,6	136,8
SLE qp	-1,3	37,5

Riepilogo :

Sezione di calcolo : $\left\{ \begin{array}{l} H = 45 \text{ cm} \\ B = 100 \text{ cm} \end{array} \right.$

Ferri utilizzati: $\left\{ \begin{array}{l} \text{Armatura Superiore: } \Phi 24/20 \\ \text{Armatura Inferiore: } \Phi 20/20 \end{array} \right.$

$A_{\Phi_{sup}} = 2262 \text{ mm}^2$
 $A_{\Phi_{inf}} = 1571 \text{ mm}^2$

La sezione C si trova in corrispondenza dell'anima della trave interna. A favore di sicurezza i valori di momento flettente che si ottengono in asse (riportati nelle tabelle di par. 8.4) non vengono ridotti per tener conto del fatto che la reazione vincolare esplicata dalle anime delle travi non è concentrata ma distribuita per una certa larghezza grazie alla presenza della piattabanda superiore metallica.

Si considera un'apertura massima delle fessure pari $w_{amm} = 0.2 \text{ mm}$.

DATI GENERALI SEZIONE IN C.A.

NOME SEZIONE: Sezione C

Descrizione Sezione:	
Metodo di calcolo resistenza:	Stati Limite Ultimi
Tipologia sezione:	Sezione generica
Normativa di riferimento:	N.T.C.
Percorso sollecitazione:	A Sforzo Norm. costante
Condizioni Ambientali:	Molto aggressive
Tipo di sollecitazione:	Retta (asse neutro sempre parallelo all'asse X)
Riferimento Sforzi assegnati:	Assi x,y principali d'inerzia
Riferimento alla sismicità:	Zona non sismica

CARATTERISTICHE DI RESISTENZA DEI MATERIALI IMPIEGATI

CALCESTRUZZO -	Classe:	C32/40
	Resis. compr. di calcolo fcd:	18.810 MPa
	Resis. compr. ridotta fcd':	0.000 MPa
	Def.unit. max resistenza ec2:	0.0020
	Def.unit. ultima ecu:	0.0035
	Diagramma tensione-deformaz.:	Parabola-Rettangolo
	Modulo Elastico Normale Ec:	33346.0 MPa
	Resis. media a trazione fctm:	3.020 MPa
	Coeff. Omogen. S.L.E.:	15.00

Relazione di Calcolo impalcato a struttura mista
Viadotto ferroviario – L=65 m

COMMESSA	LOTTO	CODIFICA	DOCUMENTO	REV.	FOGLIO
IF26	12	E ZZ CL	VI 05 07 003	A	148 di 162

Coeff. Omogen. S.L.E.:	15.00	
Sc limite S.L.E. comb. Frequenti:	160.00	daN/cm ²
Ap.Fessure limite S.L.E. comb. Frequenti:	0.200	mm
Sc limite S.L.E. comb. Q.Permanenti:	0.00	Mpa
Ap.Fessure limite S.L.E. comb. Q.Permanenti:	0.200	mm

ACCIAIO -	Tipo:	B450C
	Resist. caratt. snervam. fyk:	450.00 MPa
	Resist. caratt. rottura ftk:	450.00 MPa
	Resist. snerv. di calcolo fyd:	391.30 MPa
	Resist. ultima di calcolo ftd:	391.30 MPa
	Deform. ultima di calcolo Epu:	0.068
	Modulo Elastico Ef	2000000 daN/cm ²
	Diagramma tensione-deformaz.:	Bilineare finito
	Coeff. Aderenza istantaneo $\beta_1 \cdot \beta_2$:	1.00
	Coeff. Aderenza differito $\beta_1 \cdot \beta_2$:	0.50
Sf limite S.L.E. Comb. Rare:	360.00 MPa	

CARATTERISTICHE DOMINIO CONGLOMERATO

Forma del Dominio:	Poligonale
Classe Conglomerato:	C32/40

N°vertice:	X [cm]	Y [cm]
1	-50.0	0.0
2	50.0	0.0
3	50.0	-45.0
4	-50.0	-45.0

DATI BARRE ISOLATE

N°Barra	X [cm]	Y [cm]	DiamØ[mm]
1	-40.0	-8.0	24
2	40.0	-8.0	24
3	-40.0	-38.0	20
4	40.0	-38.0	20

DATI GENERAZIONI LINEARI DI BARRE

N°Gen.	Numero assegnato alla singola generazione lineare di barre
N°Barra Ini.	Numero della barra iniziale cui si riferisce la generazione
N°Barra Fin.	Numero della barra finale cui si riferisce la generazione
N°Barre	Numero di barre generate equidistanti cui si riferisce la generazione
Ø	Diametro in mm delle barre della generazione

N°Gen.	N°Barra Ini.	N°Barra Fin.	N°Barre	Ø
1	1	2	3	24
2	3	4	3	20

ST.LIM.ULTIMI - SFORZI PER OGNI COMBINAZIONE ASSEGNATA

N	Sforzo normale [kN] applicato nel Baric. (+ se di compressione)
Mx	Momento flettente [daNm] intorno all'asse X di riferimento delle coordinate con verso positivo se tale da comprimere il lembo sup. della sez.
Vy	Componente del Taglio [kN] parallela all'asse Y di riferimento delle coordinate

Relazione di Calcolo impalcato a struttura mista
Viadotto ferroviario – L=65 m

COMMESSA	LOTTO	CODIFICA	DOCUMENTO	REV.	FOGLIO
IF26	12	E ZZ CL	VI 05 07 003	A	149 di 162

N°Comb.	N	Mx	Vy
1	0.00	-98.50	0.00

COMB. RARE (S.L.E.) - SFORZI PER OGNI COMBINAZIONE ASSEGNATA

N Sforzo normale [kN] applicato nel Baricentro (+ se di compressione)
Mx Momento flettente [kNm] intorno all'asse X di riferimento (tra parentesi Mom.Fessurazione)
con verso positivo se tale da comprimere il lembo superiore della sezione

N°Comb.	N	Mx	My
1	0.00	-66.70	0.00

COMB. FREQUENTI (S.L.E.) - SFORZI PER OGNI COMBINAZIONE ASSEGNATA

N Sforzo normale [kN] applicato nel Baricentro (+ se di compressione)
Mx Momento flettente [kNm] intorno all'asse X di riferimento (tra parentesi Mom.Fessurazione)
con verso positivo se tale da comprimere il lembo superiore della sezione

N°Comb.	N	Mx	My
1	0.00	-66.70 (-120.39)	0.00 (0.00)
2	0.00	-53.60 (-120.39)	0.00 (0.00)

COMB. QUASI PERMANENTI (S.L.E.) - SFORZI PER OGNI COMBINAZIONE ASSEGNATA

N Sforzo normale [kN] applicato nel Baricentro (+ se di compressione)
Mx Momento flettente [kNm] intorno all'asse X di riferimento (tra parentesi Mom.Fessurazione)
con verso positivo se tale da comprimere il lembo superiore della sezione

N°Comb.	N	Mx	My
1	0.00	-1.30 (-120.39)	0.00 (0.00)

RISULTATI DEL CALCOLO

Sezione verificata per tutte le combinazioni assegnate

Copriferro netto minimo barre longitudinali: 6.0 cm
Interferro netto minimo barre longitudinali: 17.6 cm

METODO AGLI STATI LIMITE ULTIMI - RISULTATI PRESSO-TENSO FLESSIONE

Ver S = combinazione verificata / N = combin. non verificata
N Sforzo normale assegnato [kN] nel baricentro B sezione cls.(positivo se di compressione)
Mx Momento flettente assegnato [kNm] riferito all'asse x princ. d'inerzia
N ult Sforzo normale ultimo [kN] nel baricentro B sezione cls.(positivo se di compress.)
Mx ult Momento flettente ultimo [kNm] riferito all'asse x princ. d'inerzia
Mis.Sic. Misura sicurezza = rapporto vettoriale tra (N ult,Mx ult,My ult) e (N,Mx,My)
Verifica positiva se tale rapporto risulta >=1.000
As Tesa Area armature [cm²] in zona tesa (solo travi). Tra parentesi l'area minima di normativa

N°Comb	Ver	N	Mx	N ult	Mx ult	Mis.Sic.	As Tesa
1	S	0.00	-98.50	0.00	-307.88	3.126	22.6(6.1)

METODO AGLI STATI LIMITE ULTIMI - DEFORMAZIONI UNITARIE ALLO STATO ULTIMO

Relazione di Calcolo impalcato a struttura mista
Viadotto ferroviario – L=65 m

COMMESSA	LOTTO	CODIFICA	DOCUMENTO	REV.	FOGLIO
IF26	12	E ZZ CL	VI 05 07 003	A	150 di 162

ec max	Deform. unit. massima del conglomerato a compressione
ec 3/7	Deform. unit. del conglomerato nella fibra a 3/7 dell'altezza efficace
Xc max	Ascissa in cm della fibra corrisp. a ec max (sistema rif. X,Y,O sez.)
Yc max	Ordinata in cm della fibra corrisp. a ec max (sistema rif. X,Y,O sez.)
es min	Deform. unit. minima nell'acciaio (negativa se di trazione)
Xs min	Ascissa in cm della barra corrisp. a es min (sistema rif. X,Y,O sez.)
Ys min	Ordinata in cm della barra corrisp. a es min (sistema rif. X,Y,O sez.)
es max	Deform. unit. massima nell'acciaio (positiva se di compress.)
Xs max	Ascissa in cm della barra corrisp. a es max (sistema rif. X,Y,O sez.)
Ys max	Ordinata in cm della barra corrisp. a es max (sistema rif. X,Y,O sez.)

N°Comb	ec max	ec 3/7	Xc max	Yc max	es min	Xs min	Ys min	es max	Xs max	Ys max
1	0.00350	-0.00699	-50.0	-45.0	-0.00031	-40.0	-38.0	-0.01662	40.0	-8.0

POSIZIONE ASSE NEUTRO PER OGNI COMB. DI RESISTENZA

a, b, c	Coeff. a, b, c nell'eq. dell'asse neutro $aX+bY+c=0$ nel rif. X,Y,O gen.
x/d	Rapp. di duttilità a rottura in presenza di sola fless.(travi)
C.Rid.	Coeff. di riduz. momenti per sola flessione in travi continue

N°Comb	a	b	c	x/d	C.Rid.
1	0.000000000	-0.000543682	-0.020965680	0.174	0.700

COMBINAZIONI RARE IN ESERCIZIO - MASSIME TENSIONI NORMALI ED APERTURA FESSURE

Ver	S = comb. verificata/ N = comb. non verificata
Sc max	Massima tensione (positiva se di compressione) nel conglomerato [Mpa]
Xc max, Yc max	Ascissa, Ordinata [cm] del punto corrisp. a Sc max (sistema rif. X,Y,O)
Sf min	Minima tensione (negativa se di trazione) nell'acciaio [Mpa]
Xs min, Ys min	Ascissa, Ordinata [cm] della barra corrisp. a Sf min (sistema rif. X,Y,O)
Ac eff.	Area di calcestruzzo [cm ²] in zona tesa considerata aderente alle barre
As eff.	Area barre [cm ²] in zona tesa considerate efficaci per l'apertura delle fessure
D barre	Distanza tra le barre tese [cm] ai fini del calcolo dell'apertura fessure
Beta12	Prodotto dei coeff. di aderenza delle barre $Beta1*Beta2$

N°Comb	Ver	Sc max	Xc max	Yc max	Sf min	Xs min	Ys min	Ac eff.	As eff.	D barre	Beta12
1	S	2.92	50.0	-45.0	-90.6	20.0	-8.0	1650	22.6	20.0	1.00

COMBINAZIONI FREQUENTI IN ESERCIZIO - MASSIME TENSIONI NORMALI ED APERTURA FESSURE

N°Comb	Ver	Sc max	Xc max	Yc max	Sf min	Xs min	Ys min	Ac eff.	As eff.	D barre	Beta12
1	S	2.92	50.0	-45.0	-90.6	20.0	-8.0	1650	22.6	20.0	0.50
2	S	2.35	50.0	-45.0	-72.8	20.0	-8.0	1650	22.6	20.0	0.50

COMBINAZIONI FREQUENTI IN ESERCIZIO - APERTURA FESSURE [§B.6.6 DM96]

Ver.	La sezione viene assunta sempre fessurata anche nel caso in cui la trazione minima del calcestruzzo sia inferiore a f_{ctm}
S1	Esito della verifica
S2	Massima tensione [Mpa] di trazione del calcestruzzo, valutata in sezione non fessurata
k2	Minima di trazione [Mpa] del cls. (in sezione non fessurata) nella fibra più interna dell'area Ac eff
k3	= 0.4 per barre ad aderenza migliorata
	= $(S1 + S2)/(2*S1)$ con riferimento all'area tesa Ac eff

Relazione di Calcolo impalcato a struttura mista
Viadotto ferroviario – L=65 m

COMMESSA	LOTTO	CODIFICA	DOCUMENTO	REV.	FOGLIO
IF26	12	E ZZ CL	VI 05 07 003	A	151 di 162

\emptyset Diametro [mm] medio delle barre tese comprese nell'area efficace A_c eff
 C_f Copriferro [mm] netto calcolato con riferimento alla barra più tesa
 Ψ = $1 - \text{Beta}12^2 \cdot (S_{sr}/S_s)^2 = 1 - \text{Beta}12^2 \cdot (f_{ctm}/S_2)^2 = 1 - \text{Beta}12^2 \cdot (M_{fess}/M)^2$ [B.6.6 DM96]
 e s_m Deformazione unitaria media tra le fessure [4.3.1.7.1.3 DM96]. Il valore limite = $0.4 \cdot S_s/E_s$ è tra parentesi
 s_r Distanza media tra le fessure [mm]
 w_k Valore caratteristico [mm] dell'apertura fessure = $1.7 \cdot e \cdot s_m \cdot s_r$. Valore limite tra parentesi
 M_X f_{ess} . Componente momento di prima fessurazione intorno all'asse X [kNm]
 M_Y f_{ess} . Componente momento di prima fessurazione intorno all'asse Y [kNm]

Comb.	Ver	S1	S2	k3	\emptyset	C_f	Ψ	e s_m	s_r	w_k	M_x f_{ess}	M_y f_{ess}
1	S	-1.7	-0.5	0.159	24	68.0	-0.629	0.00018 (0.00018)	287	0.088 (0.20)	-120.39	0.00
2	S	-1.3	-0.4	0.159	24	68.0	-1.523	0.00015 (0.00015)	287	0.071 (0.20)	-120.39	0.00

COMBINAZIONI QUASI PERMANENTI IN ESERCIZIO - MASSIME TENSIONI NORMALI ED APERTURA FESSURE

N°Comb	Ver	S_c max	X_c max	Y_c max	S_f min	X_s min	Y_s min	A_c eff.	A_s eff.	D barre	Beta12
1	S	0.06	50.0	-45.0	-1.8	20.0	-8.0	1650	22.6	20.0	0.50

COMBINAZIONI QUASI PERMANENTI IN ESERCIZIO - APERTURA FESSURE [§B.6.6 DM96]

Comb.	Ver	S1	S2	k3	\emptyset	C_f	Ψ	e s_m	s_r	w_k	M_x f_{ess}	M_y f_{ess}
1	S	0.0	0.0	0.159	24	68.0	-4287.2290	0.00000 (0.00000)	287	0.002 (0.20)	-120.39	0.00

8.4.1.4 Sezione D

SEZIONE D : Dati della Sezione Soletta con Armature Trasversale

B_{sol} =	100	cm	Striscia di 1m Soletta
H_{sol} =	47	cm	Altezza Soletta
S_{pred} =	5	cm	Spessore Predalla (non collaborante)
H_{sez} =	42	cm	Altezza Sezione considerata nei calcoli
$copr_{sup}$ =	7	cm	Copriferro Superiore
Φ_{sup} =	24	mm	Ferri Trasversali Superiori
$n_{\Phi_{sup}}$ =	5		Numero Ferri Trasversali Superiori
d_{sup} =	8	cm	Altezza Utile Ferri Superiori
Φ_{inf} =	20	mm	Ferri Trasversali Inferiori
$n_{\Phi_{inf}}$ =	5		Numero Ferri Trasversali Inferiori
d_{inf} =	40	cm	Altezza Utile Ferri Inferiori

Materiali

CLS:	C32/40
ACCIAIO:	B450C

Sollecitazioni

	Momento	Taglio
SLU	41,0	35,9
SLE car	29,6	24,7
SLE freq	29,5	19,9
SLE qp	25,0	0,1

Riepilogo :

Sezione di calcolo : $\left\{ \begin{array}{l} H = 42 \text{ cm} \\ B = 100 \text{ cm} \end{array} \right.$

Ferri utilizzati: $\left\{ \begin{array}{l} \text{Armatura Superiore: } \Phi 24/20 \\ \text{Armatura Inferiore: } \Phi 20/20 \end{array} \right.$

$A_{\Phi_{sup}} = 2262 \text{ mm}^2$

$A_{\Phi_{inf}} = 1571 \text{ mm}^2$

La sezione D come mostrato in **Figura 84: sezioni verifica**, rappresenta la sezione di mezzera della campata tra le due travi interne. Nei calcoli la predalla non viene considerata collaborante.

Si considera un'apertura massima delle fessure pari $w_{amm} = 0.2 \text{ mm}$.

DATI GENERALI SEZIONE IN C.A.

NOME SEZIONE: Sezione D

Descrizione Sezione:

Metodo di calcolo resistenza:	Stati Limite Ultimi
Tipologia sezione:	Sezione generica
Normativa di riferimento:	N.T.C.
Percorso sollecitazione:	A Sforzo Norm. costante
Condizioni Ambientali:	Molto aggressive
Tipo di sollecitazione:	Retta (asse neutro sempre parallelo all'asse X)
Riferimento Sforzi assegnati:	Assi x,y principali d'inerzia
Riferimento alla sismicità:	Zona non sismica

CARATTERISTICHE DI RESISTENZA DEI MATERIALI IMPIEGATI

CALCESTRUZZO -	Classe:	C32/40
	Resis. compr. di calcolo fcd:	18.810 MPa
	Resis. compr. ridotta fcd':	0.000 MPa
	Def.unit. max resistenza ec2:	0.0020
	Def.unit. ultima ecu:	0.0035
	Diagramma tensione-deformaz.:	Parabola-Rettangolo
	Modulo Elastico Normale Ec:	33346.0 MPa
	Resis. media a trazione fctm:	3.020 MPa
	Coeff. Omogen. S.L.E.:	15.00
	Coeff. Omogen. S.L.E.:	15.00
	Sc limite S.L.E. comb. Frequenti:	160.00 daN/cm ²

*Relazione di Calcolo impalcato a struttura mista
Viadotto ferroviario – L=65 m*

COMMESSA	LOTTO	CODIFICA	DOCUMENTO	REV.	FOGLIO
IF26	12	E ZZ CL	VI 05 07 003	A	153 di 162

ACCIAIO -

Ap.Fessure limite S.L.E. comb. Frequenti:	0.200	mm
Sc limite S.L.E. comb. Q.Permanenti:	0.00	Mpa
Ap.Fessure limite S.L.E. comb. Q.Permanenti:	0.200	mm
Tipo:	B450C	
Resist. caratt. snervam. fyk:	450.00	MPa
Resist. caratt. rottura ftk:	450.00	MPa
Resist. snerv. di calcolo fyd:	391.30	MPa
Resist. ultima di calcolo ftd:	391.30	MPa
Deform. ultima di calcolo Epu:	0.068	
Modulo Elastico Ef	2000000	daN/cm ²
Diagramma tensione-deformaz.:	Bilineare finito	
Coeff. Aderenza istantaneo $\beta_1 \cdot \beta_2$:	1.00	
Coeff. Aderenza differito $\beta_1 \cdot \beta_2$:	0.50	
Sf limite S.L.E. Comb. Rare:	360.00	MPa

CARATTERISTICHE DOMINIO CONGLOMERATO

Forma del Dominio: Poligonale
Classe Conglomerato: C32/40

N°vertice:	X [cm]	Y [cm]
1	-50.0	0.0
2	50.0	0.0
3	50.0	-42.0
4	-50.0	-42.0

DATI BARRE ISOLATE

N°Barra	X [cm]	Y [cm]	DiamØ[mm]
1	-40.0	-8.0	24
2	40.0	-8.0	24
3	-40.0	-40.0	20
4	40.0	-40.0	20

DATI GENERAZIONI LINEARI DI BARRE

N°Gen. Numero assegnato alla singola generazione lineare di barre
N°Barra Ini. Numero della barra iniziale cui si riferisce la generazione
N°Barra Fin. Numero della barra finale cui si riferisce la generazione
N°Barre Numero di barre generate equidistanti cui si riferisce la generazione
Ø Diametro in mm delle barre della generazione

N°Gen.	N°Barra Ini.	N°Barra Fin.	N°Barre	Ø
1	1	2	3	24
2	3	4	3	20

ST.LIM.ULTIMI - SFORZI PER OGNI COMBINAZIONE ASSEGNATA

N Sforzo normale [kN] applicato nel Baric. (+ se di compressione)
Mx Momento flettente [daNm] intorno all'asse X di riferimento delle coordinate con verso positivo se tale da comprimere il lembo sup. della sez.
Vy Componente del Taglio [kN] parallela all'asse Y di riferimento delle coordinate

Relazione di Calcolo impalcato a struttura mista
Viadotto ferroviario – L=65 m

COMMESSA	LOTTO	CODIFICA	DOCUMENTO	REV.	FOGLIO
IF26	12	E ZZ CL	VI 05 07 003	A	154 di 162

N°Comb.	N	Mx	Vy
1	0.00	41.00	0.00

COMB. RARE (S.L.E.) - SFORZI PER OGNI COMBINAZIONE ASSEGNATA

N Sforzo normale [kN] applicato nel Baricentro (+ se di compressione)
Mx Momento flettente [kNm] intorno all'asse X di riferimento (tra parentesi Mom.Fessurazione)
con verso positivo se tale da comprimere il lembo superiore della sezione

N°Comb.	N	Mx	My
1	0.00	29.60	0.00

COMB. FREQUENTI (S.L.E.) - SFORZI PER OGNI COMBINAZIONE ASSEGNATA

N Sforzo normale [kN] applicato nel Baricentro (+ se di compressione)
Mx Momento flettente [kNm] intorno all'asse X di riferimento (tra parentesi Mom.Fessurazione)
con verso positivo se tale da comprimere il lembo superiore della sezione

N°Comb.	N	Mx	My
1	0.00	29.60 (109.34)	0.00 (0.00)
2	0.00	29.50 (109.34)	0.00 (0.00)

COMB. QUASI PERMANENTI (S.L.E.) - SFORZI PER OGNI COMBINAZIONE ASSEGNATA

N Sforzo normale [kN] applicato nel Baricentro (+ se di compressione)
Mx Momento flettente [kNm] intorno all'asse X di riferimento (tra parentesi Mom.Fessurazione)
con verso positivo se tale da comprimere il lembo superiore della sezione

N°Comb.	N	Mx	My
1	0.00	25.00 (109.34)	0.00 (0.00)

RISULTATI DEL CALCOLO

Sezione verificata per tutte le combinazioni assegnate

Copriferro netto minimo barre longitudinali: 1.0 cm
Interferro netto minimo barre longitudinali: 17.6 cm

METODO AGLI STATI LIMITE ULTIMI - RISULTATI PRESSO-TENSO FLESSIONE

Ver S = combinazione verificata / N = combin. non verificata
N Sforzo normale assegnato [kN] nel baricentro B sezione cls.(positivo se di compressione)
Mx Momento flettente assegnato [kNm] riferito all'asse x princ. d'inerzia
N ult Sforzo normale ultimo [kN] nel baricentro B sezione cls.(positivo se di compress.)
Mx ult Momento flettente ultimo [kNm] riferito all'asse x princ. d'inerzia
Mis.Sic. Misura sicurezza = rapporto vettoriale tra (N ult,Mx ult,My ult) e (N,Mx,My)
Verifica positiva se tale rapporto risulta >=1.000
As Tesa Area armature [cm²] in zona tesa (solo travi). Tra parentesi l'area minima di normativa

N°Comb	Ver	N	Mx	N ult	Mx ult	Mis.Sic.	As Tesa
1	S	0.00	41.00	0.00	249.02	6.074	15.7(5.6)

Relazione di Calcolo impalcato a struttura mista
Viadotto ferroviario – L=65 m

COMMESSA	LOTTO	CODIFICA	DOCUMENTO	REV.	FOGLIO
IF26	12	E ZZ CL	VI 05 07 003	A	155 di 162

METODO AGLI STATI LIMITE ULTIMI - DEFORMAZIONI UNITARIE ALLO STATO ULTIMO

	ec max	ec 3/7	Xc max	Yc max	es min	Xs min	Ys min	es max	Xs max	Ys max
	Deform. unit. massima del conglomerato a compressione	Deform. unit. del conglomerato nella fibra a 3/7 dell'altezza efficace	Ascissa in cm della fibra corrisp. a ec max (sistema rif. X,Y,O sez.)	Ordinata in cm della fibra corrisp. a ec max (sistema rif. X,Y,O sez.)	Deform. unit. minima nell'acciaio (negativa se di trazione)	Ascissa in cm della barra corrisp. a es min (sistema rif. X,Y,O sez.)	Ordinata in cm della barra corrisp. a es min (sistema rif. X,Y,O sez.)	Deform. unit. massima nell'acciaio (positiva se di compress.)	Ascissa in cm della barra corrisp. a es max (sistema rif. X,Y,O sez.)	Ordinata in cm della barra corrisp. a es max (sistema rif. X,Y,O sez.)
N°Comb	ec max	ec 3/7	Xc max	Yc max	es min	Xs min	Ys min	es max	Xs max	Ys max
1	0.00350	-0.00623	-50.0	0.0	-0.00082	-40.0	-8.0	-0.01812	-40.0	-40.0

POSIZIONE ASSE NEUTRO PER OGNI COMB. DI RESISTENZA

	a	b	c	x/d	C.Rid.
a, b, c	Coeff. a, b, c nell'eq. dell'asse neutro $aX+bY+c=0$ nel rif. X,Y,O gen.				
x/d	Rapp. di duttilità a rottura in presenza di sola fless.(travi)				
C.Rid.	Coeff. di riduz. momenti per sola flessione in travi continue				
N°Comb	a	b	c	x/d	C.Rid.
1	0.000000000	0.000540426	0.003500000	0.162	0.700

COMBINAZIONI RARE IN ESERCIZIO - MASSIME TENSIONI NORMALI ED APERTURA FESSURE

	Ver	Sc max	Xc max	Yc max	Sf min	Xs min	Ys min	Ac eff.	As eff.	D barre	Beta12
	S = comb. verificata/ N = comb. non verificata	Massima tensione (positiva se di compressione) nel conglomerato [Mpa]	Ascissa, Ordinata [cm] del punto corrisp. a Sc max (sistema rif. X,Y,O)	Ordinata in cm della fibra corrisp. a ec max (sistema rif. X,Y,O sez.)	Minima tensione (negativa se di trazione) nell'acciaio [Mpa]	Ascissa, Ordinata [cm] della barra corrisp. a Sf min (sistema rif. X,Y,O)	Ordinata in cm della barra corrisp. a es min (sistema rif. X,Y,O sez.)	Area di calcestruzzo [cm ²] in zona tesa considerata aderente alle barre	Area barre [cm ²] in zona tesa considerate efficaci per l'apertura delle fessure	Distanza tra le barre tese [cm] ai fini del calcolo dell'apertura fessure	Prodotto dei coeff. di aderenza delle barre $Beta1 \cdot Beta2$
N°Comb	Ver	Sc max	Xc max	Yc max	Sf min	Xs min	Ys min	Ac eff.	As eff.	D barre	Beta12
1	S	1.31	-50.0	0.0	-52.7	20.0	-40.0	1460	15.7	20.0	1.00

COMBINAZIONI FREQUENTI IN ESERCIZIO - MASSIME TENSIONI NORMALI ED APERTURA FESSURE

N°Comb	Ver	Sc max	Xc max	Yc max	Sf min	Xs min	Ys min	Ac eff.	As eff.	D barre	Beta12
1	S	1.31	-50.0	0.0	-52.7	20.0	-40.0	1460	15.7	20.0	0.50
2	S	1.30	-50.0	0.0	-52.5	20.0	-40.0	1460	15.7	20.0	0.50

COMBINAZIONI FREQUENTI IN ESERCIZIO - APERTURA FESSURE [§B.6.6 DM96]

	Ver.	S1	S2
	La sezione viene assunta sempre fessurata anche nel caso in cui la trazione minima del calcestruzzo sia inferiore a f_{ctm}	Esito della verifica	
		Massima tensione [Mpa] di trazione del calcestruzzo, valutata in sezione non fessurata	
		Minima di trazione [Mpa] del cls. (in sezione non fessurata) nella fibra più interna dell'area Ac eff	

Relazione di Calcolo impalcato a struttura mista
Viadotto ferroviario – L=65 m

COMMESSA	LOTTO	CODIFICA	DOCUMENTO	REV.	FOGLIO
IF26	12	E ZZ CL	VI 05 07 003	A	156 di 162

k2 = 0.4 per barre ad aderenza migliorata
k3 = $(S1 + S2)/(2*S1)$ con riferimento all'area tesa Ac eff
Ø Diametro [mm] medio delle barre tese comprese nell'area efficace Ac eff
Cf Coprifero [mm] netto calcolato con riferimento alla barra più tesa
Psi = $1 - \text{Beta}12 * (Ssr/Ss)^2 = 1 - \text{Beta}12 * (fctm/S2)^2 = 1 - \text{Beta}12 * (Mfess/M)^2$ [B.6.6 DM96]
e sm Deformazione unitaria media tra le fessure [4.3.1.7.1.3 DM96]. Il valore limite = $0.4 * Ss/Es$ è tra parentesi
srm Distanza media tra le fessure [mm]
wk Valore caratteristico [mm] dell'apertura fessure = $1.7 * e * sm * srm$. Valore limite tra parentesi
MX fess. Componente momento di prima fessurazione intorno all'asse X [kNm]
MY fess. Componente momento di prima fessurazione intorno all'asse Y [kNm]

Comb.	Ver	S1	S2	k3	Ø	Cf	Psi	e sm	srm	wk	Mx fess	My fess
1	S	-0.8	-0.2	0.159	20	10.0	-5.822	0.00011 (0.00011)	178	0.032 (0.20)	109.34	0.00
2	S	-0.8	-0.2	0.159	20	10.0	-5.869	0.00011 (0.00011)	178	0.032 (0.20)	109.34	0.00

COMBINAZIONI QUASI PERMANENTI IN ESERCIZIO - MASSIME TENSIONI NORMALI ED APERTURA FESSURE

N°Comb	Ver	Sc max	Xc max	Yc max	Sf min	Xs min	Ys min	Ac eff.	As eff.	D barre	Beta12
1	S	1.11	-50.0	0.0	-44.5	20.0	-40.0	1460	15.7	20.0	0.50

COMBINAZIONI QUASI PERMANENTI IN ESERCIZIO - APERTURA FESSURE [§B.6.6 DM96]

Comb.	Ver	S1	S2	k3	Ø	Cf	Psi	e sm	srm	wk	Mx fess	My fess
1	S	-0.7	-0.2	0.159	20	10.0	-8.564	0.00009 (0.00009)	178	0.027 (0.20)	109.34	0.00

8.4.1.5 Armatura Longitudinale

ARMATURA LONGITUDINALE :

Si decide di disporre la seguente armatura longitudinale :

Armatura Longitudinale Superiore

Armatura Longitudinale Superiore: **Ferri Ø14/20**

AΦLong sup = 770 mm²

Armatura Longitudinale Inferiore

Armatura Longitudinale Inferiore: **Ferri Ø14/20**

AΦLong inf = 770 mm²

GEODATA
ENGINEERING



**ITINERARIO NAPOLI – BARI
RADDOPPIO TRATTA CANCELLO-BENEVENTO
II LOTTO FUNZIONALE FRASSO TELESINO – VITULANO
1° LOTTO FUNZIONALE FRASSO TELESINO – TELESE
PROGETTO ESECUTIVO**

*Relazione di Calcolo impalcato a struttura mista
Viadotto ferroviario – L=65 m*

COMMESSA	LOTTO	CODIFICA	DOCUMENTO	REV.	FOGLIO
IF26	12	E ZZ CL	VI 05 07 003	A	157 di 162

8.4.2 Verifica a taglio (SLU)

8.4.2.1 Sezione A

La *sezione A* verificata, presenta un'altezza di 41cm. Si predispongono spille $\phi 12/20 \times 20$.

Relazione di Calcolo impalcato a struttura mista
Viadotto ferroviario – L=65 m

COMMESSA	LOTTO	CODIFICA	DOCUMENTO	REV.	FOGLIO
IF26	12	E ZZ CL	VI 05 07 003	A	158 di 162

Caratteristiche materiali

Cls R_{ck}

Cls condizioni calcestruzzo

Acciaio 1 acciaio barre longitudinali

Acciaio 2 acciaio armature trasversali

γ_c coefficiente parziale relativo al calcestruzzo

γ_s coefficiente parziale relativo all'acciaio

Geometrie sezione

b_w mm larghezza dell'anima resistente (larghezza minima d'anima)

d mm altezza utile della sezione

A_c mm² area della sezione di calcestruzzo

Caratteristiche armature

n_{bl} numero di barre longitudinali

\varnothing_{bl} mm diametro delle barre longitudinali

n_{bw} numero di bracci delle staffe

\varnothing_{st} mm diametro delle staffe

s_{st} mm passo delle staffe

α ° inclinazione delle staffe ($\alpha=90^\circ$ per staffe ortogonali all'asse)

Caratteristiche sollecitazioni

N_{Ed} KN sforzo normale di calcolo (+ per compressione)

V_{Ed} KN taglio di calcolo

N_{Rd} 9074,7 KN sforzo normale di compressione massimo

Dati traliccio resistente

θ ° inclinazione delle bielle di calcestruzzo rispetto all'asse

$\text{ctg}\theta$ 1,00 (il valore deve essere compreso fra 1.0 e 2.5)

Lo sforzo normale agente è "significativo" (vedi par. 4.1.2.1.3.2 NTC)



τ N/mm² tensione tangenziale corda baricentrica

σ_1 N/mm² tensione principale di trazione sulla corda baricentrica

$\text{ctg}\theta_1$ valore limite dell'inclinazione delle bielle

Calcolo del Taglio resistente

V_{Rd} KN taglio resistente per elemento privo di armatura trasversale

V_{Rd} KN taglio resistente per elemento con armatura trasversale

Si predispongono dunque spille: **Ø12/20x20**

Verifica:

V_{Rd} KN > V_{Ed} KN

8.4.2.2 Sezione C

La sezione C verificata, presenta un'altezza di 45cm. Si predispongono spille $\phi 12/20 \times 20$.

Relazione di Calcolo impalcato a struttura mista
Viadotto ferroviario – L=65 m

COMMESSA	LOTTO	CODIFICA	DOCUMENTO	REV.	FOGLIO
IF26	12	E ZZ CL	VI 05 07 003	A	159 di 162

Caratteristiche materiali

Cls R_{ck}

Cls condizioni calcestruzzo

Acciaio 1 acciaio barre longitudinali

Acciaio 2 acciaio armature trasversali

γ_c coefficiente parziale relativo al calcestruzzo

γ_s coefficiente parziale relativo all'acciaio

Geometrie sezione

b_w mm larghezza dell'anima resistente (larghezza minima d'anima)

d mm altezza utile della sezione

A_c mm² area della sezione di calcestruzzo

Caratteristiche armature

n_{bl} numero di barre longitudinali

\varnothing_{bl} mm diametro delle barre longitudinali

n_{bw} numero di bracci delle staffe

\varnothing_{st} mm diametro delle staffe

s_{st} mm passo delle staffe

α ° inclinazione delle staffe ($\alpha=90^\circ$ per staffe ortogonali all'asse)

Caratteristiche sollecitazioni

N_{Ed} KN sforzo normale di calcolo (+ per compressione)

V_{Ed} KN taglio di calcolo

N_{Rd} 9960,0 KN sforzo normale di compressione massimo

Dati traliccio resistente

θ ° inclinazione delle bielle di calcestruzzo rispetto all'asse

$\text{ctg}\theta$ 1,00 (il valore deve essere compreso fra 1.0 e 2.5)

Lo sforzo normale agente è "significativo" (vedi par. 4.1.2.1.3.2 NTC)



τ N/mm² tensione tangenziale corda baricentrica

σ N/mm² tensione principale di trazione sulla corda baricentrica

$\text{ctg}\theta_l$ valore limite dell'inclinazione delle bielle

Calcolo del Taglio resistente

V_{Rd} KN taglio resistente per elemento privo di armatura trasversale

V_{Rd} KN taglio resistente per elemento con armatura trasversale

Si predispongono dunque spille: **Ø12/20x20**

Verifica:

V_{Rd} KN > V_{Ed} KN

Ok; verifica soddisfatta

	ITINERARIO NAPOLI – BARI RADDOPPIO TRATTA CANCELLO-BENEVENTO II LOTTO FUNZIONALE FRASSO TELESINO – VITULANO 1° LOTTO FUNZIONALE FRASSO TELESINO – TELESE PROGETTO ESECUTIVO												
<i>Relazione di Calcolo impalcato a struttura mista Viadotto ferroviario – L=65 m</i>	<table border="1"> <thead> <tr> <th>COMMESSA</th> <th>LOTTO</th> <th>CODIFICA</th> <th>DOCUMENTO</th> <th>REV.</th> <th>FOGLIO</th> </tr> </thead> <tbody> <tr> <td>IF26</td> <td>12</td> <td>E ZZ CL</td> <td>VI 05 07 003</td> <td>A</td> <td>160 di 162</td> </tr> </tbody> </table>	COMMESSA	LOTTO	CODIFICA	DOCUMENTO	REV.	FOGLIO	IF26	12	E ZZ CL	VI 05 07 003	A	160 di 162
COMMESSA	LOTTO	CODIFICA	DOCUMENTO	REV.	FOGLIO								
IF26	12	E ZZ CL	VI 05 07 003	A	160 di 162								

8.5 Verifica dalles in fase di getto

8.5.1 Modalità di esecuzione del getto

Il getto della soletta dell'impalcato è effettuato in due fasi:

1^a fase – getto delle campate interne, delle zone soprastanti le piattabande superiori delle travi di bordo e di un tratto di sbalzo di 0.8 m misurato dall'asse dell'anima delle travi di bordo;

2^a fase – getto delle della restante parte di sbalzo mediante l'ausilio di puntelli .

8.5.2 Carichi considerati

Sono stati considerati i seguenti casi di carico:

peso proprio dalles: $0.05\text{m} \cdot 25 \text{ kN/m}^3 = 1.5 \text{ kN/m}^2$

peso getto spessore 46 cm: $0.46\text{m} \cdot 25 \text{ kN/m}^3 = 11.5 \text{ kN/m}^2$

sovraccarico mezzi d'opera: 1 kN/m^2

8.5.3 Verifiche

Stante l'ausilio di puntelli nella 2^a fase di getto; si procede alla sola verifica della prima 1^a fase , la quale presenta una luce libera d'inflessione maggiore.

Nella verifica 1^a fase sono state fatte le seguenti approssimazioni a favore di sicurezza:

- è stata considerata una luce di calcolo maggiore, pari alla distanza netta tra le piattabande(2.0m) più 0.3 m, per un totale di 2.3 m. Come riportato nell'immagine seguente;
- inoltre non è stato considerato l'apporto benefico dovuto agli 0.8m di getto negli sbalzi, in modo da massimizzare il momento sollecitante nella mezzeria del tratto verificato.

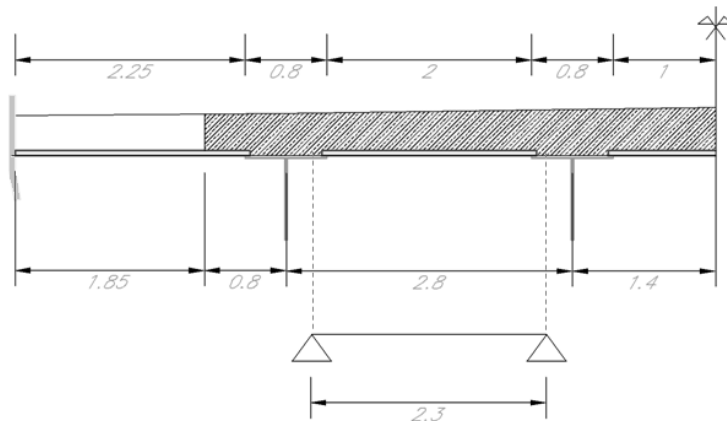


Figura 91: schema di calcolo 1^a fase

GEODATA
ENGINEERING



**ITINERARIO NAPOLI – BARI
RADDOPPIO TRATTA CANCELLO-BENEVENTO
II LOTTO FUNZIONALE FRASSO TELESINO – VITULANO
1° LOTTO FUNZIONALE FRASSO TELESINO – TELESE
PROGETTO ESECUTIVO**

*Relazione di Calcolo impalcato a struttura mista
Viadotto ferroviario – L=65 m*

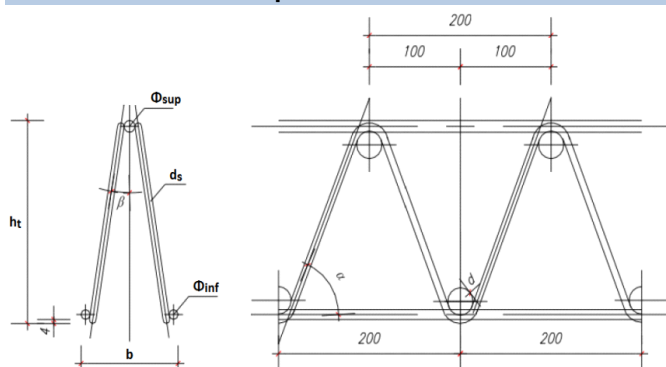
COMMESSA	LOTTO	CODIFICA	DOCUMENTO	REV.	FOGLIO
IF26	12	E ZZ CL	VI 05 07 003	A	161 di 162

Considerando come elemento resistente il solo traliccio (predalla non collaborante), vengono riportate le relative verifiche.

Relazione di Calcolo impalcato a struttura mista
Viadotto ferroviario – L=65 m

COMMESSA	LOTTO	CODIFICA	DOCUMENTO	REV.	FOGLIO
IF26	12	E ZZ CL	VI 05 07 003	A	162 di 162

Dati della sezione della predella e del traliccio usato:



$S_{pred} = 5$ cm Spessore predella
 $h_{tr} = 25$ cm Altezza traliccio
 $b_{tr} = 11$ cm Distanza tra i correnti inf.
 $p_d = 20$ cm Passo diagonali traliccio
 $L_{pred} = 120$ cm Larghezza predella
 $l_{tr} = 60$ cm Interasse tralicci
 $N_{Tr/pred} = 2$ - Num tralicci ogni predella

ϕ (mm)	A_s (mm ²)	J (mm ⁴)	
14	154	1886	Corrente Superiore
12	113	1018	Correnti Inferiori
10	79	491	Diagonale Traliccio
0	0	0	Armatura Aggiuntiva

Resist. Car. Snervam. ACCIAIO $f_{yk} = 450$ N/mm²
Resist. Car. Compres. CLS $R_{ck} = 40$ N/mm²

Tipo di Traliccio adottato: 12/14/10 H=25

Getto soletta tratto in campata

$L = 2,30$ m Luce $M_{max} = 13,5$ kNm Momento massimo
 $H_{soletta\ campata} = 0,46$ m Altezza Media Soletta $T_{max} = 23,5$ kN Taglio massimo
 $l_{predalles} = 1,20$ m Larghezza predella
 $Q_{acc} = 1,00$ kN/m² Sovraccarico Mezzi d'Opera Sollecitazioni Agenti su ogni Traliccio
 $\gamma_G = 1,35$ Coeff. Perm. Strutt. $M_{TR-max} = 6,8$ kNm M_{max} ogni traliccio
 $\gamma_Q = 1,5$ Coeff. Perm. Non Strutt. $T_{TR-max} = 11,7$ kN T_{max} ogni traliccio

Verifica Instabilità Corrente Superiore Compreso

$N_{Ed} = M_{Tr} / h_{Tr} = 27,0$ KN Azione Assiale di Compressione
 $N_{Cr} = \pi^2 \cdot E \cdot I / L_0^2 = 97,7$ KN Carico Critico Euleriano
 $\lambda = \sqrt{(A \cdot f_{yk} / N_{Cr})} = 0,84$ - Snellezza Adimensionale
 $\alpha = 0,49$ - Fatt. Imperf. per Sez Pieni-Curva Inst. c
 $\Phi = 0,5 \cdot [1 + \alpha \cdot (\lambda - 0,2) + \lambda^2] = 1,01$ -
 $\chi = 1 / (\Phi + \sqrt{\Phi^2 + \lambda^2}) \leq 1,0 = 0,64$ - Fattore relativo all'inflessione
 $\gamma_{M1} = 1,10$ - Coeff. di sicurezza
 $N_{b,Rd} = \chi \cdot A \cdot f_{yk} / \gamma_{M1} = 40,0$ KN Resistenza all'instabilità a compressione
 $N_{Ed} / N_{b,Rd} \leq 1 = 0,67$ - **≤1 verifica soddisfatta!**

Verifica a Trazione Correnti Inferiori Tesi

$N_{Ed} = M_{Tr} / h_{Tr} / 2 = 13,5$ KN Sforzo Assiale di trazione
 $\gamma_{M0} = 1,05$ Coeff. di sicurezza
 $N_{pl,Rd} = A \cdot F_{yk} / \gamma_{M0} = 48,5$ KN Resistenza a Trazione
 $N_{Ed} / N_{b,Rd} \leq 1 = 0,28$ - **≤1 verifica soddisfatta!**

Verifica Instabilità Diagonalali Compresi

Si fa l'approssimazione di considerare che il taglio venga portato tutto dai diagonalali.

$L_d = 27,0$ cm Lunghezza Diagonalali
 $N_{Ed} = (T_{Tr} \cdot L_d) / h_{Tr} / 2 = 6,3$ KN Azione Assiale di Compressione
 $N_{Cr} = \pi^2 \cdot E \cdot I / L_0^2 = 13,9$ KN Carcio Critico
 $\lambda = \sqrt{(A \cdot f_{yk} / N_{Cr})} = 1,59$ - Snellezza Adimensionale
 $\alpha = 0,49$ - Fatt. Imperf. per Sez Pieni-Curva Inst. c
 $\Phi = 0,5 \cdot [1 + \alpha \cdot (\lambda - 0,2) + \lambda^2] = 2,11$ -
 $\chi = 1 / (\Phi + \sqrt{\Phi^2 + \lambda^2}) \leq 1,0 = 0,29$ - Fattore relativo all'inflessione
 $\gamma_{M1} = 1,10$ - Coeff. di sicurezza
 $N_{b,Rd} = \chi \cdot A \cdot f_{yk} / \gamma_{M1} = 9,2$ KN Resistenza all'instabilità a compressione
 $N_{Ed} / N_{b,Rd} \leq 1 = 0,69$ - **≤1 verifica soddisfatta!**